

大阪市平野区

# 長原・瓜破遺跡発掘調査報告 IX

1989年度大阪市長吉瓜破地区  
土地区画整理事業施行に伴う発掘調査報告書

1997.3

財団法人 大阪市文化財協会

長原・瓜破遺跡発掘調査報告 IX

1997.3.

後期旧石器時代後半の石器集中部  
LC1301～1303の石器群は、ナイフ形  
石器と石核との接合をはじめとする多  
数の接合資料とその分布から、小型の  
ナイフ形石器を主として製作した石器  
製作址と考えられる。接合資料と石核  
のかなりの数は、瀬戸内技法の第2工  
程の姿をみせており、これらが瀬戸内  
技法の流れをくむ技術伝統に立脚して  
いると考えられる。

一方、縄文時代草創期の所産かと思  
われる超密度に密集したLC1203石器  
群は、1000点を越える圧倒的多数の剥  
片と極少数の石核と叩き石からなり、  
多数の接合資料の検討から、両面調整  
石器を目的としたものと考えられる。  
接合資料のひとつは異地点出土の石核  
と接合したものであり、その石核の近  
くから出土した有茎尖頭器とこの石器  
群との係わりが注目される。

大阪市平野区

# 長原・瓜破遺跡発掘調査報告

## IX

1989 年度大阪市長吉瓜破地区  
土地区画整理事業施行に伴う発掘調査報告書

1997. 3

財団法人 大阪市文化財協会

長原・瓜破遺跡発掘調査報告Ⅸ 正誤表

ページ	行・位置	誤	正
16	表4	層相	層厚
24	表7脚注	(鉱物組成に追加)	fr: 岩片
28	図7平面	… 4B層基底面	… 4B層底面
40	図13平面	X-155,950.	X-155,955.
51	図20断面	SD912	NR912
70	表12	層厚	層相
203	10行目	縄文時代弥生時代	弥生時代(縄文時代:削除)

大阪市平野区

# 長原・瓜破遺跡発掘調査報告

## IX

1989年度大阪市長吉瓜破地区  
地区画整理事業施行に伴う発掘調査報告書

1997. 3

財団法人 大阪市文化財協会

## 序 文

本書は大阪市平野区長吉瓜破地区土地区画整理事業に伴う発掘調査の成果を収録した『大阪市平野区長原・瓜破遺跡発掘調査報告』シリーズの9冊目に当るものである。発掘調査の実施は本シリーズⅠの刊行が準備されていた1989年度であり、それから7年余りが経過した。

ここに収めた資料は、内容的にみれば、シリーズ各書と同類といえるものを含みながらも、当協会調査員の調査・研究の蓄積と、そこから展開された遺跡の歴史的理解の深化を基礎としており、遺跡の実体をより詳細に、総合的に理解するための最新の研究材料といえる。ことに多くの石器資料は、シリーズ前書にも増して、太古の人びとの石割りの姿を具体的に蘇らせるであろう。

これらの最新資料を緻密に観察され、関係各位の研究に生かされるならば、また新たな学問展開が生まれてくるものと期待される。本書がそのような趣旨で活用され、長原・瓜破遺跡はもとより中河内地方の歴史的変遷を紐解き、ひいては日本原始・古代史の解明の一助となれば、関係者としては望外の喜びである。

最後に、発掘調査および報告書作成に当たって、惜しむことなくご配慮、ご援助を寄せてくださった長吉瓜破区画整理事務所の諸兄に、深謝の意を表する。

財団法人 大阪市文化財協会

理事長 佐治敬三

## 例　　言

- 一、本書は大阪市建設局区画整理部長吉瓜破区画整理事務所施行の大阪市平野区における1989年度土地区画整理事業に伴う発掘調査の報告書である。
- 一、発掘調査の作業は財団法人大阪市文化財協会調査課長永島輝臣(現専門調査役)の指揮のもとに、同課長代理木原克司(現鳴門教育大学)・趙哲清・高井健司(現総務課主任)・櫻井久之・高橋工・岡村勝利・清水和明・佐藤隆・前田勝己(現富士市教育委員会)・吉井京子(旧姓鈴木・現埼玉県在住)・清水和の各調査員が行った。各調査の地番・面積・期間などは、第Ⅰ章第2節の表1に記した。
- 一、本書の執筆は、上記調査員との検討や調査記録をもとに、第Ⅰ・Ⅱ章と第Ⅲ・Ⅳ章の遺構および第Ⅴ章を趙が、第Ⅵ章の土器・木器・金属器等を伊藤幸司・鳥居信子が保存処理を行った上で田中清美(現調査課長代理)が、第Ⅶ章第2~4・6節の石器遺物を趙・松本百合子・清水和明・堀川一徳が、同第5節の石器と有茎尖頭器は櫻井・小田木富恵美が、第Ⅷ章第2節の動物遺体を久保弘士がそれぞれ主として分担し、分担者相互の討論を経た上で編集は趙が行った。また、巻末の英文要旨の作成は岡村とオーストラリア・クイーンズランド大学生Robert Condonが行った。
- 一、自然遺物のうち、第Ⅸ章第1節の花粉分析は川崎地質株式会社(担当、渡辺正巳氏)に、第Ⅹ章第3節の土壤中火山灰排出分析は株式会社京都フィッショントラック(担当、植原徹氏)に委託した。また<sup>14</sup>C年代測定は学習院大学理学部年代測定室(担当、木越邦彦氏)に委託した。
- 一、遺物の写真撮影は、徳永園治氏に委託した。また、現場での写真は協会調査員によるものである。
- 一、測量は大阪市1級基準点・水準点と、大阪市都市協会設置の座標を国土平面直角座標第VI系に換算して併用した。水準値はT.P.(東京湾平均中等海面)値を用い、本文中ではTPと略称した。
- 一、発掘調査と報告書作成の費用は、大阪市建設局および同市水道局・同市下水道局・日本電信電話公社(現日本電信電話株式会社)・関西電力株式会社・大阪ガス株式会社が負担した。
- 一、発掘調査で得られた出土遺物、その他の資料は当協会が保管・管理している。

### 謝辞

本調査報告に当り、元奈良国立文化財研究所埋蔵文化財センターの松沢雅生氏(現笠懸野岩宿文化資料館)には、石器遺物の剥離面検討に際してご指導いただいた。京都大学文学部の山中一郎氏には剥片の属性分析についてご教示いただいた。元京都大学文学部の森本晋氏(現奈良国立文化財研究所埋蔵文化財センター)には石器遺物の調査に際してご援助いただいた。同志社大学文学部の松藤和人氏・香芝市立二上山博物館の佐藤良二氏・兵庫県教育委員会の久保弘幸氏には石器遺物の検討に際して、有益なご意見をいただいた。以上の方々に、厚くお礼申し上げる。

発掘調査および資料整理・作図には財団法人大阪市文化財協会に所属する多くの補助員の援助を得た。いちらい名前は挙げないが、記して深謝の意を表す。

## 凡　例

本書ではシリーズⅣ(前書)の用例に一部手を加えて、下記のとおり記述した。

1. 地層の呼称　標準層序の地層名は、地層番号の前に「長原」を付けてたとえば「長原9A層」と呼んだ。また、図表等では必要に応じて長原遺跡の略号である「NG」を付けて「NG9A層」と表記した。本報告書では各調査地の地層を標準層序に準拠して呼称した。
2. 地層や遺構の構成物質の記載　構成物質の主体を占める碎屑物粒子と、その運動・堆積(沈着)条件を決定する営力の大きさとの運動関係がもっともよく反映されている碎屑物の粒径区分(ウェントワース・ペティジョン式)を用いて記載した。なお、地層や遺構の構成物質を碎屑物の粒径区分を用いずに記載した調査がいくつかあったが、本書ではその後の近隣調査地での観察を踏まえて、できるだけ碎屑物の粒径区分に読み換えて記述した。また、断面図・柱状図での粒径表記の仕方は第Ⅱ章第2節の図5に示した。
3. 遺構の検出面　遺構検出面の層序関係に基づく呼称は、上面・地層内・下面・基底面を用い、形成過程に基づく呼称は、加工面・機能面を用いた。
4. 遺構の略号　掘立柱建物(SB)・竪穴住居(SB)・井戸(SE)・柱穴(SP)・ピット(SP)・土壌(SK)・溝(SD)・墓を含むその他の遺構(SX)・自然流路(NR)・石器密集部・集中部(LC)の略号を用い、畦(SR)を加えた。また、遺構の大きな検出層準が区別できるように、略号の後ろには通し番号を付して、標準層序の長原6層層準の建物にはSB6〇〇、長原4層層準の溝にはSD4〇〇のように表記した。
5. 本シリーズで既報告の遺構　本報告の調査地に本シリーズの調査報告で既に記載された遺構が連続するばあい、その関係を示すために、シリーズ番号を付して、それがシリーズⅣで記載した遺構SD912なら、SDⅣ912のように表記した。
6. 遺物番号　石器遺物は調査年度+遺跡記号+調査記号+石器遺物のR番号で示した。たとえばNG89-37次調査地での取上げ番号R45の石器遺物は、「89BH45」と表わした。ここに、89は1989年度を、Bは長原遺跡に与えられた遺跡記号を、Hはその調査の次数に与えられた記号を、45はR番号45の石器遺物であることをそれぞれ示す。なお、遺跡記号と当年度の調査記号は第Ⅰ章第2節の表2・3に示し、混乱がないばあいには調査年度を省略した。一方、石器遺物以外の遺物には、本書独自の通し番号を付した。
7. 石器遺物の接合資料番号　それぞれの調査地の調査記号に、conJoiningの」を加えて、たとえば、調査記号BHの接合番号1の接合資料をJ89BH-1と表記するのを原則とし、混乱がない場合には調査年度を示す89を省略した。また、複数の調査地の出土遺物が接合した資料は、JJ-1のように、」を重ねた後ろに通し番号を付して表記することにした。なお、接合の状況の理解のために、個々の記述の冒頭に剥離順序を示したものがあるが、その表記の仕方は第Ⅳ章第1節に記した。
8. その他の用語　遺物の記載用語は前書までに慣例的に用いられてきた用例に従ったが、石器遺物については大阪市文化財協会(1995)をほぼ踏襲し、山中一郎(1995)の用語解説を参照した上で、異音同義語に関して、これを優先した。その他の用字・用語法は当協会の内規によった。

## 本文目次

### 序文

### 例言

第Ⅰ章 調査の経過と概要 .....	1
第1節 長原遺跡の既往の調査 .....	1
第2節 1989年度の区画整理事業に伴う調査 .....	5
1. 長原東南地区の調査 .....	5
(1) NG89-19次調査地 .....	5
(3) NG89-22④次調査地 .....	7
(5) NG89-26次調査地 .....	8
(7) NG89-65次調査地 .....	9
(9) NG89-80次調査地 .....	9
2. 長原中央地区の調査 .....	9
(1) NG89-33次調査地 .....	9
3. 長原西地区の調査 .....	10
(1) NG89-20次調査地 .....	10
4. 長原西南地区の調査 .....	11
(1) NG89-43次調査地 .....	11
(2) NG89-67次調査地 .....	11
5. 石器遺物の調査 .....	11
第Ⅱ章 長原遺跡の地層 .....	13
第1節 地形と地質の概要 .....	13
第2節 長原遺跡の標準層序 .....	14
1. 完新統 .....	14
(1) 沖積層上部層Ⅰ .....	14
(3) 沖積層中部層 .....	14
2. 上部更新統および完新統の下部 .....	15
(1) 長原12/13層漸移帶 .....	15
(2) 沖積層下部層 .....	15

(3) 低位段丘構成層	15	(4) 中位段丘構成層	15
第3節 火山灰層・火山灰濃集層準			19
1. NG89-22④次調査地の土壤中火山灰抽出分析			19
(1) 試料	19	(2) 分析方法	19
(3) 分析結果および考察	19		
2. 火山灰層の降灰年代と火山灰の岩石記載的性質			23
<b>第Ⅳ章 調査の結果 前編</b>			25
第1節 89-19次調査地			25
1. 層序			25
2. 造構とその遺物			27
(1) 中世・近世の造構	27	(2) 古墳時代末～奈良時代の造構	27
(3) 弥生時代中期後半の造構・窪み	32		
(4) 弥生時代中期前半の造構	32		
(5) 繩文時代晚期～弥生時代中期初頭の自然地形・窪み	35		
(6) 繩文時代後期の窪み	35	(7) 繩文時代中期の自然地形	35
(8) 後期旧石器時代末～繩文時代初頭の造構	35		
(9) 後期旧石器時代前半の造構・微地形	36		
3. 包含層出土遺物			36
(1) 長原4Bii層出土遺物	36	(2) 長原4Biii層出土遺物	37
(3) 長原4Biii層出土遺物	37	(4) 長原6層出土遺物	37
(5) 長原6～7層出土の弥生土器	37		
第2節 89-23次調査地			38
1. 層序			38
2. 造構とその遺物			38
(1) 中世の造構	38	(2) 飛鳥～奈良時代の造構	38
(3) 古墳時代の造構	38		
(4) 弥生時代前～中期初頭の造構・自然流路	42		
(5) 後期旧石器時代末～繩文時代初頭の造構	45		
3. 包含層出土遺物			45
(1) 長原2層出土の須恵器	45	(2) 長原4B層出土の土師器	46
(3) 長原4Biii層出土遺物	46	(4) 長原7層出土の古式土師器	46
第3節 89-37次調査地			47
1. 層序			47

2. 遺構とその遺物	47
(1) 近世の遺構	47
(2) 古墳時代の遺構	47
(3) 弥生時代中期の遺構	47
(4) 弥生時代中期前半の遺構	49
(5) 弥生時代前期～中期初頭の自然地形	49
(6) 縄文時代後期～晩期の窪み	52
(7) 後期旧石器時代の遺構	52
第4節 89-22次調査地	54
1. 層序	54
2. 遺構とその遺物	54
(1) 中世・近世の遺構	54
(2) 古墳時代の遺構	54
(3) 弥生時代前期～中期初頭の遺構	59
(4) 縄文時代後期～晩期の遺構・窪地	63
(5) 縄文時代中期の自然地形・窪み	63
(6) 後期旧石器時代後半～縄文時代初期の遺構	65
(7) 後期旧石器時代前半の石器散布地	66
3. 包含層出土遺物	66
(1) 長原12Bii層出土の縄文土器	66
(2) 長原12Bii～田層出土の縄文土器	67
第5節 89-80次調査地	68
1. 層序	68
2. 遺構とその遺物	68
(1) 中世の遺構	68
(2) 奈良時代の遺構	69
(3) 古墳時代の遺構	70
(4) 弥生時代前～中期初頭の遺構	73
3. 包含層出土遺物	74
(1) 長原4C層出土遺物	74
(2) 長原6A層出土の須恵器	74
(3) 長原7層出土の土師器	74
(4) 長原9A層出土の長原式土器	75
第6節 89-72次調査地	76
1. 層序	76
2. 遺構とその遺物	76
(1) 近世の遺構	76
(2) 中世の遺構	78
(3) 奈良時代の遺構	78
(4) 飛鳥時代の遺構	79
(5) 古墳時代の遺構	80
第7節 89-26次調査地	81
1. 層序	81
2. 遺構とその遺物	81
(1) 近世末～近代の遺構	81
(2) 近世以前の時期未詳遺構	81

(3) 中世末～近世の遺構	82	(4) 弥生時代中期後半の遺構	83
(5) 弥生時代中期初頭以前の遺構	84		
第8節 89-33次調査地	85		
1. 層序	85		
2. 遺構とその遺物	85		
第9節 89-20次調査地	86		
1. 層序	86		
2. 遺構とその遺物	86		
(1) 中世の遺構	86	(2) 飛鳥時代の遺構	86
(3) 古墳時代の遺構	87		
3. 包含層出土遺物	90		
(1) 長原4A層出土遺物	90	(2) 長原6Aii層出土の須恵器	91
第10節 89-43次調査地	92		
1. 層序	92		
2. 遺構とその遺物	92		
(1) 近世の遺構	92	(2) 中世の遺構	93
(3) 古墳～奈良時代の遺構	93	(4) 繩文時代の遺構	95
第11節 89-67次調査地	97		
1. 層序	97		
2. 遺構とその遺物	97		
(1) 中世の遺構	97	(2) 飛鳥時代の遺構	97
3. 包含層出土遺物	104		
(1) 長原6層出土遺物	104		
第IV章 調査の結果 中編	105		
第1節 石器遺物の調査概要	105		
1. 出土層準および器種	105		
2. 記載のための用語と表記方法	107		
3. 母岩分類	109		
第2節 89-37次調査地の石器集中部	110		
1. 石器遺物の出土状況	110		
(1) 地区割り	110	(2) 石器集中部と石器密集部	110
(3) 石材・母岩別の器種と分布	114	(4) 接合資料の分布	117

2. 石器遺物の観察 .....	120		
(1) 石核とナイフ形石器の接合資料 .....	120		
(2) 石核と剥片の接合資料 .....	124	(3) 石核 .....	143
(4) ナイフ形石器と剥片の接合資料 .....	144		
(5) ナイフ形石器 .....	146	(6) 剥片どうしの接合資料 .....	150
(7) 細部調整剥片・使用痕をもつ剥片 .....	154		
(8) 叩き石 .....	155	(9) 受熱輝 .....	155
3. LC1301～1303石器群の剥片剥離技術について（予察） .....	156		
第3節 89-19次調査地の石器集中部 .....	159		
1. 石器遺物の出土状況 .....	159		
(1) 地区割り .....	159	(2) 石器集中部 .....	159
(3) 石材・母岩別の器種と分布 .....	159	(4) 接合資料の分布 .....	161
2. 石器遺物の観察 .....	165		
(1) 母岩21の接合資料 .....	165	(2) 母岩22の接合資料 .....	168
(3) 母岩23の接合資料 .....	168	(4) 母岩24の接合資料 .....	170
(5) 母岩26の接合資料 .....	170	(6) 叩き石 .....	171
3. 接合資料からみた目的物の検討 .....	171		
4. 石器集中部LC1203の性格 .....	172		
第4節 89-22次調査地の石器集中部 .....	175		
1. 石器遺物の出土状況 .....	175		
(1) 地区割り .....	175	(2) 石器集中部 .....	175
2. 石器遺物の観察 .....	175		
(1) 石器集中部LC1304内 .....	175	(2) 石器集中部LC1304外 .....	176
第5節 有茎尖頭器・石錐 .....	177		
1. 有茎尖頭器 .....	177		
2. 石錐 .....	177		
(1) 長原8B層出土の石錐 .....	180	(2) 長原9A層出土の石錐 .....	180
(3) 長原9C層出土の石錐 .....	180	(4) 長原12A層出土の石錐 .....	180
(5) 長原12B・C層出土の石錐 .....	180	(6) 長原12／13層漸移帶出土の石錐 .....	181
(7) 長原12A層～12／13層漸移帶ほか出土の石錐 .....	181		
第6節 その他のおもな石器遺物 .....	182		
1. 長原14層出土の石器遺物 .....	182		
2. 長原12層～13層出土の石器遺物 .....	182		
(1) 削器・搔器 .....	182	(2) 石核 .....	182

(3) 細部調整剥片・使用痕をもつ剥片	182
3. 長原9A層出土の石器遺物	182
(1) 石斧	183
(2) 磨石・擦り石	183
 第V章 調査の結果 後編	197
第1節 花粉分析	197
1. 分析の目的と試料について	197
2. 分析方法および分析結果	197
3. 考察	198
1) 花粉分帯	198
(1) II带	198
(2) I带	198
2) 他地域との比較－縄文時代晚期～弥生時代前期の気候について－	198
3) 植生変遷	202
(1) 縄文時代草創期～後期 (IIc亜帶)	202
(2) 縄文時代後～晚期 (Iib亜帶)	202
(3) 弥生時代前期～中期初頭 (Iia亜帶)	202
(4) 弥生時代中期前半 (I带)	202
4.まとめ	203
第2節 動物遺体	204
 第VI章 1989年度の調査のまとめ	205
1. 後期旧石器時代	205
2. 縄文時代草創期～中期	206
3. 縄文時代後期～弥生時代中期	206
4. 弥生時代後期～古墳時代	207
5. 飛鳥～奈良時代	210
6. 中世～近世・近代	210
引用・参考文献	211
 あとがき	
索引	
英文要旨	
報告書抄録	

## 原色図版目次

- 1 長原東南地区出土の石器遺物  
上：NG89-37次調査地 石器集中部LC1301～  
下：NG89-19次調査地 石器集中部LC1203の  
接合資料  
03の接合資料

## 図版目次

- 1 長原東南地区89-19次調査地 縄文時代草創期？の  
遺構ほか  
上：東区近景  
下：西区 石器集中部LC1203
- 2 長原東南地区89-19次調査地 縄文時代草創期？の  
遺構  
上：石器集中部LC1203  
下：同上
- 3 長原東南地区89-19次調査地 弥生時代中期初頭の  
遺構  
上：西区 長原8Cii層上面の人間の足跡  
下：同上 行跡2の足印断面
- 4 長原東南地区89-19次調査地 弥生時代中期初頭に  
埋った自然流路ほか  
上：西区 東川辺川NR901  
下：東区 中世水田作土層から出土した和同  
開亦
- 5 長原東南地区89-19次調査地 古墳時代末ごろの遺  
構  
上：西区 清SD701  
下：SD701の機能面に見られる偶蹄類の足印
- 6 長原東南地区89-23次調査地 弥生時代前期の遺構  
上：調査地全景  
下：遺物群SX911
- 7 長原東南地区89-23次調査地 古墳時代の遺構  
上：土器埋納ビットSP704  
下：ビットSP705
- 8 長原東南地区89-23次調査地 古墳・中世の遺構  
上：古墳時代の井戸SE703断面
- 9 長原東南地区89-37次調査地 後期旧石器時代の遺  
構（1）  
①区 石器集中部LC1301～03遠景
- 10 長原東南地区89-37次調査地 後期旧石器時代の遺  
構（2）  
上：③区 石器集中部LC1301  
下：③区 石器集中部LC1301a
- 11 長原東南地区89-37次調査地 後期旧石器時代の遺  
構（3）  
上：③区 石器集中部LC1302  
下：③区 石器集中部LC1303
- 12 長原東南地区89-37次調査地 弥生時代前・中期の  
遺構  
上：②区 自然流路NR912  
下：②区 溝SD803・塙地SX804
- 13 長原東南地区89-22次調査地 後期旧石器時代の遺  
構  
上：④区 石器集中部LC1304  
下：①区 石器遺物の分布状況
- 14 長原東南地区89-22次調査地 縄文時代中期末の遺  
構  
上：③区全景  
下：②区 人間の足跡状の虚み群ほか
- 15 長原東南地区89-22次調査地 縄文時代中期の自然  
流路・弥生時代前～中期初頭の水田  
上：③区 縄文時代中期の古川辺川NR1201b  
下：④区 弥生時代前～中期初頭の水田
- 16 長原東南地区89-80次調査地 地層断面ほか

- 上：西区近景  
下：西区 地層断面
- 17 長原東南地区89-80次調査地 弥生時代前期の遺構  
上：西区 溝SD923  
下：SD923出土の木製品
- 18 長原東南地区89-80次調査地 弥生時代前期・中世の遺構  
上：中央区 土器棺墓SX922  
下：中央区 中世の溝SD407群
- 19 長原東南地区89-72次調査地 飛鳥時代・中世の遺構  
上：飛鳥時代の土壙SK607群  
下：中世の糞清群・溝・土壙など
- 20 長原東南地区89-72次調査地 奈良時代の遺構  
上：長原6A層上面の水田  
下：水田上面に残された土器63
- 21 長原東南地区89-26次調査地 弥生時代中期・中世末～近代の遺構  
上：弥生時代中期の溝SD805  
下：中世末～近代の遺構群全景
- 22 長原東南地区89-26次調査地・近世の遺構  
上：井戸SE209  
下：井戸SE212
- 23 長原中央地区89-33次調査地 飛鳥・奈良時代の遺構  
上：東区 長原6B層上面の水田  
下：西区 長原6A層上面の水田
- 24 長原西地区89-20次調査地 中世の遺構ほか  
上：全景  
下：東部 長原4Bi層上面の水田
- 25 長原西地区89-20次調査地 飛鳥・中世の遺構  
上：東部 長原6B～7層下面の遺物検出状況  
下：西部 長原4Bi層上面の島畠状遺構
- 26 長原西南地区89-43次調査地 繩文時代？・中世の遺構  
上：南区 繩文時代？の石器集中部の名残り  
下：北区南部 中世の土壙SK425
- 27 長原西南地区89-43次調査地 古墳時代～近世の遺構  
上：北区南部遠景  
下：北区北部 溝SD718・井戸SE616ほか
- 28 長原西南地区89-67次調査地 飛鳥時代の遺構  
(1)  
上：全景  
下：掘立柱建物SB618
- 29 長原西南地区89-67次調査地 飛鳥時代の遺構  
(2)  
上：掘立柱建物SB620  
下：溝SD629出土の土器
- 30 長原東南地区89-19次調査地 遺構・包含層出土遺物  
溝SD701、長原4Bi層、長原4Bii層、長原4Biii層、長原6層、長原6～7層
- 31 長原東南地区89-23次調査地 遺構・包含層出土遺物  
ピットSP704、SP705、SX911、SD910、NR907、長原7層
- 32 長原東南地区89-22・80次調査地 遺構・包含層出土遺物  
上：長原12Bi層、長原12Bii～iv層、土器棺墓SX922  
下：溝SD923、長原9A層、窪地SX710
- 33 長原東南地区89-20・43・67・72次調査地 遺構・包含層出土遺物  
長原6B～7層、SD718～SK715、SK716、土壙SK623、土壙SK624、溝SD625、溝SD626、溝SD631、長原6A層水田上面
- 34 長原東南地区89-67次調査地 遺構出土遺物  
土壙SK623、溝SD629
- 35 長原東南地区89-37次調査地 後期旧石器時代の石器遺物 接合資料(1)  
母岩1
- 36 長原東南地区89-37次調査地 後期旧石器時代の石器遺物 接合資料(2)  
母岩2、母岩6

- 37 長原東南地区89-37次調査地 後期旧石器時代の石器遺物 接合資料（3）  
母岩9  
47 長原東南地区89-37次調査地 後期旧石器時代の叩き石・受熱摩  
き石、受熱摩
- 38 長原東南地区89-37次調査地 後期旧石器時代の石器遺物 接合資料（4）  
母岩9、母岩12  
48 長原東南地区89-19次調査地 純文時代草創期？の石器遺物 接合資料（1）  
母岩21
- 39 長原東南地区89-37次調査地 後期旧石器時代の石器遺物 接合資料（5）  
母岩9、母岩9'  
49 長原東南地区89-19次調査地 純文時代草創期？の石器遺物 接合資料（2）  
母岩22
- 40 長原東南地区89-37次調査地 後期旧石器時代の石器遺物 接合資料（6）  
母岩4、母岩9、母岩9'、母岩10  
50 長原東南地区89-19次調査地 純文時代草創期？の石器遺物 接合資料（3）  
母岩23
- 41 長原東南地区89-37次調査地 後期旧石器時代の石器遺物 接合資料（7）および石核  
母岩9、母岩9'  
51 長原東南地区89-19次調査地 純文時代草創期？の石器遺物 接合資料（4）  
母岩21、母岩23、母岩24
- 42 長原東南地区89-37次調査地 後期旧石器時代のナイフ形石器（1）  
一側縁調整ナイフ形石器  
52 長原東南地区89-19-22次調査地 純文時代草創期？の石器遺物 接合資料（5）および叩き石  
母岩26、叩き石
- 43 長原東南地区89-37次調査地 後期旧石器時代のナイフ形石器（2）  
一側縁調整ナイフ形石器、二側縁調整ナイフ形石器  
53 長原東南地区89-19-22次調査地 後期旧石器時代の石器遺物  
接合資料、削器、長原14層出土剥片
- 44 長原東南地区89-22・23・37次調査地 後期旧石器時代のナイフ形石器  
一側縁調整ナイフ形石器、二側縁調整ナイフ形石器、基部調整ナイフ形石器  
54 長原東南地区89-23・37次調査地 後期旧石器時代～純文時代草創期の石器遺物  
石核、搔器、使用痕をもつ剥片
- 45 長原東南地区89-37次調査地 後期旧石器時代の石核  
母岩1、母岩7、母岩8、母岩10、母岩16、  
母岩19  
55 長原東南地区89-23次調査地 弥生時代前～中期初頭の石器遺物  
石斧、有溝砥石、擦り石
- 46 長原東南地区89-37次調査地 後期旧石器時代の細部調整剥片・使用痕をもつ剥片  
母岩6、母岩7、母岩9、母岩9'、母岩13、  
母岩18  
56 長原東南地区 石鎧  
長原8B層およびその相当時期、長原9A層、  
長原9C層、長原12A層、長原12BC層、長原12/13層
- 57 長原東南地区 石鎧・有茎尖頭器  
長原12A～12/13層表面出土石鎧、有茎尖頭器

## 挿 図 目 次

図 1 長原・瓜破遺跡とその周辺遺跡の位置	2	(その3) .....	60-61
図 2 長吉瓜破地区土地区画整理事業施工範囲と 地区区分	3	図25 89-22次調査地の地層断面と遺構の分布	
図 3 長原遺跡東南地区的調査位置	6	(その4) .....	62
図 4 長原遺跡中央・西・西南地区的調査位置	10	図26 22②次調査地長原12層上面および地層断面	
図 5 断面図・柱状図で用いる岩相の凡例	18	.....	64-65
図 6 NG89-22④次調査地試料採取層準模式 柱状図および分析結果	20	図27 22①次調査地長原12A層上面の足跡状の 塊み群	
図 7 89-19次調査地の地層断面と遺構の分布 (その1)	28-29	図28 刃片89BD29の出土層準	66
図 8 89-19次調査地の地層断面と遺構の分布 (その2)	30-31	図29 22次調査地の包含層出土遺物実測図	66
図 9 清SD701断面	32	図30 89-80次調査地の地層断面と遺構の分布	69
図10 長原8Cii層上面の人間の足跡	33	図31 80次調査地の遺構・包含層出土遺物実測図	
図11 行跡2の足印断面	34	.....	72
図12 19次調査地の遺構・包含層出土遺物実測図		図32 SD923出土の木製品実測図	74
	36	図33 80次調査地周辺の弥生時代前期の墓域	75
図13 89-23次調査地の地層断面と遺構の分布	40	図34 89-72次調査地の地層断面と遺構の分布	77
図14 SE703・SP704・SD908~910断面	41	図35 水田畦畔SR605断面	78
図15 長原9A層の遺物群	42	図36 72次調査地周辺の長原6A層上面の水田	79
図16 23次調査地の遺構・包含層出土遺物実測図		図37 長原6A層水田上面の土器実測図	79
	44	図38 89-26次調査地の地層断面と遺構の分布	82
図17 23次調査地周辺の長原9A層上面の状況	45	図39 井戸SE209・210ほか平面・断面	83
図18 長原12層以下に見られるスランギング構造		図40 井戸SE213平面・内側面	83
	49	図41 SE212出土の漆器実測図	84
図19 NR912断面	49	図42 土壙SK924平面・断面	84
図20 89-37次調査地の地層断面と遺構の分布 (その1)	50-51	図43 清SD805断面	84
図21 89-37次調査地の地層断面と遺構の分布 (その2)	52-53	図44 89-33次調査地の地層断面と遺構の分布	85
図22 89-22次調査地の地層断面と遺構の分布 (その1)	56-57	図45 89-20次調査地の地層断面と遺構の分布	
図23 89-22次調査地の地層断面と遺構の分布 (その2)	58	.....	88-89
図24 89-22次調査地の地層断面と遺構の分布		図46 20次調査地の包含層出土遺物実測図	90
		図47 43次調査地遺構密集部平面図	93
		図48 89-43次調査地の地層断面と遺構の分布	
		.....	94-95
		図49 43次調査地の遺構出土遺物実測図	96
		図50 43次調査地の遺構出土遺物実測図	96
		図51 89-67次調査地の地層断面と遺構の分布	98
		図52 67次調査地の遺構出土遺物実測図	99

図53	67次調査地の遺構・包含層出土遺物実測図	図70	接合資料JBH-42剥離順序模式図	139
	.....	図71	接合資料JBH-81・84実測図	141
図54	獨立柱建物SB618・620	図72	接合資料JBH-51・52実測図	145
図55	獨立柱建物SB619	図73	ナイフ形石器実測図（その1）	148
図56	長原遺跡新西南地区・瓜破遺跡東南地区的 飛鳥時代の建物群	図74	ナイフ形石器実測図（その2）	149
図57	37③次調査地の石器遺物出土状況	図75	接合資料JBH-5実測図	152
図58	石器集中部LC1301の状況	図76	石器集中部LC1203の状況	160
図59	石器集中部LC1302~03の状況	図77	LC1203の捕集遺物の個数	161
図60	接合資料JBH-2実測図	図78	LC1203母岩別資料の分布	162
図61	接合資料JBH-24・48実測図	図79	LC1203接合資料の分布（その1）	163
図62	接合資料JBH-1実測図	図80	LC1203接合資料の分布（その2）	164
図63	接合資料JBH-3実測図（その1）	図81	長原遺跡東南地区・八尾南遺跡周辺の おもな石器集中部	173
図64	接合資料JBH-3実測図（その2）	図82	LC1304の状況	175
図65	接合資料JBH-13実測図（その1）	図83	石鎧・有茎尖頭器実測図	178
図66	接合資料JBH-13実測図（その2）	図84	石鎧実測図	179
図67	接合資料JBH-28実測図	図85	試料採取柱状図	197
図68	接合資料JBH-28剥離順序模式図	図86	長原遺跡89-19次調査地の花粉ダイアグラム	
図69	接合資料JBH-42実測図			199

## 表 目 次

表 1	1989年度区画整理関連調査一覧	5	表13	NG89-72次調査地の層序	76
表 2	遺跡記号と遺跡名对照表	12	表14	NG89-26次調査地の層序	81
表 3	調査記号と調査次数対照表	12	表15	NG89-33次調査地の層序	85
表 4	長原遺跡の標準層序1995	16-17	表16	NG89-20次調査地の層序	87
表 5	各遺跡より産出した火山ガラスの特性と 琵琶湖ボーリングの火山灰、広域チフラの 特性との比較	21	表17	NG89-43次調査地の層序	92
表 6	U-2·4·6·8試料およびU-14~42連続試料に おける火山ガラス濃集層準とその特徴	22	表18	NG89-67次調査地の層序	97
表 7	火山灰の岩石記載的性質	24	表19	調査地・層準別の出土石器遺物一覧	106
表 8	NG89-19次調査地の層序	26	表20	石器集中部LC1301~04石器群・LC1203 石器群の母岩分類	108
表 9	NG89-23次調査地の層序	39	表21	石器集中部LC1301~03およびその周辺から 発掘した遺物と洗浄篩別により捕集した 遺物の偏り	112
表10	NG89-37次調査地の層序	48	表22	石器集中部LC1301~03の石器組成	113
表11	NG89-22次調査地の層序	55	表23	LC1301~03の母岩別石器組成	118
表12	NG89-80次調査地の層序	70-71	表24	接合資料の分布	119

表25 ナイフ形石器一覧表	147	表27 検出花粉化石数量表	200-201
表26-1~13		表28 動物遺体一覧表	204
金石器遺物一覧 (その1~13)	184-196	表29 各調査地の遺構とその検出面一覧	208-209

## 第Ⅰ章 調査の経過と概要

### 第1節 長原遺跡の既往の調査

大阪市平野区の南東部に位置する長原遺跡(図1)は、1973~74年に府道中央環状線内で大阪文化財センターが実施した試掘調査によって発見され、その後の地下鉄谷町線の延伸工事に伴う発掘調査をはじめとして20余年にわたる幾多の発掘調査をへて、現在では後期旧石器時代以降、近世にいたる複合遺跡として知られている。なお、大阪府教育委員会は大阪文化財センター(1974)の調査結果に基づいて、遺跡北部の城山遺跡と南部の長原遺跡を呼び分けているが、大阪市文化財協会(1982a)は埋蔵文化財発掘届の遺跡名を踏襲して、一連の遺跡群として長原遺跡と総称し、今日にいたっている。

1974年から発掘調査を担当した長原遺跡調査会は、弥生時代の住居址群と長原古墳群と呼ぶ小規模古墳群や中世の遺構群の存在を明らかにし、1977~79年には、縄文時代晩期の住居址、旧石器時代の石器製作址を発掘して注目を集めた(大阪市文化財協会 1982a・b)。また、1976~78年には地下鉄路線と並行する近畿自動車道部分を大阪文化財センターが調査し、古墳群と中世遺構群のあり方に検討を加えた(大阪文化財センター 1978)。

長原遺跡調査会の成果を引き継いだ大阪市文化財協会(1982b・1983)は、1980年から遺跡南部の層序の検討を開始し、基本層序を提案した。この調査と並行して、近畿自動車道の建設に伴う発掘調査を大阪文化財センター(1985・1986a・b・c)が実施し、遺跡中央地区で弥生時代の住居址をはじめとする多時期の遺構と遺物に検討を加えている。

長吉瓜破地区土地区画整理事業は1981年度から本格的に開始されたものである(図2)。この区画整理事業に伴って、大阪市文化財協会は1981年度から毎年、発掘調査を実施してきた。

1981年度は長原南地区で1件・2,900m<sup>2</sup>の区画整理事業に伴う調査を実施し(大阪市文化財協会 1989)、長原古墳群が近畿自動車道沿いのみならず、長吉川辺1丁目の古墳群を含む広い範囲に及ぶことを明らかにした。一方、東南地区の養護学校建設に伴う調査では、縄文時代晩期~弥生時代前期の大規模な墓地を発掘した(大阪市文化財協会 1983)。

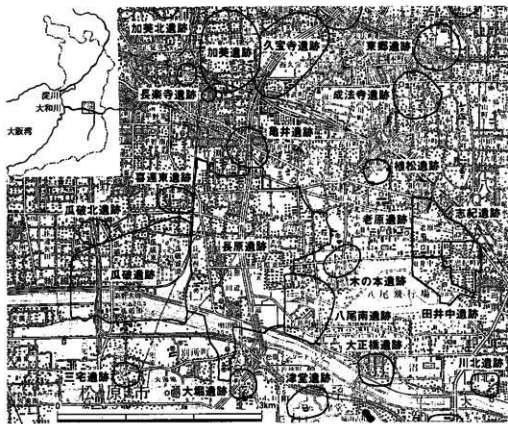


図1 長原・瓜破遺跡とその周辺遺跡の位置（国土地理院発行5万分の1地形図「大阪東南部」を使用）

1982年度になると区画整理事業に伴う調査は件数・面積ともに増加した。長原西・南・東南地区、および瓜破東南地区で7件・4,480m<sup>2</sup>を実施し(大阪市文化財協会 1990)、長原古墳群の内容を詳しく検討した。一方、長原東南地区においては市営住宅の建設に伴う調査で、府下で最古の弥生時代中期初頭の水田址や、方形周溝墓・小規模古墳を発見した。

1983年度は区画整理施行範囲の全地区に調査地域が拡がった。8件・6,170m<sup>2</sup>の調査を実施し(大阪市文化財協会 1992a)、長原古墳群とともに、古墳群の築造に係わった集団のもとの推定される当時の建物群を発見し、土師器の器種構成の詳しい検討を行った。また層序の改訂を行い、長原遺跡とその周辺地域にも適用できる標準層序を提案した。

1984年度には長原西・南・東南地区で8件・3,870m<sup>2</sup>の区画整理事業に伴う調査を実施し、飛鳥～室町時代の建物群とそれに伴う遺物を検討した(大阪市文化財協会 1992b)。特に、西地区的飛鳥時代の建物群はそれまで知られていなかったものであった。

1985年度には長原西・北・中央～南・東南地区に分散して15件・約5,500m<sup>2</sup>の区画整理事業

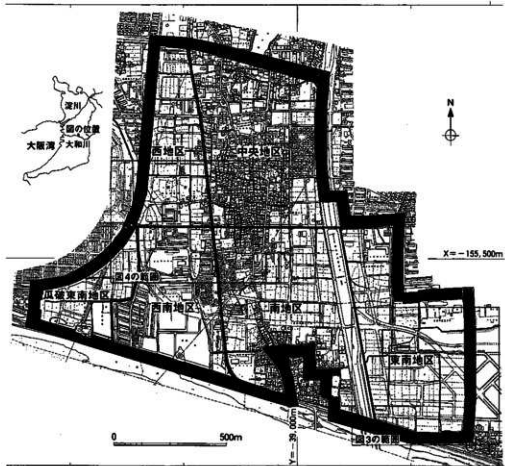


図2 長吉瓜破地区土地区画整理事業施工範囲と地区区分

に伴う調査を実施し(大阪市文化財協会 1993a)、石鏡の形態、古墳時代後半期の土器の型式編年、馬形埴輪などに検討を加えた。一方、中央地区のマンション建設に伴う調査では、長原古墳群の最終末に築造された横穴式石室をもつ七ノ坪古墳が発掘されている。

1986年度には長原西・中央・南・東南地区で19件・約4,700m<sup>2</sup>の区画整理事業に伴う調査を実施し(大阪市文化財協会 1993b)、古墳時代の集落のようすを明らかにし、須恵器製作に係わる木製工具類、朝鮮半島からの渡来をうかがわせる紡錘車・武人埴輪、飛鳥～平安時代の土器埋納遺構などに検討を加えた。

1987年度には長原東南地区と瓜破東南地区に分散して19件・6,235m<sup>2</sup>の区画整理事業に伴う調査を実施した(大阪市文化財協会 1994)。瓜破遺跡では飛鳥時代の官衙を思わせる建物群を発掘した。長原遺跡では弥生時代の水路や古墳を検出した。

1988年度には長原東南地区と中央地区・西地区で16次・20件・5,664m<sup>2</sup>の区画整理事業に伴う調査を実施した(大阪市文化財協会 1995)。東南地区では旧石器時代の石器密集部と弥生時代中期の方形周溝墓を検出した。また、石鏡の縄文時代早期～弥生時代中期における形態変遷を検討した。中央地区では古墳時代後期・長原古墳群の終末期に築造された帆立貝形の「南口古墳」を発見し、周濠内のウマ遺体は馬供儀のあり方に話題を提供した。

## 第2節 1989年度の区画整理事業に伴う調査

1989年度の区画整理事業に伴う調査件数は、12次・13件であり、総調査面積は4,700m<sup>2</sup>であった。調査は長原遺跡の東南地区に位置する長吉川辺3丁目で8次・9件・3,467m<sup>2</sup>と集中して行われ、中央地区で1件・21m<sup>2</sup>、西地区で1件・432m<sup>2</sup>、西南地区で2件・780m<sup>2</sup>であった(図3・4)。当協会の担当調査員は12名で、13件の延べ人数は19名であった(表1)。

### 1. 長原東南地区の調査

#### (1) NG89-19次調査地

調査地は川辺3丁目を北西から南東に貫く幅22mの市道川辺町線東行車線の計画道路であり、幅4~7m、全長114mの範囲で調査を行った。東端は八尾市との市境と接し、西側には道路を挟んでNG89-23次調査地がある。

市道川辺町線計画範囲では、大阪八尾開発事業団の管理下にあった1980年12月に最初の

表1 1989年度区画整理事業調査一覧

調査次数	調査地番	面積	調査期間	担当者
<b>長原東南地区</b>				
NG89-19	平野区長吉川辺3丁目10	960m <sup>2</sup>	1989年6月13日~1990年3月8日	趙哲濟・藤田幸夫 高井健司
NG89-22 ①~③	同 長吉川辺3丁目15~16	652m <sup>2</sup>	1989年6月17日~1989年12月29日	高井健司
NG89-22④	同 長吉川辺3丁目15~16	279m <sup>2</sup>	1989年10月30日~1990年2月3日	清水和明
NG89-23	同 長吉川辺3丁目5	353m <sup>2</sup>	1989年6月20日~1989年10月27日	清水和明
NG89-26	同 長吉川辺3丁目18/19	156m <sup>2</sup>	1989年6月26日~1989年8月4日	桜井久之
NG89-37	同 長吉川辺3丁目16	680m <sup>2</sup>	1989年8月17日~1990年3月19日	高橋工・清水和明 清水和
NG89-65	同 長吉川辺3丁目9	200m <sup>2</sup>	1989年11月30日~1989年12月11日	木原克司
NG89-72	同 長吉川辺3丁目8	142m <sup>2</sup>	1989年12月12日~1990年2月3日	桜井久之
NG89-80	同 長吉川辺3丁目3/4	45m <sup>2</sup>	1990年2月26日~1990年3月31日	佐藤隆
<b>長原中央地区</b>				
NG89-33	同 長吉長原2丁目10/11	21m <sup>2</sup>	1989年7月25日~1989年8月1日	木原克司・前田勝己 鈴木京子
<b>長原西地区</b>				
NG89-20	同 長吉長原西2丁目9/10	432m <sup>2</sup>	1989年6月14日~1989年9月5日	岡村勝行
<b>長原西南地区</b>				
NG89-43	同 瓜破東8丁目2/3	220m <sup>2</sup>	1989年9月11日~1989年11月30日	岡村勝行
NG89-67	同 長吉長原西3丁目7	560m <sup>2</sup>	1989年12月1日~1990年2月8日	岡村勝行
全面積		4,700m <sup>2</sup>		

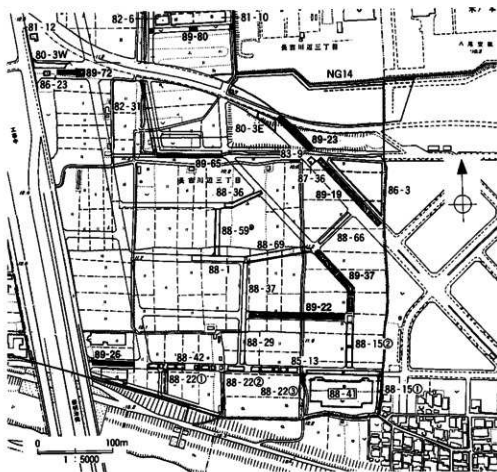


図3 長原遺跡東南地区的調査位置

NG80-3次調査が実施されている。この調査では地下鉄谷町線延伸工事に伴って実施された発掘調査の成果を検証するとともに、その後の調査・研究の指針となる長原遺跡南部の基本層序(当時)を提案した調査でもあった。また、調査地周辺では、79年度に地下鉄谷町線建設工事に係わるNG14次調査地、83年度に川辺町線大正川付替区画整理事業に係わるNG83-9次調査地、86年度に大阪市住宅供給公社八尾南分譲住宅建設に係わるNG86-3次調査地、87年度の下水管埋設に係わるNG87-36次調査地などとも近接していた。これまでの調査結果からは、本調査地周辺には旧石器～古墳時代の長原15層～7層がそろって分布すること、調査地の西部に後期旧石器時代の古川辺川が北流し、その左岸を構成する長原12～13層中には縄文時代中期以前から旧石器時代の遺構・遺物が分布する可能性の高いことが予想された。

調査は北側で先行して進められていた住宅建設工事の作業スペースを保障するために、2区に分けて行った。6月13日より調査を開始した東区(364m<sup>2</sup>)では、遺構・遺物の分布は少なく、地層の確認と細分がおもな調査となった。10月25日より開始した西区(596m<sup>2</sup>)では、長原12/13層漸移帯内に1000点を越える高密度の石器集中部を発見し、また、後述するNG89-22④次調査地に引き続いて、AT火山灰と対比される平安神宮火山灰層の下位に分布する長原14層中からも石器遺物の出土を確認した。

出土した石器遺物が予想をはるかに越えて多かったことや、上水道管の破損事故、2月に入ってからの度重なる降雨など、調査時間の確保が危ぶまれたが、区画整理事務所の理解を得て、期間を約1ヶ月延長し、3月8日に終了した。なお、本調査地から土壤試料を採取し、花粉分析を川崎地質株式会社に、火山灰分析を株式会社京都フィッショントラックに、<sup>14</sup>C年代測定を学習院大学理学部木越研究室に、それぞれ業務委託した。

#### (2) NG89-22①～③次調査地

調査地は市道川辺町線の南にある東西約130m、幅9mの計画道路であり、その西部約85m、幅7mの範囲を調査した。周辺の既往の調査では、旧石器時代の石器密集部や、縄文時代晩期から弥生時代にかけての遺構・遺物が数多く発見されていた。また、地層の堆積状態が良好で、調査地周辺は長原遺跡における標準層序の模式地のひとつでもある。この計画道路における調査は前年度にNG88-57次調査として開始したが、諸般の事情で中断した後、当年度再開したものである。前年度の調査層準は、弥生時代中期の遺構・遺物を含む面(長原8B層上面)までで、当年度はそれ以深の部分について実施した。

調査地の南北に耕作地があり、農作業用道路として使用中であったため、路線全体を4分割したうち、西側の①～③区で6月17日より調査を開始した。長原12B層の堆積年代を指標する縄文時代中期の土器をはじめとして、古川辺川の堆積状況と遺物の出土状況を詳しく記録に留めて、12月29日に終了した。なお、本調査地から土壤試料を採取し、<sup>14</sup>C年代測定を学習院大学理学部木越研究室に業務委託した。

#### (3) NG89-22④次調査地

調査地はNG89-22③次調査地の東側④区に当たり、長さ約40m、幅7mの範囲を調査した。③区との間には縄文時代の古川辺川を覆つて約1.5mの砂層(長原10・11層)が堆積しており、調査地の壁面を維持するために流路を避けて、③区とは3mほどの間隔をあけて調査範囲を設定し、③区の調査が終了するのをまって、10月30日より開始した。長原9A'層上面の弥生時代中期初頭に埋没した水田址や12/13層内に石器集中部を発掘したほか、1点で

はあるが長原14層の下底面から剥片を発見し、長原遺跡が後期旧石器時代前半にまでさかのぼることを最初に明らかにしたことなど、いくつかの重要な知見を得て、2月3日に調査を終了した。なお、本調査地から土壤試料を採取し、火山灰分析を株式会社京都フィッショングラウトに業務委託した。

#### (4) NG89-23次調査地

調査地は市道川辺町線の東行き車線の計画道路にあり、NG89-19次調査地とは交差点を隔てて西に位置した。調査は長さ約45m、幅約9mの範囲で6月20日から開始した。調査範囲には西川辺川と呼ぶ弥生時代中期初頭の自然流路が埋没しており、最終調査面が地表下5m前後にまで下がることが事前に予測されたので、調査地と南接する川辺町線の仮設道路の崩壊をふせぐために、調査地の南壁に沿ってH鋼を打込み独立矢板を組んで対処した。現代客土と現代作土、および近世の長原2層を機械掘削によって除去し、中世の遺物包含層(長原4層)から精査を行った。長原9A層上面では予測どおり西川辺川を検出し、住居跡の隣接をうかがわせる長原式土器と弥生土器などの遺物群を発掘したほか、12/13~13層の石器遺物を調査し、10月27日に調査を終了した。

#### (5) NG89-26次調査地

調査地は大和川北岸にほど近く、西接して大阪中央環状線・近畿自動車道がある川辺3丁目の最南端に計画された東西道路であり、この路線の東部では、NG85-13次・88-42次調査が実施されていた。全長61m、幅2~3mの範囲で、6月26日より調査を実施した。調査地の大半は、近世あるいは近代の粘土採掘遺構で、下位層が広範囲に破壊されていたが、弥生時代の流路や近世の井戸などを発見し、可能な範囲で拡張して調査を実施し、8月4日に終了した。

#### (6) NG89-37次調査地

調査地はNG88-15②次調査が実施された川辺3丁目のもっとも東に計画された南北から北で西に振る幅9mの道路であり、南端でNG88-15②次・89-22④次調査地と、西北端で交差点を隔てて旧石器時代の石器群を出土した88-69次調査地や88-66次調査地と接した。これまでの調査結果に基づいて、本調査地は後期旧石器時代の低い尾根筋に重なっており、石器遺物が多量に分布することが当初から予測されていた。

調査は路線を南側より①~③区に3分割し、①区は8月17日より、②区は10月18日より、③区は1月16日より順次着手した。③区では期間中2度にわたって上水道が破損するなど、作業の進行に手間取ったが、調査の結果、3個所の石器集中部を発掘し、そのうち1個所

にはさらに4個所の石器密集部があることもわかった。さらに、出土した石器遺物からは、瀬戸内技法に共通する剥離技術が看取され、旧石器時代研究に重要な視点を与える地点であることが明らかとなった。このような状況から調査は慎重にならざるを得なかつたが、3月19日によくやく終了した。

#### (7) NG89-65次調査地

調査地は現大正川の左岸沿いに計画された幅4mの道路予定地であり、北西側に近接したNG82-31次調査では、飛鳥時代の南北溝や飛鳥時代の柵が見つかっていたので、本調査地でも関連遺構の検出が予想された。幅約2.5m、長さ約80mの範囲で12月6日より機械掘削を開始したところ、全域が旧河道内に位置し、地表下2mの長原14層まで搅乱されていることがわかつたため、12月11日の荒掘終了と同時に埋戻し、調査を終了した。

#### (8) NG89-72次調査地

調査地は市道川辺町線が中央環状線と交わる地点にあり、周辺では北約20mに地下鉄谷町線延伸工事に係わるNG8次調査地、北西にはNG81-12次調査地、西に接してNG80-3次W区・86-23次調査地があって、中世の集落群や古代の水田址などが見つかっていた。西行き車線部分の幅3~7m、全長38mの範囲を12月12日より調査した。東端から西へ約24mまでは水田址や遺物包含層が良好に残っていたが、それ以西は下水管の埋設による搅乱などにより平面的な調査を断念せざるを得ず、南壁の断面観察のみを行った。2月3日に調査を終了した。

#### (9) NG89-80次調査地

調査地は市立平野養護学校に南隣する東西道路であり、調査は下水管埋設工事に先立つて行われた。養護学校の建設に伴うNG81-10次・82-6次調査では、縄文時代晚期~弥生時代前期の土器棺墓、飛鳥・奈良時代の水田、平安時代の掘立柱建物や火葬墓など、多くの遺構が検出されており(大阪市文化財協会 1983)、本調査でも同様の遺構が検出されることが予想された。下水管は遺物を包含する地層よりも下を通るため、今回の調査区はマンホールの設置される3箇所に限定された。調査は矢板の打込み工事の関係で東区・中央区は2月26日から開始し、西区は遅れて3月9日に開始した。養護学校敷地での調査成果を検証し、3月31日に作業を終了した。

## 2. 長原中央地区の調査

#### (1) NG89-33次調査地



図4 長原遺跡中央・西・西南地区の調査位置

調査地は志紀長吉神社の参道である南北道路にあり、道路区画改変に伴う鳥居移転に先立って、鳥居の柱位置の2箇所で7月25日より調査を実施した。調査地の南西にはNG83-34次調査地があり、水田址や9~10世紀の掘立柱建物跡、溝などが検出されていた。今回の調査でも水田の検出が予想されたが、調査範囲の約半分は下水道管などで擾乱されていたため、平面的な遺構の拡がりはわからないことが多く、層序の確認に留まった。8月1日に調査を終了した。

### 3. 長原西地区の調査

#### (1) NG89-20次調査地

調査地はJR阪和貨物線を挟んで西側の瓜破遺跡と接する幅7mの東西道路にあり、西側約110mの範囲である。調査地東端の南北道路にはNG85-16次・86-41次などの調査地があり、古墳時代中期には集落地域であったと推定され、また、平安から室町時代の水田址が

検出されていた。一方、古地理的には、調査地は低位段丘形成時初期に開析されたと考えられている馬池谷の東斜面に当っている。調査地が現有の道路、および南に位置する耕作地の進入路となっていたので、調査は4m幅で東西に2分割して行った。東区78m分は6月14日より8月11日まで調査を行い、埋戻した後に西30m分の調査を行った。1.5mにおよぶ厚い砂層(長原4A層)からの湧水が激しく、壁の崩壊を幾度か繰返し、調査は難航したが、中世の水田址や古墳時代後期と推定されるピットを発掘し、9月5日に調査を終了した。

#### 4. 長原西南地区の調査

##### (1) NG89-43次調査地

調査地は長原遺跡と瓜破遺跡の東南地区との境界に位置する幅7m、全長約110mの南北道路である。耕作地への進入路を確保する必要から2分割し、9月11日より南区25m分の調査を先行させ、埋戻した後、北区85m分を調査した。古墳～奈良時代の遺物を包含する土壌や溝を北区に集中して発見したほか、中世・近世の遺構を検出して、11月30日に調査を終了した。

##### (2) NG89-67次調査地

調査地は市道川辺町線に連続する幅22mの長吉川辺線の計画予定地にあり、西のNG89-43次調査地と東の長吉西中学校の間に位置する。付近にはNG84-24次・87-64次・87-65次などの調査地もあり、おもに古墳～鎌倉時代にわたる遺構・遺物が検出されていた。調査は12月1日より幅2m、長さ70mで開始したが、調査区外に拡がる遺構が密集して検出されたことから、東西方向に最大幅8mまで拡張を行った。調査の結果、飛鳥時代の集落跡であることを明らかにし、2月8日に調査を終了した。

なお、集落を構成する建物群は、その時期が調査地の西方400mにあるUR86-11次調査地で発見された21棟を数える飛鳥時代の掘立柱建物群のうちの、初期の建物群と同時期に建てられたと推定され、当時その最中であった水田開発の換点的集落のひとつと考えられた(図56)。そこでその成果を市民に公開すべく、2月3日に現地説明会を行った。

#### 5. 石器遺物の調査

1988年度に引き続き、89年度も石器遺物を目的にした発掘調査を実施した。野外における調査方法は、88年度に主として区画整理事業に伴う調査で用いた方法(大阪市文化財協会1995)と同様である。前述したように、長原遺跡東南地区の長吉川辺3丁目地域における

表2 遺跡記号と遺跡名対照表

A	長原	S	森の宮
B	長原	T	大坂城跡
C	長原	U	(予備)
D	(予備)	V	森小路
E	瓜破・瓜破北	W	豊崎・崇福寺
F	喜連東	X	大坂城下町
G	(予備)	Y	その他の遺跡
H	龜井・龜井北	Z	大阪市域外の資料
I	加美		
J	(予備)		
K	桑津	・○記号は数字の0との混	
L	(予備)	乱を避けるために使わ	
M	山之内	ない。	
N	速里小野	・U記号はV記号との混亂	
P	南住吉	を避けるために、当面	
Q	(予備)	使わない。	
R	難波宮跡		

表3 調査記号と調査次数对照表

調査記号	調査次数
89BB	NG89-19次
89BC	NG89-22①~③次
89BD	NG89-22④次
89BE	NG89-23次
89BF	NG89-37次①区
89BG	NG89-37次②区
89BH	NG89-37次③区
89BI	NG89-5次
89BJ	NG89-8次
89BK	NG89-12次
89BL	NG89-25次
89BM	NG89-32次
89BN	NG89-36次
89BP	NG89-43次
89BQ	NG89-47次
89BR	NG89-72次
89BS	NG89-48次
89BT	NG89-80次
89BV	NG89-85次
89BW	NG89-86次

NG89-19次・22次・23次・37次調査地で、多数の石器集中部や石器散布地を確認した(図82)。また、長原遺跡西南地区の43次調査地では中世に攪乱されてはいたが、縄文時代の產物かと思われる石鏃と剥片の集中個所を見つけている。

石器遺物の取り扱いに係わって、大阪市文化財協会が用いている遺跡記号と89年度の調査記号を表2・3に示しておく。

## 第Ⅱ章 長原遺跡の地層

### 第1節 地形と地質の概要

大阪平野の南部、海拔約80mの狭山池付近から、西除川と東除川に挟まれて、高度を徐々に下げながら北へ延びる河内台地は、人工河川である現大和川の北側で河内平野の地下に埋没する。長原遺跡は瓜破台地とも呼ばれるこの河内台地先端部の東縁から沖積氾濫原にかけて立地する。

瓜破台地の地形は、主として最終氷期の最寒冷期の直前までに堆積したと考えられている低位段丘構成層がつくる低位段丘面と、馬池谷をはじめとして台地を南北に開拓した深い谷によって構成される。深い谷は低位段丘構成層が離水しつつある台地形成期の初期には下刻が開始されたらしいが、確かな証拠は見つかっていない。この台地はその西縁が相対的に急傾斜で沖積面下に埋没しているのに対して、東縁は緩傾斜で、沖積平野とは顕著な傾斜変換点はなく漸移している。この地形の違いは台地の地下に分布する上町累層(市原 1960)と呼ばれる中位段丘構成層の分布高度にも現われている(趙ほか 1992)。これは台地を隆起させた構造運動に起因する現象と考えられる。上町累層は最終間氷期に堆積した地層と考えられていて、本地域では全層厚20m前後の地層である。

低位段丘構成層は本地域では層厚2~3mで上方細粒化する砂疊層であり、中位段丘構成層を一部削除して覆うが、顕著な段丘崖は確認されていない。低位段丘の地形は、縄文時代のMa13海成粘土層が堆積した地域の沖積面下に、「古長瀬川」や「古平野川」の河岸段丘として埋没している(那須ほか 1981、趙 1994)。

難波累層と呼ばれる沖積層は、低位段丘構成層を不整合で覆い、平野の中心部に向ってしだいに層厚を増している。難波累層はいわゆる縄文海進期のMa13海成粘土層を挟む最終氷期の最寒冷期以降の地層であり(梶山ほか 1972)、本地域では上部・中部・下部層に区分される非海成の砂泥互層からなる。一方、台地上の沖積層は主として人為層からなり、低位段丘面を薄く覆うとともに、砂泥互層が深い谷を埋積している。

長原遺跡では中位段丘構成層上部から上位の地層を発掘調査の対象としている。

## 第2節 長原遺跡の標準層序

長原遺跡の層序の検討は、遺跡南部で大阪市文化財協会(1982)が第0層から第15層までの基本層序を提案し、その後の検討をへて、長原遺跡の標準層序として改訂され(趙ほか1992)、今日にいたっている。最新の層序は大阪市文化財協会(1995)に詳しく述べたので、いちいちの層相記載および年代はこれを参照していただくこととし、ここでは部層および亜部層単位の概要を大阪市文化財協会(1995)に一部加筆して引用することとする(表4)。

なお、本書の地質断面図・柱状図で用いる岩相の凡例を図5に示しておく。

### 1. 完新統

#### (1) 沖積層上部層Ⅰ(難波累層上部砂層の上半部相当層)

本亜部層は砂優勢の砂泥互層であり、標準層序の長原0層から長原7A層までが構成する。これらの地層は長原遺跡の台地部の表層に砂泥互層として比較的厚く累積している。そのうち、砂・礫に富む粗粒な水成層は、台地部を南北に流下した旧東除川をはじめとする人工の河川沿いで厚く、氾濫性の堆積層であることを示す。本地域における粗粒堆積層の分布は、建設省国土地理院(1965)の自然堤防と天井川の分布におおむね重なっており、周辺では急激に層厚を減じている。一方、粘土・シルトを主体とする地層は粗粒堆積層の上位に連続して厚く重なり、おおむね作土層や暗色帯を構成するいわゆる遺物包含層となっている。すなわち本亜部層は、人為の影響が強い環境下で形成された地層である。

#### (2) 沖積層上部層Ⅱ(難波累層上部砂層の下半部相当層)

本亜部層は粘土・シルト優勢の側方変化に富む砂泥互層であり、標準層序の長原7B層から長原11層までが構成する。これらの地層は長原遺跡平野部の沖積面下に累重して厚く発達する。地層の伸長方向と傾斜はいずれも南北ないし南東-北西方向であり、南方から堆積物質が供給されている。粗粒物質の優勢な長原10層と8Cl-8A層の最大層厚部は下位層上面の自然河川や窪地上にあり、長原8A層の堆積によって現地表面に近似した沖積平坦面が形成された。本層中に介在する複数の暗色帯は、各時期の生活面示準相として有効な鍵相となる。本亜部層は自然營力と人為の相互作用によって形成された地層であり、相対的に上位層ほど人為が強く働いている。

#### (3) 沖積層中部層(難波累層中部海成粘土層の上半部相当層)

本部層は細粒物質が優勢な地層であり、一部に砂礫層を伴う。標準層序の長原12層が構成する。この地層は下位層上面の窪地を一部下方侵食して埋積しており、古川辺川と呼ぶ浅い埋没谷内に顕著に発達する。浅い埋没谷周辺の分布高所では相対的に薄い陸上成層・古土壤となる。難波累層中部海成粘土層は長原遺跡の北部に分布限界があり、遺跡南部には海成層は分布しない。

## 2. 上部更新統および完新統の下部

### (1) 長原12／13層漸移帯(仮称；難波累層中部海成粘土層の下半部の層準を含む)

長原12BC層の下位にあり、これとは比較的明瞭な境界をもちながらも、下位層とは漸移関係にあって、暗色ないし灰色の細粒シルトからなる厚さ5cm以下の地層の部分である。この地層の部分は、火山灰分析から12BC層と後述する13A層とに挟まれた地層であるとみられるが、堆積後の土壤化による風化・擾乱が著しく、その影響は下位の13A層にまで及んでいるため、13層との境界がほとんど認められないので、仮に12／13層漸移帯と呼んで、他の識別可能な地層と区別している。長原東南地区および西・西南地区の上位の沖積層が発達する地域で分布が認められる。一方、中央・南地区では陸上成の横大路火山灰層層準を挟む埋没黒ボク土層として識別される。

### (2) 沖積層下部層(難波累層下部砂泥互層相当層)

本部層は粘土からシルトを主体とする地層であり、標準層序の長原13A層が構成する。埋没低位段丘面を部分不整合で覆う。13Aii層は阪手火山灰層に対比される火山灰濃集層準である。

### (3) 低位段丘構成層

低位段丘構成層は下位層を一部著しく下方侵食した地層であり、当地域の標準層序の長原13B層から長原15層までが構成する。最上部・上部・下部に区分される。最上部は13B～C層が構成する暗色帶であり、13Bii層はAT火山灰に対比される平安神宮火山灰層である。上部は14層が構成する砂礫を伴うシルト主体の地層、下部は15層が構成する砂礫主体の地層であるが、大局的には下位から上位へ粗粒物質から細粒物質への2堆積サイクルを示す。低位段丘構成層は下部の長原15層が主体をなす。

### (4) 中位段丘構成層(上町累層)

一般に中位段丘構成層は上部砂泥互層・中部海成粘土層・下部砂礫層に区分され、その堆積様式は沖積層のそれとよく似ているといわれる。当地域の上部層は砂・礫優勢の砂泥

表4 長原遺跡の標記層序 1995



互層であり、標準層序の長原16A層から長原16B層および未命名層が構成する。各構成層は当地域の沖積層上部I・IIと比較して厚く、堆積と浸食を繰返して累重している。粘土・シルトに富む16B層を除けば、全般に堆積物質の搬入速度は速かったものとみられる。

16Bi層にはAso-4火山灰と対比される吾彦火山灰層が、16Bii層にはK-Tz火山灰と対比される北花田火山灰層が挟まる。

ボーリング資料によれば、この上部層の中層準を占める砂礫層とこれに覆われる下部層準のシルト・粘土層との境界面は比較的追跡しやすく、長原東南地区でTP±0～+1m付近にある。当地域の中位段丘構成層の中層はMa12海成粘土層および同時異相の海成砂層からなり、層厚は約5mで、上部層との境界は長原遺跡東南部でTP-4m付近、喜連東遺跡でTP±0m付近にある。

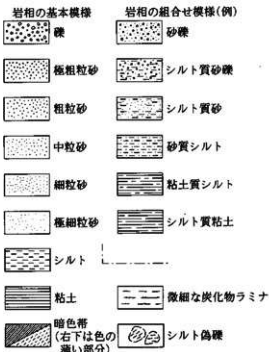


図5 断面図・柱状図で用いる岩相の凡例

### 第3節 火山灰層・火山灰濃集層準

#### 1. NG89-22④次調査地の土壤中火山灰抽出分析

##### (1) 試料

今回の分析試料は、長原遺跡1989年度22④次調査地において、現地での精密な地層区分に基づき各層ごとに採取された33個の土壤試料(試料記号U)である。これらの試料のうち、U-2・4・6・8の4試料は長原12C層から、U-14~42までの29試料は長原12A~15層から採取されている。なお試料採取層位は、測定データを総合的にまとめた図6の柱状図に示されている。

##### (2) 分析方法

試料の分析は竹村・檀原(1988)の方法に基づき、檀原(1995)が八尾南遺跡で実施した手順に従って、新版標準土色帖による色調判定、超音波洗浄機を併用した前処理、偏光顕微鏡下での重鉱物分析(200粒)・火山ガラス含有率測定(火山ガラス含有率・火山ガラス型・プラント・オパール含有・色付ガラスの有無)、温度変化型屈折率測定装置(RIMS86)を用いた火山ガラスの屈折率測定の順で行った。

##### (3) 分析結果および考察

今回得られた分析結果は集約され、前述の図6に表示されている。これらの分析情報の中で考古学的に価値をもつものは、編年上意味のあるテフラ(広域テフラ)の降灰層準を合理的に認定する根拠を与える情報である。具体的には、テフラ起源物質として明確に同定される火山ガラスの特徴や含有量比の情報がもっとも重要となる。

一般に土壤中に含まれる重鉱物の分析が広く行われているが、重鉱物分析結果をテフラ降灰層準との関係で議論するばあいには十分な注意が必要である。その理由は、土壤中の重鉱物は母岩起源のものを含むのが普通であり、必ずしもテフラ起源とのみ特定することができないからである。しかも同一種類の鉱物でもその組織上かなりの多様性をもつことが普通であり、純粹にテフラ起源の重鉱物のみを識別することは困難が多い。このため、今回の分析結果の考察においては、重鉱物分析結果から得られる情報は参考程度として低く扱わざるを得ないことをお断りしておきたい。

さて火山ガラスから得られる情報に注目すると、今回の試料中には少なくとも3種類の火山ガラスが識別される。それらは、各火山ガラスの特徴をもとに近畿地方でのテフラ・

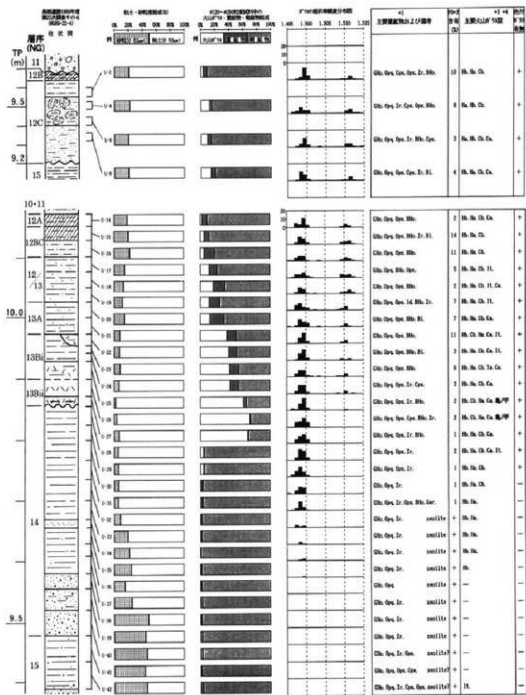


図6 NG89-224次調査地試料採取標準模式柱状図および分析結果（脚註は次ページ）

表5 各遺跡より産出した火山ガラスの特性と琵琶湖ボーリングの火山灰、広域テフラの特性との比較

項目 比較試料	テフラ名・試料名	岩石と組成物	年代 (BP)	火山ガラスの色と形	火山ガラスの屈折率 レンジ (モード)	文献
鳥居	No 6	—	—	T,C	1.499-1.503 (1.501-1.503)	* 1
	No 22	—	—	Ha,Hb (br)	1.510-1.512	* 1
	No 49	褐色石質・af, Ho, Bi	—	T,C	1.521-1.524 (1.521-1.523)	* 1
	—	—	—	—	—	—
	56-54.5; 50,48-27	—	—	Ha,Hb	1.497-1.501 (1.498-1.500)	* 1
坂井	—	—	—	—	—	—
	—	—	—	—	—	—
	—	—	—	—	—	—
	P11 No 18	結晶質・Ho,Opx	19,600-20,400	T	1.501-1.504 (1.502-1.504)	* 2
京大構内	P11 No 10	ガラス質	21,500-23,600	Ha,Hb,C,T	1.499-1.502 (1.500-1.501)	* 2
	—	—	—	—	—	—
	No 1	—	—	—	—	—
琵琶湖	—	—	—	—	—	—
	BB7	—	—	C,T	1.499-1.504	* 3
	B5-3 (U)	ガラス質・Opx,Cpx	—	A (br)	1.509-1.513 (1.509-1.512)	* 4.5
	BB23	褐色石質	—	B,C	1.520-1.524 (1.502-1.504)	* 4.5
	BB51	結晶質・Ho,Opx	—	C	1.501-1.505	* 4.5
広域テフラ	BB55	ガラス質・Opx,Cpx, Ho	—	A>B	1.499-1.502 (1.500-1.501)	* 4.5
	X-Ah	—	—	—	—	—
	U-Oki	ガラス質・Opx,Cpx	6,300	bw>pm (br)	1.508-1.514 (1.501)	* 6
	大山ホーキー	褐色石質・af,Bi, Ho	9,300	pm	1.517-1.524	* 7
	AT	結晶質・Ho,Opx, Bi	20,000	—	—	* 8
	—	ガラス質・Opx,Cpx	21,000-22,000 (24,720)	bw>pm	1.498-1.501 (1.500)	* 9
	—	—	—	—	—	* 10

af : アルカリ長石、Opx : 斜方輝石、Cpx : 単斜輝石、Ho : 角閃石、Bi : 黒雲母、bw : バブルウォール型、pm : 褐石型、br : 色付きガラス

\* 1 : 竹村・櫻原(1988)、\* 2 : 竹村・櫻原(1987)、\* 3 : YOSHIKAWA(1981)、\* 4 : 横山(1973)、\* 5 : 横山(1986)、\* 6 : 町田・新井(1978)、\* 7 : 新井ほか(1981)、\* 8 : 町田・新井(1979)、\* 9 : 町田・新井(1976)、\* 10 : 松本ほか(1987)

カタログ(表5)と対照すると、降灰年代の古いものから始良Tn火山灰(BB55)、大山ホーキー火山灰(BB51)、鬼界アカホヤ火山灰(B5-3(U))に対比するのが自然である。また、これらの火山灰は、吉川ほか(1986)によればそれぞれ平安神宮火山灰層、鬼虎川火山灰層そして横大路火山灰層に対比されており、今回の分析結果とその最終的な解釈は一覧表として表6に示すとおりである。

次にそれ以外の点につき補足的に説明を加えておきたい。

#### 図6 脚註

- \* 1 主要重鉱物の略称と鉱物名、Ol : カンラン石、Opx : 斜方輝石、Cpx : 単斜輝石、GHO : 緑色普通角閃石、BHO : 褐色普通角閃石、Bi : 黒雲母、Gar : ザクロ石、Zr : ジルコン、Id : イディングサイト、Opx : 不透明鉱物、\* 2 PO : プラントオパール含有率or有無、\* 3 吉川(1976)による名称 Ha・Hb : 扁平型(バブルウォール型)、Ca・Cb : 中間型(軽石型)、Ta・Tb : 多孔質型(軽石・繊維状型)、\* 4 吉川(1976)以外の名称 SG : スコリア質ガラス、It : 不規則型

表6 U-2・4・6・8試料およびU-14～42連続試料における火山ガラス濃集層準とその特徴

火山ガラス検出層準				層準名 (Nd)	主な火山灰 ガラス型	※(1)(2)(3) 対比される 広域テフラ	※(2)(3) 降灰年代	参考	
分布層準	深度	サンプル 深度 m	深度						
U-2~8	TP + 9.55~ 9.45m	-	-	-	1.508~ 1.514 最頃層 1.510	片型 (扁平型)	鬼界アカホ 火山灰 (K-Ah) BS-3 (U) 噴火大熱火山灰	6,300 B.P.	企谷を標準下位層準の大山ガラス (AT) と 義定する不整合かつ試料数が少ないため降灰 層準の判定は困難。ガラス形態は片型を主とし、 濃い色付きガラスを含む。火山ガラスの層準 がかなり高いのが特徴。
U-6	TP + 9.45m	-	-	-	1.501~ 1.505 (中間型)	C型 (中間型)	大山熱火山灰 BS51 鬼界川火山灰	20,000 ? B.P.	難波だがU-6も切妻のみで検出される。火山ガラ スの層準から大山系ホーカー火山灰の可能性があ るとの判断される。
U-2~8	TP + 9.55~ 9.45m	-	-	-	1.498~ 1.501 最頃層 1.500	片型 (扁平型)	始良Tn火山灰 (AT) BS55 平安神宮火山灰	21,000~22,000 B.P.	今回の企谷層準で検出されるが、不整合かつ 試料数が少ないため降灰層準の判定は困難。 無色透明な扁平 (バブル・ウォール) 型ガラス を主とする。
U-14~ 25	TP + 10.15~ 9.85m	U-18	TP + 10.05~ 10.00m	NG12/13 vibdy w-cl	1.508~ 1.514 最頃層 1.510	片型 (扁平型)	鬼界アカホ 大山灰 (K-Ah) BS-3 (U) 噴火大熱火山灰	6,300 B.P.	企谷を標準下位層準の大山ガラス (AT) と 義定するがU-18付近で断続的な含有量が多く 層灰層準に近いと判定される。ガラス形態は 片型を主とし、濃い色付きガラスを含む。火山 ガラスの層準が高いのが特徴。
U-18~ 20	TP + 10.05~ 9.95m	(U-20)	TP + 10.05~ 9.95m	NG13A vibdy cl	1.501~ 1.505 (中間型)	C型 (中間型)	大山熱火山灰 BS51 鬼界川火山灰	20,000 ? B.P.	難波だがU-18~19.20層準で検出される。正確な 層灰層準決定は困難だがU-20でGlio-Opeなどで Opx,BtHoや酸性Na等の微量元素含有率が 増加するため層灰層準に近いと考えられる。
U-14~ 35	TP + 10.15~ 9.80m	U-26~ 27	TP + 9.90~ 9.85m	NG13Bd taffaceous cl~ely mf	1.498~ 1.501 最頃層 1.500	片型 (扁平型)	始良Tn火山灰 (AT) BS55 平安神宮大山灰	21,000~22,000 B.P.	今まで多くの分野層準で検出されるが、U-26~27 層準で最大70%以上の含有量が認められ、層 灰層準と判断される。無色透明な扁平 (バブ ル・ウォール) 型ガラスを主とし、島ノ平型 と呼ばれる特徴的な顔のガラスを含む。

\*(1)竹村恵二・檀原徹(1988)、(2)町田洋はか(1984)、(3)吉川潤作・須孝悌・樽野博幸・古谷正和(1986)

(a) テフラは、基本的には降灰層準より上位に拡散するが、下方への拡散もあるので降灰層準の決定や遺物の層位を解釈する上で注意が必要である。表6において、鬼界アカホヤ火山灰と同定したテフラはU-14～25まで検出されるが、火山ガラスの絶対量と相対的な含有量がもっとも大きくなるU-18層準を降灰層準と解釈することは自然と思われる。そこでこのU-18層準がテフラ降灰層準と考えると、少なくとも120～250メッシュ粒径の粒子ならば下方のU-25層準までの拡散が及んでいることがわかる。この事実は、花粉分析や微細遺物の層位決定に対し、拡散の影響が生じる可能性を示唆する。

(b) 同様な拡散の影響は、表6に示されるU-26・27層準の始良Tn火山灰直下の不整合より下位にも認められる。すなわち少量ではあるが、始良Tn火山灰の下方への拡散がU-35層準まで検出される。このことは、微細遺物や花粉分析データを解釈する上で忘れてはならない事実と考えられる。

(c) U-28層準以深には顕著なテフラ降灰は検出されない。ただし今回の最下位層準U-

42試料で、極微量の不規則型ガラスが観察された。

(檀原徹)

## 2. 火山灰層の降灰年代と火山灰の岩石記載的性質

大阪平野における上部更新統～完新統の火山灰層序については、近年の火山灰層序学的研究(吉川ほか 1986、吉川・樽野 1992、吉川・井内 1991・1993など)によって、その詳細が明らかとなってきている。遺跡の調査と関係が深い火山灰層には、中位段丘構成層上部の中の浅香(仮称:趙 1994)・北花田(BT25)・吾彦(BT22)の各火山灰層、低位段丘構成層最上部の平安神宮(BT10)・鬼虎川(BT9)の両火山灰層、沖積層下部砂泥互層中のBT7・阪手(BT6)の両火山灰層、沖積層中部海成粘土層の横大路火山灰層、沖積層上部下半部のBB7火山灰層準などがある。

また、各火山灰層は町田・新井(1992)がまとめた広域火山灰と対比されている。すなわち、北花田火山灰層は鬼界葛原火山灰(K-Tz)と、吾彦火山灰層は阿蘇4火山灰(Aso-4)と、平安神宮火山灰層は姶良Tn火山灰(AT)と、横大路火山灰層は鬼界アカホヤ火山灰(K-Ah)とそれぞれ対比されている。また、BB7火山灰層準は松河戸火山灰層(森勇一ほか 1990)と対比されている。

火山灰の降灰年代には諸論があるが、吉川ほか(1986)、吉川・井内(1991・1993)に従えば、北花田火山灰層が約1万年前、吾彦火山灰層が約8.7万年前、平安神宮火山灰層が約2.5万年前、阪手火山灰層が1万数千年前、横大路火山灰層は約6,300年前、BB7火山灰層は約2,000～3,000年前などの年代値がある。

近畿地方中央部の低位段丘構成層最上部以上に挟まれる火山灰層における火山灰の岩石記載的性質を、吉川ほか(1986)と吉川・井内(1991)に基づき一部加筆して表7に示す。

なお、前節の火山灰分析(檀原 1997)では長原13A層の試料U-20が平安神宮火山灰層の上位にある鬼虎川火山灰層の降灰層準に近いと推定しているが、両火山灰層がセットで観察される露頭では、両層はたいてい10cm程度の間層を挟んで整合に重なる一連の低位構成層最上部の中に挟まっていることから、試料U-20の火山灰は再堆積したものかと思われる。長原遺跡では鬼虎川火山灰層を肉眼的に確認した地点はないが、層序関係から長原13Bi層付近に降灰層準が推定される。

表7 火山灰の岩石記載の性質(吉川ほか(1986)・吉川ほか(1991)に基づき一部加筆)

Locality	Sample No.	Mineral composition (%)	Gloss			Heavy mineral			Refractive index of orthopyroxene ( $\gamma$ )								
			Gr	Rf	Qt	Hm	H	C	T	O	Am	Op	Cp	Bi	Zr	Ap	Opo
<b>BBS2 volcanic ash-horizon</b>																	
Lake Biwa	BT1	93 + 5 1 1	2 39 39 9	4	1.499-1.503 (1.499-1.502)	29 32 4 8 0 3 24											2)
Matsuokawado	90	4 2 4	11 56 33		1.499-1.504 (1.501-1.502)	38 26 9 10 0 1 16											3)
Togenzan	OSU	○ ○	○ ○ ○		1.499-1.503 (1.501-1.502)	33 32 6 0 0 2 13											1)
Lake Biwa	BBT2	○ ○	○ ○		1.499-1.504	○ ○ ○											1)
<b>Yoko-oji volcanic ash</b>																	
Lake Biwa	BT3	99 + 1 0 +	71 24 5 0		1.500-1.515 (1.510-1.513)	+ 37 24 0 0 4 35											2)
Takane-cho	OH1	○	○		1.500-1.515 (1.509-1.512)	11 30 13 0 1 4 42											1)
Heijomon-cho	O2	97 - 2 0 1	24 23 2 1		1.500-1.516 (1.511-1.512)	7 25 10 12 0 0 47											1)
Sandogawara	O3	97 2 0 1	52 45 3 0		1.510-1.515 (1.512)	3 35 24 1 0 0 37											1)
Togenzan	OSM	98 2 0 0	77 23 0 0		1.510-1.514 (1.512)	9 46 24 2 0 2 19											1)
Tsurumakubo	O7	○	○		1.509-1.515	○ ○ ○											1)
Naruto	OBU	○	○		1.509-1.515 (1.510-1.512)	36 21 8 0 0 4 31										1)	
Fukuno	OJOM	○	○		1.510-1.516	○ ○ ○											1)
Kitoragawa	OJ3U	97 2 0 1	15 13 2 0		1.509-1.515 (1.511-1.512)	4 41 22 6 0 3 31											1)
Kiongagawa	OJ3UM	97 2 0 1	79 18 3 0		1.510-1.516 (1.512)	5 43 23 0 0 5 24											1)
Yoko-oji	K5	95 4 0 1	75 23 2 0		1.509-1.515 (1.511-1.512)	17 37 21 1 1 5 17											1)
Iyokanzen	N3	98 2 0 0	24 26 0 0		1.509-1.515 (1.512)	9 50 10 0 0 0 31											1)
Lake Biwa	BB15	91 1 0 +	78 20 2 0		1.509-1.513 (1.511)	2 32 20 0 0 1 45											1)
<b>Minato volcanic ash</b>																	
Lake Biwa	BT4	82 2 15 1 +	+ 20 30 0		1.519-1.525	18 + 7 52 0 0 10 13											2)
Togenzan	OSL	○ ○	○ ○		1.520-1.524	21 20 9 4 0 9 38											1)
Minato bridge	O6	53 34 7 5	1 26 72 0		1.521-1.526 (1.522-1.523)	19 4 3 24 4 2 43											1)
Naruto	OBM	○ ○	○ ○		1.519-1.525	○ ○ ○											1)
Lake Biwa	BB22	68 24 4 4	2 32 65 2		1.521-1.525 (1.522)	19 0 8 53 1 9 10											1)
<b>Sakane volcanic ash</b>																	
Lake Biwa	BT6	58 9 23 2 8	2 38 39 21		1.498-1.508 (1.498-1.500)	75 0 0 16 0 + 8											2)
Fukuno	OJOM	○ ○ ○	○ ○ ○		1.499-1.504	90 0 0 0 0 3 7											1)
Sakane	NAU	12 40 9 98	2 49 36 4		1.498-1.503 (1.500)	98 0 0 1 0 0 2											1)
Lake Biwa	BB27	○ ○ ○	○ ○ ○		1.498-1.503 (1.499-1.500)	82 0 0 2 0 11 15											1)
<b>Kitoragawa volcanic ash</b>																	
Lake Biwa	BT7	49 7 33 + 11	0 30 65 7		1.501-1.506 (1.503-1.504)	69 34 0 6 0 3 8											2)
Lake Biwa	BB51	○ ○ ○	○ ○ ○		1.501-1.506 (1.503-1.504)	69 14 0 14 0 3 3											4)
Lake Biwa	BT9	20 -33 11 8	0 24 67 9		1.502-1.508 (1.503-1.505)	99 27 0 6 0 0 8											5)
Kitoragawa	OJ3M	44 37 2 17	18 30 42 12		1.500-1.504 (1.503-1.504)	96 20 0 2 0 2 10											1)
Misomigaki	K2a	45 51 0 4	67 29 3 0		T-1.521-1.564 (1.503)	38 19 1 4 0 1 17											1)
Wakamatsu	NZU	25 53 3 19	1 48 48 2		1.521-1.504 (1.503)	65 23 0 1 0 0 11											1)
Sakan	NAM	56 31 18 3	3 30 60 7		1.502-1.506 (1.503)	56 36 0 3 0 1 10											1)
Serikawa	SSU	10 70 36 18	11 56 51 2		1.502-1.503 (1.503)	61 29 0 1 0 2 10											1)
Misomigaki-cho	G2	42 40 0 18	2 32 50 12		1.500-1.504 (1.503)	60 35 0 0 1 1 4											6)
<b>Hamajima volcanic ash</b>																	
Lake Biwa	BT10	95 0 2 + +	63 34 3 0		1.498-1.503 (1.499-1.500)	10 44 11 0 0 3 30											2)
Takane-cho	OJ1	○	○		1.499-1.501	48 44 2 0 0 1 4											1)
Nakajima-bridge	O4	96 1 0 0	65 31 4 0		1.498-1.501 (1.500)	27 38 3 3 0 0 29											1)
Fukuno	OJ0L	○ ○ ○	○ ○ ○		1.498-1.502 (1.500)	47 44 1 0 1 0 7											1)
Daisugi	OJ2	80 17 2 1	66 30 40 0		1.497-1.500 (1.500)	30 14 3 3 2 0 27											1)
Kitoragawa	OJ3L	97 2 0 1	36 38 6 0		1.499-1.502 (1.500)	29 43 5 0 1 0 22											1)
Obara	K1	97 3 0 0	71 21 1 0		1.499-1.501 (1.500)	11 47 15 0 0 0 28											1)
Mizogaike	K2a	97 3 0 0	65 32 3 0		1.499-1.501 (1.500)	24 53 4 0 0 0 19											1)
Menne	K3	97 2 0 1	74 26 1 0		1.498-1.501 (1.500)	12 46 15 1 0 0 29											1)
Houjingu	K4	98 6 2 0 0	+ 74 22 3 1		1.499-1.501 (1.500)	12 54 17 1 0 0 15											1)
Wakamatsu	NZL	97 2 0 1	64 33 3 0		1.499-1.501 (1.500)	32 49 2 1 1 0 16											1)
Sakane	NAU	96 3 0 1	66 26 5 0		1.499-1.501 (1.500)	10 68 2 1 0 0 19											1)
Nazunyu	NB	96 2 0 1	66 37 3 0		1.499-1.501 (1.500)	20 59 9 1 0 0 11											1)
Mono	SI	96 2 0 2	71 29 0 0		1.499-1.501 (1.500)	20 49 9 0 1 1 22											1)
Lake Biwa	BB55	97 0 2 0 1	67 31 2 0		1.498-1.501 (1.500)	45 23 11 9 0 1 22											1)
Konba	S3	98 2 0 0	57 34 7 2		1.498-1.501 (1.500)	24 44 12 5 1 0 13											1)
Serikawa	SSL	97 3 0 0	65 26 7 2		1.498-1.501 (1.500)	13 82 13 0 1 0 10											1)
Misomigaki-cho	G9	92 6 9 2	58 33 9 1		1.498-1.502 (1.500)	34 51 6 0 2 2 16											6)

鉱物組成 GI : ガラス、Al : 長石、Qz : 石英、Hm : 重鉱物

ガラスの形状 H : 扁平型、C : 中間型、T : 多孔質型、○ : その他の型

重鉱物組成 Am : 角閃石、Op : 斜方輝石、Cp : 単斜方輝石、Bi : 黒雲母、Zr : ジルコン、Ap : 硅灰石、Opo :

不透明鉱物

屈折率の( )内はモード値を示す。 ○ : 多い、○ : 少ない

1) : 吉川ほか(1986)、2) : 吉川ほか(1991)、3) : 森ほか(1990)、4) : 横山(1973)、5) : 横山(1986)、6) : 越(1988)に基づく

### 第Ⅲ章 調査の結果 前編

本章では、各調査地の調査結果を、全調査範囲が攪乱されていたNG89-65次調査地を除いて、地層の堆積状況の類似したものから順次記述する。第1～7節は長原遺跡東南地区、第8節は同中央地区、第9節は同西地区、第10・11節は同西南地区の調査地である。なお、調査の経過と概要については第Ⅰ章を、全調査地の地層と遺構およびその層序関係の一覧は第VI章表28を参照されたい。

#### 第1節 89-19次調査地

##### 1. 層序

本調査地は後期旧石器時代の古川辺谷の東岸に位置し、標準層序で識別された多数の地層が分布し、特に、沖積層上部層Ⅱ以下の地層がよく発達していた(表8、図7・8)。

東区東部で水成層を挟んで3層に細分された長原7A～B層は、本調査地において最初に区分された地層であり、東に接する八尾南遺跡でよく発達していた。八尾南遺跡での地層の観察結果からは、7Biii層は弥生時代後期～古墳時代前期の水田作土層と判定された地層に対比された。

長原8C層は東川辺川と呼ぶ自然流路NR901を埋積した河成層であり、NR901付近で粗粒堆積物が優勢で、側方へ細粒化した。8C層を2分した8Ci層・ii層も、本調査地が模式地である。両層の細分は西区の調査で8Cii層上面で人間の足跡が確認されたことによる。

長原10・11層は西区の古川辺川と呼ぶ自然流路NR1201a、およびその決壊流路であるNR1202aを中心に分布し、流路上では厚く粗粒堆積物が優勢であるが、側方では層厚を減じて細粒化した。

西区で広く観察された長原12／13層漸移帯もまた本調査地で最初に識別された地層の部分である。これに漸移して細分されない13AB層が分布した。

長原13AB層に不整合に覆われる13C層は本調査地では上下2相に区分され、上部は著し

表 8 NG89-19次調査地の層序

地帯区分	層相	厚さ (cm)	道標と遺物	備考
NGO-1	現代客土・作土	—		
NG2	黄灰色 (2.5Y5/1) ~ 灰白色 (5Y7/2) シルト質砂	5~15	土器部・瓦器・瓦質土器・須恵器・陶器・磁器 ▼溝 SD201・202、壁溝 SD203群	
NG3	灰オリーブ色 (3Y6/2) 糙混り粘土質シルト	15以下	▼暗斑高まり SR301・302	
NG4 B	i 黄白色 (10Y7/1) 糙混り粘土	約20	瓦器・土器部・須恵器	
	ii 黄灰色 (2.5Y6/1) シルト質粘土	10以下	瓦器・土器部・須恵器・古鉢 (和同開作)	
NG5	灰白色 (5Y6/1) 糙粒砂質粘土	10以下	▼溝 SD401・402、路辺み跡・高まり 土器部・須恵器 ▼溝 SD701 (須恵器)、塗み SX702	ウシ骨・埴輪
NG7 A ~ B	i 暗灰黄色 (2.5Y5/2) 砂質シルト	10以下		土器部
	ii にぼい黄褐色 (10YR5/3) 糙混り粘土質砂 (上部) ~褐色 (10YR4/6) シルト質粘土 (下部)	20以下		
	iii にぼい黄褐色 (10YR4/3) 粘土質シルト	約5		
NG8 A	にぼい黄褐色 (10YR4/3) ~ 灰色 (10Y4/1) シルト質粘土・粗粒砂質層を挟む	8~15		
	B 灰褐色 (2.5Y5/2) シルト質粘土層～粗粒砂・ 2分される	約5	一溝 SD801、塗み SX802群 剥片・石器・弥生土器	
	C i 黄褐色 (10YR5/3) 滑面柱～中粒砂・斜交稜理が 顯著	30以下	一入門の足跡	剥片
NG9	ii 明黄褐色 (10YR5/6) シルト質粘土・炭化物の平 行層理あり	約10	剥片・石器・弥生土器 一裏用追田 NR901	剥片・石器・弥生土器
	A 黒褐色 (7.5YR3/2) ~ オリーブ風景 (5Y3/1) シル ト	5~10	塗み SX902群	剥片
B	B 灰色 (7.5Y4/1) シルト質粘土	25以下		
	C i 硫黃灰褐色 (2.5YR2.5/4) シルト質粘土	5	一上部後出遺構 ▼地層内後出遺構	
	ii 褐色 (2.5Y4/1) 粘土質シルト	5	一上部後出遺構	
	iii やや黒いオリーブ風景 (2.5Y5/1) 粘土質シルト ~極端な硫黃	8	▼塗み SX903-905群	石器・環
NG10-11	褐色 (7.5YR5/1) シルト質粘土層～粗粒砂	10~60		
	(II相) にぼい黄色 (2.5Y6/3) 粗纖維質シルト	(約5)	一古用追田 NR1201a・1202a	石器
NG12 A	黒褐色 (10YR2/2) シルト質粘土	約5		上面から乾燥
	B C にぼい黄褐色 (10YR4/3) 粘土質シルト	約5	石器	
NG12/13	暗灰褐色 (2.5Y5/2) 粗粒シルト	5以下	▼石器集中部 LC1203 (剥片・石器)	
NG13 A B	にぼい黄色 (2.5Y6/3) シルト	5~10	剥片・石器	
	C 灰褐色 (2.5Y6/2: 上部、斑駁状) ~ やや暗い灰 褐色 (2.5Y6/2: 下部) シルト質粘土	15~25	一起のある地層の上部	上面から乾燥
NG14	灰褐色 (5Y7/2) シルト質砂質層・砂質粘土・砂質部 は斜交稜理顯著	70以下	剥片散在	
			一起のある複合地形層	
NG15	褐灰色 (5Y6/1) 砂質粘土・砂・隕	100以上		

い乾痕が発達し、上位の13AB層に由来するシルトが乾痕を埋めていた。下部は標準層序に記載したように暗色帶であり、下面には起伏があった。両者は本来、連続する1つの地層であり、上部が著しい土壤化によって脱色し、かつ、乾痕により偽礫化したものと観察された。なお、従来の観察では、偽礫化している上部を13B層だと誤認して記載された調査が多いようである。また、13C層の暗色帶土壤の<sup>14</sup>C年代は11,220±400年前(GaK-14939)と測定されたが、遺物の年代観とは合わないことから、この値は採用されない。

上位層に部分不整合で覆われる長原14層は下半部が砂礫～細粒砂相で、上半部がシルト質砂～砂質粘土相からなる地層であった。また、15層は砂質粘土～砂礫層であり、層相変化が著しかった。西地区中央で14層の一部削込みが観察されたが、14層と15層は砂礫層で側方では整合的でよく似た層相を示し、東区では識別できなかった。

## 2. 遺構とその遺物

### (1) 中世・近世の遺構(図7)

犁溝SD203群 東区の長原2層下面で検出した幅・深さとも数～20cm程度の断続的な小溝が東西方向に並ぶもので、周辺の調査の知見からは犁溝であると考えられた。

溝SD201・202 西区の長原2層下面で検出した東西方向に並ぶ2条の溝であり、SD201は幅約170cm、SD202は幅約80cmでともにごく浅かった。区画整理以前の500分の1道路現況図に示された相接する2筆の水田境界の位置とほぼ重なることから、耕作地の区画溝かと考えられた。

畦畔状の高まりSR301・302 西区の長原3層下面で検出した畦畔状の高まりであり、3層段階の起耕遺構の一部である。ともに上幅10cm、下幅60cm、残存高10～15cm程度であった。このような高まりを4層段階の削出しの畦畔と記載している例がある。

### (2) 古墳時代末～奈良時代の遺構(図7)

溝SD601・602 SD601は東区の長原6層下面で検出した幅50cm、深さ数cmの南北方向の溝であり、埋土は6層構成物である。SD602は西区の6層下面で検出した幅50～150cm、深さ数cmの南西～北東方向の溝であり、埋土は6層構成物である。周辺の調査結果からはともに耕作に係わる溝と思われる。

畦畔状の高まり・踏込み跡 西区の長原6層下面で検出した8Ci層の砂が削り残された見た目の高まりである。また、この高まりやSD602の周辺には、帯状に分布するごく浅い小穴の密集部や、酸化鉄が8C層に沈着した帶があった。小穴の埋土は6層構成物であった。

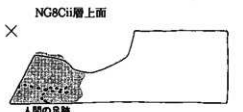
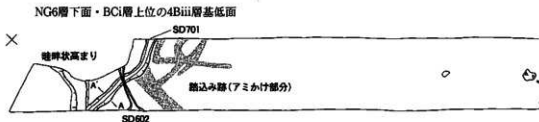
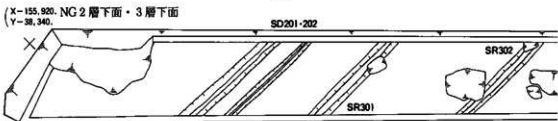
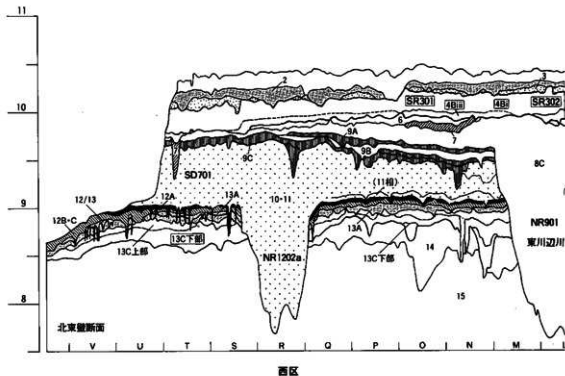
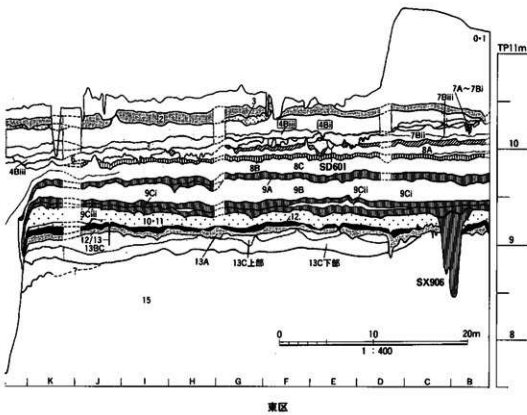
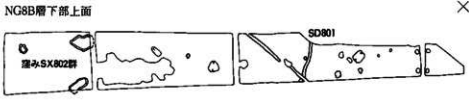
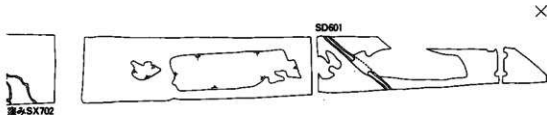


図7 89-19次調査地の地層断面と遺構の分布（その1）



東区



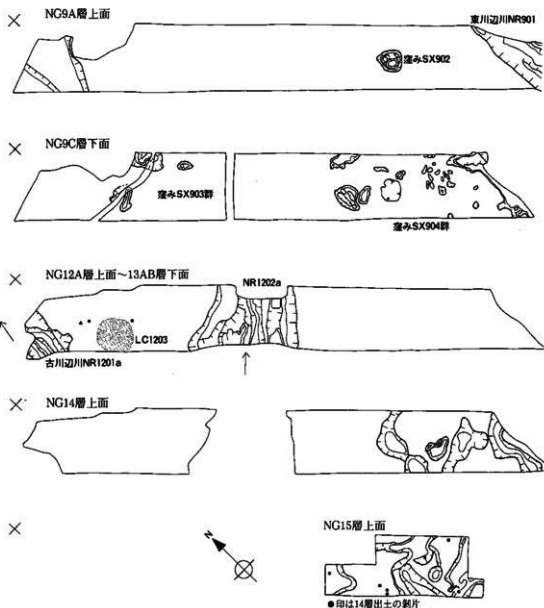
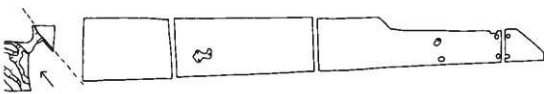


図8 89-19次調査地の地層断面と遺構の分布（その2）

これらは踏込み跡と考えられた。

溝SD701(図9、図版5) 西区の8Ci層上位の6層基底面で検出した幅70~100cm、深さ30~40cm程度の東西方向のやや蛇行した溝であり、周辺の調査結果からは水田開発に係わ



×

×

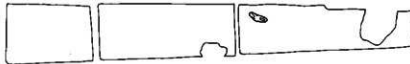
NG12層・13A層内石器遺物の分布



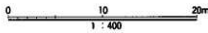
▲印：石核(12層)、■印：石核(13A層)、●印：剝片(13A層)

×

×



×



る溝と考えられた。溝内構成層は2分され、下半部は極細粒砂質シルトの不定形な偽礫と粗粒～極粗粒砂との混合物とこれを覆う粘土薄層からなり、上半部は粘土薄層を挟む粘土偽礫と砂質粘土の基質からなっていた。

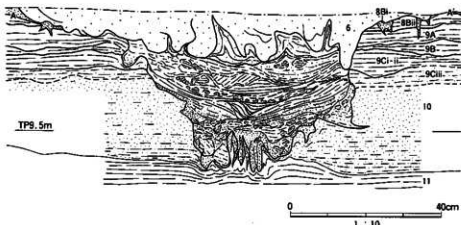


図9 滝SD701断面

下半部が覆う溝の底には、溝の延びの方向に沿って、ウシと思われる偶蹄類の足印が密に踏込まれており、著しく起伏していた。この溝底は機能面であり、本来の加工面は足印の形成時に破壊されたと考えられた。古墳時代の終りか飛鳥時代のはじめに、水田の開拓者にひかれて、ウシが溝の中を列をなして歩く奇妙な光景が想像される。

SD701出土の須恵器(図12、図版30) 10は口径11.7cm、器高3.7cmの杯身である。立上がりは内傾したあと、口縁端部で立つ。底部の1/3を逆時計回りにヘラケズリで調整している。TK217型式に属するものである。

滝SX702 西区の8Ci層上位の6層基底面で検出した長さ3m以上、幅約2mでごく浅い窪みで、埋土は7層構成物と同質であった。遺構かどうかはわからない。

#### (3) 弥生時代中期後半の遺構・窪み(図7)

溝SD801・窪みSX802群 ともに東区の8B層下面で検出した。SD801は幅約20cm、深さ数cmの南西-北東方向の溝である。SX802群は長径1.0~2.5mでごく浅い不定形な窪みの集まりであった。遺構かどうかはわからない。

#### (4) 弥生時代中期前半の遺構(図8)

人間の足跡(図10・11、図版3) 西区の8Ci層上面で多数のヒトの足印を検出し、2列の行跡と行跡の可能性のある足印群を識別した。行跡1は8個の足印からなり、南東-北西方向に歩幅が平均76cmで歩いていた。行跡2は9個の足印からなり、南東-北西方向に歩いてきたが、途中で南方向にUターンしていた。歩幅の平均は60cmであった。

一見してヒトの行跡と誰もが疑わない行跡であったが、足印口における足印の長さは行

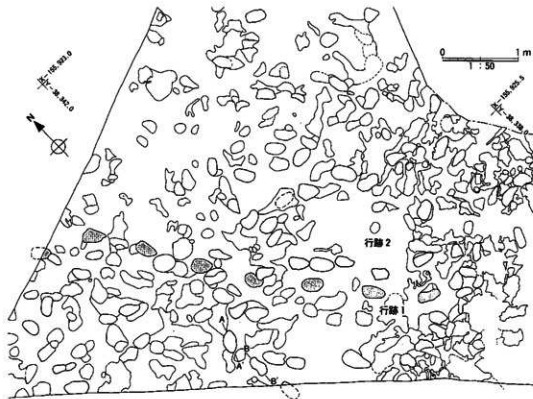


図10 長原8Cii層上面の人の足跡

跡1で26~36cm、行跡2では23~31cmと大足のようであった。また、足印の深さは行跡1では6~9cm、行跡2では7~14cmであった。検出した足印はいずれも8Cii層の砂層で覆われていたが、行跡2は明らかに行跡1が埋ったのちに踏込まれていた。足印の凹みには、足印底の前内側に第1指らしい小さな凹みが観察されるものがあったが、多くの足印は指印が識別できなかった。また、足印底は水平か前側に緩く傾斜し、前側の足印壁は直線的であり、比較的明瞭に屈曲して足印底と区別されるのに対して、後側では緩く屈曲していた。足印壁がオーバーハングするものがあったが、その位置は後側に多い傾向があった。

行跡2の左右1足印ずつで足印の断面を観察したところ、足印内堆積物はともに2分され、下部の粗粒砂薄層は層厚数~20mmと薄く、足印底から足印壁を覆っていた。前側で足印口に向けて層厚を減じたが、足印底直上の砂粒は足印底にめり込んだ状態であった。上部の砂層は細粒~中粒砂ラミナと粗粒~極粗粒砂ラミナが乱れて堆積しており、8Cii層堆積物であるシルト質粘土の偽礫を含んだ。下位の粗粒砂薄層の上面は、足印底~足印壁の概形に沿っており、前側には比較的明瞭な屈曲点が、後側には緩やかな屈曲点があった。

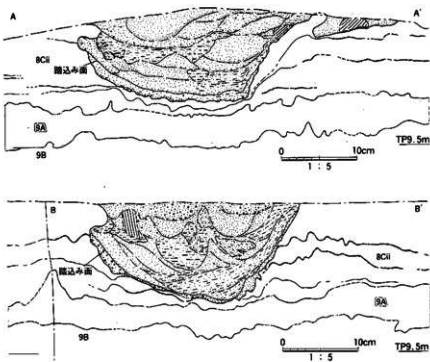


図11 行跡2の足印断面

両屈曲点の間隔は、右足印で20.0cm、左足印で19.5cmであった。

以上の観察をもとにして、野尻湖発掘調査団足跡古環境班(1992)の視点を踏まえれば、これらの足印の本来の踏込み面は足印内堆積物下部の粗粒砂薄層の上面であったと推定され、足印底と並行する屈曲点間の平坦面が支持痕であると考えられる。直線的な前側の足印壁は着地時に足がめり込んでできたと推定され、足印の後側に多いオーバーハンプは、離脱時の蹴りによるものであろう。また、乱堆積構造をもつ上部の含偽礫砂層は、水を媒介として離脱時に足印に吸引されたと考えられる。したがって、これらの足印は8Ci層堆積初期に堆積しつつあった粗粒砂薄層の上面から踏込まれたと考えられ、8Ci層上面で検出した足印はアンダープリントであったと結論される。

行跡2を残したヒトは支持痕の値から足印長20cm程度と小柄だったと推定され、この値は60cmの歩幅と矛盾しない。

ヒトの行跡は必ずしも遺構とはいえない。しかし、前人段階のヒトの行跡ならばともかく、地層から推定される弥生時代中期前半という年代的背景からは、これらの行跡が、これを印した人物の労働の痕跡であることは疑いないことである。

## (5) 縄文時代晚期～弥生時代中期初頭の自然地形・窪み(図8)

東川辺川NR901(NRW901)(図版4) 西区の長原9A層上面を北流した自然流路であり、幅7.5m、深さは最大2.1mであった。本調査地では8C層堆積時に著しく下刻され、9A層上面での状況は残っていないが、上流60m付近には、溝内に長原式土器を含む9A・B層が堆積していることが知られている。

NR901出土の長原式土器(図12) 14は口縁端部の下端に断面三角形の突帯が巡る鉢の口縁部である。突帯のキザミの形状はD字状で粗い。色調は灰黄褐色～黒褐色で、胎土中に長石・角閃石・雲母粒を多量に含む。このほかにも図示しなかったが、長原式土器の細片が数点出土している。

窪みSX902 西区の長原9A層下面で検出した長径5m、深さ0.3mのいびつな凹みであり、下底面も不規則に凹凸し、木の根の痕らしい孔があった。埋土は9C層・9B層構成物のシルト質細粒砂・極細粒砂質シルトの偽礫を多含する粘土質シルト(9A層堆積物)で乱堆積していた。倒木の痕と考えられた。

## (6) 縄文時代後期の窪み(図8)

窪みSX903群・904群・905・906 長原9C層上面および下面で検出した不定形な凹みであり、下底面は不規則に凹凸し、木の根の痕らしい孔があった。SX902と同様に、倒木の痕と考えられた。遺跡東南地区では長原9層の層準にこのような凹みが多数見つかっている。

## (7) 縄文時代中期の自然地形(図8)

古川辺川NR1201a・1202a 西区の長原12A層上面を北流し、10・11層で埋った自然流路であり、NR1201aは右岸の斜面を検出した。流路の中心部に向って12BC層の層厚が漸増し、古川辺川の本来の姿であるNR1201bの存在をうかがわせた。また、NR1202aはNR1201aの決壊流路と考えられ、幅8～11m、深さ1.4mで、調査地を南西から北東へ横断した。

## (8) 後期旧石器時代末～縄文時代初頭の遺構(図8)

石器集中部LC1203(図版1・2) 西区の長原12BC層から石器遺物が見つかりだし、石器遺物を掘り終えたときには細分できない13AB層を掘り終っていたという、きわめて層準判定がむずかしい遺構であった。半径1.5mの中に石核・叩き石とともに、1000点をこえる剥片が密集していた。詳細は第IV章で述べる。また、東区の13AB層からも接合資料を含む5点の剥片が出土している。

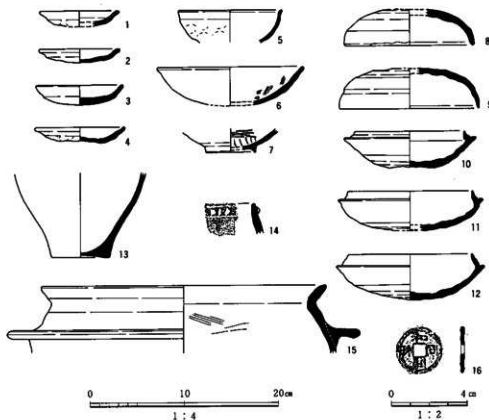


図12 19次調査地の遺構・包含層出土遺物実測図

SD701(10)、NR901(14)、長原4Bi層(1・2・7)、長原4Bii層(3・4・6)、長原4Biii層(15・16)、長原6層(5・8・9・11・12)、長原6～7層(13)

#### (9) 後期旧石器時代前半の遺構・微地形(図8)

長原13層が厚く分布する西区の14層上面は数条の溝状に窪んでいた。13C層を堆積させた自然流路の一部かと思われる。また、15層の上面を西区で検出したところ、起伏のある地形面が現われた。14層堆積時に下刻された浸食地形面である。

14層の上半部からは7点の剥片が見つかった。散漫な分布をしており遺構面を特定できなかったが、同一母岩の剥片があり、近くの石器製作址からもたらされた可能性がある。

### 3. 包含層出土遺物

#### (1) 長原4Bi層出土遺物(図12、図版30)

瓦器1は口径8.2cm、器高1.6cmの小皿である。7は楕の底部で、径5.3cmあり、内面には

暗文が密に施されている。ともにC-II-3~III-1期（鈴木秀典 1982）であろう。

土師器2は口径8.4cm、器高1.4cmの小皿である。口縁端部はわずかに開く。平安時代IV期新段階（佐藤隆 1992）に属するものである。

（2）長原4Bii層出土遺物（図12、図版30）

瓦器3は口径9.2cm、器高2cmの小皿で、底部が厚い。6は口径10.8cmの椀で、底部を欠損している。口縁端部は丸く、内面にはやや粗い暗文が施されている。ともにC-III-1期に属するものであろう。

土師器4は口径9.3cm、器高1.6cmの小皿である。口縁端部をつまみ上げている。平安時代IV期に属するものである。

（3）長原4Biii層出土遺物（図12、図版4・30）

土師器15は口径30cmに復元された釜である。口縁部は外反しており、鋸はやや下向きに付けられている。C-II期に属するものであろう。

古錢16は直径2.4cm、最大厚0.2cmで、保存状態のよい和同開赤である。

（4）長原6層出土遺物（図12、図版30）

土師器5は口径10.8cmの杯で、口縁端部はやや内傾している。体部の外面にはユビオサエが残る。飛鳥II期に属するものである。

須恵器8・9は口径13~14.6cm、器高3.7~4.2cmの杯蓋で、ともに天井部の1/2を逆時計回りにヘラケズリで調整している。口縁端部はわずかに内傾している。9の口縁部と天井部の境にはにぶい凹線が巡る。11・12は口径13~13.2cm、器高4.1~4.8cmの杯身である。前者は立上がりが短く、後者は長くやや内傾している。ともに口縁端部を丸くおさめており、12は体部の2/3を時計回りにヘラケズリで調整している。8・9・11はTK209型式、12はTK10型式に属するものであろう。

（5）長原6~7層出土の弥生土器（図12、図版30）

13は底径6.0cmで、裏面中央が浅く凹む甕の底部から体部にかけての破片である。体部のなかほど以上を欠損しており、内外面とも器面が剥落しているため、調整は不明である。色調は赤黒色を呈しており、胎土中に長石粒を多く含む。畿内第IV様式に属するものである。

## 第2節 89-23次調査地

### 1. 層序

本調査地は後期旧石器時代の古川辺谷の西岸に位置し、標準層序で識別された多数の地層が分布し、前節の89-19次調査地の東区の層序関係とよく似ていた(表9、図13)。ただし、長原3層・8A層は分布せず、一方、4A層が調査地の西端に分布した。また、6~7層・9C層・12層・12/13~13層は細分できなかった。いちいちの地層の記載は表9を参照されたい。

### 2. 遺構とその遺物

#### (1) 中世の遺構(図13、図版8)

犁溝SD401・SD402群 長原4Biii層下面で検出した小溝群である。調査地西部のSD401は幅数~30cm、深さ数cmの断続的な小溝群が南北方向に並ぶ。東部のSD402群は幅15~40cm、深さ数cmの小溝群が東西方向に並ぶ。これらは周辺の調査地の知見からは犁溝であると考えられた。

柱穴群 長原4Biii層下面の犁溝群と重なって、いくつかの柱穴があった。柱穴は多くが不整円形の掘形で、柱痕跡の確認できるもので直径10cm程度であった。建物を復元できるような柱穴の配置は確認できなかった。瓦器・土師器の小片が出土した。

#### (2) 飛鳥~奈良時代の遺構

柱穴SP603群 長原8C層上位の4Biii層基底面で、中世の遺構とは明らかに埋土の異なる柱穴を検出した。柱穴は不整円形の掘形で、直径が数cm~約50cmであった。埋土は長原6層構成物であった。建物になるような柱穴の位置関係は確認できなかった。

#### (3) 古墳時代の遺構(図13・14)

井戸SE703(図14、図版8) 長原8C層上位の4Bii層基底面で検出した直径50cm、深さ75cm以上の円形のピットである。遺構内堆積物は底付近が8C層堆積物が再堆積した灰白色シルトで、ラミナが発達していた。その上面には炭化物が密集した薄層が重なり、その上は極粗粒砂混りシルトの客土であった。これらの特徴からこのピットは井戸であった可能性が高いと考えられた。土師器片が埋戻し土から出土した。

土器埋納ピットSP704(図14、図版7) 長原14層上位の0層基底面で検出した直径約40

表9 NG89-23次調査地の層序

地層区分	層相	厚さ(cm)	遺構と遺物	参考
NG0-1	現代客土・作土	-		
NG2	オリーブ褐色(2.5Y4/6) 粗粒砂質シルト	20以下	鉄針・須恵器・土師器・瓦器・瓦質土器・埴輪	
NG4 A	黄褐色(10YR5/8) 粗粒砂質シルト	10以下	須恵器・土師器・瓦器・埴輪	
	オリーブ褐色(2.5Y4/6)～褐色(10YR4/4) 粗粒砂質シルト	約15	埴輪・土師器・須恵器・瓦器・黑色土器	
	に赤い黄色(2.5Y6/3)～灰褐色(2.5Y7/2) 粗粒砂質シルト	10～15	▼位置 SD401・402群、柱穴群 土師器・瓦器	
NG6～7	黒褐色(7.5Y3/1) 細粒砂質シルト～シルト質粘土	15以下	↓柱穴 SP603群 井戸 SE702、土器墳的ピット SP704、ピット SP705	
NG8 B	褐色(7.5Y4/1) 粗粒～中粒砂質シルト	8以下		津生土器
	灰白色(2.5Y6/1) シルト～黄褐色(10YR5/8) 粗粒砂質	15～20		
NG9 A	黒褐色(10YR3/1) 粗粒砂質シルト	5～10	→西川辺川 NR907、深 SD908 →津生土器・純文土器	
	褐色(10YR4/1)	5～12		
	黒褐色(10YR2/2) 中粒砂質シルト	10～20	▼底 SD909・910群、植物群 SX911 石斧・石錐	
NG10-11	暗褐色(2.5Y5/2) 粗粒～粗粒砂	20～50		
	褐色(2.5Y4/1) 粗粒砂混り粘土質シルト	(5～10)		石錐
NG12	黒褐色(2.5Y3/1) シルト	3～8		石錐
NG12/13-13	明青褐色(10YR6/6) 粗粒砂混り粘土質シルト	約15	刮片・有茎尖頭器・石核	上面から範囲
NG13 C?	明青灰色(10G7/1) 粗粒砂質粘土	35以下		上面から範囲
NG14	明青灰色(10G7/1) 粗粒砂質粘土～砂礫質シルト	170以上	↑上部検出遺構 ▽地層内検出遺構 ▼下面検出遺構 ↓基底面検出遺構	
NG15	ト～緑灰色(10G6/1) 砂疊			

cmの不整円形のピットである。底から10cmしか遺存していなかったが、本来は約80cmの深度があったと推定される。遺構埋土は長原7層構成物と14層堆積物である灰色シルト・明青灰色粗粒砂質粘土の偽礫が客土されており、埋戻されたことがわかった。下底に接地した状態で、小型丸底壺が完形で出土した。

SP704出土の土師器(図16、図版31) 22は口径7.7cm、器高8.4cmの小型の丸底壺である。口縁部は頸部からわずかに内湾しながら直立しており、端部は丸い。体部の外面はユビオサエのあとナデ、内面を縦方向のナデで調整している。灰褐色を呈しており、胎土中に長石・チャート・雲母粒を含む。6世紀後半に属するものであろう。

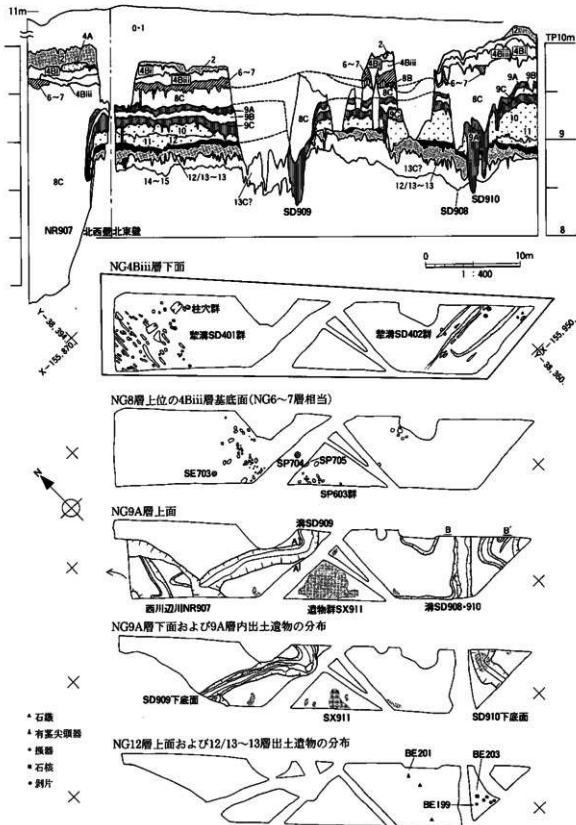


図13 89-23次調査地の地層断面と遺構の分布

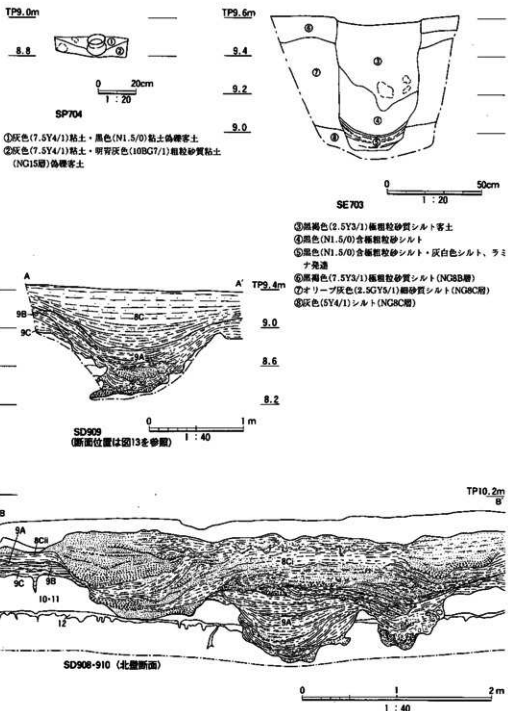


図14 SE703・SP704・SD908～910断面

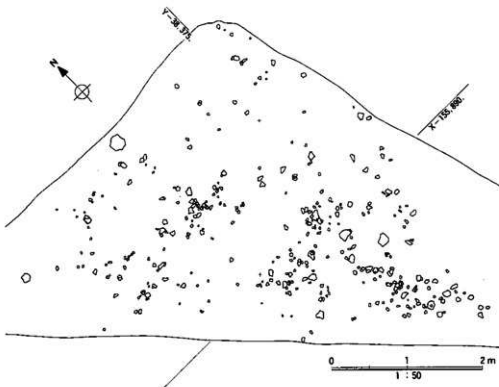


図15 長原9A層の遺物群

**ピットSP705** 長原8C層上位の4Biii層基底面で検出した長径50cm、深さ30cmの梢円形のピットである。埋土は7層構成物であった。底から数cm浮いた状態で、1/3ほど欠損した須恵器杯身が出土した。

**SP705出土の須恵器(図16、図版31)** 26は長原7層の上面から出土したものである。口径12.3cm、器高4.4cmで、立上がりがわずかに内傾した杯身である。口縁端部を丸くおさめており、底部の約1/2を時計回りにヘラケズリで調整している。TK10型式に属する。

#### (4) 弥生時代前～中期初頭の遺構・自然流路(図13・14・15、図版6)

**遺物群SX911(図15、図版6)** 長原9A層上面で調査区中央付近を中心に多くの畿内第I様式の弥生土器と少量の長原式土器・サヌカイト製剥片・石英製剥片・安山岩の板状隕などが出土した。これの遺物の分布と重なって、9A層中からも畿内第I様式の弥生土器・長原式土器・サヌカイト製剥片・石鏡1点・砂岩製砥石などが出土した。上面の遺物群と一緒にものとみられる。また、SD909の北側でも、3点のサヌカイト製剥片が寄り添って出土した。この遺物群が當時どんな場所であったかは定かではないが、周辺調査地の遺構か

らも比較的多くの遺物が出土していることから、ごく近くに集落があったと思われる。

**SX911出土の弥生土器(図16、図版31)** 29は壺の蓋と思われる破片で、器表面の残りは悪い。30・31は口径20.9~27.5cmの壺である。口縁部は前者は外上方に伸びる体部から短く開き、後者は緩やかに外反する。31の頸部には3条のヘラ描沈線文が巡る。33は壺の底部で、外面は縦方向のナデ、内面は横方向のハケを施している。37はやや体部に張りのある壺の破片で、上端に2条のヘラ描沈線文が施された削出し突帯がある。38は壺の底部で、底径は7.2cmある。調整は外面が粗いヘラミガキで、内面はナデである。36・39~41も壺の底部と思われるもので、いずれも中央が浅く凹む。以上の土器はともに色調は黄橙色を呈しており、胎土中に長石粒を多く含む。畿内第I様式中段階に属するものであろう。

**溝SD910(図14)** 調査地東部の長原9A層の上面で検出した見かけの2条の溝であったが、埋土は水成の9A層であり、遺構の重なりは観察されなかった。9A層下面で完掘した形状は幅2.1m、深さ0.4mの溝で、南から北東にやや蛇行し、調査地北壁に接する部分では二股に分れていた。東側の浅い方の溝では、基底部のオリーブ黒色シルトには踏込み跡とみられるラミナの変形が観察された。弥生土器・長原式土器・砂岩製砥石・サスカイト製剝片などが出土地した。特に、調査地北壁に接する部分の溝底で出土した長原式土器が注目される。

**SD910出土の長原式土器(図16、図版31)** 28は体部の上半部を欠損しているが、底部径7cmのやや小型の壺あるいは壺とみられるものである。体部外面のなかほどから底部にかけて縦方向のミガキ状のナデ、内面は縦方向の幅広いナデを施している。粘土紐の接合は外傾接合である。色調は暗茶褐色を呈しており、胎土中に角閃石・長石・雲母粒を多く含む。

**溝SD909(図14)** 調査地中央部の長原9A層の上面で検出した溝で、埋土は水成の9A層であった。9A層下面で完掘した形状は幅約1.5~2.0m、深さ0.8mで、北西から南東に延び、調査地北壁付近で北へ強く屈曲していた。北西部はNR907を埋立てた8C層によって削られていた。溝の側壁は随所に剥落の跡があり、壁面がオーバーハングしていた。出土遺物は畿内第I様式の弥生土器・砂岩製の磨製石斧片などである。

**西川辺川NR907(NRW901:図17)** 調査地西部の長原9A層上面を北流した幅約6m、深さは約2mの自然流路である。本調査地周辺では蛇行しており、流路の側壁と下底面は8C層堆積時に著しく下刻され、9A層上面での状況は残っていないが、上流90m付近には、溝内に9A層が堆積し、両岸に土手がつくられていることが知られている。溝底付近から畿内第

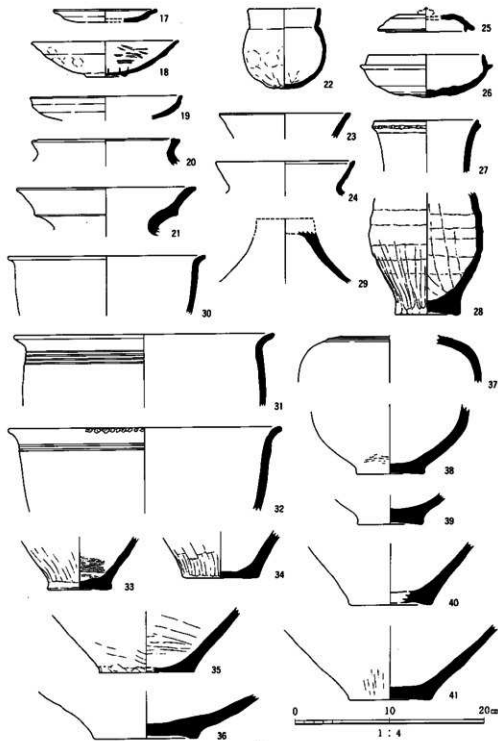


図16 23次調査地の遺構・包含層出土遺物実測図

SP704(22)、SP705(26)、SX911(29~31・33・36~41)、SD910(28)、NR907(27・32・34・35)、長原2層(25)、長原4B層(19・20)、長原4Bii層(17・18)、長原7層(21・23・24)

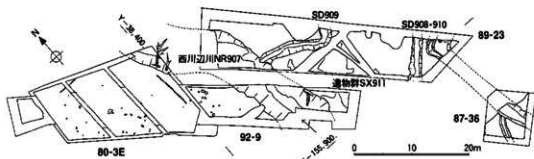


図17 23次調査地周辺の長原9A層上面の状況

I様式の弥生土器が出土した。

NR907出土遺物(図16、図版31) 弥生土器32は口径28.8cmで、口縁部が頭部から外上方に短く開いた壺である。口縁端部に粗いキザミメと頭部に2条のヘラ描直線文を施している。34は壺の底部で、外面は粗い綫方向のハケ様のナデのあと、幅広いナデを施しており、内面には炭化物が焦げ付いている。35は壺の底部で、内外面とも調整はナデである。以上の土器は畿内第I様式中段階に属するものと思われる。

長原式土器27は口径約11cmで、口頭部がわずかに開きながら立つ壺である。口縁端部の下端にやや小さなキザミメを施したにぶい突帯が巡る。

溝SD908(図14) 調査地東部の長原9A層上面を南西から北東に流下した幅約2m、深さ0.5mの溝であり、8C層が埋めていた。SD910に沿って流れた8C層堆積時の決壊流路かと思われる。

#### (5) 後期旧石器時代末～縄文時代初頭の遺構(図13)

調査地東部の長原12/13～13層の中から石核1点、有茎尖頭器1点、削器1点、剥片4点が出土した。この状況だけからではこの場所が目的の明確な遺構とはいえないが、石核BE203は88-19次調査地のLC1203の多数の剥片と接合し、LC1203との関連が予想される。詳細は第IV章で述べる。

### 3. 包含層出土遺物

#### (1) 長原2層出土の須恵器(図16)

25は天井部のなかほどを欠損しているが、口径8.4cmの杯蓋である。内面のかえりは短い。天井部の約1/3をヘラケズリで調整している。TK217型式に属する。7層段階の遊離資料である。

(2)長原4B層出土の土師器(図16)

19は口径16cm、器高2.5cm前後の皿である。20は口径14.3cmの壺で、口縁端部の上面がわずかに凹む。以上は平安時代Ⅲ～Ⅳ期に属するものであろう。

(3)長原4Biii層出土遺物(図16)

土師器17は口径10.8cm、器高1.3cmの小皿である。「て」の字状口縁部をもつが、屈曲にはぶい。平安時代Ⅲ期新段階からⅣ期にかけてのものであろう。

瓦器18は口径15.4cm、器高3.7cmの椀である。口縁部は体部から外上方に開いており、体部の内面には暗文が施されている。C-Ⅲ-2～3に属するものであろう。

(4)長原7層出土の古式土師器(図16)

21は口径18.8cmで、口縁部が二段に開く壺である。口縁部に強いヨコナデを加えており、端部の上端面が浅く凹む。23・24は口径14～14.8cmで、「く」の字状に開く口縁部の端部が内傾する壺である。21は庄内式、23・24は布留式土器と思われる。

### 第3節 89-37次調査地

#### 1. 層序

調査地は後期旧石器時代の古川辺川の東岸に張出した低い尾根とその東側の低地に位置し、標準層序で識別された多数の地層が分布した(表10、図20・21)。①～②区では長原8層～9層がよく発達し、河成の8A・8C層や沼津地性の9B層を挟んで厚く分布したのに対して、③区では水成層の発達が悪く、全般に薄くなり、各層準の暗色帯は収斂していた。12層以下の地層は③区東部で分布高度がもっとも高く、ここでは10・11層を欠いて12層と9C層とが直接重なっていた。

長原13C～14層・15層には荷重痕とみられる堆積後の著しい変形があり、14層下面で明瞭に観察された(図18)。ドーム状の高まりの著しいものは高低差が70cm近くあり、15層堆積物が12層に突出していた。10・11層以上にはこの変形は及んでいないので、大阪市文化財協会(1995a)が10・11層堆積初期に推定した地震によるスランピング構造かと考えられた。いちいちの地層の記載は表10を参照されたい。

#### 2. 遺構とその遺物

##### (1)近世の遺構(図20)

島畠溝SD204～206 長原2層下面で検出した3条の島畠溝である。いずれも東西方向であり、①区南部のSD204は幅4.5m、深さ0.3m、①区北端のSD205は幅4.0m、深さ0.2m、②区のSD206は幅2.5m、深さ0.3mであった。

##### (2)古墳時代の遺構(図20)

溝SD706～708 長原7層下面で検出した3条の溝である。いずれもほぼ南北方向であり、①区のSD706・707は幅0.3m、深さ0.1m未満、②区のSD708は幅1.0m、深さ0.1m程度で、いずれも長原7層の黒色シルトで埋積されていた。水田の導水等に係わる遺構と考えられる。

##### (3)弥生時代中期の遺構(図20、図版12)

溝SD803・窪地SX804 ①・②区の長原8B層下面で南北方向に延びる溝SD803と、その東側に円形に拡がると予想される浅い窪地SX804を検出した。SD803は幅40～60cmで、南の88-15次調査地から延長45mにわたって検出され、①区ではSX804を避けるかのように

表10 NG89-37次調査地の層序

地層区分	層相	層厚 (cm)	遺構と遺物	備考
NG0・1	現代客土・作土	-		
NG2	にぶい黃色 (2.5Y6/3) 粗粒～粗粒砂質シルト	5-30	▼高昌窯 SD204-206	
NG4 B	i上部 オリーブ褐色 (2.5Y4/4) 粗粒～粗粒砂質シルト	10-25		
	i下部 オリーブ褐色 (2.5Y4/4) 粗粒～中粒砂質シルト	10以下	瓦質土器・ウマ曲・陶器・磁器	
	ii オリーブ褐色 (2.5Y4/5) 中粒砂・レンズ状に分布	5以下	鐵達・鐵器・土師器・瓦器・黑色土器	
	iii 黄色 (10YR4/4) 砂混り粘土質シルト	10以下	石錐・鐵器・土師器・黑色土器・瓦器	
NG6～7	黒褐色細粒砂質シルト	5以下	▼清 SD706-708	鐵器
NG8 A	にぶい黃褐色 (10YR6/5) 砂塵～にぶい黃褐色 (10YR4/3) 粘土質シルト	20以下		
	黒褐色 (10YR3/2) 粘土質シルト～暗褐色 (10YR3/4) シルト質粗粒砂	約10	▼清 SD803・深堀 SX804	
	i にぶい黃褐色 (10YR5/3) 砂塵	25以下	一人掘の足跡	
	ii 黄色 (10YR4/4) シルト質粘土	6	一自然流路 NR912	
NG9 A	上部 床褐色 (10YR5/1) 粘土	約5	剝片・石核	
	下部 雜成色 (10YR4/1) 粘土～粗粒砂	約5	晚期長頭式	
	B 黑褐色 (10YR3/2) 粘土質シルト (上部)～灰色 (5Y5/1) 粗粒砂 (中部)～黃褐色 (2.5Y4/1) 粘土質シルト (下部)	35以下		
	C i 黑色 (10YR2/1) シルト質粘土	5~8	縄文土器	
	ii 黑褐色 (10YR3/1) 砂質シルト	5以下	立木の根の痕	
	iii 上部 黃色 (10YR4/1) シルト質粘土	約8	剝片	
NG10・11	iii 下部 黃褐色 (2.5Y5/1) 粘土質シルト	約8		
	灰色 (5Y5/1) 粗粒砂～粘土質シルト	15以下	剝片	
NG12	黃褐色 (2.5Y5/3) シルト	約5	石錐・剝片・石核	上面から乾燥
NG12/13～13	黃褐色 (2.5Y5/6) 粘土質シルト～シルト (上部)～明黃褐色 (2.5Y5/6) 粗粒砂混りシルト質粘土 (下部)	15~25	▼石器蓄集地 LC1301 (a・b・c・d) 1302・1303 (剝片・石核・ナイフ志石器)	
NG13C～14	明黃褐色 (2.5Y5/6) 粘土～黃褐色 (7.5G7/1) 砂・鐵混り粘土	約50	スランギング構造 →上部検出遺構 ▽△地盤内検出遺構 ▼▽下部検出遺構 ↓基底面検出遺構	上面から乾燥
NG15	綠灰色 (10G4/1) 鐵混り粗粒砂～シルト	120以上		

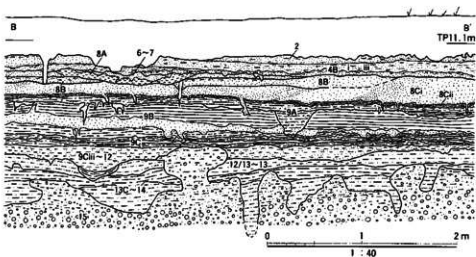


図18 長原12層以下に見られるスランピング構造（断面位置は図21を参照）

少し西に蛇行していた。埋土は下半部が細粒の8B層で上半部が8A層であり、8A層の堆積で完全に埋没している。下底面には凹凸があり、鉤の痕かと考えられた。

SX804は深さ20cmほどの浅い凹みで、南北16m以上の規模をもつ。下底面には人為的に掘削した形跡は認められなかった。SD803とSX804の間には、両者を結ぶように幅15cmほどの小溝があった。また両者の下底面の水準を比較するとSD803の方が約10cm低くなっている。水つきの8B層を観察できていないので予断にすぎないが、SX804に溜った水はある程度の水位に達すると小溝をつたってSD803に入り、北の方へ排水されていた、と解釈することもできる。また溝の南の延長に水田等があったのかもしれない。なお、大阪市文化財協会(1995a)は88-15②次調査地でSD803の延長であるSDVII904を9層上面の遺構と記載したが、これは誤りである。

#### (4) 弥生時代中期前半の遺構

②区の長原8Cii層上面に人間の足跡と思われる小窓みを検出した。

(5) 弥生時代前期～中期初頭の自然地形(図20)

自然流路NR912(図版12) ②・③区の9A層上面で検出した最大幅2.0m、深さ1.2mほどの流路である。調査地を蛇行し

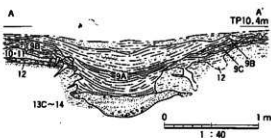
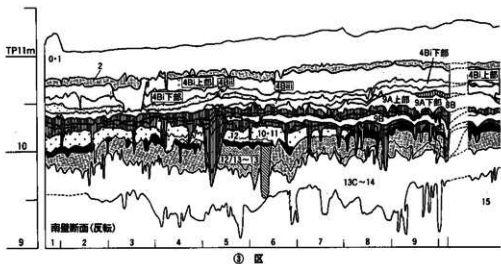
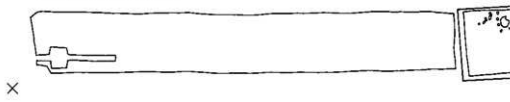


図19 NR912断面（断面位置は図20を参照）



NG2層下面・6～7層下面



(X=156.037,  
Y=38.357.)

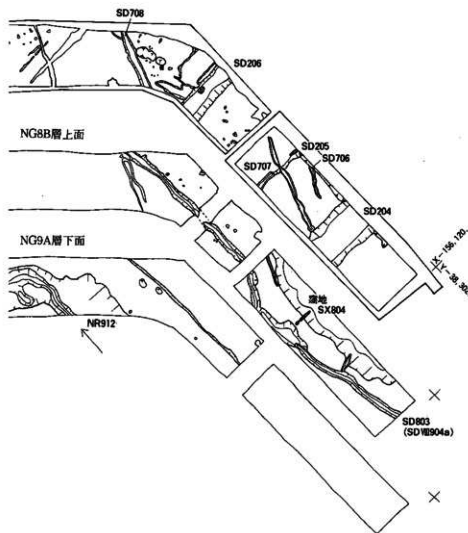
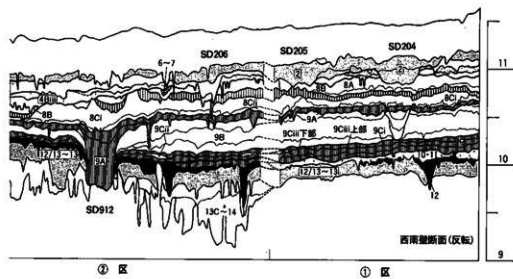
X

NC9A層上面



0 10 20m  
1 : 400

図20 89-37次調査地の地層断面と造構の分布（その1）



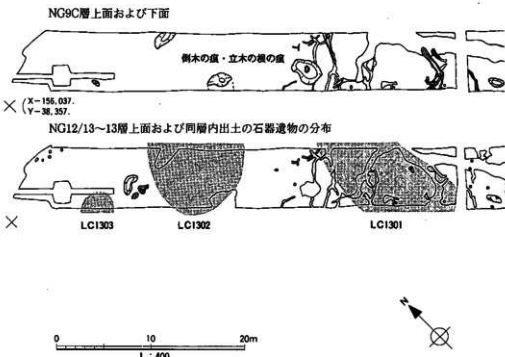


図21 89-37次調査地の地層断面と遺構の分布（その2）

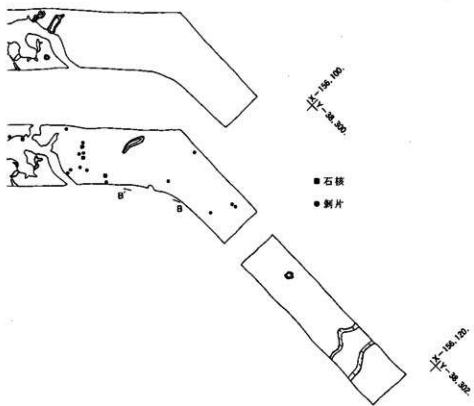
ながら北流した。埋土の9A層は大きく2層に分れ、下層は粗粒砂層、上層は黒色粘土層であった。下層は激しい水流をうかがわせ、側壁はオーバーハングしていた。上層は炭化物を含んだ粘土層で、ゆっくりと堆積したようであった。上層からは長原式土器の破片が出土した。なお、上流側に当る①区や88-22次調査地にはNR912の延長部が分布しないことから、NR912は調査地のすぐ南で発生したものと思われる。

#### (6) 繩文時代後期～晩期の窪み(図21)

長原9C層下面には大小の不定形な凹みや溝が分布したが、その状況から、側木の痕や立木の根の痕と考えられた。

#### (7) 後期旧石器時代の遺構(図21、図版9～11)

石器集中部LC1301・02・03 ③区の長原12/13～13層の中から、瀬戸内技法に関連する接合資料を含むナイフ形石器・削器・石核など約680点の石器遺物が出土した。これらの石器遺物は大きく3つのまとまりがあり、南から石器集中部LC1301・02・03と呼んだ。



またLC1301の中にも発掘した遺物密集個所と土壤の水洗篩別により抽出した微細遺物の密集個所とが重なった小さな密集部が4個所あり、1301a・b・c・dとした。また、②区からも石核と剥片など約30点の石器遺物が散漫な分布で出土した。詳細は第IV章で述べる。

## 第4節 89-22次調査地

### 1. 層序

本調査地には標準層序で識別された多数の地層が分布し、特に、長原7層以下の地層がよく発達していた(表11、図22~25)。

調査地中央部には古川辺川NR1201が南から北に流れ、長原12B層を堆積させた。昨年度、本調査地の北約40mで行われたNG88-69次調査地に引き続いて、12B層が細分され、その直下に軽微な削込みを挟んで12C層を新たに識別した。12A層堆積物の<sup>14</sup>C年代は上半部が $4,740 \pm 2,790$ 年前(GaK-14,942)、その下半部が $4,900 \pm 140$ 年前(GaK-14,941)、12Biii層堆積物が $4,900 \pm 100$ 年前(GaK-14,940)で、全般に少し古い値のようだが、おおむね出土遺物の年代観と一致しているといえる。

また、13B層の基底部には、遺跡東南地区ではじめて火山灰層が確認され、13Bii層とした。この火山灰層は前章で述べたように約2.5万年前に降灰した平安神宮火山灰層に同定された。後期旧石器時代を2分する重要な鍵層である。いちいちの地層の記載は表11を参照されたい。

### 2. 遺構とその遺物

調査地は昨年度NG88-57次調査地として調査が実施されたところであり、①~③区の8B層上面までの調査結果は前書(大阪市文化財協会 1995)を参照されたい。

#### (1) 中世・近世の遺構(図23)

島畠溝SDVII310 ④区の長原4B層上位の1層基底面で検出した東西方向の島畠溝の西端部分で、88-15次調査地から連続するものである。本調査地では西端から北に延びる溝が接続していた。

犁溝SD403群 ④区の長原4Bi層下面で検出した犁溝群である。溝の多くは東西にそろい、一部に南北方向のものがあった。溝どうしの間に切合い関係が認められ、若干の時期差を含むと考えられた。

ピットSP404群 ④区の長原4Biii層下面で検出した直径20~40cmのピット群である。建物を構成するような位置関係は認められなかった。

#### (2) 古墳時代の遺構(図23)

表11 NG89-22次調査地の層序

地図区分	層相	層厚 (cm)	遺構と遺物	備考
NG0-1	現代客土・作土	-	▽厚地清 SD 101	
NG2	明黄褐色 (5YR5/6) 粘粒砂混りシルト	5~10	▼白高透 SD 213-215, 坪地清 SD 207	
NG4 A	浅黄色 (3YB3/3) 砂礫～砂質シルト, SD 403 内に分布	-		SD 403
B i	黄褐色 (2.5Y5/3) シルト	約 15	一厚地清 SD 403	
B ii	オリーブ褐色 (2.5Y4/4) シルト	約 20	▼厚地 SD403 付、ピット SP404 付	土師器
NG6-7	褐色 (10YR4/4) シルト	10以上	▼ピット SP 722, SD 714-715	1 潜 SD709 (風窓跡)
NG8 A	明褐色 (10YR4/4) ~ 黄褐色 (2.5Y5/3) 粘粒砂～粘土、斜交埋理が観察に佐達	15~20		NG8C層以上は NG8-57次調査 地 (大阪市 文化財協会、 1995) で一部 報告
B	灰褐色 (7.5YR5/2) ~灰褐色 (2.5Y6/2) 中粒砂～ シルト質粘土	10~15	一薄 SD 811, 不定形な痕跡	
C	橙色 (7.5YR6/4) 中粒混り粗粒砂～薄い淡黄色 (2.5Y7/4) シルト	45以上		生糞土器
NG9	黄褐色 (2.5Y4/1) 热土質シルト	5~10		石器・削片・生糞土器
A	オリーブ褐色 (5Y3/1) 热土質シルト	5~10		
B	黄褐色 (2.5Y5/1) シルト	25以上	一薄 SD 919	
C i	黒色 (2.5Y3/1) シルト～粘土	10以下		
C ii	灰褐色 (7.5Y3/1) 粘粒砂質シルト	10以下	▼薄地 SX920, 立木の根の痕	石器・堆
NG10-11	灰白色 (5Y7/1) シルト粗粒砂～緑灰色 (10CB 6/1) シルト～粗粒混り粗粒砂	100以下		剥片・鰐文土器
NG12 A	黑色 (2.5Y2/1) ~ 黑褐色 (2.5Y3/1) シルト質粘 土、流路下部では砂を多量に含む	5~10	一古川源 NR1201a - 02a, NR1204-07 足跡状の痕跡群	上面から底
B i	黑褐色 (10YR3/1) ~ 黄褐色 (2.5Y3/1) 粘粒粗粒 質シルト	約 5		
B ii	灰色 (5Y6/1) 粘粒砂質シルト	約 10		鰐文土器
B iii	灰色 (5Y5/1) 火山ガラス含有粗粒砂質シルト、 火山灰偽縫を含む	10~15		
B iv	灰色 (5Y6/1) 粘粒砂質シルト～黄褐色 (10YR5/ 6) 粘粗粒砂	約 40		
C	暗灰褐色 (2.5Y5/2) 粘粒砂質シルト～粘粗粒 砂、火山灰偽縫を含む	25		石器
NG12/13	灰色 (5Y5/1) 粘粗粒砂質シルト～粘土、部分的 に分布	約 7	一古川源 NR1201b - 1202b	
			▽石器集中部 LC1304 (剥片・石器)、石器散在	
NG13 A	灰オリーブ色 (5Y5/3) 中粒～粗粒砂質シルト	5以下	一上面突出遺構 ▽地盤内突出遺構 ▼下面突出遺構 ■基底面突出遺構	*上段層からの 出土*
B i	灰オリーブ色 (5Y4/2) 粘粗粒砂質シルト	約 10		
B ii	灰オリーブ色 (5Y5/3) シルト質ガラス質火山灰、 レンズ状に分布	1~2		
NG13C~14	黄褐色 (2.5Y5/4) 热土質シルト～明綠灰 (10GY 7/1) シルト質粗粒砂、上部粗粒化	70以下		剥片 上面から底 一粗粒な不整合
NG15	綠褐色 (5Y6/4) シルト質砂、礫	100以上		

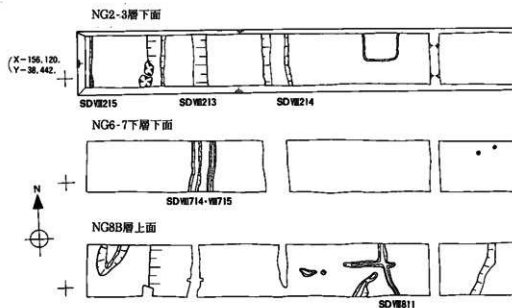
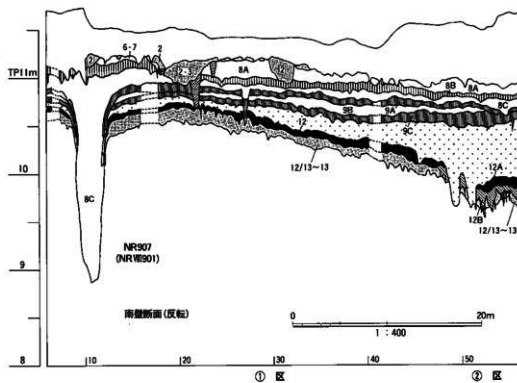
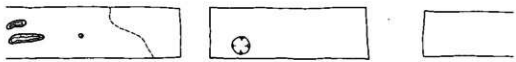
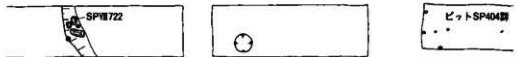
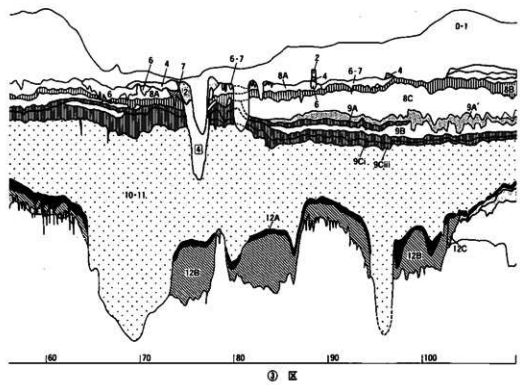
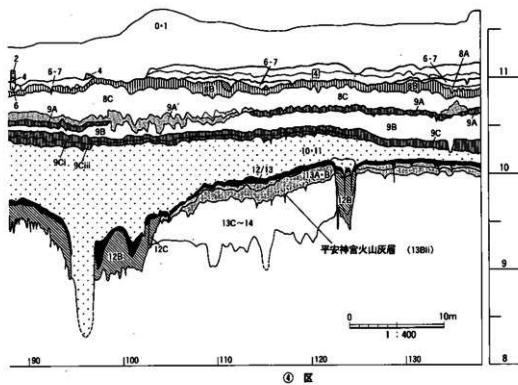


図22 89-22次調査地の地層断面と遺構の分布 (その1)





④ 区

(X-156, 121.  
(Y-38, 310.

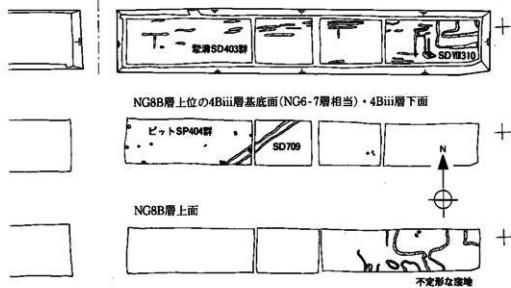


図23 89-22次調査地の地層断面と遺構の分布（その2）

溝SD709 ④区の長原8B層上位の4Biii層基底面で検出した幅80cm、最大の深さ40cmの南西-北東方向の溝である。周辺の調査の知見からは、水田開発に係わる溝だと考えられた。須恵器片が1点出土した。

### (3)弥生時代前期～中期初頭の遺構(図24・25)

西川辺川NR907(NRW901) 長原9A層上面の西川辺川は、本調査地①区では幅約5m、深さ約3mで南から北に流下している。

溝SD913 ①区の長原9A層上面で検出した幅0.5～1.2m、深さ0.1～0.2mの南から北に延びる溝である。溝の上半部は長原8C層で埋っていたが、下半部には長原9A層が堆積していたことから、この溝は9A層の堆積期にはすでに存在し、8C層段階で最終的に埋りきったと考えられる。

溝SD914 ②区の長原9A層上面で検出した南から北に延びる溝であり、8C層で埋っていた。溝幅は南側で約4m、北側では約1.5mであり、南側では中央に高い部分があって、溝底は2本に分れていた。

水田・窪み群(図版15) ③～④区の長原9A'層上面で、9A'層を作土とし、4条の畦畔および畦畔らしい高まりを伴う水田を検出した。

水田の西端は③区の中央にあり、水田面が一段下がっていた。西端から約12m東には直下の9A層が北北西-南南東方向の帶状に高く残る部分SR915があり、畦の痕跡と考えられたが、足跡は検出できなかった。

SR915の東約6mにはSR915とほぼ同じ方向の畦SR916があり、幅は約130cm、高さは6cmであったが、調査区南壁側では途切れているようであった。畦の西側は若干凹んでおり、8C層の極粗粒砂が堆積していた。

SR916の東約12mにはSR916とほぼ同じ方向の畦SR917があり、幅は120cm、高さは6cmであった。畦の西肩が明瞭で、作土面は畦の西側が少し低くなっていた。SR916と917の間には8Chi層の浅黄色シルトで覆われて、作土である長原9A'層が掘りあげられた窪みを多数検出した。窪みの中は取りこぼされたと思われる作土の偽礫が充填し、一部に粗粒～中粒砂が含まれていた。この砂の由来は不明である。窪みは長径100cm内外、深さは10cm前後の楕円形に近いもので、その加工面は作土の厚さをこえて9B層の深度まで達していた。

SR917の東約25mには南北方向の畦SR918があった。幅は120cm、高さは7cmであった。この畦は75cm幅の途切れた部分があり、水口かと考えられた。また、畦の客土中からは弥生土器の細片が多数出土した。畦SR918の西側3mほどの範囲に小さな窪みが認められ、一

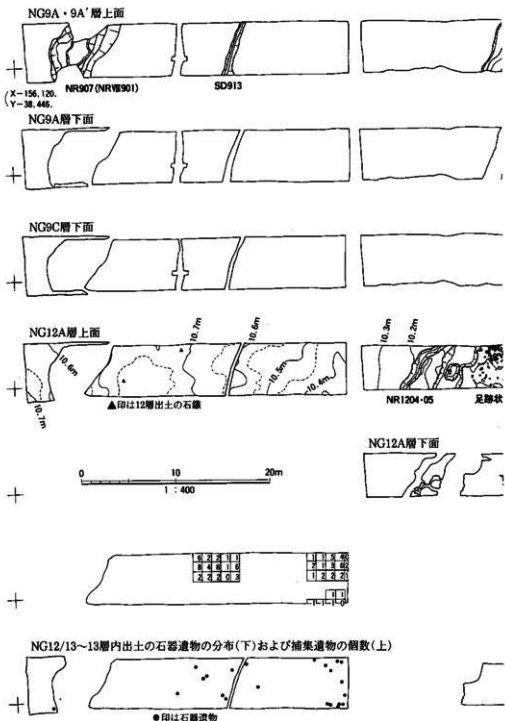
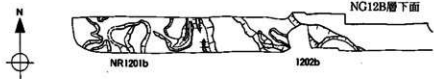
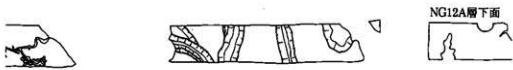
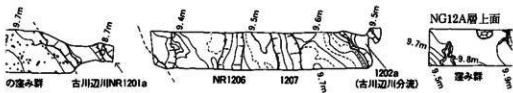
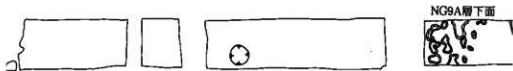
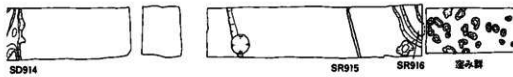


図24 89-22次調査地の地層断面と遺構の分布（その3）



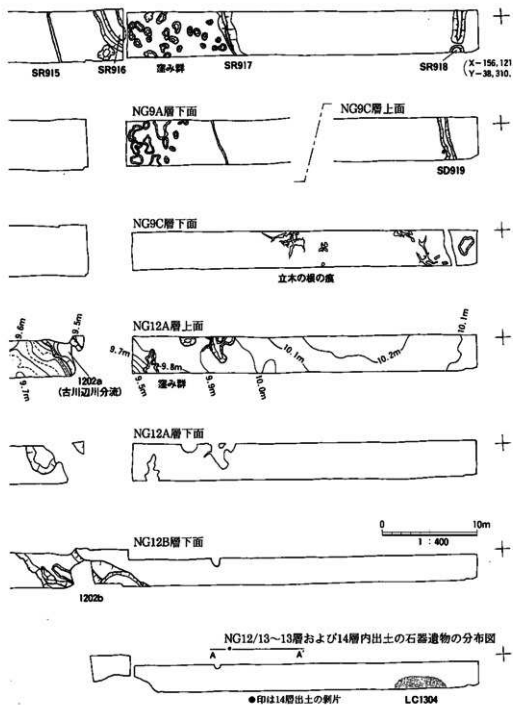


図25 89-22次調査地の地層断面と遺構の分布（その4）

部は水口から東へ延びていた。人間の足跡らしい輪郭のものは少なく、円形ないし楕円形であった。これは畦を客土する際に土を採取した痕跡とも考えられた。しかしながら、SR917と918の間には作土である9A'層が分布せず、直接9A層が露出していた。すなわち、SR917/918間は畦はつくられたが耕作されてはいなかった。

以上のように、検出した水田が耕作されていたとする積極的な証拠は見られないことから、④区の調査範囲では、水田が埋没する直前の段階には耕地として利用されていなかつたと推定される。なお、SR918の西側でサスカイト製の剥片が1点出土している。

#### (4)縄文時代後期～晩期の遺構・窪地(図24・25)

溝SD919 ④区の長原9C層上面で検出した9B層が埋める幅100cm、深さ10cmでは南北に延びる溝である。遺物は出土していない。

窪地SX920・立木の根の痕 ③区の長原9C層の下面で検出した幅約5mで調査地の南北両側に拡がる窪地である。窪地の下底面には3～4個所で特に深い部分があり、検出面からは数10cmの深さがあった。倒木の痕と考えるにはやや大きすぎ、性格は不明である。また、④区の長原9C層の下面で検出した不定形な窪地や溝状の窪みは、その状況から立木の根の痕と考えられた。

#### (5)縄文時代中期の自然地形・窪み(図24・25)

古川辺川NR1201・02・04・05(図26、図版14・15) 長原12A層上面の古川辺川NR1201aは、本調査地では②～③区を幅約10m、深さ約1.5mで南東から北西に流下している。下底には一段高い部分が残り、二段に分れていた。また、決壊流路であるNR1202aは③区東端を南東から北西に流下している。両流路aの本来の姿であるNR1201b・1202bは12C層以上の地層を堆積させて、各流路aの下に埋没していた。

②区の12A層上面でも10・11層で埋る2条の流路NR1204・1205が見つかった。ともに南西から北東方向に流れている。古川辺川が10・11層で埋積した時の決壊流路かと思われる。このうち西側のNR1204からは、サスカイト製の凹基式石鐵1点が出土した。

自然流路NR1206・07(図26) ②区の長原12A層上面で検出した南北方向の2条の流路であり、溝幅は2.0～2.5mで、深さは0.3～0.5mであった。ともに溝の下半部は水成の12A層が堆積していたことから、溝は12B層堆積後か12A層堆積初期に形成され、12A層を堆積したのち、最終的に10・11層で埋没したことになる。

足跡状の窪み群(図27、図版14) NR1205と古川辺川に挟まれた②区の12A層上面では、草本植物の地下茎の痕とともに10・11層の砂が詰まった窪みが斑点状に数多く認められた。

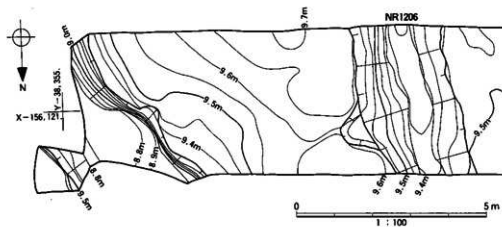
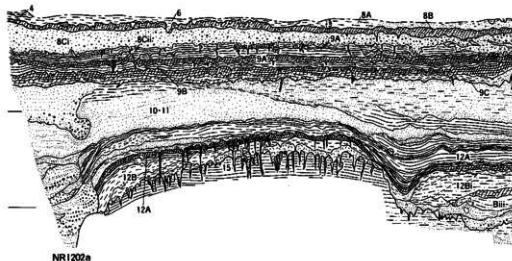


図26 22②次調査地長原12層上面および地層断面

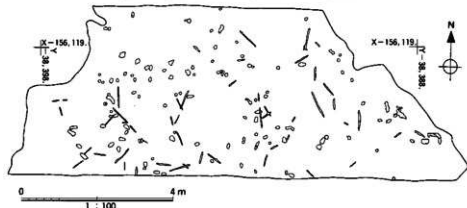
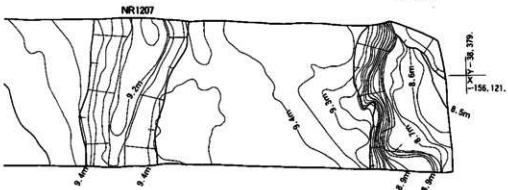
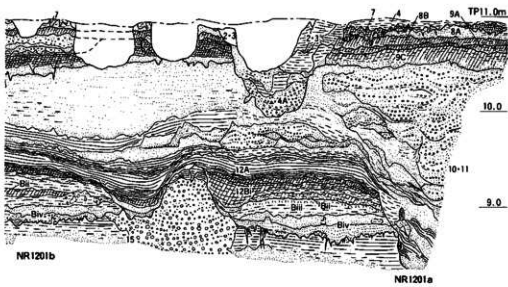


図27 22①次調査地長原12A層上面の足跡状の窓み群

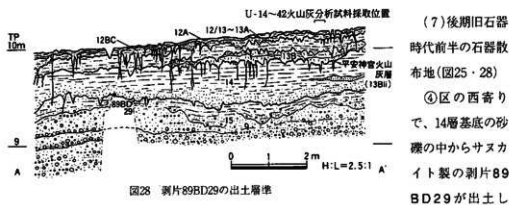


あるものは平面形が足跡のようななかたちをすることから、慎重に砂を除去したが、足跡であることの確証は得られなかった。

**窪み群** ④区西寄りの長原12A層上面で検出した不定形な3つの凹みは、9C層下面の立木の根の痕と類似することから、これらも立木の根の痕と考えられた。

#### (6) 後期旧石器時代後半～縄文時代初期の遺構(図24・25、図版13)

石器集中部LC1304ほか LC1304は④区の12／13～13A層の中からサヌカイト製の石核・ナイフ形石器・剥片など約100点の石器遺物が出土した石器集中部である。また、①区では12／13～13層から20点のサヌカイト製の剥片が出土した。詳細は第IV章で述べる。



た。周囲の土壤を洗浄して微細遺物の有無を確認したところ3点の微細剥片が捕集された。近くに石器製作址があった可能性がある。

### 3. 包含層出土遺物

(1) 長原12Bi層出土の縄文土器(図29、図版32)

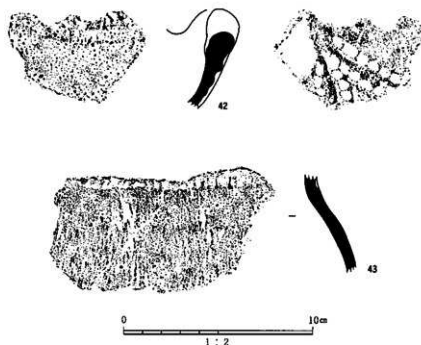


図29 22次調査地の包含層出土遺物実測図  
長原12Bi層(42)、長原12Bii~iii層(43)

42は深鉢の口縁部の破片で、口縁端部に粘土紐を足して突起部とし波状口縁を形成している。外面には波頂部から体部に向って3条の突帯が貼られ、各突帯の両側に円形およびやや不整形な刺突文が押引きで施されている。口縁部の内面には粗い繩文が施されており、頸部は横方向のナデで調整されている。色調はにぶい黄橙～灰白色を呈しており、胎土中に長石粒を多量に含む。繩文時代中期末の北白川C式土器（泉・屋根 1985）と思われる。

(2)長原12Bii～Iii層出土の繩文土器(図29、図版32)

43は長原12Bii層と12Biii層とにまたがって出土した深鉢の頸部から体部にかけての破片である。外面に堅い燃りの繩文が施されており、頸部の下端には浅い爪形文が見られる。内面の調整は横および斜め方向のナデである。色調は褐～灰白色を呈しており、胎土中に長石・チャート粒を含む。繩文時代中期前半の船元II式土器と考えられる。

## 第5節 89-80次調査地

### 1. 層序

本調査地は縄文時代の古川辺川と古長原川に挟まれた低い尾根に位置し、調査地の層序は大阪市文化財協会(1983)が北に隣接する調査地で明らかにした層序と基本的には同じであり、東区では長原9層以下の発達がよいのに対して、中央区では更新統の分布高度が高いために沖積層上部層Ⅱを欠いて、上部層Ⅰ以上が間欠的に分布した。また、西区では古長原川と呼んだ谷地形に、沖積層上部層Ⅱの12B層(註1)～9A層が堆積し、最終的に8C層が埋積し、さらに沖積層上部層Ⅰが覆っている(表12、図30、図版16)。いちいちの地層の記載は表12を参照されたい。

### 2. 遺構とその遺物

#### (1) 中世の遺構(図30)

小溝群 東区の地層断面で長原3層かと思われるシルト層の下面に観察された幅40cm前後、深さ約20cmで、断面U字形の数条の溝である。畑の歴史と思われる。

溝SD405 東区の長原4層下面で検出した幅約90cm、深さ約16cmの東西方向の溝である。  
土師器・黒色土器片が出土した。

SD405出土遺物(図31) 土師器48は口径8.8cmで、口縁部が短く開いた小皿である。51は口径12cmで、口縁部が頸部から外上方へ伸びた壺である。

黒色土器44・45は底径6.7～7.2cmで、高台がやや開いた黒色土器A壺である。以上の土器類は平安時代IV期の古段階に属するものと思われる。

土壤SK406 東区の長原4層下面で検出した長径約50cm、短径約30cmの楕円形で、深さが9cmの土壤である。

溝SD407群(図版18) 中央区の長原4層下面で検出した3条の溝で、いずれもほぼ南北の方向であった。東の溝は中央付近で北東へ枝別れしていた。溝幅は約20～90cm、深さは10～18cmであった。また、中央の溝の西脇に沿って直径18～25cmのピットが3基並んでいた。

SD407出土の土師器(図31) 49は口径10.8cm、器高2.5cmで、口縁部がわずかに内湾する小皿である。体部の外面はユビオサエ、口縁部の外面はヨコナデで調整している。平

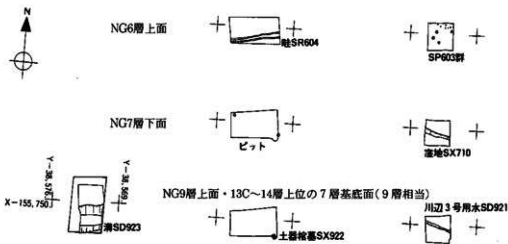
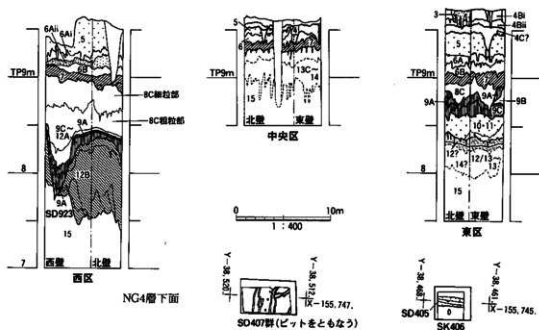


図30 89-80次調査地の地質断面と遺構の分布

安時代IV期の新段階に属するものである。

#### (2) 奈良時代の遺構(図30)

水田 中央区の長原6層上面で検出した西南西—東北東方向の畦SR604である。幅は下端で45cm、高さはよく残っているところで25cmであった。

表12 NG89-80次調査地の層序

地層区分	厚/ 墓	
	西区	中央区
NGO-1	現代客土・作土	
NG3?		(欠如)
NG4 B i 前 C?	(欠如)	に赤い黄褐色 (10YR6/4) 砂質シルト (層厚 5cm 以上)
NG5 A B	明黄色 (10YR6/6) 粒状～塊状	
NG6 A i ii B	オリーブ黒色 (5Y3/2) 砂混りシルト質粘土 灰色 (5Y4/1) 砂質シルト 黑色 (2.5Y3/1) 砂混りシルト質粘土	褐色 (7.5YR4/1) 砂質シルト (層厚約 10cm)
NG7	黑色 (7.5Y3/1) 砂混りシルト質粘土	灰褐色 (7.5YR4/2) 粘土質シルト
NG8 C i ii	黄褐色 (2.5Y5/1) 粒状～中粒状 灰色 (10Y6/1) シルト質粘土～シート	
NG9 A B C	暗褐色 (N3/0) 粘土 (欠如) 黒褐色 (5YR2/1) シルト～細粒砂	
NG10-11 (II相)	(層厚 10~25cm)	(欠如)
NG12 A BC	灰色 (5Y5/1) 砂質シルト～シルト質粘土 (層厚 80cm 以下)	
NG12/13~13 NG13C~14	(欠如)	明黄色 (10YR3/6) 粒・シルト質粘土 ～白灰色 (5GY8/1) 粘土・砂礫
NG15	青灰色 (10BG6/1) 砂塊	

ピットSP603群 東区の長原6層上面で検出した4基のピットで、直径はすべて22cm前後であった。深さは3基はごく浅いが、中央北端の1基は20cmと比較的深く、中には29cm×14cmほどの割石があった。柱の沈下を防ぐためにおかれたいわゆる根石だろう。4基のピットの北側には直径数cmの小さな穴が多数あった。

### (3) 古墳時代の遺構(図30)

層相 東区	層厚 (cm)	遺構と遺物	備考
現代客土・作土	—		
灰オリーブ色 (SY5/2) シルト	18以下	▼小造作(鉢底?) 瓦器・瓦質土器 黒色土器・瓦	
灰オリーブ色 (7.5Y6/2) 砂混りシルト	5~15		
暗オリーブ色 (5Y4/3) 砂混じシルト	5~8	土器器・須恵器・黑色土器・瓦器 ■SD405 (土器部裏・裏・黒色土器) ▼淮SD407器 (土器器柄)・土器 SK406	
灰オリーブ (5Y4/3) 砂質シルト	5~10	須恵器・黑色土器	
黄褐色 (10YR7/6~7.5Y4/3) 粘粒・極細粒砂	10~20	土器器・绳文土器 —水田井跡 SB604、ピット SP603跡	
オリーブ黒色 (5Y3/2) 砂混り粘土質シルト (層厚5~15cm)	5~10 5以下	土器器・須恵器・绳文土器	
黒褐色 (2.5Y3/1) 砂混り粘土質シルト	約10	モモ様子・土器器・須恵器・绳文土器	
黒褐色 (2.5Y3/1) 砂混り粘土質シルト	8~20	▼ピット、窓跡 SX710 土器器・須恵器・绳文土器	
灰色 (10Y4/1) 中粒砂 (層厚5~30cm)	20~30 20~60		绳文土器
黑色 (7.5Y8/2/1) 砂混りシルト質粘土	5~30	—川辺3号用糞 SD9921 SD923 (加工木) 土器底基 SK922 (長板式) 純文土器	
黑色 (10Y8/1) シルト質粘土	15以下		
オリーブ黒色 (7.5Y2/2) 砂混り粘土質シルト	12~18		绳文土器
暗オリーブ灰色 (2.5G4/1) 中粒砂~シルト	約20		
灰色 (10Y5/1) シルト質粘土	12以下		
灰オリーブ色 (7.5Y6/2) シルト質粘土	5~10		上面から発表
灰オリーブ色 (7.5Y6/2) 砂混り粘土質シルト ~明緑灰色 (10G7/1) 砂・礫混り粘土	60以上	サスカイト製刷片 —上面検出遺構 ▽地帯内検出遺構 ▼下面検出遺構 ↓基礎面検出遺構	

窓跡SX710 東区の長原7層下面で検出した窓跡の一部である。検出面の南側が約30cm凹んでいた。

SX710出土の長原式土器(図31、図版32) 56~58は深鉢の口縁部および体部の破片である。56は口縁端部に大型のD字形のキザミ、58は小さなD字形のキザミが施された貼付け突帯が巡っている。色調は56がにぶい黄褐色で、57・58は黒褐色を呈しており、胎土中に

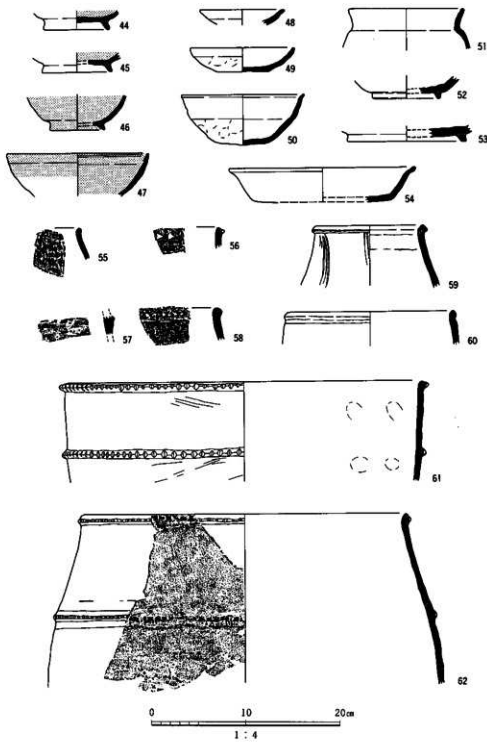


図31 80次調査地の遺構・包含層出土遺物実測図

SD405(44・45・48・51)、SD407(49)、SD923(55・61)、SX710(56~58)、SX922(62)、長原4C層(46・47・52・54)、長原6A層(53)、長原7層(50)、長原9A層(59・60)

角閃石・長石・雲母粒を多く含む。これらの土器は本来は9A層の層準の遺物であろうが、後世の掘削などで本遺構に混入したものと思われる。

**ピット** 中央区の長原7層下面で検出した2基のピットは、どちらも直径15cmほどで、深さは10cm前後であった。

#### (4) 弥生時代前～中期初頭の遺構(図30)

**土器棺墓SX922(図版18)** 長原13C～14層上位の7層基底面で検出した土器棺墓である。土器棺墓の西南部は工事矢板によって切られ、調査区から外れていた。また上部は7層形成期の耕作によって壊されていた。墓壙は43cm以上×37cmの楕円形で、深さは約15cmであった。

**SX922の長原式土器(図31、図版32)** 62は口径34cmに復元された深鉢で、土器棺の身に転用されていたものである。口縁端部および頸部の下端にやや粗いO字形のキザミメが施された貼付け突帯が巡る。頸部の外面を粗いナデで、体部の外面は横方向のヘラケズリで調整している。粘土紐の接合方法は外傾接合と思われる。色調はにぶい黄褐色で、胎土中に角閃石・長石・雲母粒を多く含む。

**溝SD923(図版17)** 西区の長原9A層上面で検出した幅は2.8m、深さは約0.7mの東西方向の溝である。下半部には水成の9A層が堆積し、上半部は8C層の砂で埋っていた。9A層の上面および下底面からはそれぞれ木製品が出土した。また9A層内からは少量の縄文晩期の土器片・サヌカイト製剝片・流木などが出土した。

**SD923出土遺物(図31・32、図版17)** 長原式土器55は深鉢の口縁部の破片で、口縁端部に細かいキザミメを施した突帯が巡る。61は口径37.6cmに復元された深鉢で、口縁端部および頸部の下端にD字形の大きなキザミメを施した貼付け突帯が巡る。頸部の外面は横および左上がりの粗いナデで、体部の外面は横方向のヘラケズリで調整している。色調は黒褐色を呈しており、胎土中に角閃石・長石・雲母粒を含む。

9A層の下底面から出土した木製品104は残存する長さが30cmの棒状の木製品である。頭部と思われる一端を瘤状に加工しているが、反対側が欠損しているため、全体の形状については不明である。広葉樹を用材にしており、残りは悪い。また、9A層の上面から出土した木製品は細長い形で、全体に加工痕が見られる。端部は片方が失われているがもう片方はくびれている。残存する長さは72cm。端部付近を除いては平たく、最大幅3.5cm、厚さ1.5cm。端部全体に加工痕が見られ、もう片方の端部はくびれている。用途ははっきりしないが、形状は機織具の部材に類似する。

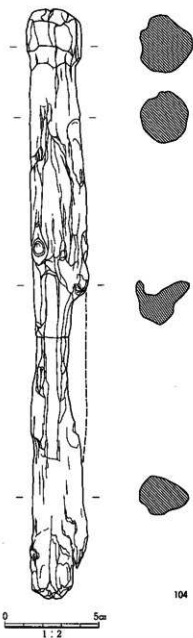


図32 SD923出土の木製品実測図

川辺3号用水SD921(図33) 東区の長原9A層上面で検出した幅1.8m以上、深さ0.3mの東南東から西北西に延びる溝である。下半部には水成の9A層が堆積し、上半部は8C層の砂で埋っていた。この溝は大阪市文化財協会(1983)の溝SD201につながり、西川辺川から台地を横切って西の古長原川の低地に導水した用水だと考えられている(趙ほか 1994、大阪市文化財協会 1995b)。

### 3. 包含層出土遺物

#### (1) 長原4C層出土遺物(図31)

黒色土器46は底部径が5.6cmの黒色土器B椀である。47は口径14.8cmで、口縁端部の内面に浅い沈線が巡る黒色土器B椀である。とともに平安時代IV期の古段階に属するものであろう。

須恵器52は底径7cmの高台付きの杯身の破片である。54は口径19.6cm、器高3.6cmで、口縁部が頸部から屈曲して立つ皿である。色調は灰白色を呈しており、焼成はあまり。8世紀末から9世紀初頭に属するものと思われる。

#### (2) 長原6A層出土の須恵器(図31)

53は底径12.4cmで、高台を有する杯身である。高台が底部の外縁近くに貼付けられていることから、8世紀後半代に属するものと思われる。

#### (3) 長原7層出土の土師器(図31)

50は口径12.9cm、器高5.2cmで、口縁部が

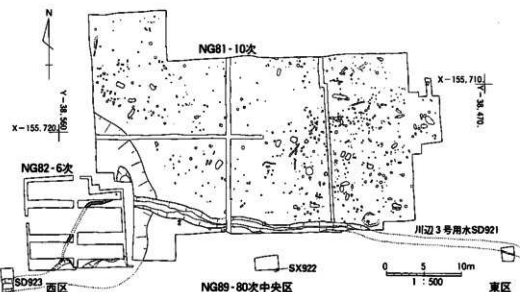


図33 80次調査地周辺の弥生時代前期の墓域（大阪市文化財協会1983に加筆）

外上方へ開く杯身である。口縁端部の内面は浅く凹んでおり、体部外面はユビオサエで整えている。色調は黄橙色を呈しており、焼成はよい。飛鳥II期に属するものである。

#### (4) 長原9A層出土の長原式土器 (図31、図版32)

59は口径11.3cmで、やや内溝しながら立つ口頭部の上端に、細かいO字形のキザミメを施した貼付け突帯が巡る壺である。頭部に5条一単位の縱方向のヘラ描文が施されている。以上の土器の色調・胎土は既述したSX710から出土したものと変わらない。60は深鉢の口縁部の破片で、口径17.3cmに復元された。口縁端部に貼付け突帯が巡っている。

註)

(1) 越哲済(1983)は古長原川の基底の堆積層を、その層相から9C・10層として記載したが、その後の周辺地域の調査により、12B層の層相に酷似することが明らかとなった。当時の調査精度からすれば止むをえないことだが、遺物の出土層準の認定は曖昧で、9C・10層～9A層までの遺物を一括して記述したり、詳細は明らかでない。したがって、遺物からの検証が今後必要ではあるが、ここでは12B層として記載する。なお、当時、9C・10層から出土した木片の<sup>14</sup>C年代測定を行い、 $4,110 \pm 160$ 年前(GaK-10745)の値を得たが、予想外に古い値であったため保留していた。この値は12B層の年代値としてはおむね適当である。

## 第6節 89-72次調査地

### 1. 層序

本調査地は縄文時代の古長原川の西側に位置し、標準層序の沖積層下部層以下の更新統を沖積層上部層が削剥した浸食面が東から西へ緩く傾斜し、これを覆って沖積層上部Ⅰが厚く発達する(表13、図34)。ただし、調査地西部は擾乱がひどく、地層断面の観察を行つただけである。いちいちの地層の記載は表13を参照されたい。

### 2. 遺構とその遺物

#### (1) 近世の遺構(図34)

犂溝SD207群 長原2層下面で検出した幅50~80cm、深さ数~10数cmの東西方向に並ぶ3条の溝である。烟の跡間と考えられる。

表13 NG89-72次調査地の層序

地層区分	層相	厚( cm )	遺構と遺物	備考
NG1	現代客土・作土	-		
NG2	浅黄色(5Y7/4) 砂・砂混りシルト	5~20	瓦・須恵器・土師器・陶器・瓦器 ▼溝SD207群(底面)	
NG2~3	浅黄色(5Y7/4) 粘土質シルト(泥炭土)~明黄色(2.5Y7/6) 砂混りシルト(灰客土)	-	瓦・須恵器・陶器・瓦器・瓦質土器	南壁断面には現われない
NG4 A	砂疊	約15		鉛製品
	浅黄色(7.5Y7/3) 砂混りシルト(泥炭土)~オリーブ灰色(2.5Y6/1) 砂混り粘土(作土)	45以下	ウマ齒・土師器・須恵器・瓦器・瓦 ▼鉛造跡、溝SD408-412、土壌SK409群-410、ピット群、柱穴SP41	
NG5	礫混り粘土・粗粒砂	30以下	土師器・須恵器・埴輪 ←溝SD408-609、木田町跡 SR605	
NG6 A i	暗灰褐色(2.5Y5/2) 粘土質シルト	5~15	石器・土師器・須恵器・埴輪	西端に分布
	明オリーブ灰色(5G7/1) シルト、レンズ状に分佈	6		
	黄灰色(2.5Y5/1) 粘土	5~12	一水田跡解の痕跡 SR606 ▼踏込み跡、土壌SK607群	
NG6 B	明黄褐色(2.5Y6/6) シルト質粘土	10	↓溝SD711(NG7等相当)	
NG9	明黄褐色(2.5Y6/6) シルト質粘土	8以下	↑一上部突出遺構 □地層内突出遺構 ↓下部突出遺構 □基底面突出遺構	中央付近に分布
NG12~13	明黄褐色(2.5Y7/6) シルト質粘土	65以上		
NG14以下	黄色(2.5Y8/6) 粘土			

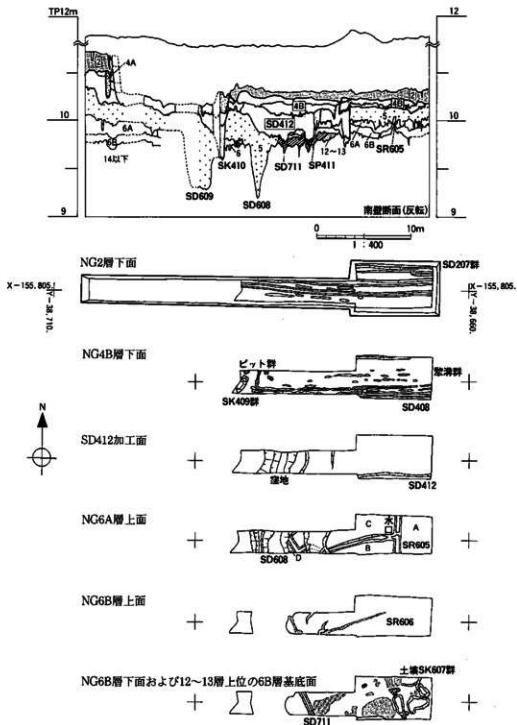


図34 89-72次調査地の地層断面と遺構の分布

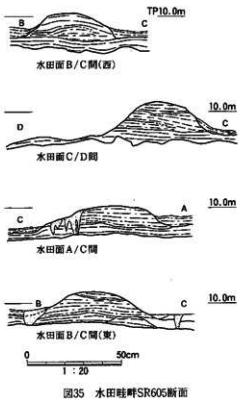


図35 水田畦畔SR605断面

### (2) 中世の遺構(図34、図版19)

溝SD408・412 SD408は調査地の南壁に沿って長原4B層下面で検出した幅50cm、深さ約10cmの溝である。溝と平行して幅10~30cmの浅い連続する犁溝群が分布した。これらの溝内からは瓦器・土器類・ウマの白歯などが出土した。SD412はSD408の直下で検出された同方向の溝である。断面はU字形で、幅約80cm、深さ約35cmであった。

土壌SK409群・410 SK409群は調査地中央の長原4B層下面で検出した2基の土壌であり、SK410は南壁断面の同層準で確認した土壌である。SK409の最大のものは長さ188cm、幅70cm以上のいびつな長方形で、深さは30cmであった。暗灰黄色砂礫混りシルト質粘土を埋土とした。SK410は深さ42cm、埋土は灰色砂礫混り粘土であった。

**ピット群** 長原4B層下面および断面の同層準で検出した4基のピットである。断面で確認したSP411は見かけの径が6cm、深さ20cmで柱痕らしいものがあったのに対し、ほかのものはみな浅く、柱穴とは考えがたい。

### (3) 奈良時代の遺構(図34・35)

溝SD608・609 長原6層上面で検出した幅2~3m、深さ0.5mの2条の南北溝であり、また、SD608の東にも10cm程度の浅い溝があった。いずれも5層の砂礫堆積時に下刻されているが、溝の分布範囲の6A層の高度は周囲に比べて低いことから、6A層形成期にも存在した溝と考えられる。

**水田(図35・36、図版20)** 長原6A層上面で検出した水田面である。畦畔SR605は南北方向の畦に東西方向の畦が取付くもので、取付部分には水口があった。上述したように、調査地の沖積層下部層以下の分布高度は西に向って徐々に低くなっている。その傾向は6A層上面の水田面にも認められた。すなわち、水田面は図35のA→B→C→Dの順に低くなっていた。大阪市文化財協会(1982)の地質断面図に示したように、当時この付近は谷状に窪

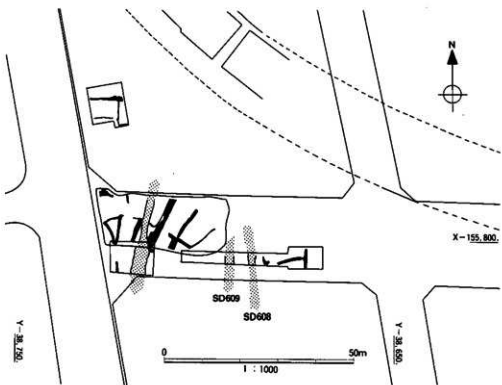


図36 72次調査地周辺の長原6A層上面の水田

んでいた。こうした傾斜のあるところに水田をつくろうとしたために方向の一定しない畦畔が多く見られるのだろう(図36)。また、今回見つかった畦畔については、調査地東部の水田面A・B・Cの畦畔は低く、上面が平らなものであるのに対し、西部の水田面Dの畦畔は腰高になる特徴があった。

水田上面に残され長原5層に覆われた土師器(図37、図版20・33) 63は口径13.6cm、器高11.1cmで、口縁部が頭部から「く」の字状に開いた甕である。丸底の底部から体部上端の器面を縱ハケおよび左上がりのハケで整形している。体部の内面は右上がりの幅広いナデで、内底面にはユビオサエが残る。奈良時代の前半に属するものであろう。

#### (4) 飛鳥時代の遺構(図34)

畦畔の痕跡SR606 長原6B層上面には、6A層上面の畦畔SR605の分布と重なって、6A層からの踏込み跡が疎に分布す

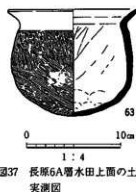


図37 長原6A層水田上面の土器実測図

る帶があった。6B層の水田耕作時の畦畔の痕跡であろう。

土壤SK607群(図版19) 長原6B層下面で検出した長径1~2mの不定形な土壤群である。

(5) 古墳時代の遺構

溝SD711 長原12~13層上位の6B層基底面で検出した幅約60cm、深さ約10cmで南南東~北北東方向に延びる溝である。埋土は周辺地域の長原7層に類似していた。周辺の調査地で多數検出されている水田開発に係わる導水溝のひとつと考えられる。

## 第7節 89-26次調査地

### 1. 署序

本調査地は縄文時代の古長原川の南東岸に位置し、もともと沖積層下部層以下の更新統の分布が高く、沖積層上部層Ⅱが薄かった上に、調査範囲の大半が近世末か近代に粘土の探掘が行われていたため、長原2層以下が残るのは調査地東端のごく一部分だけであった（表14、図38）。長原1層の下位で2層の上位にある粘土探掘坑の埋土を長原1.5層と仮に呼んでおく。いちいちの地層の記載は表14を参照されたい。

### 2. 遺構とその遺物

#### （1）近世末～近代の遺構（図38、図版21）

粘土探掘坑SK101群 長原1.5層下面で検出した幅2～3.5m、深さ0.4～0.8mの土壌群で、多くは南北方向の延びをもっていた。12～13層と14～15層上半部の細粒部で粘土を探掘したものである。埋土は下位層準構成物の偽礫客土であった。

#### （2）近世以前の時期未詳遺構（図38・39）

ピットSP001・002 長原14～15層上位の1.5層基底面で検出したもので、ともに直径20cmに満たないものである。調査地東部のSP001は深さも10cm程度である。調査地中央部のSP002は粘土探掘坑の底で見つかったもので、本来の深さは40cm程度あったものと推定

表14 NG89-26次調査地の層序

地層区分	層相	層厚(cm)	遺構と遺物	備考
NG1	現代客土・作土	—		
NG1.5	黄褐色(2.5Y6/1) 粘土質シルト・灰白色(5Y7/1) 粘土などの偽礫からなる(粘土探掘坑埋土)	—	▼粘土探掘坑SK101群	
NG2	浅黄色(2.5Y7/3) シルト	約10	1.坪堆土 SD208 (須恵器・土器等・瓦器・瓦)・土壌 SK214・215 ↓▼井戸 SE209-213 (発付・土器等・須恵器・瓦)	
NG4B	灰色(5Y7/2) 粘土質シルト	約10		
NG6	灰色(5Y6/1) シルト	約5		
NG8-A	砂礫～灰白色(10Y6/1) 粘土質シルト(埋土)	—	弥生中期土器 港 SD805, 土壌 SK924	
NG12-13	灰白色(5Y7/1) シルト	約10	■—上面検出遺構 ▽地層内検出遺構 ■▼下面検出遺構 ↓基底面検出遺構	層序未詳 SP001・002
NG14-15	灰白色(10Y7/2) 粘土～銀灰色(5G6/1) シルト 質粘土	80以上		

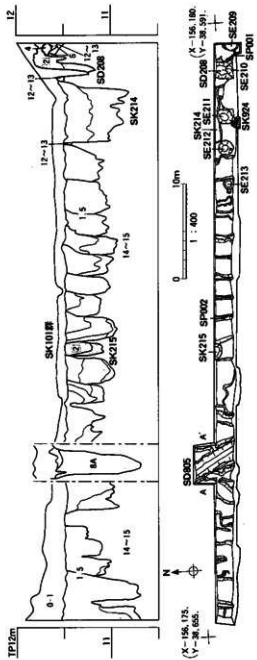


図38 89-265次調査地の地質断面と直線の分布

される。

(3) 中世末～近世の遺構(図38、図版21)

坪境溝SD208 調査地東部の長原12～13層上位の1.5層基底面で検出した坪境に位置する南北方向の溝であり、幅は約1.5m、深さは0.4m強であった。溝内堆積物からは須恵器・土師器・瓦器・瓦が出土した。この溝の西側0.4mには現在の区画整理が行われるまで残っていた坪境溝があった。

井戸SE209～213(図39・40、図版22)

調査地東部の長原2層下面および12～13層上位の1.5層基底面で検出した5基の井戸である。

SE209は直径約4m、推定される深さ3m以上の井戸で桶を井戸側としていた。廃絶時に埋戻す労力を惜しんだためか、井戸側の上面を板材で覆い、その上だけを土砂で覆っていた。そのため、調査時に板材の覆いを外すと、井戸内には澄んだ冷水が満々と溜っていた。SE210～212は素掘りの井戸である。SE211・212は、ほぼ東西に並んで位置し、大きさもともに直径1.5m程度である。深さは2m以上ある。SE210はSD208の直下で見つかった。大半は南壁側に入込んでいるが、掘形の直径は約2.4mである。約0.6mの深さまでは緩やかな傾斜で掘られ、それ以下

は垂直に掘込まれていた。SE213は径2.5～2.8mの井戸で、高さ約90cmの桶を入れ子にして3段以上重ねた構造をもっていた。

さて、各井戸の時期だが、SE209と213は構造・規模や埋土の類似からほぼ同時期、SE210と212についても同様に考えられよう。SE213の埋土からは土師器・瓦・摺鉢等が出土し、SE209では染付が見つかっている。それから判断して江戸時代後半以降の時期が考えられる。SE211から遺物の出土はないが、SE212からは漆器の椀が1点出土している。この椀は口縁端部を欠き、その割れ口や見込み部分に火を受けている。これも江戸時代のものと考えてよいであろう。SE210からも遺物の出土はないが、SD208の下に見つかっており、室町時代以降のものと考えてよいだろう。

**SE212出土の漆器椀(図41)** 105は火を受けしており、やや歪んでいる。底径6.3cm、器高8.2cmあり、底部は上げ底である。器体の内外面および底部の見込みは黒漆を塗布したあと、内面のみ朱漆を重ね塗りしている。

**土壤SK214・215** SK214は調査区東部の長原12~13層上位の1.5層基底面で検出した土壤であり、北壁内に延びるため全体の規模は不明だが、東西長6m、深さ0.5mであった。SK215は調査地中央部にあり、北壁内に延びていた。平面形は直径1.7mの円形になると思われ、断面形は摺鉢状になり、その深さは約0.5mであった。2つの土壤は掘起されたのち、短期間に埋葬されているようであり、これらについても粘土採掘のための土坑の可能性がある。

#### (4) 弥生時代中期後半の遺構(図38)

溝SD805(図43、図版21) 長原14~15層上位の

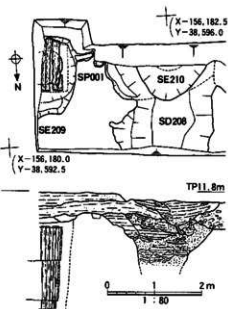


図39 井戸SE209-210ほか平面・断面(南壁)

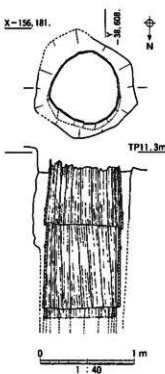


図40 井戸SE213平面・内側面

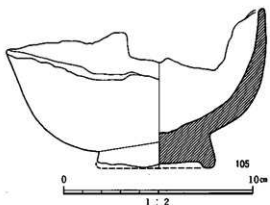


図41 SE212出土の漆器実測図

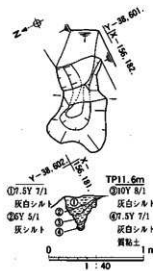


図42 土壌SK924平面・断面

1.5層基底面で検出した幅約2.0m、深さ約1.0mの南東から北西に延びる溝である。水成の疊混り粗粒砂～シルト層によって埋没していた。埋土が相対的に粗粒であったため、後世の粘土採りを受けずに残り、ほぼ全容を知ることができた。南壁断面での状況をみると、西側の立上がりは緩やかで、中位にテラス状の平坦部があった。また、東側では水流によって中位以下の部分が抉り取られていた。溝の側壁と中部のシルト・粘土を水洗篩別したところ、多数の種子、昆虫の羽根の一部が見つかった。また、下底面を覆う細粒砂から簾状文を施す壺の一部らしい土器片が出土した。したがって、この溝は弥生時代中期のもとの考えられ、溝内堆積層を8A層に対比した。

#### (5) 弥生時代中期初頭以前の遺構(図38)

土壤SK924(図42) 長原14～15層上位の1.5層基底面で検出した土壤であり、平面形は中央部がすぼまった長方形となり、その規模は長さ1.0m以上、幅0.4～0.6mであった。断面形はV字状となり、深さは約0.4mであった。遺物は出土せず、時期は不明だが、埋土は周辺の長原9層に類似することから、9層段階の遺構と考えた。

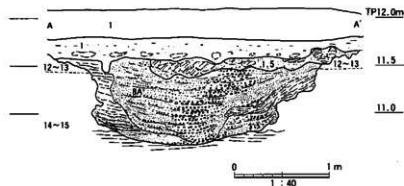
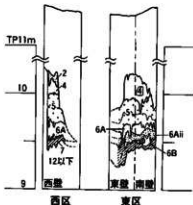


図43 溝SD805断面  
(断面位置  
は図38を参  
照)

## 第8節 89-33次調査地

### 1. 層序

本調査地は古墳時代末期に旧東除川が開削された台地の東部に位置し、標準層序の沖積層上部層Ⅰが間欠的に分布した(表15、図44)。いちいちの地層の記載は表15を参照されたい。



### 2. 遺構とその遺物

長原6A層上面で5層に覆われた奈良時代の水田面を検出した。畦畔は見つからなかった(図版23)。

長原6B層上面で6A層に覆われた飛鳥時代の水田面を検出した。畦畔らしい高まりがあった(図版23)。

長原7層上面で古墳時代末期かと思われる窪地SX712を検出した。深さは約20cmで北側を擾乱に切られ、東側は調査区外へ延びているため、全容は不明である。遺物は出土しなかった。

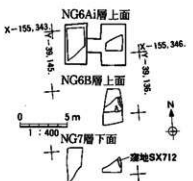


図44 89-33次調査地の地層断面と遺構の分布

表15 NG89-33次調査地の層序

地層区分	層相	層厚(cm)	遺構と遺物	参考
NG6-1	現代客土・作土	-		
NG2	黄褐色(2.5Y5/3)シルト質細粒砂	12以上		
NG4	オリーブ褐色(2.5Y4/6)細粒砂	10~40	土器器・礫芯器	
NG5	灰オリーブ色(5Y4/2)シルト -暗灰褐色(2.5Y3/2)粗粒・粗細粒砂	25~30		
NG6-A	i 灰色(5Y4/1)細粒砂混り粘土質シルト ii 緑灰色(7.5GY5/1)細粒砂	5~25 15以下	一水田	
	iii 粘土質灰褐色(2.5Y4/2)粘土質シルト	約10	一水田	
NG7	黒褐色(10YR3/2)粘土質シルト	5~30	▼窪地SX712 土器器・礫芯器	
NG12以下	灰褐色(5Y5/1)シルト質粘土	20以上	[一上部耕田遺構 ▼下部耕出遺構]	

## 第9節 89-20次調査地

### 1. 層序

本調査地は馬池谷の右岸の緩斜面に位置し、標準層序の沖積層上部層Ⅰが間欠的に分布した(表16、図45)。長原4B層は中部の砂の多い層準に着目してこれを4Bii層に対比し、その上下を4Bi層と4Biii層に対比したものである。また、4C層以下は主として検土杖による観察をもとに対比したものである。いちいちの地層の記載は表16を参照されたい。

### 2. 遺構とその遺物

#### (1) 中世の遺構(図45)

上位の水田(図版24・25) 長原4Bi層上面で検出した水田面である。この面で検出した遺構の外形は、いずれも馬池谷斜面方向と直行する南北方向であった。調査地東部の畦畔SR413は上幅0.3m程度で高さは約0.2mであった。SR413の西約15mには上幅約0.2m、高さ約0.2mの畦SR414があった。SR414のさらに西約17mからは落差約50cmの段で約15mの幅にわたって低くなり4Biii層が直接露出していた。段の西限は上幅約1m、高さ約0.3mの畦SR415であり、その西約9mと約19m、約24mには、4Bii層上部が構成する大きな畦SR416~418があった。SR416は上幅約1.8m、高さ約0.7m、SR417は上幅約0.5m、高さ約0.5m、SR418は上幅約0.5m、高さ約0.4mであった。SR417の西側は一段低くなつて調査地西端まで続いていた。

大きな畦SR416~418はその高さから島畠遺構と考えられたが、畠部分の割に水田部分である低地がかなり広く、近隣ではあまり見かけない規模である。直前に堆積した最大層厚80cmの4Bii層上部の影響も考慮する必要があろう。

下位の水田 長原4Biii層上面で検出した水田面である。南北方向の畦畔が見つかった。調査地東部中央寄りの上位の段直下にある畦SR419は上幅約0.5m、高さ約0.3mであった。SR419の西約39mには上位のSR418と重なつて上幅約0.4m、高さ約0.3mの畦SR420があった。水田面は各畦を挟んで徐々に低くなつていた。断面の観察からはSR416をはじめとする上位の畦畔の直下の4Biii層上面には小さな高まりがあり、畦畔があつた可能性がある。また、上部と下部の砂層に挟まれた4Bii層中部も作土であったと思われる。

#### (2) 飛鳥時代の遺構(図45)

表16 NG89-20次調査地の層序

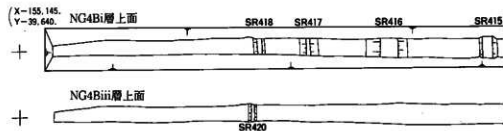
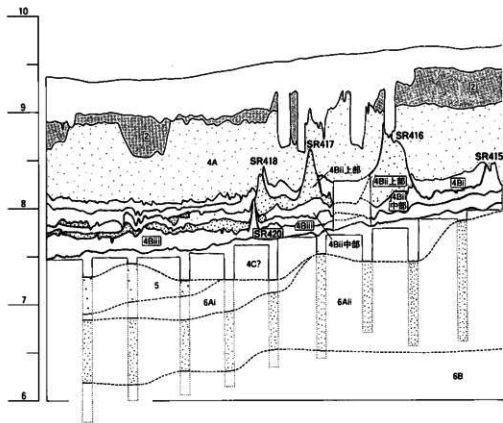
地層区分	層相	厚さ(cm)	造構と遺物	備考
NG0-1	現代客土・作土	-		
NG2	明黄褐色(2.5Y7/1) 中粒砂質シルト	5~40	▼立溝 瓦器・陶器・磁器	
NG4 A	灰黄色(2.5Y7/2) 粗粒砂、斜文理が発達 95以下		須恵器・土師器・瓦器・瓦質土器・磁器・白磁 一水田壁跡・鳥島 SR413-418	陶器・瓦
NG4 B	i 緑灰色(10GY5/1) 粗粒・粗粒砂質シルト	10~25	瓦・土師器・須恵器・瓦器・瓦質土器	
	ii 上部 緑灰色(10GY5/1) 粗粒砂	80以下	須恵器・瓦器	
	ii 中部 緑灰色(5G5/1) 粗粒砂質シルト	5~20		土師器
	ii 下部 緑灰色(5G~10GY5/1) 粗粒砂	5~10		土師器・須恵器・瓦器
	iii 緑灰色(10GY5/1) 粗粒砂質シルト、上下に2分 される	15~20	一水田壁跡 SR419-420	土師器・須恵器・瓦器
C?	緑灰色(2.5GY5/1) 粗粒砂～極粗粒砂	45		土師器・須恵器
NG5	緑灰色(5GY5/1) 砂質	40	一上部検出遺構 ▼須恵器内検出遺構 ▼下部検出遺構	土師器・須恵器・瓦
NG6 A	i 黄灰色(5YR5/1) 粘土質シルト	30	一基底面検出遺構	土師器・須恵器
	ii オリーブ灰色(5GY6/1) 砂質	130以上		土師器・須恵器
NG6B~7	褐灰色(5YR5/1) 粘土質シルト	40以上	一水田壁跡 SR610 ▼ピットSP713群、土壤 SK714(須恵器)	
NG12以下	明緑灰色(5G7/1) シルト質粘土(上部)～細砂 (下部)			120以上

水田 調査地東部の長原6B～7層上面で検出した水田面である。南北方向の畦SR610は上幅約0.5m、高さ約0.2mであった。その西側は比較的急な傾斜で低くなっていたため、SR610の西側に水田があったかどうかはわからない。

### (3) 古墳時代の造構(図45)

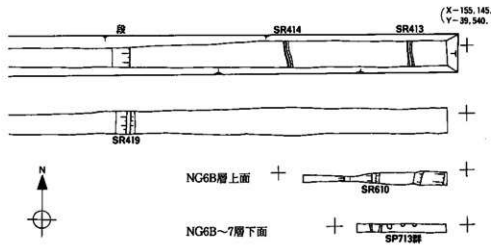
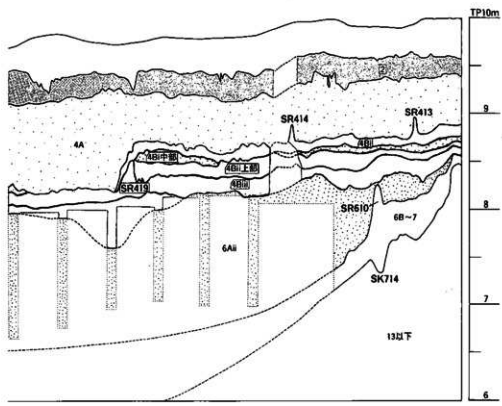
土壤SK714・ピットSP713群 SK714は長原6B～7A層下面で検出した幅1.2～1.4m、深さ約0.2mで調査地外に抜がる土壤である。この土壤からはTK10型式の須恵器杯身・壺が出土した。SK714の東側には東西方向に並ぶ3基のピットSP713群を検出した。ピットは0.4～0.5mの隅丸方形に復元できそうで、ピット間は1.2～1.4mの間隔があり、柱穴は確認されていないが、掘立柱建物の一部であったかもしれない。

SK714・SP713群を覆う長原6B～7層出土の須恵器(図46、図版25・33) 76は口径12.4～12.5cm、器高4.7cmの杯身で、立上がりはやや内傾している。75は底部を欠損しているが、口径や立上がりの形態は76に近い。口縁端部はともに丸くおさめている。MT15型式に属



0 10 20m  
1 : 400

図45 89-20次調査地の地層断面と遺構の分布



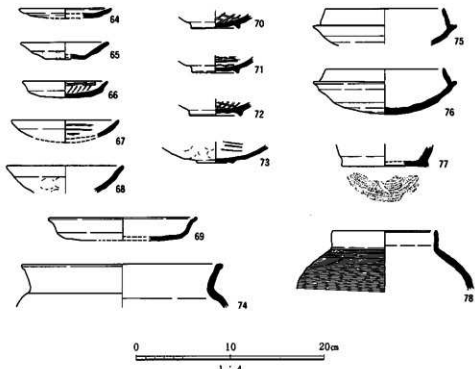


図46 20次調査地の包含層出土遺物実測図  
長原4A層(64~74)、長原6Ai層(77・78)、長原6B~7層(75・76)

するものである。

### 3. 包含層出土遺物

#### (1) 長原4A層出土遺物(図46)

土器師64・65は口径9.2~9.7cm、器高1.0~1.7cmの小皿である。前者の口縁部は「て」の字口縁の退化したもので、後者は体部から外上方に開く。69は口径15.6cm、器高2.4cmの皿である。口縁部は短く屈曲しており、端部は丸い。74は口径21.2cmで、口縁部が「く」の字状に開いた甕である。口縁端部の上端面を平坦におさめている。64・65は平安時代IV期の新段階、74は平安時代II期に属するものであろう。

瓦器66・67は口径8.9~11.2cm、器高1.7cm前後の皿である。前者の口縁部は短く外反しており、後者は緩やかに内湾しながら緩やかに開く。ともに内面にヘラミガキが施されている。66はC-III-2・3期、67はC-IV-1期に属する。68は口径12.2cmの碗で、70~73は

高台径3.8~5.4cmの椀の底部である。内面には71が螺旋状、72は格子状の暗文が施されている。C-II-2期からC-III-3期までに属するものであろう。

(2)長原6Aii層出土の須恵器(図46)

77は底径約9.3cmに復元された壺の底部で、裏面には回転糸切り痕がある。8世紀末頃に属するものであろう。78は口径10.9cmで、球形の体部から口縁部が直立する短頸壺である。口縁端部はわずかに内傾しており、体部の外面を細筋のカキメで調整している。MT15型式に属するものである。

## 第10節 89-43次調査地

### 1. 層序

調査地は瓜破台地の東部に位置し、もともと沖積層が薄かった上に、調査地の大半が近年の耕作によって更新統まで平らに削られており、断片的に沖積層上部層Ⅰが残っていた（表17、図48）。いちいちの地層の記載は表17を参照されたい。

### 2. 遺構とその遺物

#### （1）近世の遺構（図48）

**井戸SE216・217** 北区北部の長原2層上部下面で検出した井戸である。SE216は直径約2.5m、深さ2.5m以上であり、SE217は直径1.6m以上、深さ1.5m以上であった。ともに埋土上部で瓦や磁器が出土した。

**溝SD218～222** SD218・219は北区北部の長原2層上部下面で検出した南北方向の溝である。SD218は幅0.3m以上、深さ0.2mで11m以上の長さがあり、調査地の北側に延びた。SD219は幅0.5m、深さ0.6mで13m以上の長さがあり、調査地の北側に延びた。ともに耕作溝かと思われた。SD220～222は北区中央の長原13層上位の1層基底面で検出した東西方向の溝である。SD220は幅8.5m、深さ0.3mであり、近世磁器を出土した。SD220の下面には、幅0.7m、深さ0.1m未満のSD221と、幅0.4m、深さ0.2mのSD222があった。

**ピットSP223** 北区北部の長原13層上位の1層基底面で検出した直径0.5m、深さ0.1m

表17 NG89-43次調査地の層序

地層区分	層相	層厚(cm)	遺構と遺物		備考
NGO-1	現代客土・作土	-			
NG2	上部 灰白色 (2.5YR7/1) 極細粒砂質シルト	5~10	▼井戸 SE216・217、溝 SD218・219 ↓ピット SP223、溝 SD220・222	須恵器	SX925 (石器 須恵器所だつたらしが、中世に擾乱)
	中部 にぶい黄褐色 (10YR7/3) 中粒砂質シルト	約10		土師器・須恵器・瓦器	
	下部 にぶい黄褐色 (10YR7/3) 中粒砂質シルト	5~10	↓		
NG4	にぶい黄褐色 (10YR7/3) ~明黄褐色 (10YR6/6) 極細粒砂質シルト、2~3分される	15以下	溝 SD423・424 ↓土壌 SK421・422・425	↓ 土壌 SK610-612・715・716 溝 SD613-615・717・718 井戸 SE616、ピット SP617	SX925 (石器 須恵器所だつたらしが、中世に擾乱)
NG6-7	黄褐色 (10YR5/6) 極細粒砂質シルト、(遺構無土)	-	▼下面突出遺構 ↓基底面突出遺構		
NG12以下	にぶい黄色 (2.5Y6/4) 砂混りシルト~粘土、上部は土壤化がすむ	50以上			

の浅いビットであり遺物は出土しなかった。

(2) 中世の遺構(図48)

土壤SK421・422・425(図版26) SK421は北区北部の長原13層上位の2層下部基底面で検出した長さ2.0m、幅0.6m、深さ0.1m未満の土壤である。黒色土器A類が出土した。SK422は北区南部の長原13層上位の1層基底面で検出した長さ1.5m、幅0.7m以上、深さ0.3mの土壤であり、瓦器と瓦が出土した。SK425は北区南端の長原4層下面で検出した長さ13m以上、幅2.0m以上、深さ0.2mの土壤で、瓦器・青磁を含む。

溝SD423・424 SD423は幅0.1m、深さ0.1m未満の浅い溝でSK422に切られていた。SD424は南区南端の長原4層下面で検出した幅2.0m、深さ0.2mの溝で東西方向かと思われる。瓦器と青磁が出土した。

(3) 古墳～奈良時代の遺構(図48)

土壤SK610～612・715・716(図47、図版27) SK612を除いて北区北部の長原13層上位の2層下部基底面で検出した埋土が6～7層の土壤である。SK610は長さ0.5m以上、幅0.5m、深さ0.1m未満の土壤であり、土師器が出土した。SK611は長さ1.5m以上、幅1.0m以上、深さ0.2mの土壤であり、須恵器が出土した。SK715は長さ1.2m、幅0.7m以上、深さ0.3mの土壤で、土壤内の2箇所に土器群があり、TK23型式あるいは47型式の須恵器杯身が出土した。SK716は長さ2.4m、幅2.0m以上、深さ0.2mの土壤であり、TK209型式に似た須恵器杯身が出土した。SK612は南区南部のSD424に切られて検出した長さ1.0m以上、幅0.3m以上、深さ0.3m以上の土壤である。

SK716出土の土師器(図49、図版33) 80は口径12.8cm、器高17.2cmで、口縁部は頸部から外上方に開いた壺である。口頭部を強くヨコナデしており、口縁端部は丸い。体部の内外面ともに器面が磨滅しており調整は不明である。色調は明褐～灰白色を呈しており、胎土中に長石・雲母粒を含む。5世紀中葉に属するものであろう。

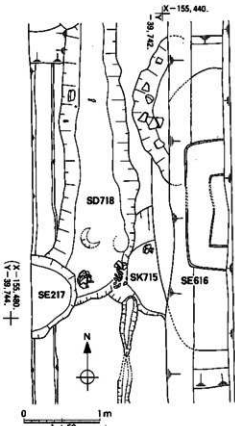


図47 43次調査地遺構密集部平面図

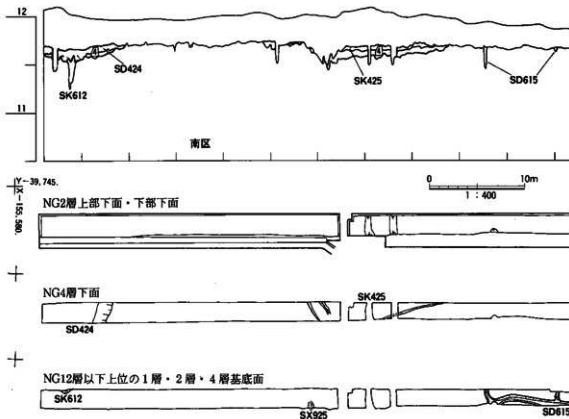
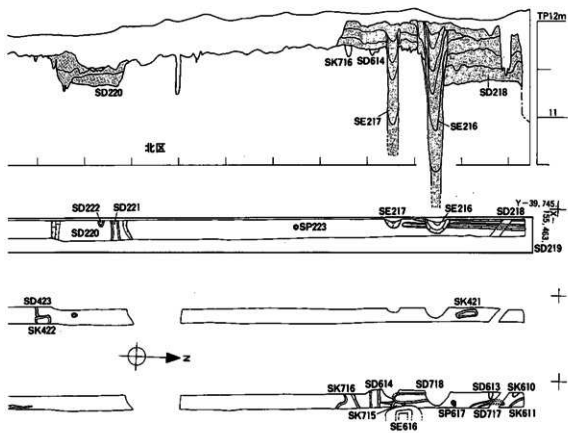


図48 89-43次調査地の地層断面と遺構の分布

溝 SD613~615・717・718(図47、図版27) SD615を除いて北区北部の長原13層上位の2層下部基底面で検出した溝である。SD613は6~7層構成物を埋土とする長さ0.7m以上、幅0.3mのごく浅い東西溝であり、調査地の北に延びていた。SD614は幅1.0m、深さ0.1mで東西に延びる溝であり、6~7層構成物の埋土から須恵器が出土した。SD717は幅0.3m、深さ0.1m未満の西に湾曲する南北溝であり、南端が調査地の外に延びていた。6世紀代のものかと思われる須恵器が出土した。SD718は幅1.0m以上、深さ0.2mで長さ3.5m以上の南北溝で、溝内2箇所に土器群があり、5・6世紀代の須恵器杯が出土した。SD615は北区南部の長原13層上位の1層基底面で検出した幅0.5m、深さ0.1mの南北方向の溝であり、2箇所に分岐溝が取付いていた。

SD718~SK715出土の須恵器(図49、図版33) 79は口径10.3cm、器高4.9cmで、立上がりがやや長い杯身である。口縁端部を丸くおさめており、底部の1/2以上を時計回りのヘラ



ケズリで調整している。TK23型式に属するものである。

**SD717出土の臼玉(図50)** 81は直径0.5cm、厚さ0.2~0.3cmの滑石製の臼玉である。中央に直径0.2cmの孔がある。

**井戸 SE616(図47、図版27)** 北区北部の長原13層上位の2層下部基底面で検出した長さ3.7m以上、幅1.0m以上、深さ1.5m以上の平面が隅丸方形の井戸であり、埋土の上部で飛鳥~奈良時代の土師器が出土した。また、井戸の下半部には木枠があったが、深かったため精査できなかった。

**ピット SP617** 北区北部の長原13層上位の2層下部基底面で検出した直径0.4m、深さ0.1mのピットであり、須恵器と土師器が出土した。

#### (4) 縄文時代の遺構(図48)

**窪地SX925(図版26)** 南区北部の長原13層上位の4層下面で検出した長さ1.0m、幅0.8m

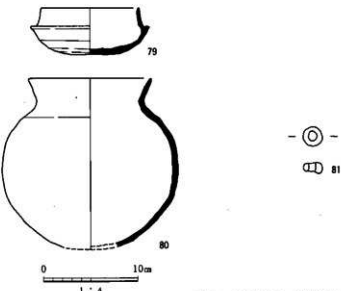


図49 43次調査地の遺構出土遺物実測図 図50 43次調査地の遺構出土遺物実測図（原寸）  
SK716(80)、SD718~SD715(79) SD717(81)

のごく浅い窪地中から、サヌカイト製の石核1点、剥片約60点、凹基式石鏃完成品1点および石鏃の未製品1点が出土した。また、1組の剥片が接合した。残念ながら、長原4層段階の耕作で攪乱を受けているが、その集中度からみて、これらの石器遺物は原位置からさほど離れていないものだろう。石器遺物の風化が旧石器時代のものほど進んでいないことや石鏃の未製品を含んでいることから、ここが縄文時代の石鏃製作址であったのかもしれない。

## 第11節 89-67次調査地

### 1. 層序

調査地は瓜破台地の東部に位置し、標準層序の沖積層上部層Ⅰは平均30cmと薄く、長原2・4・6層が断続的に分布した(表18、図51)。長原13層以下の最上部はかなり土壤化が進んでいるようであった。いちらいちらの地層の記載は表18を参照されたい。

### 2. 遺構とその遺物

#### (1) 中世の遺構(図51)

黎溝SD425群 長原4層下面で検出した東西・南北方向の整溝群である。出土した瓦器の破片から、13世紀代のものと思われる。

#### (2) 飛鳥時代の遺構(図51、図版28・29)

この時期の遺構はすべて長原6層下面で検出した。

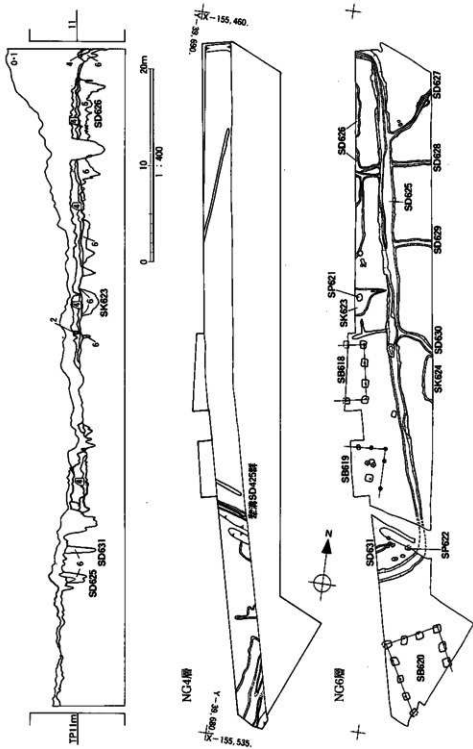
溝SD625～631 SD625は掘立柱建物SB618・619やピットを取り囲むようにして、北端と南端で西に振り、南北54mにわたって検出された。幅は平均1.0m前後、深さは0.2m前後であり、溝底は南に向って低くなっていた。SD626はSD625の西側にあってこれに平行した溝であり、北端ではSD625に沿って西に向って屈曲しているようであった。SD631もまたSD625が南で西に曲った部分に並行してその北側にある幅0.5m、深さ0.3mの溝である。SD627～630はSD625の東側に取付く幅0.5m前後の小規模な溝である。SD629中央の土器群をはじめとして、いずれの溝からも7世紀前半代の須恵器・土師器が出土した。

SD625出土遺物(図52、図版33) 須恵器89・92・94・97・98は口径10.2～11.6cm、器高3.3～3.7cmの杯身である。いずれも立上がりは短く内傾している。底部の1/3をヘラケズ

表18 NG89-67次調査地の層序

地層区分	層相	厚さ(cm)	遺構と遺物	案考
NG0・1	現代客土・作土	-		
NG4	オリーブ褐色(2.5Y4/4)中粒砂質シルト、2分される	10～15	一マ跡溝SD425群 土師器・須恵器・瓦器	
NG6	灰オリーブ(7.5Y6/2)中粒砂質シルト(造園堆土)	-	▼掘立柱建物SB618-620、柱穴SP621・622 土壁SK623・624、溝SD621-630	
NG13以下	にぼい青色(2.5Y6/0)砂質シルト～粘土	50以上		—上部検出遺構 ▼下部検出遺構

図51 89-67大震兆先の地盤断面と遭構の分布



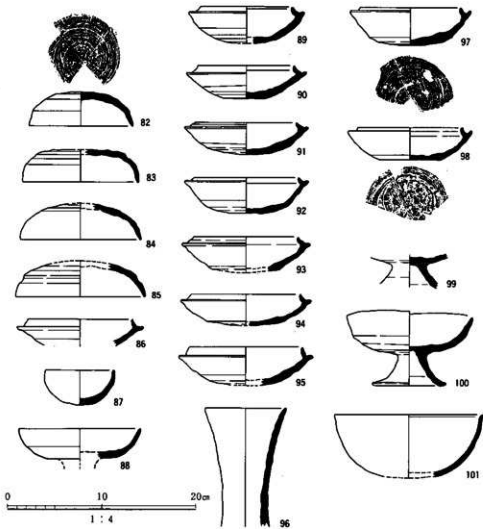
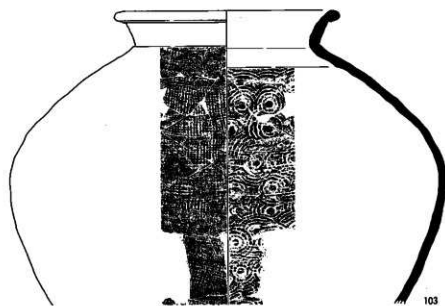
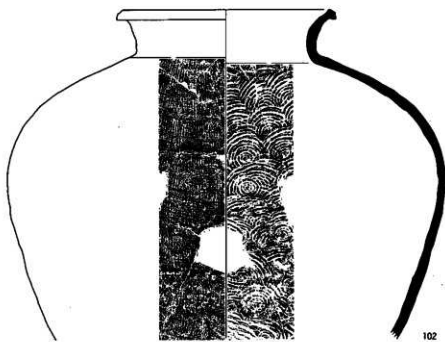


図52 67次調査地の遺構・包含層出土遺物実測図

SD625(87・89・92・94・97・98・100)、SD626(91)、SD630(86)、SD631(96)、SK623(88・90・93・95・101)、SK624(83・85・99)、SF621(84)、長原6層(82)

りで調整している。97・98の底部には1本線のヘラ記号がある。100は口径13.3cm、器高8cm前後の無蓋高杯で、口縁部は全体に亜んでいる。口縁部と底部の境界は浅く凹んでおり、底部の2/3をヘラケズりで調整している。脚部は裾が短く開く。以上の土器はTK217型式に属するものであるが、94・100はTK217型式でも古相と思われる。

土師器87は口径7.2cm、器高3.7cmで、底部をやや丸くおさめた小型の碗である。口縁端部は丸く、体部の内外面をナデている。色調は明黄褐色を呈しており、焼成はよい。



0 10 20cm  
1 : 4

図53 67次調査地の遺構出土遺物実測図  
SK623(102)、SD629(103)

SD626出土の須恵器(図52、図版33) 91は口径10.7cm、器高3.3cmの杯身で、立上がりは短く内傾している。底部の1/3をヘラケズリで調整している。TK217型式に属するものである。

SD629出土の須恵器(図53、図版29・34) 103は口径22cm、短く開いた口縁部の端部を丸くおさめた壺である。最大径は体部の上半にあり、外面を格子タタキのあとやや粗いカキメで調整している。内面には当て具痕が残る。TK209型式に属するものと思われる。

SD630出土の須恵器(図52) 86は口径11.1cm、底部を欠損している杯身である。立上がりは短くわずかに内傾しており、口縁端部は薄い。TK217型式に属するものである。

SD631出土の須恵器(図52、図版33) 96は体部を欠損しているが、口径8.4cmの長頸壺である。口頸部は筒状を呈しており、口縁部は緩やかに開いている。8世紀の前半に属するものであろう。

掘立柱建物 SB618～620(図54～56、図版28・29) SB618・619はSD625で区画された中に位置した。SB618は南北3間(平均1.9m×3)、東西1間(2.1m)以上の建物で、西に約10°振っていた。柱穴は一辺60～80cm、深さ30～50cmの隅丸方形で、柱痕跡は直径10～18cmであった。痕跡のいくつかは、建物の自重のためか、掘形の下底面を越えて下がっていた。SB619は南北2間(1.3m+2.8m)以上、東西2間(平均1.4m×2)以上の建物で、ほぼ真南北を向いていた。柱穴は一辺25～30cm、深さ30～45cmの隅丸方形ないし円形で、柱痕跡は直徑数cmと小さかった。SB620はSD625の南側に位置した建物で、南北4間(平均2.0m×4)かそれ以上、東西3間(平均1.9m)であり、西に28°振っていた。柱穴は一辺50～90cm、深さ25～60cmの隅丸方形で、柱痕跡は直径10～18cmであり、柱痕跡のいくつかは、建物の自重のためか、掘形の下底面を越えて下がっていた。

柱穴 SP621・622 SB619の南でSB625のすぐ北で検出したSP622は、一辺50～60cm、深さ30cmのややいびつな隅丸方形で、柱痕跡は直径12cmであった。SB618の北でSK623の下底面で見つかったSP621は一辺60～65cmの隅丸方形であった。ともに単独の検出ではあるが、建物を構成した可能性がある。

SP621出土の須恵器(図52) 84は口径12.7cm、器高3.7cmの杯蓋で、口縁端部をやや尖り気味におさめている。口縁部と天井部の境界は丸みをおびており、天井部の約1/3をヘラケズリで調整している。TK209型式に属するものである。

土壙 SK623・624 SP623の下面で検出したSK623は東西4m以上、南北2.5m、深さ20cmの浅いいびつな形の土壙で、須恵器壺・杯、土師器杯などが比較的まとまって出土した。

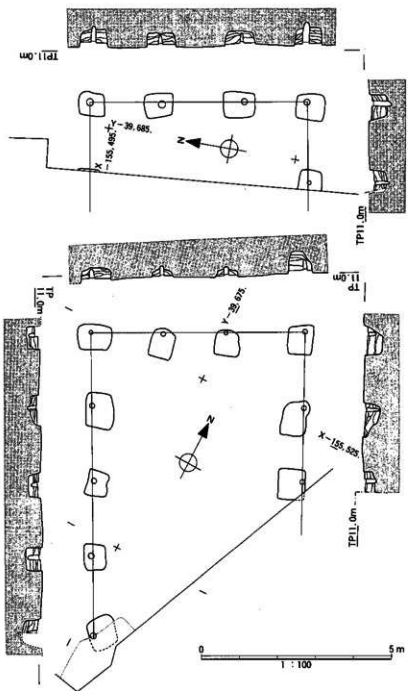


図54 挖立柱建物SB618・620

調査地中央部の東壁付近で検出したSK624は南北5.0m、東西1.0m以上、深さ0.1mの方形の土壙で、須恵器杯蓋が出土した。

SK623出土遺物(図52・53、図版33・34) 須恵器88は口径12.8cmで、口縁端部を丸くおさめた無蓋高杯の杯部である。内面に3本線のヘラ記号がある。TK209型式に属するものであろう。90・93・95は口径10.2~11.6cm、器高3.5~4.0cmの杯身である。いずれも立上がりは内傾しており低い。底部の1/3前後をヘラケズリで調整している。102は口径22cmの壺で、最大径は体部の上半にある。口縁部は頸部から短く開いており、端部に強いヨコナデを加えて上下

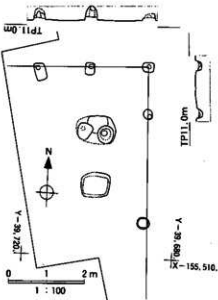


図55 掘立柱建物SB619

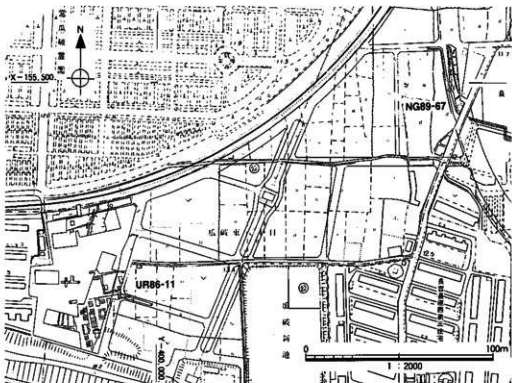


図56 長原遺跡西南地区・瓜破遺跡東南地区的飛鳥時代の建物群

を拡張している。体部の外面を縱方向のやや細筋の平行タタキを施したあと、粗いカキメで調整している。90・93はTK217型式、88・95・102はTK209型式に属するものと思われる。

土師器101は口径15.6cm、器高6.5cmの椀である。口縁端部はわずかに内傾しており、体部の外面にはユビオサエが残る。色調は橙色を呈しており、胎土中に微細な長石・雲母粒を含む。飛鳥Ⅱ期に属するものであろう。

SK624出土の須恵器(図52、図版33) 83・85は口径12.2~13.6cm、器高3.4~3.5cmの杯蓋で、天井部と口縁部の境界が浅く凹む。口縁端部を83は丸く、85は尖りぎみにおさめており、天井部の1/3をヘラケズリで調整している。99は高杯の杯から脚部の破片である。接合部に強いヨコナデを加えている。TK209型式に属するものである。

### 3. 包含層出土遺物

#### (1) 長原 6 層出土遺物(図52)

須恵器82は口径11.0cm、器高3.6cmの杯蓋である。口縁部と天井部の境の稜線はにぶい。天井部にヘラ記号がある。TK209型式に属するものであろう。

## 第Ⅳ章 調査の結果 中編

### 第1節 石器遺物の調査概要

#### 1. 出土層準および器種

1989年は前年度に引き続き多くの石器遺物を発掘し、遺物総数は遺物の可能性のある疊を除いても2108点と増大した。それらは主として19次・22④次・37③次調査地の後期旧石器時代あるいは縄文時代初頭の石器集中部と、22①次・23次・37②次調査地の同時期の比較的まとまりのある分布個所、および43次調査地の縄文時代かと思われる時代未詳の集中個所から出土した。全石器遺物の内訳は、石鎚52点、有茎尖頭器1点、削器類7点、搔器3点、石錐1点、ナイフ形石器36点(接合後の実数32点)、石核56点、細部調整剥片6点、使用痕をもつ剥片33点、剥片1879点、クサビ関連資料5点、叩き石10点、石斧2点、有溝砥石、砥石4点、台石2点、擦り石1点、両面調整石器・礫器などのその他の石器遺物2点、受熱疊8点であった。また、叩き石として使用された可能性のある疊やなんらかの理由で石器集中部に伴うと思われた疊は90点であった(表19)。

これらの石器遺物は長原14層から上位の地層で出土したが、その大半は後期旧石器時代の長原13A層あるいは細分しがたい12/13層漸移帯～13層であった。長原12/13層漸移帯の問題は前書(大阪市文化財協会 1995)で述べたところであるが、第Ⅲ章で述べたように、13C層上面の乾痕を手がかりにして13C層上半部が脱色して暗色を示さない場所があることを確認したことから、従来、いくつかの調査地で13B層と記載されてきた地層が、本来は13C層の上半部に当ることや、そのような13B層から出土したとみられた遺物が、上位層からの乾痕の中に落込んだと考えられるものがあることなど、現場における地層の区分と石器遺物の所属層準との判定がしだいに確かなものになりつつある。89年度の調査でも13B層から出土したと記録された石器遺物が22④次調査地にあるが、その一部は上位の13A層の石器集中部と重なることから、13A層の遺物とみた方がよいと思われるものがある(表26-7・8)。また、前書では12層出土の石器遺物と13層出土の石器遺物を厳密に分けて記載した

表19 調査地・層準別の出土石器遺物一覧

層準 -層序	石器遺物												計
	打削石器	刮削器	尖状器	チフリ	石核	石片	石器	骨器	陶器	ガラス	ガラス	その他	
<b>19次 (88年)</b>													
NG4-7-10B	4	1	1										7
NG8B	3		1										5
NG9C			1										1
NG9A	1		3										4
NG9C	2												2
NG10-11	1												1
NG12A	2												2
NG12BC	1		110										111
NG12	3		3										6
NG13/13		6	921	2									929
NG13AB		1	6										7
NG14			7										7
計	17	0	0	0	0	0	0	0	0	0	0	0	1203
<b>20次 (88年)</b>													
NG4	0	0	0	0	0	0	0	0	0	0	0	0	2
<b>21次-13 (88年)</b>													
NG8B		1											1
NG9C		1											1
NG9A	1												1
NG9A-C	1												1
NG9C	3		2										5
NG9C-10-11	1												1
NG12A		1	2										3
NG12B	1		4										5
NG12	5	2	5										12
NG13/13-13	1		1										2
NG12B-13A		1											1
NG13A		2											2
NG13		5											5
計	13	0	2	0	0	0	0	0	0	0	0	0	49
<b>22次 (89年)</b>													
NG9A		1											1
NG10-11		4											4
NG12A		1											1
NG12B		1											1
NG12	2	1	21										24
NG12/12	1												1
NG12-13	1		15										17
NG13A		1	2	46									51
NG13B	1		2										3
NG13		39											39
NG14		2											2
計	4	0	1	0	1	3	1	0	119	0	0	0	125
<b>23次 (89年)</b>													
NG2-4		1											1
NG7-8B													1
NG9A	1	1							25	4	3	2	1
NG9C									1				1
NG12	2												2
NG12/13-13		1	1						4				5
P	4	1	1	0	1	3	0	0	32	4	2	2	1
計	59												
<b>25次 (89年)</b>													
NG8	0	0	1	0	0	0	0	0	1	0	0	0	2
<b>37.1次 (89年)</b>													
NG12									2				2
NG12/13-13									1				1
P	0	0	0	0	0	0	0	0	3	0	0	0	3
計	3												
<b>37.2次 (89年)</b>													
NG9-6-9A	1	1							1	1			4
NG9C-12	1								1	1			7
NG12	3	1							3	2			9
NG10-11									1	2			3
NG10-12									3	1	22		29
NG10-13									1	1			2
NG12	1		9	12	6	127				7	142		
NG10-13			1	4									9
NG12/13-13	1	1	25	17	4	16	364	3		6	68	525	
NG13C-14													1
計													1
P	5	0	1	0	0	34	41	5	27	584	0	3	70
計	709												
<b>43次 (89年)</b>													
NG4-7-9H-9M	2	0	0	1	1	0	0	0	0	51	0	0	0
NG8	0	0	0	0	0	0	0	0	1	0	0	1	2
<b>45次 (89年)</b>													
NG1-6	1	0	0	0	0	0	0	0	0	0	0	1	0
NG1-6	1	0	0	0	0	0	0	0	1	0	0	0	2
NG4	0	0	0	0	0	0	0	0	1	1	0	0	2
計	52	1	2	3	1	36	56	5	33	1879	5	10	2
													2195

が、それぞれの石器遺物が1つの集中部を構成する現象が一般的に認められたので、本書では集中個所が重なる同層準の石器群を、下位の層準のものとして一括して扱うこととする。

一方、AT火山灰と対比される平安神宮火山灰層の下位にある長原14層から層準の確かな剥片がはじめて出土し、長原遺跡の旧石器時代が後期旧石器時代の前半にまでさかのぼることを明らかにした。また、石器は長原12/13層層準移帯から上位の層準で出土し、88年度の資料とともに層序と形態の変遷を追える資料となった。なお、調査地によっては地層の収斂が著しく、標準層序の認定が困難なばかりであったが、表19には現場での記載に基づ

いて出土層準を示した。

石器遺物の目的的な調査方法は前書で述べたのと同じであり、上述したように長原遺跡東南地区の89-19次・22②次・22④次・23次・37②次・37③次調査地、および西南地区的89-43次調査地で石器遺物の目的的調査を実施し成果をあげた。各調査では石器集中部の土壤を持ち帰り、水洗篩別による微細遺物の捕集作業を行ったところ、19次・22④次調査地で各1個所、37③次調査地では3個所に、石器の集中個所と微細遺物の集中個所が重なる石器密集部が確認され、集中部の核と考えられた。特に37次調査地の700点近い石器群は小型のナイフ形石器とこれを生産した石核を多数含むものであり、また、19次調査地の1000点を超える石器群は圧倒的多数の剥片と極少数の石核と叩き石から構成される特異なものであった。

89年度の調査では、さらに、多数の接合関係が明らかとなり、19次調査地では石器集中部に係わる層準の石錐等を除いたサヌカイト製石器遺物1049点中388点(37%)・68組が、同様に、22②次調査地では23点中6点(26%)・2組が、22④次調査地では120点中22点(18%)・8組が、37③次調査地では683点中282点(41%)・88組が、43次調査地では49点中2点(4%)・1組がそれぞれ接合に関与した。特に37③次調査地の接合資料は、小型のナイフ形石器の製作技術を語る優品である(原色図版1)。

なお、本来なら、接合資料を含む主要な石器遺物はすべて記載すべきではあるが、諸般の事情により、その一部のみを掲載せざるを得なく、またその多くは写真図版を用いて概観を述べるにとどめざるを得ないこと、さらに前年度に実施した系統的な剥片の属性分析を行えなかったことをお断りしておかねばならない。

## 2. 記載のための用語と表記方法

本章では、凡例で述べたように、山中(1995)の用語を優先的に用いるが、これに加えて前書の「有底剥片」も合わせて用いる。すなわち、「有底剥片」とは、剥片を石核の素材とし、素材の剥片の背面か主要剥離面を石核の底面として、剥離時にこの底面を剥片の背面先端に取込んだものをさす。ただし、石核から剥離される最初の剥片は、剥片背面のはば全面が底面となるば多い。また、有底剥片の主要剥離面と底面のなす角度を「底面角」と呼んで記載することがある。横形の有底剥片の中で、背面がネガティブな面と底面との2面で構成され、打面線を山形に調整されたものが、翼状剥片に当る。

また、接合の状況の理解のために、接合資料の記述の冒頭に剥離順序を示したものがあ

表20 石器集中部LC1301～04石器群・LC1203石器群の母岩分類

母岩	剥離面の 肌理*	流理構造**	剥離面の風化の特徴***	備考
1	細	粗・強・中～太・明色	小凹・希	
2	細	密・強・細・明色	小凹・希	
3	極粗	無（～密・微弱・細）	全体に風化	
4	粗	無	微細凹・全面	
5	細	やや粗・細・中～太・暗色	小凹・少	
6	やや粗	無	小～中凹・多	
7	粗	極密・強・中	全体に風化	
8	粗	密・極強・細・明色	小～中凹・多	
9	極粗	粗・弱・中～細・暗色	小凹・希	酷似した特徴を一括
9'	細～極粗	粗・強・細～太・暗色	小凹・希	母岩1・9に似る
10	粗	無	小凹・やや多	母岩9に似る
11	細	無	小凹・希+微細凹・少	
12	やや粗	密・弱・細・暗色	小凹・希+微細凹・少	
13	やや粗	密・弱・細+粗・強・太	小～中凹・少	
14	粗	粗・強・太	小～中凹・少	
15	粗	粗・弱・細	小凹・多	
16	極	無（～密・微弱・細）	中凹・希	
17	細	密・強・極強状・暗色	微細凹・悉	
18	やや粗	無	微細凹・全面	
19	細～やや粗	密・弱・極強状・暗色	小凹・希	
20	細	密・弱・細	微細凹・多	
21	極粗	粗・弱・極粗・暗色	微細凹・全面+小凹・少	母岩9に似る
22	粗	無	微細凹・全面+小凹・極希	
23	細	無（～粗・微弱・細・明色）	微細凹・全面+小凹・少	
24	細	無	微細凹・全面+小凹・極希	
25	粗	無	微細凹・全面密+小凹・極希	母岩26に酷似
26	やや粗	無	微細凹・全面+小凹・希	多孔質のもの混じる

\* 剥離面の肌理の程度を無相い>相い>やや相い>やや粗かい>粗かいに分類した。

\*\* 流理構造の粗密さを密>密～粗>無しに、流理構造の明瞭さを強い>弱いに。

流理単位の幅を太い>中～細いおよび極強状に、流理に色があるものは明色・暗色に分類した。

\*\*\* 剥離面にある風化によってできた凹みを、大きいものから中凹み<往1.0mm>小凹み<往0.2mm>微細凹みに、

凹みの分布の程度を全面に分布>多い>やや多い>少ない>希>極希に分類し、

凹みが識別できないほど風化したものは全体に風化とした。

る。順序図の左側が古く、右へ向うにつれて新たに剥離された剥片であることを示す。石核は[ ]で示し、一は剥片剥離を、+は剥離時の垂直割れ・中央割れや折れを示す。一から分岐するトントルは、石核が分割され、それぞれで剥片剥離作業が行われているばあいと、

剥離順序が不明な剥片群を並列させるばあいに用いる。なお、一組の接合資料の中で、一連の剥離に係わる剥片の接合資料、または、一枚の剥片や石器が同時割れや折れを起したものについて、接合資料番号の末尾に便宜的に小文字のアルファベットを付記したものが有る。また、□印を未検出の剥片として示すばあいがある。

### 3. 母岩分類

19次調査地と37③次調査地の石器集中部に係わるサヌカイト(サヌキトイド)製の石器遺物に関して母岩分類を行い、26分類した(表20)。19次調査地の石器遺物は単純最大幅が約1cmかそれ以上のもの、37③次調査地のものはすべてについて行った。母岩1~20が37③次調査地の石器遺物、母岩21~26が19次調査地の主たる石器遺物である。

観察は各石器遺物の剥離面で5倍率のルーペを用いて行い、肌理の粗密さ・流理構造の粗密さと明瞭さ・風化の特徴の3項目について記載し分類した。剥離面の肌理の粗密さは、粗い・やや粗い・やや細かい・細かい・極細かいに、剥離面に現われた流理構造の粗密さは、極密・密・粗い・無しに、流理構造の明瞭さは、強い・弱いに分類した。剥離面にある微斑晶が風化して残った凹みの大きさは、径1.0mm以上のものを中凹み、1.0~0.2mmのものを小凹み、0.2mm以下のものを極細凹みに、凹みの分布の程度は、全面に分布・多い・やや多い・少ない・希・極希に分類し、凹みが識別できないほど風化したものは全体に風化とした。また、自然面の差異は石器遺物のすべてが対象にはならないので分類基準としなかったが、観察の際に参考にした。

なお、サヌカイトには同一母岩であっても風化面の微妙な違いがあり、前書でも述べたように、小さな剥片の観察で正確に母岩を識別するのは困難である。ここで分類した母岩の中にも外観が酷似するものがあり、それらについては表20の備考に示した。これらの分類については、偏光顕微鏡を用いた岩石学的観察による検証が必要なことは改めていうまでもない。とはいって、この分類に基づいて行った接合作業の結果得られた接合率は上述したとおりであり、一定程度の信頼を置けるものといえる。

## 第2節 89-37次調査地の石器集中部

### 1. 石器遺物の出土状況

#### (1) 地区割り

③調査地を5m間隔で区画し、北西側から1・2・3…10区と呼んだ。石器遺物の目的的な調査に当っては、各地区をさらに1m単位で北東から南西へA・B・C…G列に細分し、各列は北西から南東へ1・2・3…5の番号を与えて小区を設定した。各小区は地区と列、番号とを組合せて、9A-5区の例のように呼んだ。

#### (2) 石器集中部と石器密集部

長原12層および12/13～13層の層準、ならびにこれらの層準を含む遺物の取上げ層準からは、3区の一部を除いたほぼ全域から692点の石器遺物が出土した。また、土壌の洗浄篩別によって抽出した微細石器遺物は94小区で3013点であった(表21、図57～59)。

そのうち7区東部～9区には連続的に移化する4個所の密集個所を中心に比較的まとまりのある広い石器集中範囲があり、341点の石器遺物が出土した。4個所の石器密集個所と水洗篩別による捕集遺物の密な分布とがほぼ重なったので、これを石器密集部LC1301a・b・c・dと呼び、7～9区の石器集中範囲を密集部の総称で代表させて石器集中部LC1301と呼ぶ。すなわち、9F-3区から7A-4区を通る軸を中心南北方向に幅8～9mで延びる帯状の範囲から出土したナイフ形石器22点・石核16点・叩き石2点・使用痕をもつ剥片15点・板状剥片を含む剥片280点・受熱縼6点の石器遺物を石器集中部LC1301の石器群とした。叩き石はこの集中部から2点が出土している。そのほかに叩き石として使用された可能性のある縼や石器集中部になんらかの理由で伴うと思われた円～亜円縼が83点あった。また、洗浄抽出による微細捕集遺物は石器集中部全体で2366点であった。石器密集部LC1301aは9E-2・3区を中心として周囲の小区を含む範囲を、LC1301bは8D-5～9D-1区を中心として周囲の小区を一部含む範囲を、LC1301cは8C・D-3区を中心として周囲の小区を含む範囲を、LC1301dは7A-4区を中心として周囲の小区を一部含む範囲を、それぞれ指す(表21)。

また、3区東部～5区北部には1個所の石器密集個所を中心に比較的まとまりのある石器集中範囲があり、197点の石器遺物が出土した。この石器密集個所と捕集遺物の密な分布がほぼ重なったので、これを石器密集部LC1302と呼び、3区東部～5区北部の石器集中範

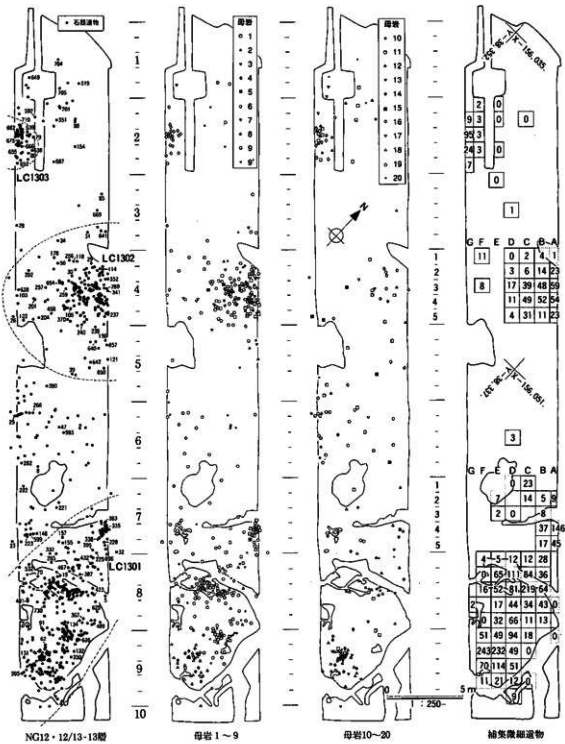


図57 37③次調査地の石器遺物出土状況

表21 石器集中部LC1301~03およびその周辺から発掘した遺物と洗浄箇別により捕集した遺物の偏り（出土地点不明および難を除く）

地区	発掘遺物	捕集遺物	地区	発掘遺物	捕集遺物	地区	発掘遺物	捕集遺物
1C-5	1		4G-2	1		7E-3	1	2
1D-3	1		4G-3	2		7E-5	2	
1D-4	1		4G-4	1		7F-1	1	
1D-5	1		4G-5	1		7F-2	1	
1F-5	3		5A-1	1		7F-3	3	
1F-4	1		5A-2	1		7F-4	6	
2C-1	1		5A-3	2		7G-3	1	
2C-2	3	0	5B-1	2		7G-4	2	
2C-4	1		5B-2	1		8A-2	1	
2D-1	3		5B-3	2		8A-3	1	
2D-2	2		5C-4	2		8A-4	0	0
2D-5	1		5D-1	1		8A-5	1	
2E-1	1	0	5E-2	1		8B-1	9	28
2E-2	0	0	SE-4	1		8B-2	0	36
2E-4	0	0	SF-3	1		8B-3	5	64
2F-1	0	2	SF-4	2		8B-4	3	43
2F-2	1	3	SF-5	2		8B-5	6	13
2F-3	6	3	SG-4	1		8C-1	9	12
2F-4	3	3	SG-5	3		8C-2	4	84
2G-1	2		5A-1	1		8C-3	25	219
2G-2	4	9	5B-1	1		8C-4	2	34
2G-3	26	95	5B-2	1		8C-5	6	11
2G-4	7	24	5B-3	1		8D-1	1	12
2G-5	1	7	5B-4	2		8D-2	10	111
3A-2	1		5C-1	1		8D-3	17	61
3A-4	2		5C-2	2		8D-4	1	44
3B-3	1		5C-3	0	3	8D-5	11	66
3B-4	2		5C-4	1		8E-1	3	5
3C-2	1		5C-5	1		8E-2	11	65
3D-2	0	1	5D-1	3		8E-3	12	52
3D-5	1		5D-2	2		8E-4	3	17
3E-1	0	0	5D-4	1		8E-5	5	32
3G-4	1		5E-1	2		8F-1	1	4
3G-5	1		5E-2	2		8F-2	2	0
4A-1	1	1	5E-3	1		8F-3	4	16
4A-2	12	25	5E-5	1		8F-4	1	
4A-3	17	59	5F-1	3		8F-5	1	0
4A-4	14	54	5F-2	1		8G-1	0	
4A-5	6	23	5F-3	2		8G-4	0	2
4B-1	2	4	5F-4	3		9A-1	0	0
4B-2	11	14	5G-1	7		9B-1	1	
4B-3	19	48	5G-3	3		9C-1	13	19
4B-4	17	52	5G-4	2		9C-2	2	0
4B-5	6	11	7A-1	1		9C-3	1	
4C-1	3	2	7A-2	1	9	9C-4	0	0
4C-2	5	6	7A-3	4		9D-1	10	94
4C-3	22	39	7A-4	21	146	9D-2	6	49
4C-4	6	49	7A-5	5	45	9D-3	5	51
4C-5	6	33	7B-2	1	5	9D-4	2	12
4D-1	2	0	7B-3	1	8	9D-5	0	9
4D-2	4	3	7B-4	5	37	9E-1	3	49
4D-3	3	17	7B-5	4	17	9E-2	30	232
4D-4	6	11	7C-1	0	23	9E-3	18	114
4D-5	1	4	7C-2	1	14	9E-4	3	21
4E-1	1		7C-4	1		9E-5	2	
4E-3	1		7C-5	2		9F-1	3	51
4E-4	3		7D-1	0	0	9F-2	9	243
4E-5	1		7D-2	2		9F-3	8	70
4F-1	1	11	7D-3	0	0	9F-4	3	11
4F-2	1		7D-4	2		9G-1	1	
4F-3	0	8	7D-5	6		9G-3	1	
4F-4	2		7E-1	1	7	合計	687	3013
4F-5	2		7E-2	1	7			

囲を密集部の名称で  
代表させてこれを石  
器集中部LC1302と呼  
ぶ。すなわち、4A~  
C-3・4区を中心  
に径5~6mの範囲か  
ら出土したナイフ形  
石器11点・石核転用  
の削器1点・石核13  
点・細部調整剥片3  
点・使用痕をもつ剥  
片2点・板状剥片を  
含む剥片167点の石器  
遺物を石器集中部  
LC1302の石器群とし  
た。また、洗浄箇別  
による微細捕集遺物  
は4A~3区で59点、  
石器集中部全体で490  
点であった。

さらに、2区南部  
には1個所の石器密  
集個所を中心に比較  
的まとまりのある石器  
集中範囲があり、48  
点の石器遺物が出土  
した。この石器集中  
個所と捕集遺物の分  
布がほぼ重なったの  
で、これを石器密集

表22 石器集中部LC1301~03の石器組成

器種	石材・母岩	LC					計						
		LC	LC	LC	LC	LC							
		1	1	1	1	1							
		3	3	3	3	3							
		0	0	0	0	0							
		1	1	2	2	3	不明						
		.	.	.	.	.							
		0	0										
		2	3										
		周辺	周辺	周辺	周辺	周辺							
ナイフ形石器	92k1-01	1					1						
	92k1-02	1					1						
	92k1-04	3					3						
	92k1-06	1	3				4						
	92k1-07	1					1						
	92k1-09	8	3				11						
	92k1-09'	4					4						
	92k1-11		1				1						
	92k1-13	2					2						
	92k1-14	1					1						
	92k1-16		1				1						
	92k1-18	3					3						
	チート		1				1						
	計	22	1	11	0	0	0	34					
	92k1-09	0	0	1	0	0	0	1					
石核	92k1-01	1	2				3						
	92k1-02		1				1						
	92k1-06	1	1	1	1		4						
	92k1-07		1				1						
	92k1-08	1	2				3						
	92k1-09	9	3	4	2		18						
	92k1-09'		1		1		2						
	92k1-10	3					3						
	92k1-16		1				1						
	92k1-19	1	2				3						
	粗粒安山岩		1				1						
	計	16	6	13	4	1	0	40					
	粗粒砂岩		1				1						
	砂岩		1				1						
	シルト岩		1				1						
	計	2	1	0	0	0	0	3					
細部調整剥片	92k1-05		1				1						
	92k1-09		1				1						
	92k1-09'		2				2						
	92k1-16		1				1						
	計	0	2	3	0	0	0	5					
使用痕をもつ剥片	92k1-01		2				1						
	92k1-07												
	92k1-08		1										
	92k1-09	7	3				1						
	92k1-09'	3	1										
	92k1-11	2	1				1						
	92k1-13	2											
	92k1-16												
	計	15	6	2	3	0	0	26					
	92k1-01	18					18						
剥片	92k1-02	2	5				7						
	92k1-03	2					3						
	92k1-04		8				8						
	92k1-05						1						
	92k1-06	1	2	11	1	23							
	92k1-07	2	27	1			30						
	92k1-08	40											
	92k1-09	107	15	58	3	2	1	1	41				
	92k1-09'	25	4	17	2				48				
	92k1-10	3	6	2	1				12				
粗粒安山岩	92k1-11	4	4	5	3	7			23				
	92k1-12	1	3	3	8				15				
	92k1-13	10		1					12				
	92k1-14	8	1	1					10				
	92k1-15	1	1	4					6				
	92k1-16	1	9		7	1			18				
	92k1-17	1	1	1	3				6				
	92k1-18	42	3						46				
	92k1-19	2	15						17				
	92k1-20	3	1		3				7				
受熱縦	メノウ												
	粗粒安山岩												
	不明								2				
受熱縦	計	280	57	167	20	47	5	576					
	92k1	6	1	0	0	0	0	7					
合計	合計	341	74	197	27	48	5	162					

部LC1303と呼び、2区南部の石器集中範囲を密集部の名称で代表させて石器集中部LC1303と呼ぶ。すなわち、2G-3区を中心に径1~2mの範囲から出土した石核1点・板状剥片を含む剥片47点を石器集中部LC1303の石器群とした。また、洗浄篩別による微細捕集遺物は2G-3区で95点、石器集中部全体では144点であった。

石器集中部LC1301と1302の間には、ナイフ形石器1点・石核6点・細部調整剥片2点・使用痕をもつ剥片6点・板状剥片を含む剥片57点・叩き石1点・受熱縦1点ほかからなる74点の石器遺物が散漫な分布を示し、6G-2区と叩き石が出土した7F-4区にはやや密に分布する範囲があった。また、石器集中部LC1302と1303の間には石核4点・使用痕をも

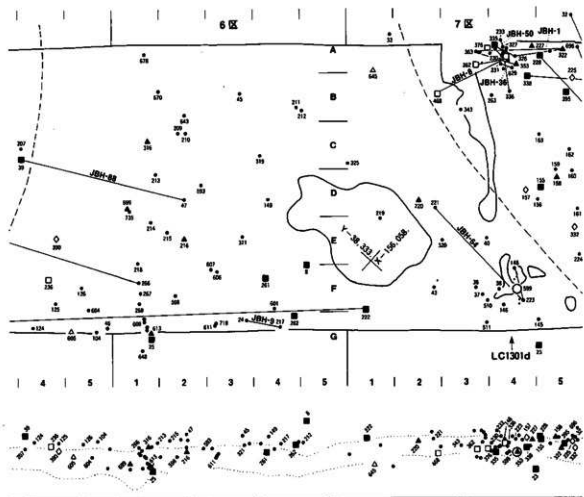
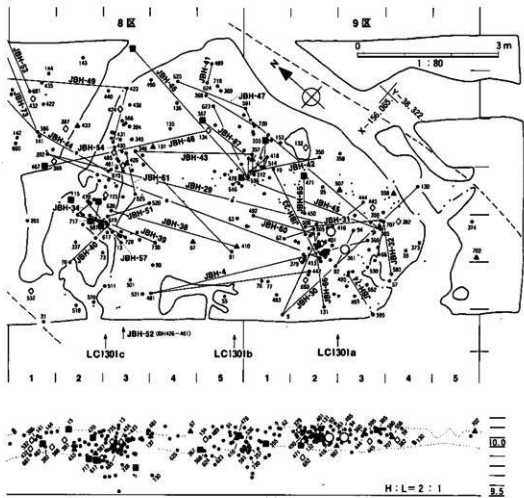


図58 石器集中部LC1301の状況（石器遺物の凡例は図59を参照）

つ剥片3点・剥片20点からなる27点の石器遺物が出土した。特にLC1303の北側周辺にはやや密に分布する範囲があった。

### (3) 石材・母岩別の器種と分布

37③次調査地で母岩を分類したサヌカイトは母岩1～20であり、その他に矽を除いてチャート・瑪瑙・粗粒安山岩・砂岩・シルト岩が使用されている(表22・23)。チャートは1点のナイフ形石器であり、砂岩2点とシルト岩1点は叩き石である。サヌカイトの中では母岩9が圧倒的に多く、33%を占める。次いで母岩9'(9%)・母岩18(7%)・母岩6(7%)・母岩8(7%)・母岩1(6%)・母岩7(5%)・母岩11(4%)と続き、他は3%以下である。母岩9の石器組成はナイフ形石器5%・削器1%未満・石核8%・叩き石0%・細部調整剥片1%未



満・使用痕をもつ剥片5%・剥片82%・受熱礫0%である。この比率は全石器遺物における石器組成の比率がそれぞれ5%・1%未満・6%・1%未満・1%・4%・83%・1%であるとの比較して、突出した傾向は見られない。他の母岩は母数となる遺物総数が小さいので比較の対象にならないが、50点を超える母岩9・18のナイフ形石器がそれぞれ7%であって大差がなく、母岩による器種の選択は、叩き石を除いてなさうである。

母岩と石器集中部の関係をみると、全個数692点の49%が出土したLC1301では母岩8(この母岩の全個数45点に占める比率は93%、以下同様)・母岩18(90%)・母岩13(88%)・母岩14(82%)が高率を占め、これらの母岩がLC1301に偏って分布していることを示している。また、もともと少数ではあるが母岩4はすべてがこの集中部に属する。一方、母岩2・7・

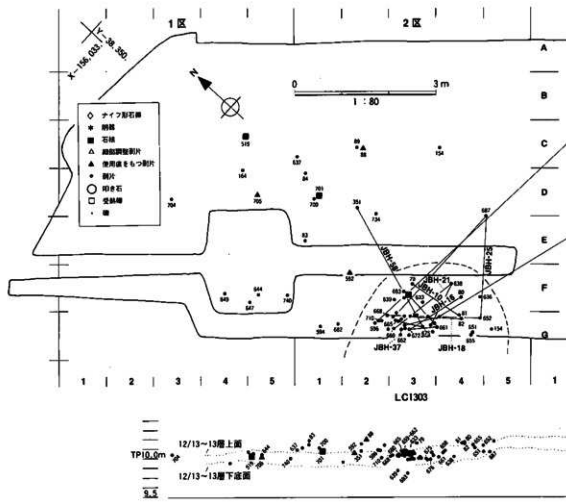
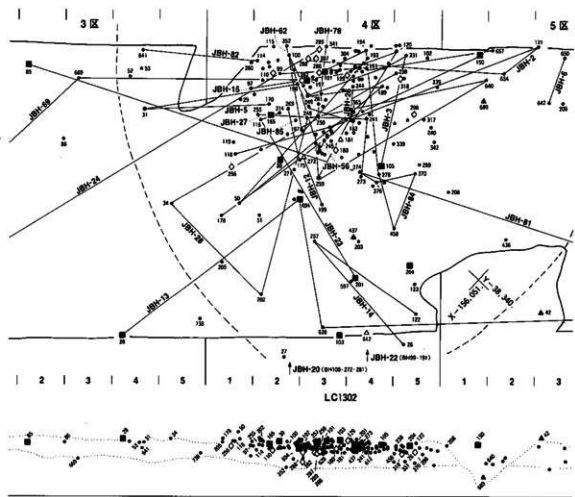


図59 石器集中部LC1302~03の状況

11・16は低率である。LC1301の石器集中部を詳しくみると、1301aには母岩9がほとんどなく、母岩4・8・13・14・18が集中する傾向がある。一方、1301b・cは母岩9が多数を占め、1301dは母岩1と9が多数を占める。

全個数の28%が出土した石器集中部LC1302では、母岩7(91%)・母岩2(78%)・母岩1(50%)・母岩16(48%)などが高率であり、これらがLC1302に偏って分布する傾向がうかがえる。また、もともと少數ではあるが母岩5はすべてが、母岩3は6割が、母岩17は半数がこの集中部に属する。

全個数の7%が出土した石器集中部LC1303では、母岩12(53%)・母岩6(52%)が比較的高率であり、また、母岩11(25%)は比較的多く出土した。これらがLC1303に偏って分布す



る傾向がうかがえる。一方、全個数中もっとも多い母岩9とこれに次ぐ母岩9'はLC1301と1302では全個数の比率とよく似た傾向を示したが、LC1303では1%未満であった。

一方、LC1301と1302に挟まれた範囲には母岩19(85%)・20(57%)・10(38%)が多い傾向があった。

#### (4) 接合資料の分布

接合資料は母岩の分布を反映して、偏りのある分布を示している。個々の接合資料については表24・26-11~13、図58・59を参照していただくとして、ここではおもな接合資料について述べる。

母岩1の6組の接合資料はLC1301と1302に分布する。石核と6点の剥片が接合したJBH-1

表23 LC1301~03の母岩別石器組成

石材・母岩	ナ イ フ 形 石 器	石 核	石 片	叩 き 石 片	剥 片	剥 片	受 熱 帶	使 用 量		合 計
								留 痕 跡	も つ	
JBH-01		1	3		2	36	42			
JBH-02		1	1			7	9			
JBH-03							5			
JBH-04		3					8			
JBH-05				1		1	2			
JBH-06		4	4			38	46			
JBH-07		1	1		1	30	33			
JBH-08			3		1	41	45			
JBH-09	II	1	18	1	11	186	228			
JBH-09'		4	2	2	4	48	60			
JBH-10			3				12			
JBH-11					4	23	28			
JBH-12							15			
JBH-13		2				12	16			
JBH-14		1					10			
JBH-15							6			
JBH-16	I	1		1	18		21			
JBH-17						6	6			
JBH-18	3			1	46		50			
JBH-19			3			17	20			
JBH-20						7	7			
JBH-21						7	7			
チャート	1						1			
メソウ					1		1			
粗粒安山岩		1		1			2			
粗粒砂岩			1				1			
砂 岩				1			1			
シルト岩			1				1			
不明					2		2			
計		34	1	40	3	5	26	576	7	682

はLC1301dに属し、石核と7点の剥片が接合したJBH-3は7点がLC1302に属するが、剥片BH162だけはLC1301から出土している。

母岩2の1組の接合資料であり石核とナイフ形石器および4点の剥片が接合したJBH-2はLC1302に属する。

母岩3の2組の接合資料はLC1301と1302に分布する。

母岩4の4組の接合資料は大半がLC1301aに属し、4点が接合したJBH-4の剥片BH481だけがLC1301aから少しつれられた集中部内に分布する。

母岩5の1組の接合資料であり2点が接合したJBH-12はLC1302に属する。

母岩6の6組の接合資料は主としてLC1302および1303に分布する。石核3点と剥片8点が接合したJBH-13は10点がLC1302に属するが、石核BH222だけはLC1301を外れた7区から出土した。

また、7点が接合したJBH-24はナイフ形石器BH286+289がLC1302に属し、他は1303に属する。

母岩7の3組の接合資料はいずれもLC1302に属する。

母岩8の8組の接合資料は大半がLC1301に属し、折れた石核が接合したJBH-75はLC1301と1302にまたがって分布する。

母岩9の34組の接合資料は多数がLC1301に属し、次いで1302に属する。ともに石核と剥片5点が接合したJBH-42と石核と剥片4点が接合したJBH-46の大半および石核と剥片が接合したJBH-87はLC1301bに属する。剥片6点が接合したJBH-43はLC1301c~dに分布する。石核と剥片の4点が接合したJBH-34とナイフ形石器と剥片が接合したJBH-51・52はLC1301cに属する。石核と3点の剥片が接合したJBH-44はLC1301cとdにまたがって分布する。石核と剥片が接合したJBH-65はLC1301a・b間にあるが、1301aには母岩9の接合資料はなかった。石核と剥片が接合したJBH-23・28・84はLC1302に属する。JBH-81だけは石器集中部に属さず、3区と6区に分かれて分布する。

母岩9'の4組の接合資料はLC1301と1302に分かれて分布する。剥片4点が接合したJBH-47はLC1301bの少し北東側に分布する。8点が接合したJBH-5はLC1302に分布する。

母岩10の4組の接合資料はLC1301とその周辺の7~6区に分布する。石核と3点の剥片が接合したJBH-49はLC1301c~dに分布する。

母岩11の3組の接合資料は、JBH-25・58はLC1303とその周辺に分布し、JBH-80だけがLC1302と6区に分かれて分布する。

母岩12の3組の接合資料はLC1301~1303まで散在したが、剥片4点が接合したJBH-21は1303に属する。

母岩13の2組の接合資料のうち、JBH-71は1301cに、JBH-76は1301aに属する。

母岩14の1組の接合資

表24 接合資料の分布

番 号	接合資料	1区	2区	3区	4区	5区	6区	7区	8区	9区
		LC 1303		LC1302						LC1301
1	JBH-1									
1	JBH-3									
1	JBH-7									
1	JBH-22									
1	JBH-23									
1	JBH-25									
2	JBH-2									
3	JBH-15									
3	JBH-54									
4	JBH-4									
4	JBH-56									
4	JBH-57									
5	JBH-12									
6	JBH-15									
6	JBH-16									
6	JBH-18									
6	JBH-19									
6	JBH-24									
6	JBH-25									
7	JBH-17									
7	JBH-20									
7	JBH-42									
8	JBH-20									
8	JBH-31									
8	JBH-32									
8	JBH-33									
8	JBH-34									
8	JBH-35									
8	JBH-75									
9	JBH-11									
9	JBH-22									
9	JBH-26									
9	JBH-28									
9	JBH-30									
9	JBH-31									
9	JBH-32									
9	JBH-40									
9	JBH-41									
9	JBH-42									
9	JBH-43									
9	JBH-44									
9	JBH-45									
9	JBH-46									
9	JBH-52									
9	JBH-53									
9	JBH-57									
9	JBH-61									
9	JBH-62									
9	JBH-63									
9	JBH-64									
9	JBH-65									
9	JBH-66									
9	JBH-67									
9'	JBH-5									
9'	JBH-6									
9'	JBH-7									
9'	JBH-56									
10	JBH-6									
10	JBH-25									
10	JBH-49									
10	JBH-64									
11	JBH-25									
11	JBH-58									
11	JBH-60									
12	JBH-12									
12	JBH-21									
12	JBH-68									
13	JBH-71									
13	JBH-78									
14	JBH-74									
15	JBH-54									
15	JBH-57									
16	JBH-78									
16	JBH-80									
累計 約 1000 個										

料JBH-74はLC1301aに、母岩15の1組の接合資料JBH-14はLC1302にそれぞれ属する。

母岩16の3組の接合資料はいずれもLC1302に、受熱蹠として分類した1組の接合資料JBH-8は3点が1301dに、それぞれ所属する。また、粗粒安山岩の接合資料JBH-88は石核がLC1302の縁辺にあり、剥片は6区から出土した。

以上にみた母岩別の接合資料の分布は、母岩を持ち込み剥片剥離を行った人間の意志を、かなり強く反映しているものと思われる。

## 2. 石器遺物の観察

### (1) 石核とナイフ形石器の接合資料

JBH-2(図60、図版36)

剥離順序: 288(ナイフ形石器)—654—121—(118+173)—[150]

板状剥片を素材とした石核から有底剥片を剥離した状況が復元できる母岩2の接合資料である。素材となった板状剥片は、主・背両面とも大きな剥離面で構成され、主要剥離面の先端はヒンジ・フラクチャーを起している。背面の内の下側縁に自然面が取込まれており、上側縁は主要剥離面形成後の折れ面である。有底剥片の剥離は素材の板状剥片の基端部背面側から行われている。

本資料の中でもっとも古い段階で剥離されたBH288は、背面に板状剥片の主要剥離面を底面として取込んだ有底剥片を素材としたナイフ形石器である。その素材剥片は石核に残された剥離面から復元すると、幅4.95cm以上となる。打撃角は約130°である。剥片の背面に見られる主要剥離面と同方向の2面の剥離面は板状剥片の幅に比べて小さいものであり、作業面の調整に係わるものと思われるが、潜在割れによる調整時の剥がれともみえる。石核の作業面を構成するBH173の背面左側や、BH121の打面右側に見られる剥離面なども作業面の調整かと思われる。BH288の細部調整は背部の側縁のみで確認され、主として主要剥離面側から深形極厚形細部調整が連続的に施されているが、背面の剥離面がなす稜から主要剥離面側に対しても行われている。基部は調整後に折れている。また、刃部の基部側2/3程度が出土時に破損しており、細部調整の有無は不明である。

BH288を剥離した後、石核の作業面から背面に対して打面調整を行っている。BH654は打面調整剥片の先端が折れて残ったもので、素材となった板状剥片の先端に達している。続くBH121も打面調整剥片であり、先行した打痕周辺のバルブを取り込んだツイン・バルブの剥片となっており、石核の縁辺から先端部を取込んでいる。また、作業面左側にも、同

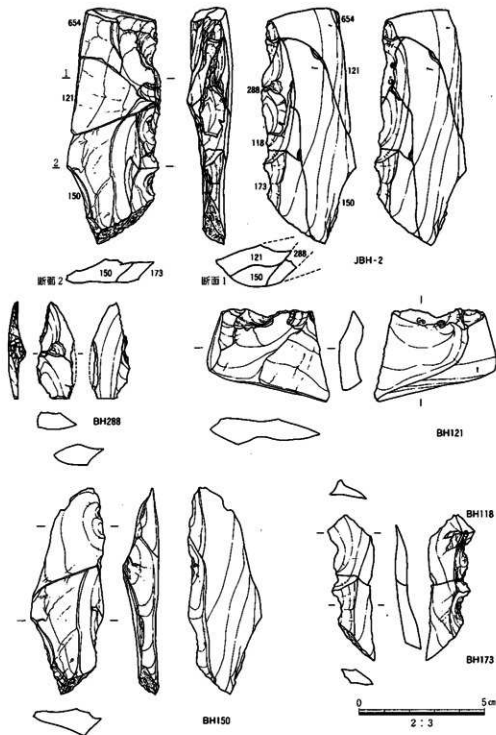


図60 接合資料JBH-2実測図

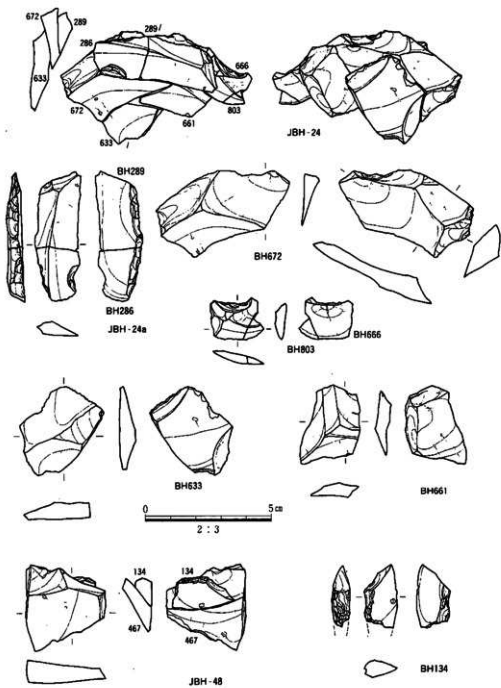


図61 接合資料JBH-24・48実測図

じく作業面を打面として打面調整が行われている。これらの調整作業によって、石核の背面中央に山形の稜をもつ打面がつくられた。この後、有底剥片BH118+173が剥離されている。打撃角は約120°である。しかし、山形の稜を直接打撃してしまったために割れ円錐がうまく拡がらず、得られた剥片は打点から左側を大きく取込み、さらに、主要剥離面にある微班晶から割れが拡がり、横割れしてしまっている。

石核BH150には、板状剥片の先端部に当る部分に、主要剥離面側から背面に対して小さな剥片剥離が施されているが、その意図は不明である。

#### JBH-24(図61、図版36)

剥離順序：JBH-24a(286+289：ナイフ形石器)→672→661→[633]

→666+803

板状剥片を素材とし、その背面の平坦な剥離面を底面とする横形の有底剥片を連続して剥離した母岩6の資料である。素材の主要剥離面と背面とはほぼ対向する方向から剥離されたものである。また、素材の主要剥離面右側縁には自然面が取込まれている。

JBH-24a(BH286+289)は二側縁調整のナイフ形石器で、主要剥離面側にある微班晶が風化した凹みを引き金にして裏面側へ折れている。素材剥片の打面側の側縁全体に細部調整を施して背部としているが、先行剥離面を残している。一方、刃縁部側は基部の一部に細部調整が施されたのみである。また、素材剥片の打面はすべて失われているが、後続して剥離されたBH672の打面に残る山形に調整剥離された打面を打撃したものである。

JBH-24aが剥離された後のBH666+803とBH672との剥離の先後関係は不明である。素材の背面右側では有底剥片が剥がされ、BH666+803の背面下からBH661の背面下に続く剥離面ができている。この後にも同じ側で複数回の剥離が行われ、統いてBH666+803が剥がされている。これらは石核の底面に達しない小さな剥離面であり、作業面の調整や剥片剥離の失敗によるものと思われる。

一方、素材の背面左側では、JBH-24aが剥離された作業面から複数回の打面調整が行われているが、この調整は有効ではなかったようで、この後に剥がされた横形の有底剥片BH672は、JBH-24aが剥がされた時の古い山形の打面を利用している。しかし山形の稜上を直接打撃してしまったために、打点から右側を大きく取込み、片流れを起している。また、BH672の背面左側と672主要剥離面右側から石核633にかけては、自然面からの潜在割れによって折れている。ただし、これらの折れ面は、JBH-24aの素材の有底剥片剥離の結果、作業面の左側が大きく張出した石核を、整形するための折り取りの痕ともみられる。

統いて剥離されたBH661は、BH666+803の剥離面を打面とした有底剥片であり、剥片剥離と同時に主要剥離面から分割してしまっている。残された石核BH633にはBH661に後続する剥離面が素材の主要剥離面上方に残っている。この剥離面はBH672とBH661の剥離面が作り出す山形付近が打撃されたものである。この剥離面やJBH-24a・BH672の打面を構成する2面の剥離面などは、打面の準備に係わる剥離面としてみてきたが、いずれも素材の板状剥片の主要剥離面を底面とする有底剥片が剥離されており、目的的剥片としての見方も必要であろう。すなわち、目的的剥片の交互剥離が行われた可能性がある。

#### JBH-48(図61、図版41)

剥離順序：134(ナイフ形石器)ー[467]

板状剥片を素材とし、素材の主要剥離面を底面とした横形の有底剥片を細部調整したナイフ形石器と石核とが接合した母岩9の資料である。

BH134は一側縁調整のナイフ形石器であるが、石核に残された剥離面から、素材となつた横形の有底剥片は2倍以上の幅であったと考えられる。ナイフ形石器の先端部側は、1回の剥離で素材剥片の形状を大きく変えている。この剥離は背部調整の剥離と様相を異にし、なんらかの理由で行われた再整形と思われる。

BH467の素材の背面には作業面側から剥がされた新旧2面の剥離面が山形の稜をつくり、BH134の素材となった横形の有底剥片は古い面側の稜近くに打点がある。石核の左右両側縁は折れているが、ともに134の剥離後に生じたものである。

#### (2) 石核と剥片の接合資料

##### JBH-1(図62、図版35)

剥離順序：

□—A—B—□—C—353—□—JBH-1a(363+805+□)—322—326—□—[335]

└809

板状剥片を素材とした石核から、その主・背両面を底面とする有底剥片を剥離した母岩1の接合資料である。素材の背面および側縁の一部は自然面と古い剥離面で構成され、素材の主要剥離面は対向する割れが剥片の先端部付近で融合している。先行する叩き損ないで生じた潜在割れを取込んだものと考えられる。なお、剥離順序に示したA・B・Cは未検出の剥片あるいはその剥離面を指す。

主たる剥片剥離は素材の板状剥片の基礎部側から行われている。素材の背面を上においてみた背面右側には、古い剥離面と打面調整とみられる新しい剥離面Aとがなす山形の稜

が作られている。接合したもっとも古い剥片は横形の有底剥片BH353であり、古い剥離面側を細かく打面調整した上で、新しい剥離面Aの稜近くを打点として剥ぎ取られている。BH353の背面には、これに先行し、同一方向から打撃された比較的大きな剥離面Bが残っている。板状剥片の主要剥離面を底面とする有底剥片Bが剥離されたものであろう。剥片Bの底面角は約55°であり、打点は石核の中央側にあったとみられる。BH353に続いて、1枚以上の同方向の剥片(後述のBH354の可能性がある)が剥離されている。なお、353は底面の先端部中央に、連続した微細な剥離痕が認められ、使用痕と考えられる。

素材の背面を上においてみた左側では、素材の主要剥離面側か作業面側を打面とする2枚の有底剥片が剥がされている。少なくとも右側の新しい剥離によって剥がされた剥片Cは、剥片Bを剥離して生じた剥離面を打面とした可能性がある。剥片Cは素材の背面の平坦な剥離面を底面とする剥片であったと考えられるが、底面角が約30°で有底剥片Bとは趣きが異なり、打面調整剥片とみられる。しかし、その後に剥離されたBH353の打面調整ははるかに細かく小さなものである。剥離面Cも、大きさからみる限りは過色なく、目的的剥片剥離とみることもできる。

続いて、素材の主要剥離面を底面とする有底剥片JBH-1a(BH363+805+□)が剥離されているが、潜在割れを原因とする事故により縦に折れている。出土したBH363+805は石核の作業面の右側をかなり奥まで取込んでおり、この事故による折れは、剥離がスムーズに進行しなかったことが原因であろう。この剥片JBH-1aの打面は、先行する有底剥片の剥離に伴う打面調整によって構成されるものである。打点は後続する剥片剥離によって失われているが、石核の作業面の中央付近に推定される剥離面BとCとがなす山形の稜付近かと考えられ、剥片の幅は石核と同一となる(8.13cm)。底面角は約55°である。

この後、JBH-1aが剥がされた作業面を打面とする剥片剥離が山形の稜の両側で行われている。BH322・326は作業面の左側で剥がされている。BH322は素材の背面の平坦な剥離面を底面とする有底剥片で、底面角は約30°である。背面右の先端部に微細な剥離痕が連続し、使用痕と考えられる。BH326は322と同じ底面をもつ有底剥片である。背面にある比較的小さな複数の剥離面は、322剥離後に行われた作業面の調整か、叩き損じによると考えられる。底面角は約30°である。なお、BH326の剥離時にも、バルブの発達した小さな剥片が同時に剥離され、BH326の主要剥離面にバルバースカーの痕跡として残っている。BH326剥離後に、それに接して同打面から剥離が行われ並列剥離の状況となっている。ただし、剥片は粉碎したらしい。両翼の打面調整で際だった山形の稜が作られたにもかかわ

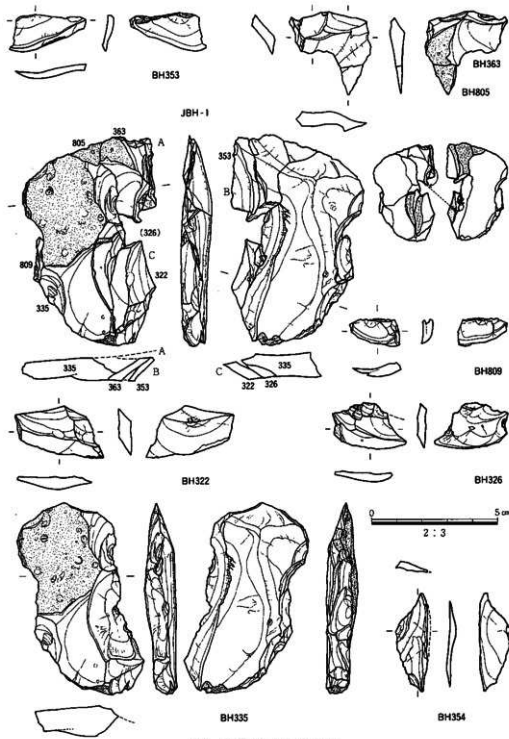


図62 接合資料JBH-1実測図

らず、これ以後、残された石核BH335からは形の整った剥片は剥がされていない。

以上の状況から、本資料で行われた有底剥片剥離は、板状剥片の一方の剥離面に対して数回ずつ剥片剥離を行った後、打面を入れ替えて剥片剥離を繰返すという工程が看取される。しかし、両者には明確に差異が認められる。まず、板状剥片の主要剥離面を底面とするものは底面角が55°前後であり、一方、背面を底面とするものは30°前後であること、また、前者は必ずしも目的とする剥片の背面の剥離面からとは限らないが、山形の稜付近を打面として加撃し、後者はそれによって生じた剥離面を打面とする傾向が見られるなどである。したがって、前者を目的的剥片の主たる剥離に、後者を打面調整に帰結させることが可能である。ただし、後者にはBH322のように比較的大型の剥片も剥離され、さらに、それを道具として使用するにいたったことにも注意を要するであろう。

なお、図62に掲載したBH354は母岩の流理構造などの特徴から、確実に同一母岩といえる有底剥片であり、BH353とBH363+805の間で剥離された可能性が高いが、接合するらしい範囲が微少で正確さを欠くため、本資料からは除外した。

また、BH335の先端部にはBH809を剥がしたような、主として背面側からの深形極厚形細部調整が施されている。細部調整剥離面の先端はヒンジ・フラクチャーを起すもの多く、ていねいな調整が行われずに中止されたようであるが、削器の刃部を形成しようとしたものかもしれない。板状剥片の段階で細部調整が施されたものか、石核に使用された後に削器に転用しようとしたものはわからない。

#### JBH-3(図63・64、図版35)

剥離順序：193—(50+162)—189—196—152—331—[105]

横形剥片と石核で構成される母岩1の接合資料である。素材となった板状剥片は縦を輪切りにするように剥離して取得されたものであるが、主要剥離面と背面とは打撃位置を約90°横位に変えている。また、周縁は自然面であったとみられ、残存する主要剥離面の右側縁から基端部付近にかけて巡っている。剥片剥離は板状剥片の背面側のネガティブな平坦面を石核底面にして行われている。もとの大きさは縦10.0cm、横6.0cm以上、厚さ1.4cmと推測できる。

剥片の剥離作業は、板状剥片の打面側から始まっている。BH193は素材の打面の自然面側からの打撃で剥がされている。この後、打面を素材の主要剥離面側に移してBH50+162・189・196・152・331などの剥片が断続して取られている。ただし、BH193はBH50+162の剥離時に素材の流理に沿って同時割れを起した可能性がある。剥片BH189・196・152・

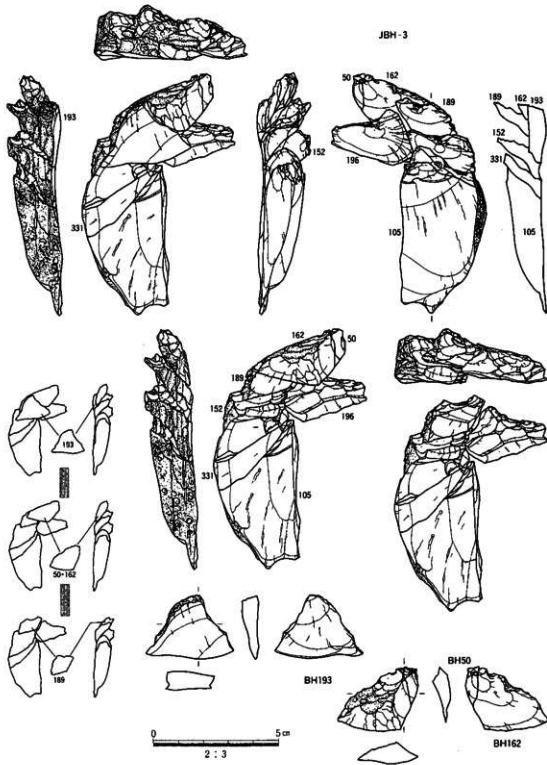


図63 接合資料JBH-3実測図（その1）

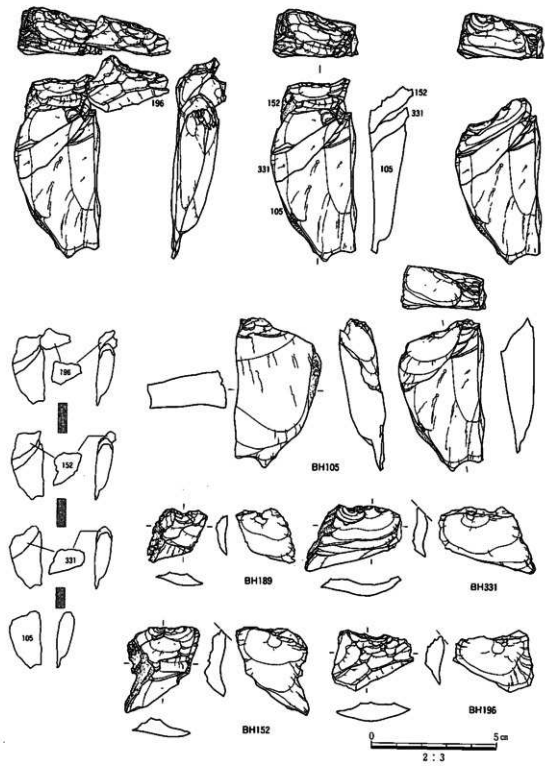


図64 接合資料JBH-3実測図（その2）・

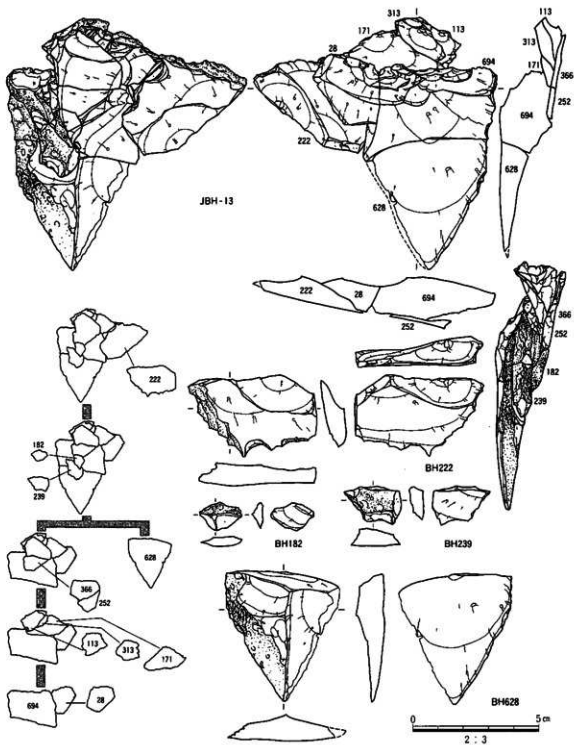


図65 接合資料JBH-13実測図（その1）

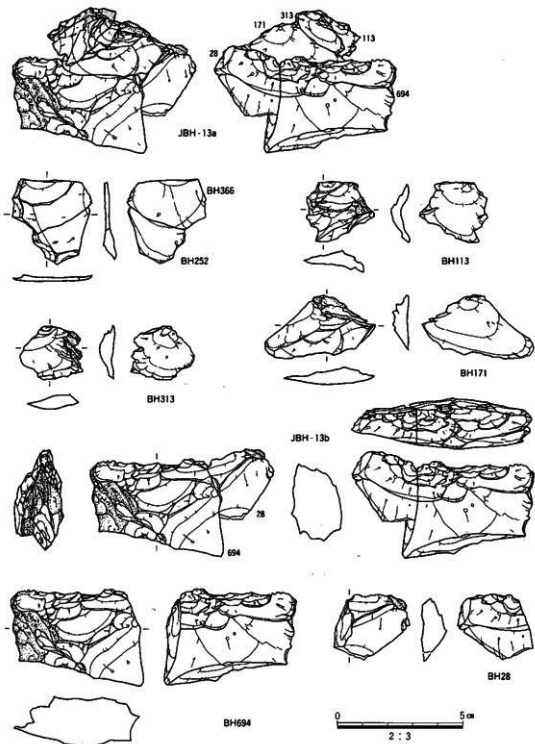


図66 接合資料JBH-13実測図（その2）

331のそれぞれの打点は、素材の主要剥離面とそれと異なるネガティブな剥離面とがなす山形の棱線付近にある。このことから、それぞれの剥片を剥離するに先立って、それぞれの作業面側を打面とする剥片剥離が行われたことがわかる。すなわち、打面と作業面を入れ換えて交互剥離を行っている。BH196と152とが剥がされた後にも山形の棱をもつ打面が準備されている。BH196・152・331の打撃角は120°～130°で、比較的一定している。また、各剥片の背面には、それぞれの剥離に先行して複数の小さな剥離面をつくる剥離が行われている。BH331の剥離後、打面と作業面とを入れ替えて、作業面側から剥離が行われている。しかし、その際に生じた垂直割れによって石核は左右に分かれてしまい、片側のBH105だけが残っている。

以上のように、本資料からは打面と作業面を交互に転移させ、かつ打点を左右に移動させながら山形の棱付近を打点として有底剥片を剥離していくような石割りが想像される。しかし、剥がされた剥片の底面はともに素材の平坦面である。これらをもって残された側の剥片が、打面調整のためかあるいは目的的剥片の剥離を意図したものかは断じがたい。

#### JBH-13(図65・66、図版36)

剥離順序：もとの板状剥片→[222]

→182・239→628

→(366+252)→113→313→171→[28+694]

横形剥片を取るための石核2点と、それに伴う調整剥片の母岩6の接合資料である。BH222とそれ以外(BH28・113・171・182・239・313・366+252・628・694)は板状剥片を素材とする石核から剥離されたそれぞれ別の板状剥片である。2枚の板状剥片は大きなネガティブな面をそれぞれの背面に共有しており、分割前の姿も大きな板状剥片であったとみられる。

最初に剥離されたのはBH222を含む板状剥片で、そのあと打点を横位に90°転移して次の板状剥片が取られている。BH222は素材の板状剥片の先端部を取り込む厚さ0.8cmの石核で、素材の打面側から打面と作業面を入れ換えるように交互に剥離を行い、最終的には素材背面の平坦面と新しい剥離面とがなす山形の棱付近を打撃し、素材の主要剥離面を底面とする縦1.4cm、横3.8cmの横形の有底剥片が取られている。

もうひとつの板状剥片は、背面が自然面ともとのネガティブな面および先の素材剥片の剥離面とで構成される。縦9.8cm、横7.4cm、厚さ2.0cmほどの大きさで、平面形が三角形であったと推定できるが、剥離の際の衝撃で素材先端部のBH628が折れ、同時にBH182・239

が剥がれている。ただし、BH182・239は先の板状剥片の剥離時に剥がれた可能性があり、その際の潜在割れがその後のBH628の折れを引き起したともみられ、剥離過程の図には後者を示した。

BH628から分かれた上半部が、これ以後、石核として使用されている。まず、素材の基端部側の自然面から加撃し、もとのネガティブな面からBH366+252を剥離している。これは横折れが3箇所で起っている。次に、打面を素材の主要剥離面側に移動して同じ打面上で4回以上の打撃を行い、BH113と313を連続的に剥離している。これらの打面は素材の主要剥離面ともみられるが、曲率が小さいため、素材の主要剥離面側に先行して行われた打面準備のための剥離面の可能性もある。この後でBH313が剥がされた剥離面と素材の自然面がなす後付近を打面として比較的横に長い剥片が剥がれたようである。BH28の主要剥離面左側にその剥離面が残っている。この後、再び打面を素材の基端部に移動し、BH171を剥離している。次にBH171の打点からスライドするように横位に打点を移動してもう1枚の剥片を剥離している。その結果171とこの剥離面とがなす山形の稜がつくられた。この後、再び打面と作業面を入れ換えてBH171寄りの稜付近が複数回打撃され、横形剥片が剥離されている(BH694の主要剥離面の右上の剥離面)。しかし、剥がされた剥片は打点付近が粉碎し、整った形の剥片ではなかったようだ。次に横方向に打点をスライドさせて、BH171が剥がされた剥離面中央を打面として、剥片を剥離している。剥がされた剥片の大きさは縦1.7cm、横4.0cm、厚さ0.5cmである。ただし、この剥片も打点付近が粉碎してしまった。しかも、この剥片を剥離した際に生じた継割れによって、石核はBH694と28に分かれ、放棄された。

以上のことから、接合したBH366+252・113・313は石核調整から打面調整の段階の剥片、BH171は打面調整の剥片、BH313剥離後およびBH171剥離後に剥がされた2枚の剥片が目的的剥片と考えられる。ただし、最後の剥片剥離には山形の稜の意識が欠落していることになる。

#### JBH-23(図版38)

ネガティブな広い大きな剥離面を打面とし、自然面を背面とする3片に分割した板状剥片のひとつの素材を石核にし、もうひとつの素材から縦に長い剥片を連続して打ち欠いた母岩9の資料である。3片目の素材は見つからなかった。石核と剥片側との分割面は自然面からの潜在割れに沿う割れ面であり、偶発的な事故によるものかと思われる。縦に長い剥片はその分割面を打面にしている。一方、石核からは素材の打面を打面として1枚の剥

片が剥がされているが、片流れしている。

JBH-28(図67・68、図版37)

剥離順序：(202+248)→(1)34+238

→(2)303-365-178-168-[259]

→(3)640

□

剥片8点と石核1点で構成される板状剥片の母岩9の接合資料である。剥片のうち、折れ面接合のものが1組あるので、実数は計10点である。接合状態の板状剥片は、背面のほぼ全面が自然面で覆われている。打面部分の接合資料を欠いているため、その全体形状は不明である。残存部から推定すると、長さ約8.0cm、幅約8.0cm、厚さ1.5cm程度の板状剥片であったとみられる。以下、剥片剥離の順序について述べる。

最初に板状剥片の先端部縁辺に、主要剥離面側からやや浅い角度で数回の剥離が加えられている(図68：模式図1のAの部分)。剥離角度や剥離面の形状からみて、打面調整かあるいは作業面の形成を目的とした剥離と考えられる。次に、同じように先端部に主要剥離面側より剥離が行われて剥片(BH202+BH248)が剥離されている(模式図2)が、打点付近で垂直割れを起している。この剥片は背面が自然面で覆われていることからみて、目的的剥片というよりも前述のAの剥離面と同様に打面調整か作業面の形成を企図したものとみられる。模式図3で同じ打点から複数回の剥離が加えられているようにみえるが、これは剥片(BH202+BH248)の剥離時に剥がれた同時割れとみられる。さらに、この打撃は結果として板状剥片自体も大きく4つ以上に分割されることとなったようである(模式図4・5の段階)。このときに分割されたもの(以下分割片と略称する)は分割片(1)BH34+238、(2)BH168+178+259+303+365、(3)BH640、さらに未検出の一片(あるいは複数か)である。

(1)のBH238はBH34の分割面からはじけたものである。(2)と(3)、および未検出の分割片は板状剥片の背面側からの加撃によって折れているようにみえるが(模式図5の剥離面B)、おそらく、模式図1の段階のAの剥離時に加えられた加撃によって潜在割れが生じ(模式図5の剥離面C)、模式図2の剥片(BH202+248)剥離時にこの潜在割れ(剥離面C)が自然面からの潜在割れB面の割れを誘発したものと思われる。さらに(3)BH640と未検出の分割片もこの際に同時に同時折れを起したものとみられる。したがって模式図の2~5は、一回の打撃によって引き起された剥離と同時割れ、同時折れが複合したものであり、剥離時の事故と考えられる。この後、分割片(2)は石核として利用されている。

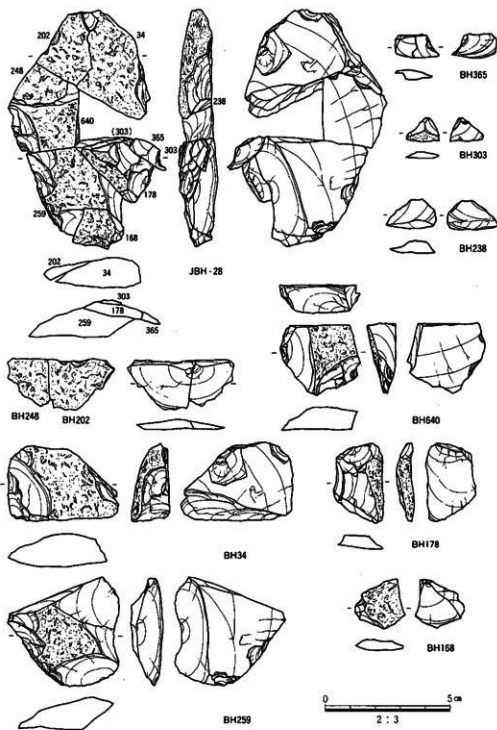


图67 接合资料JBH-28实测图

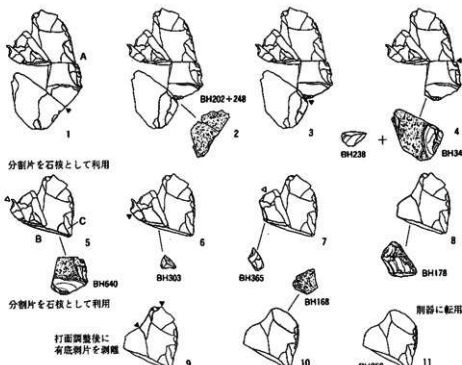


図68 接合資料JBH-28剥離順序模式図

分割片(2)はまず、もとの板状剥片の打面部に作業面が設定され、ここから石核の打面調整がややていねいに施されている(模式図6~10)。剥片BH178・303・365はその際に剥離された打面調整剥片である。こうした打面調整によって、石核BH259の作業面側からみた正面観は頂部が平坦な山形に整えられたと思われる。こうした打面調整の段階を経て、剥片が1、2枚程度剥離されたようであるが、いずれも資料を欠いている。石核の状態から推定すると、これらの剥片は石核底面の平坦な剥離面を取込んだ横形の有底剥片と考えられ、打面調整のあり方からみても目的的剥片であったとみられる。これらの剥片が剥離された後、再び石核の正面観を整えるために打面調整が施され、剥片BH168が剥離されるが(模式図10)、これ以上の剥片剥離は行われていない。最後に、石核作業面の反対側に微細な細部調整を連続的に施して削器に転用している(模式図11)。

#### JBH-34(図版38)

背面に2面のネガティブな剥離面をもつ素材の板状剥片の側方から剥片を剥ごうとした際に、不本意な位置で割れたやや大きな剥片を石核として利用し、また残った石核から横形の有底剥片を1枚剥いた母岩9の資料である。やや大きな剥片を用いた石核は、もとの

素材の打面側に、もとの素材の背面を打面として作業面を設定し、山形の打面調整を施して、2枚以上の有底剥片が剥がされている。この後、次の打面調整を行っているが、ここで剥離作業を中止している。一方の有底剥片もまた山形の打面調整が施された後に剥がされている。

## JBH-42(図69・70、図版37)

剥離順序: □→537—350—418

└(514+616)—[355]

石核(BH355)1点と剥片4点(うち折れ面接合が1組あるので実数は5点)で構成される母岩9の接合資料である。石核は大型で厚みのあるもので、残存する剥離面の状況からみて、板状剥片が連続して剥離されたことがわかる。自然面は一部に残されているが、ほとんどが剥離によって除去されている。もとはかなり大きな疊であったとみられる。剥離の順序について述べる。

まず、石核の一端を交互に打面と作業面を入れ替えながら厚手の板状剥片を表裏両面から連続的に剥離している(図70:模式図1)。この剥離は反対側の一端でも行われている(同図)。それから後に接合資料を含む板状剥片(BH350+418+537)が剥離されている(模式図2)。この板状剥片は石核に利用されている。まず、板状剥片の打面側から背面に細かな剥離が行われている(BH537、模式図B2)。これは打面縁部の調整とみられ、剥片剥離の作業面を板状剥片の背面側に設定しようとしたようである。この後、もとの板状剥片の打面側から剥離BH350が試みられるが、予想以上に剥離が深く潜り込んで、BH418と未検出の石核は緩折れを起したようである。ここで剥離が終了していればBH418も石核に分類されるべきであるが、未検出の石核の状況が不明なので剥片として分類しておく。一方、板状剥片を剥離した石核はさらに継続して剥片剥離が行われている。模式図A2では、石核のb面側にはほぼ連続した剥離が行われている。これらの剥離面はa面の板状剥片の剥離面と比べるとそれほど大きな剥離面とはいえず、剥片自体も薄手のものが多い。A面の剥離面が板状剥片の剥離を目的としたものでないのは明らかであるが、それが打面調整を意図したのか、あるいは板状剥片とは大きさの異なる剥片の剥離を意図したものか、いずれとも断じがたい。この剥離後に石核のa面(模式図A2・3)で板状剥片が連続して剥離されている。BH514+616はこの段階で剥離された板状剥片だが、予想以上に薄く剥がれたようで、複数枚に同時に折れを起している。

以上のように、本接合資料は石核などの素材となる板状剥片の剥離を行った板状剥片剥

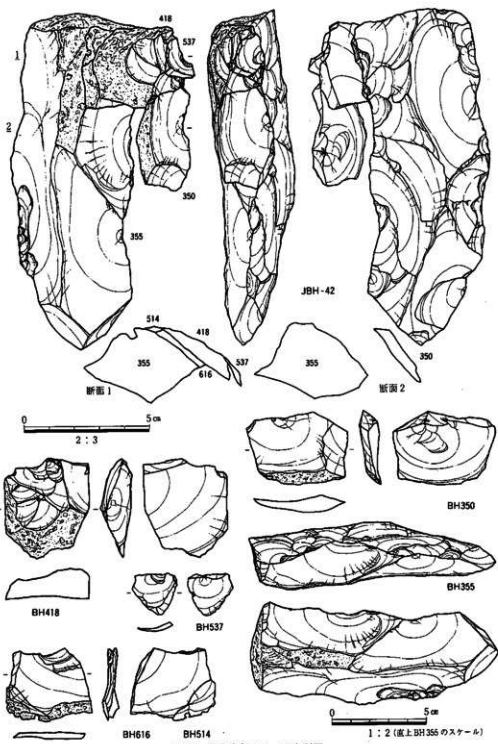


図69 接合資料JBH-42実測図

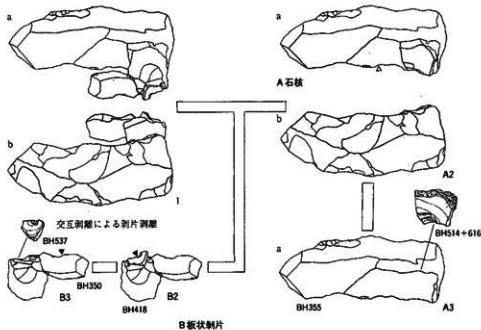


図70 接合資料JBH-42剥離順序模式図

離を目的としたものである。板状剥片の剥離には、打面と作業面を入れ替えながら剥離を進行させる交互剥離技術が基本的に用いられている。

#### JBH-44(図版38)

先端縁に自然面を残すやや厚手の板状剥片を素材とする石核と剥がされた打面調整剥片が接合した母岩9の資料である。素材の背面側に接合した大きな打面調整剥片の前にも、同じ位置に2度の打面調整が行われている。石核の作業面左側の自然面から行われた調整剥離によって、山形の打面が作られており、底面の広い有底剥片が剥がされている。この後、再度打面調整を行っているが、ここで剥離作業を中止している。

#### JBH-46(図版40)

先端縁および背面側に自然面をもつやや厚手の板状剥片を素材として、素材の平坦面側に打面調整を施して山形の打面を作り、横形の有底剥片を剥ごうとしたところ、割れが石核内部を抜けて素材の先端縁にまで達してしまったために、残された石核の大きなネガティブな面を打面にして、横形剥片を剥いだと思われる母岩9の資料である。最初の打面調整の片方の剥片と残された石核、および最後に剥がされた剥片が接合している。

**JBH-49(図版40)**

背面にネガティブで大きな剥離面と自然面をもつやや厚手の板状剥片を素材とし、素材の自然面を打面として、素材の剥離方向と同じ方向の打撃によって、連続して剥片剥離を行った母岩10の資料である。石核の素材となる小さな板状剥片を取ろうとしたものかと思われるが、自然面からの潜在割れが著しく、整った剥片は取られていない。

**JBH-65(図版39)**

板状剥片素材の石核と横形の有底剥片が接合した母岩9の資料である。石核は素材の主要剥離面を底面としている。有底剥片は作業面に見られる剥離面の比較的早い段階で剥がされている。この後、素材の背面に打面調整が施され、山形の打面が作られている。打面調整後、作業面から2枚の目的的剥片が剥がされているが、形の整った剥片は取られていない。

**JBH-81(図71、図版39)**

**剥離順序：266—[85]**

石核と打面調整剥片の計2点で構成される母岩9の接合資料である。石核BH85は厚みのある板状剥片を素材としている。背面は打面調整などによって形成された剥離面を除くとほぼ大半が自然面で覆われている。おそらくものとの疊から初期に剥離された板状剥片であったと思われる。

剥片剥離は板状剥片の打面を作業面として設定し、石核BH85の背面の中央付近を打点として、ほぼ直線的に後退させながら行われている。また、打面調整は基本的に石核の正面が山形を呈するように、打点付近が頂点となるようにその左右にそれぞれ1、2回程度の剥離を行っている。石核の作業面にはステップ・フラクチャーが著しい複数の剥離面が残されているが、これは2度の加撃によって形成されたとみられる。先行する剥離面は、接合した打面調整剥片BH266の打面と同一の剥離面で、ほぼ石核幅いっぱいに剥離が及んだことがうかがえる。接合状況から考えると、この時の打点はおそらく打面調整によって形成された2面の剥離面がなす稜上あたりに設定されたものとみられる。取得された剥片は横形の有底剥片であったと考えられる。この剥離の後、石核の作業面側からみて左側に打面調整が行われ、BH266が剥離されている。この打面調整によって形成された剥離面ともう一方の剥離面(前段階の打面調整によって形成されたもの)の2つの剥離面によって石核の正面観は山形に整えられたことになる。この中央頂部の稜線付近を打撃して剥片の取得が図られるが、剥離は底面にまで及ぶことなく、ステップ・フラクチャーを起してしまっ

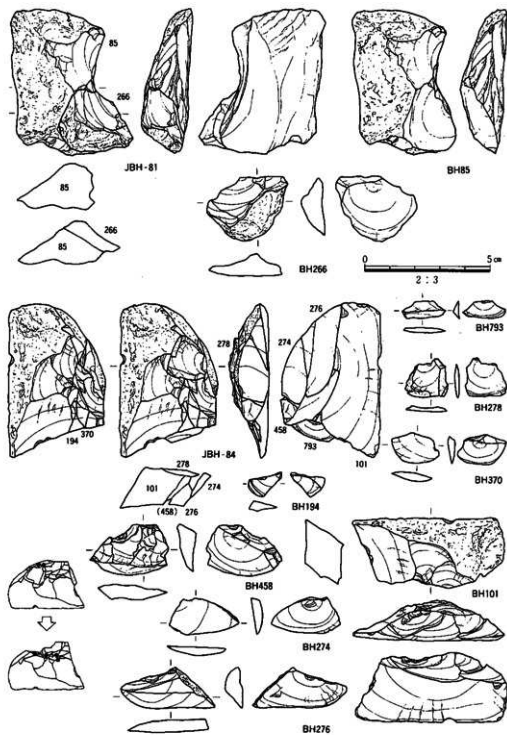


图71 接合資料JBH-81・84実測図

たようである。石核にはこれ以上の調整は行われず、放棄されたものと思われる。

本接合資料は板状剥片を素材とすること、その打面側から剥離を進行させること、石核の正面が山形を呈するように打面調整が行われていること、打点がほぼ直線的に後退することなどからみると、瀬戸内技法第2工程の手順をほぼ踏襲している。ただし、この石核は中途で放棄されたものであり、取得された剥片も数枚程度とみられる。したがって、当初から一貫した瀬戸内技法の実施を企図していたかどうかは不明である。

#### JBH-84(図71、図版39)

剥離順序: □—274—278—276—458—370—194—[101]

L-793

石核と剥片 7 点の計 8 点で構成される母岩 9 の接合資料である。石核BH101と剥片 BH194・276・278・274・370・458はひとつの板状剥片に復元される一群で、BH793はそれとは異なる別の板状剥片から剥離されたものである。

剥離順序はまず板状剥片を剥離した石核から石核BH101と剥片 6 点のグループが属する板状剥片、そしてBH793の属する板状剥片の順で剥離が行われたものと思われる。BH793は小型の横形剥片で、石核調整か打面調整のために剥離されたものとみられるが、この 1 点のみの接合であるため、詳細は不明である。

石核BH101と剥片 6 点で構成される一群は、厚みのある板状剥片の打面を作業面として剥片剥離を行っている。素材の背面側の中央部には剥片剥離の途中で行われた打面調整による剥離面が残されているが、もとの板状剥片の背面は、打面側からみて右側縁部に残る先行する板状剥片の剥離によるネガティブな剥離面と自然面で構成されていることがわかる。剥片剥離当初の石核の正面観はこのネガティブな面と自然面によってほぼ山形を呈していたとみられる。

最初の剥離はこの頂部を打点としており、BH274が剥離されている。BH274は自然面を打面とする横形の有底剥片で、背面はもとの板状剥片の打面に相当する。ただし、剥離は石核の底面にまでほとんど及んでいない。続いて作業面側から打面調整剥片BH278が剥離される。この剥片の背面には同方向のネガティブな面も認められることから、このBH278を含めて複数回の打面調整が行われたことがわかる。この打面調整の後、BH276が剥離される。これは横形の有底剥片で、打面は剥離時に消失したものとみられる。また、この際に、同じ打点から同時割れによってもう 1 枚の薄い剥片が剥離されている(この剥離面は石核BH101の作業面に残されている)。BH274とBH276は石核の上面からみて打点を左方向

にスライドさせている。続いて今度は打点を大きく右方向にスライドしてBH458の横形の有底剥片が剥離されている。BH276の背面は石核底面のほかにBH274の剥離時のネガティブな面とともに板状剥片の打面の複数面で構成され、BH458の背面も石核底面のほかに先行する複数のネガティブな面で構成されている。これらの剥離の後も、石核上面からみて右側を中心にBH370、BH194が連続して剥離されている。しかし、いずれも小型の横形剥片で、その剥離は石核底面にはほとんど及んでいない。また、BH194は剥離時に垂直割れを起している。剥片剥離作業はここまでで、石核BH101が残されている。

以上のように本資料は打面と作業面を固定し、途中で打面調整を介在させ、打点を横位にスライドしながら剥片剥離を進行させていることがわかる。こうした剥離技術による剥片は、その背面に先行する複数のネガティブな面を有するばあいが多いが、本資料もそうした特徴を有している。また、剥片剥離に際し、石核底面の付着を意図したこともうかがえる。

### (3) 石核(図版40・41・45)

母岩1のBH30は背面に自然面をもつ大型の剥片を素材とし、素材の主要剥離面にある強く波うったリングの高まりを打面として、小さな剥離が行われているが、その際、潜在割れによって折れてしまっている。

母岩7のBH197は板状剥片を素材とし、素材の背面側に打面調整を行って石核の正面観を山形に整形し、横形の有底剥片を剥ぎ取っている。

母岩8のJBH-75は板状剥片を素材とし、素材の背面にある不規則な剥離面と打面調整による剥離面とがなす山形の稜付近の剥離面側を打撃して、横形の有底剥片を取ろうとしたものであるが、打点から石核内部に割れが拡がり、垂直割れを起している。BH748は板状の有底剥片を素材とし、素材の折れ面を打面としてやや縱に長い剥片を4枚以上剥いだものであるが、素材の主要剥離面から背面へ、へし折るような力で折れてしまっている。

母岩9のBH103はあまり大きくない板状剥片を素材としている。素材の打面側には微斑晶の風化した凹みからフィッシャーが拡がり、素材の主・背両面に不規則な割れを生じている。石核の作業面はこれを避けて素材の側面側に設定し、素材の打面側からの先行する剥離か、あるいは打面調整によって作られたとみられる剥離面と、素材の背面とがなす山形の稜付近の剥離面側を打面として、複数回の打撃の後、バランスのとれた細身の有底剥片が剥ぎ取られている。BH204は板状剥片を素材として、素材の背面と打面調整による剥離面とがなす山形の稜付近の剥離面側を打面として、横形の有底剥片を剥がしている。BH23

は板状剥片を素材として、素材の背面側に打面調整を行い、横形の有底剥片を剥いでいる。統いて打面調整によって山形の稜をつくっているが、その後、潜在割れによって石核が折れてしまい、剥離作業を中止している。BH8は自然面を打面とした石核である。複数回の打撃が加えられているが、整った剥片は剥がれていない。また、この作業面の反対側にも打撃の痕があるが、粉砕してしまったようである。JBH-87は連続して取られた板状剥片を素材とする。石核と接合した剥片は打面調整時の折れによるものと考えられる。素材の背面側からの打撃で横形の有底剥片が剥がれている。その後、打面調整を意識したと思われる剥離が細かく行われているが、目的的剥片を剥いだようすはない。石核が底面側にある傷から折れてしまったせいであろうか。

母岩9'のBH701は背面に自然面をもつ板状剥片を素材として、素材の背面側に打面調整によって山形の稜を作り、横形の有底剥片を剥ぎ取っている。この後、この作業面の左側でも剥離作業を行っている。

母岩10のBH2は板状剥片を素材とし、作業面の左側縁に自然面を、右側縁に折れ面をもつ石核である。素材の背面側に打面調整を施して山形の稜をつくり、細身の横形の有底剥片を剥がしている。

母岩16のBH165はツイン・バルブをもつ比較的小さな剥片を素材とし、素材の背面側に打面調整を行って山形をつくり、横形の有底剥片を剥ぎ取ろうとしたものであるが、ツイン・バルブの片方の潜在割れのために、整った有底剥片は取れなかつたようである。

母岩19のBH155は連続して剥離された大型の板状剥片を素材として、素材の主要剥離面先端部を打撃して横形の有底剥片を剥がしている。BH25は背面に自然面をもちつつ著しくヒンジした板状剥片を素材とし、自然面側を頻繁に打面調整して山形の稜をつくり、横形の有底剥片を剥ごうとしたものである。

#### (4) ナイフ形石器と剥片の接合資料

##### JBH-51(図72、図版41)

剥離順序：520+755-768(ナイフ形石器)-619

板状剥片の主要剥離面を底面とする横形の有底剥片の連続剥離によってナイフ形石器が生産されたことを示す母岩9の接合資料である。素材の背面左側縁には自然面が残っている。

BH520+755は線状打面の横形の有底剥片で、BH520を剥離した際に、先行する打撃によって生じた潜在割れを取込んだためBH755が打点から折れている。背面には同一打点の

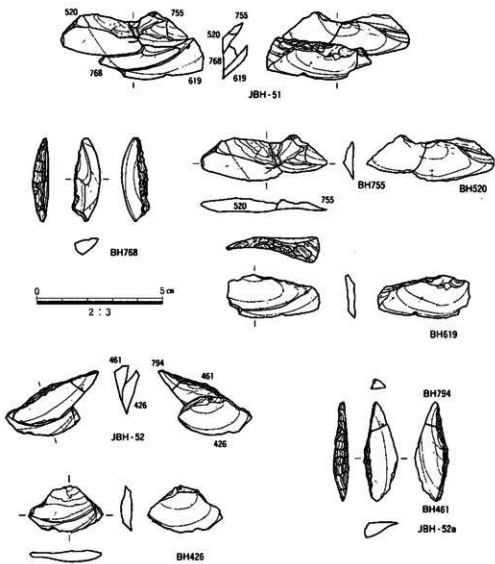


図72 接合資料JBH-51・52実測図

先行剥離面が認められるが、BH520とBH755の接合部でリングが大きくうねっており、これらは同時に剥離されたものであった可能性が高い。この剥離面の左右両方に、さらに古い剥離面が残っているが、やはり同一方向の剥離面で、連続した有底剥片剥離を想定することができる。打面につながる剥離面が主要剥離面右側に残っているが、その打点は遠く、かなり早い段階に行われた作業面からの打面調整によるものと思われる。BH520・755に

はともに、剥片の先端部に微細な剥離痕が認められるが、使用痕であるかは確定できない。BH520+755の剥離後に、一枚のごく薄い剥片が剥離されており、BH768の背面上半にその痕跡が残っているが、目的的剥片とは考えられない。

BH768は一側縁調整のナイフ形石器である。打面は背部調整によって完全に失われている。刃縁部の中央やや下が磨耗しており、使用痕と考えられる。BH619はBH768に統いて剥離されたもので横形の有底剥片である。打面は調整打面で、打点の左右に先行剥離面を打面とした剥離を施し、山形に整形されている。ただし、頂部には平坦な剥離面が残されたり、そこに打点がある。この平坦な剥離面はネガティブな面で、底面とはほぼ並行し、石核の素材となった剥片の背面を構成したもの可能性が高い。

#### JBH-52(図72、図版41)

剥離順序：JBH-52a(461+794：ナイフ形石器)-426

石核のポジティブな面を底面とする有底剥片の連続剥離によってナイフ形石器が生産されたことを示す母岩9の接合資料である。石核の素材はおそらく板状剥片であり、その主要剥離面を底面としたものと考えられる。

JBH-52aは一側縁調整のナイフ形石器で、先端部のBH794が折れたものである。素材剥片の打面側は背部調整によって完全に失われており、先行する剥離面も残っていない。刃縁部の上半は磨耗しており、使用痕である。BH426が剥離される前に、薄い剥片が1枚剥離されているが、ナイフ形石器の素材となりうるような剥片ではなかったであろう。BH461は横形の有底剥片で、打面側が破損し、さらに、背面右側は折れている。剥離時の事故によるものとも考えられ、ナイフ形石器には加工されていない。しかし、先端の中央付近には微細な剥離痕が連続して認められ、使用痕であると考えられる。

#### (5) ナイフ形石器(表25、図73・74、図版42~44)

出土したナイフ形石器は34片・接合後の実数30点である。その中には1個のナイフ形石器が折れて分割したものを接合した資料が4点(JBH-24a・52a・77・86)あり、さらに、上述したように、素材剥片の剥離過程を示す接合資料が5点(JBH-2・24・48・51・52)ある。出土したナイフ形石器のほとんどは最大長4cm以下で、小型のナイフ形石器である。石材はチャート1点(BH298)を除きサスカイトである。しかも、1点を除きすべて石器集中部LC1301・1302内で出土し、その1点もごく近くで出土している。他の調査地出土のものも含めて、それぞれの計測値、観察結果を表25に示す。

まず、素材剥片の形態は、圧倒的に横形の有底剥片が多く、26点を数え、1点は横形剥

表25 ナイフ形石器一覧表

遺物番号	接合番号	遺構	素材剥片	断面 状況	調整部位	背部調整	刃端部 調整	母岩	最大長 (cm)	最大厚 (cm)	重量 (g)	備考
BD74				二側棱	主→背	主→背	Sq	(2.79)	0.89	0.37	(0.74)	
BE196				二側棱	背→主	背→主	Sq	(3.16)	2.35	0.57	(5.88)	
BH379-799	JBH-77	LC1301	彫影有底	二側棱	背→主	背→主	Sq04	(5.12)	2.11	0.90	(6.69)	底面はN
BH382		LC1301	彫影有底	複数	側棱	対向	Sq04?	3.29	1.45	0.50	2.14	
BH388		LC1301	彫影有底	P	一側棱	対向	Sq06	(2.97)	0.84	0.46	(1.07)	
BH132		LC1301	彫影有底	P	一側棱	対向	Sq09	1.11	0.68	0.32	(2.52)	
BH461-794	JBH-52a	LC1301	彫影有底	P	一側棱	対向	Sq09	3.81	1.35	0.62	2.02	使用痕
BH725		LC1301	彫影	—	一側棱	背→主	Sq09	(2.15)	1.10	0.34	(0.63)	
BH768	JBH-51	LC1301	彫影有底	P	一側棱	対向	Sq09	3.26	0.99	0.57	1.87	使用痕
BH432		LC1301	彫影有底	P	一側棱	対向	Sq09?	(2.51)	1.16	0.60	(1.49)	使用痕?
BH485		LC1301	彫影有底	N	一側棱	対向	Sq09?	(2.79)	0.97	0.43	(1.28)	
BH401		LC1301	彫影有底	P	一側棱	対向	Sq13?	3.29	1.21	0.51	1.77	
BH682		LC1301	彫影有底	P	一側棱	対向	Sq13?	(2.91)	1.46	0.41	(1.57)	使用痕?
BH424		LC1301	彫影有底	P?	一側棱	対向	Sq18	(3.52)	1.50	0.47	(2.81)	
BH445		LC1301	彫影有底	P	一側棱	対向	Sq18	(3.38)	1.45	0.68	(2.68)	
BH134	JBH-48	LC1301	彫影有底	P	一側棱?	主→背	Sq09	(2.50)	1.34	0.71	(2.00)	両茎形?
BH387		LC1301	彫影有底	?	一側棱?	背→主	Sq18	(2.93)	1.76	0.71	(2.96)	
BH157-764	JBH-86	LC1301	石刃状	—	基部	対向	Sq01	(3.64)	1.83	0.42	(2.39)	
BH225		LC1301	彫影有底	P	一側棱	対向	Sq01?	3.33	0.74	0.33	0.91	
BH532		LC1301	彫影有底	P	二側棱	対向	Sq09?	(2.63)	1.05	0.36	(1.27)	
BH332		LC1301	彫影有底	P	二側棱	対向	Sq14	3.36	0.98	0.61	1.66	
BH390		LC1301-02断面	彫影有底	N?	二側棱	対向	Sq16?	(2.86)	1.12	0.44	(0.97)	
BH318		LC1302	彫影有底	P	一側棱	対向	Sq01	3.35	1.04	0.53	1.38	
BH288	JBH-02	LC1302	彫影有底	P	一側棱	対向	Sq02	(3.82)	1.46	0.68	(2.68)	
BH180		LC1302	彫影有底	複数	一側棱	背→主	Sq06	3.12	1.01	0.52	(1.20)	底面のPNは不明
BH282		LC1302	彫影有底	P?	一側棱	対向?	Sq07	(2.31)	0.79	0.36	(0.68)	風化が著しい
BH129		LC1302	彫影有底	P	一側棱	対向	Sq09	3.81	1.15	0.49	1.68	
BH287		LC1302	彫影有底	P	一側棱	対向	Sq09	2.46	0.86	0.40	0.69	再整形、使用痕
BH288-289	JBH-24a	LC1302	彫影有底	N	二側棱	背→主	Sq06	5.10	1.83	0.71	5.83	斜向状の調整
BH110		LC1302	彫影有底	?	二側棱	対向	Sq09	(3.24)	0.82	0.31	(1.16)	
BH256		LC1302	石刃状	—	二側棱	対向	Sq11	3.18	0.94	0.35	1.84	
BH258		LC1302	石刃状	—	二側棱	対向	Sq14?	2.75	0.91	0.34	0.94	

凡て底面状況: Pはボジティブな面、Nはネガティブな面を示す。背面・刃部調整跡: 斜面に背面側へ削離したこととを示す。母岩: 岩はセスカイトを示す。

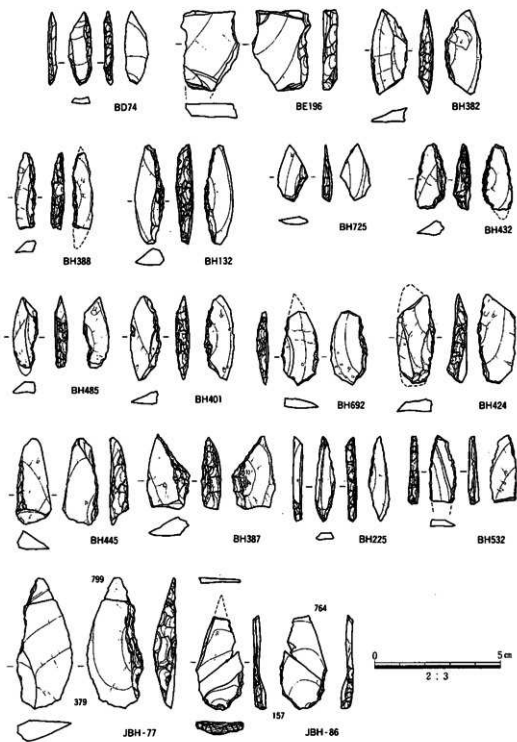


図73 ナイフ形石器実測図（その1）

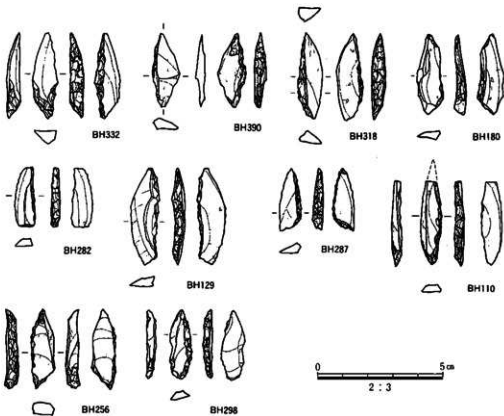


図74 ナイフ形石器実測図（その2）

片である。石刀状剥片を素材としたといえるものは3点のみである。このことは、素材剥片の剥離過程を復元できる接合資料をみても明らかなどおり、瀬戸内技法との関連性を示唆するものであろう。さらに、有底剥片の底面は、微妙な特徴を捉えたものも含めて19点がポジティブな面であった。こうしたことから、小型のナイフ形石器の主たる素材は、板状剥片の背面側を打撃し、その主要剥離面を底面に取込んだ横形の有底剥片であったことがうかがえる。

次に、調整部位に目を向けると、欠失のため可能性にとどまるものを含めて、30点のうち21点が一側縁調整で、8点が二側縁調整、1点が基部調整である。素材剥片の形態別にみると、石刀状剥片を素材とするものには一側縁調整ではなく、二側縁調整か基部調整である。横形の有底剥片を素材とするものでは、26点のうち21点が一側縁調整で、5点が二側縁調整である。

背部の調整方向では、素材剥片の背面と主要剥離面の両方から行い、背部中央で両方か

らの剥離面が交錯する対向調整剥離(松藤 1980)が多く見られることが特徴である。ただし、対向調整剥離としたものには、両面からの剥離が全面にわたって細かく密に施されたために背部の断面中央が山形に突出するもの(BH287・388・532など)と、一方の面からの剥離が部分的にしか施されなかったもの(BH225・432など)がある。また、前者の細密な剥離は、特に素材剥片の剥離軸付近で顕著であり、一方の面からの剥離面が比較的大ぶりで、対向する剥離面は細かく、先端がステップ・フラクチャーを起すようなものであることが多い(BH132・388・401・445など)。このような対向調整はナイフ形石器の幅を効果的に減ずるための作業と理解できる。その他の調整方向には、主要剥離面からのものと背面からのものがある。どちらにも、背部形成時の調整剥離面を打面として、再度反対側へ細部調整を行ったナイフ形石器がある。BH134は先に主要剥離面から背面側へ剥離を行い、後にその剥離面を打面として主要剥離面側へ調整を施したものである。その結果、背部の断面中央は山形となっている。BH387は背面から同じ手順で調整したものである。これらは、角錐状石器の「後上調整剥離」(松藤 1980)と共通した状況になっているが、石器の幅を減ずるために単発的に行われたものと理解し、表24では先行する調整剥離の方向を優先して表記している。

二側縁調整のナイフ形石器のはあい、刃縁部側の調整方向も問題となるが、刃縁部側に対向調整剥離が施されたものはBH256のみで、多くのナイフ形石器の背部に対向調整剥離が施されていたのとは対照的である。これは、横形剥片を素材としたばあい、素材剥片の刃縁部側は剥片の先端部(縁)に当り、元来厚みがない部分に当るためと考えられる。

さらに、これらのナイフ形石器のうちBH287は、素材剥片の剥離軸に対してその主要剥離面左側に大きく偏ってナイフ形石器に加工されており、背部調整の中で基部の細部調整がもっとも新しいため、基部側が再整形されたものの可能性が高い。BH134も先端部側に形成された剥離面がほかの背部調整剥離よりも新しく、素材剥片の形状を大きく変えるものであることから、先端部の再整形の可能性が考えられる。

また、5点のナイフ形石器の刃縁部に、使用痕とみられる微細な剥離痕や磨耗した痕が確認できた。これらの小型のナイフ形石器は母岩9が3点、9'・13?としたものが各1点であり、同質母岩の多くの剥片と共に伴っていることから、2つの石器集中部が形成されたのと同時期に使用されたものと考えられる。

#### (6) 剥片どうしの接合資料

JBH-4(図版40)

自然面をもつ素材から、打点を横にずらしながら剥離された4枚の剥片であり母岩4の資料である。最後の大きな剥片には打面調整が行われている。石核の素材となる板状剥片を剥ごうとしたものであろうか。

#### JBH-5(図75、図版39)

剥離順序：170—31—198—249—(120+183)—192—293

剥片8点(うち1点は垂直割れを起しているので実数は7点となる)で構成される母岩9'の接合資料である。注目すべきことは、一見すると複雑な剥離段階をもつこの接合資料が、本来は1つの大型の板状剥片に復元されるということである。

まず接合図の各剥片の主要剥離面側をみると、BH31の左側縁部に残された大きなポジティブな面とそれに連なるBH293の左側縁部のポジティブな面、BH120の打面部右側に残されたポジティブな面を認めることができる。接合状況から推測するとこれらは同一の剥離面である可能性が極めて高い。このポジティブな面をもとの板状剥片の主要剥離面とすると、かなり厚みのある板状剥片であったことがうかがえる。また、接合図の背面側をみても、もとの板状剥片の背面はネガティブ・ポジティブ両方の大きな剥離面が認められ、同様の大型板状剥片が先行して剥離されていたとみられる。剥片剥離の順序は、まず最初に縦に長い大型剥片であるBH170が剥離され、次に打点を横位にスライドさせて大型の剥片BH31が剥離されている。BH31は打点から垂直割れを起している。BH31の打面部に見られる複数の小さな剥離面は、この大型剥片の剥離に先行するもので、打面調整か石核調整のために行われたものとみられる。次の段階を示す接合資料を欠いているため、断定はできないが、おそらく打面と作業面を入れ替えて剥片剥離が進行したものとみられる。それがかなり進行した段階がBH120+183・198・249の剥離時である。これらの剥片の背面にはいずれも打面側からの細かな剥離面が残されている。また、BH198・249はいずれも薄い剥片で、これらが目的的剥片であったとは思えない。BH120+183は逆に厚みのある剥片で、先の二者と比較しても大型品である。目的的剥片であった可能性もあるが、背面に残された打面側からの細かな剥離面の意味を考えると、BH198・249・120+183(剥離順)のいずれも打面調整剥片と考えておくほうがよいのかもしれない。BH120+183は垂直割れ面で接合する。その後剥片剥離が進行し、BH192・293の剥片が剥離されている。これらもやはり打面調整剥片であろう。

以上のように、本接合資料は大型の板状剥片から、最初にBH170とBH31の大型剥片を剥離した後、もとの板状剥片の打面側を作業面として、打面調整を介在させながら剥離

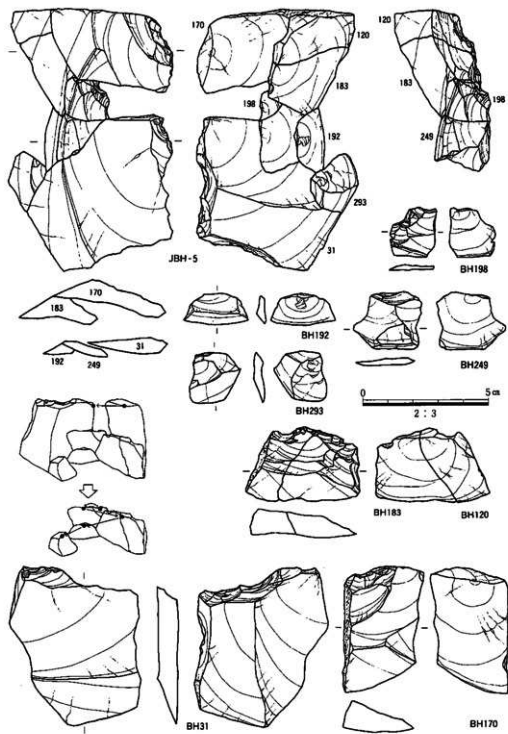


図75 接合資料JBH-5実測図

進行させたものとみられる。したがって、前述の2枚の大型剥片を除くと、他の剥片はいずれも打面調整剥片ということになる。つまり、剥離された目的的剥片と石核を欠いた残りが本接合資料である。接合状況から復元される剥片剥離技術は、打面と作業面を固定して、連続的に横形の有底剥片が取得されたことは理解できるが、瀬戸内技法第2工程のように打点を直線的に後退させていたのか、あるいは打点を横位にスライドさせながら後退させていたのか、いずれとも断じがたい。ただし、打面調整のあり方からみると、石核の正面観を山形に調整しようとする意図は読み取れる。前者の可能性がありそうである。

## JBH-21(図版38)

ネガティブな剥離面を打面として、打点を横にずらしながら連続的に剥がされた剥片4点が接合した母岩12の資料である。剥片の背面に当る素材の面は大きなポジティブな2面の剥離面と小さなネガティブな剥離面とからなる。石核の調整剥片かと思われる。

## JBH-43(図版39)

6点の剥片(うち折れ面接合が1組あるので実数は5点)で構成される母岩9の接合資料である。この接合資料には2つの剥離段階が包括されている。すなわち、板状剥片剥離時に由来するものと、その板状剥片を素材とした石核の剥片剥離に由来するものである。BH419・512・626の一組とBH346、BH91+758の一組はそれぞれ別の板状剥片から剥離された剥片である。

板状剥片の剥離順序は前者から後者である。まず前者の板状剥片では、切合い関係からBH419の背面左側縁部の剥離面とBH512の背面中央の剥離面(これらは同一の剥離面である)が板状剥片の主要剥離面に先行する剥離面であることがわかる。この剥離面の形成後、打点は90°転移して板状剥片が剥離されている。この後、板状剥片は前述の先行する剥離面を作業面、主要剥離面を石核底面として、剥片剥離が行われる。剥片剥離に先立って、石核の打面部から作業面に細かな連続した調整剥離が施されており、BH419・512の背面打面側に認められる。おそらく打面縁部の調整を意図したものであろう。こうした段階を経て、BH419、さらに512の剥片が剥離される。これらはいずれも横形の有底剥片である。打面調整は施されていない。また、両者の打点移動は横位にスライドして行っている。この2枚の剥片の剥離後、今度は打面側から打面調整が施された上で、剥片剥離が行われている。また、BH626に先行して剥片が剥離されているが未検出である。統いてBH626が剥離されるが、この背面の打面側には細かな剥離面が打面から連続して認められる。おそらく前段階の剥片と同様に、打面縁部の調整を意図したものとみられる。もう一方の板状剥片に属

するBH346と91+758は、BH346の剥離時にBH91+758が同時割れを起したものである。BH419等の一群と同様の位置に作業面を設定し、剥片剥離を行っている。BH346の打面には剥離に先立っていねいな打面調整が施されている。BH346とBH91+758は1回の打撃によって剥離されている。

以上のように、本接合資料は2組の板状剥片を素材とした石核から剥離された剥片である。うちBH346とBH91+758の剥片剥離の詳細は不明であるが、BH419・512・626の一群は、打面と作業面を固定し、途中で打面調整をしつつ、打点を横位にスライドさせながら剥離を進行させる剥片剥離技術を想定することができる。

#### BH-47(図版40)

5点の剥片(実数4点)が接合した母岩9'の資料である。素材の作業面に設定された側は大きなネガティブな面と平坦なポジティブな面がみられ、側縁部には自然面が残されている。資料中もっとも早く剥離された剥片は自然面打面であるが、その後は打面調整を介在させて剥離をすすめている。接合した3枚の剥片と未検出のものを含めると、少なくとも6枚以上の剥片が、打面調整によって形成された剥離面と自然面とがなす後の付近から打撃されていることがわかる。資料中の3番目以降に剥離された剥片は、先端部に素材の平坦なポジティブな面が取込まれており、この面が石核の底面として意識されていたことをうかがわせる。こうした状況から、一連の剥離は作業面の調整を目的とした剥離と考えられる。特に前半の2枚の剥片の剥離は、石核底面を安定して取込むために打面と作業面の角度を適切な関係に補正する意味もあったようである。

#### (7)細部調整剥片・使用痕をもつ剥片(図版46)

母岩6のBH605は垂直割れと折れによって小さくなった剥片であり、1側縁に深形厚形細部調整が施され、刃部を形成している。

母岩7のBH437は二面調整打面の横形の有底剥片であり、主要剥離面の先端縁左側に使用痕とみられる剥離痕が連続的に並ぶ。

母岩9のBH67は粉碎打面の横形の有底剥片であり、先端縁に使用痕とみられる剥離痕がほぼ連続的に並ぶ。BH158は二面調整打面の横形の有底剥片であり、背面の先端縁右側に使用痕と見られる小さな剥離痕が並ぶ。BH42は剥離面打面の横形の有底剥片であり、背面先端縁に使用痕とみられる小さな剥離痕が並ぶ。BH587は粉碎打面の横形の有底剥片であり、主要剥離面の右側縁基部側と背面先端縁に使用痕とみられる小さな剥離痕が並ぶ。BH137は二面調整打面の横形の有底剥片であり、先端縁中央に使用痕とみられる小さな剥

離が並ぶ。BH227は背面の右側縁基部側に自然面をもつ剥離面打面の縦に長い剥片であり、先端縁に使用痕とみられる小さな剥離痕が並ぶ。

母岩9'のBH612は主要剥離面側の潜在割れから折れた剥片であり、主要剥離面の左側縁に浅形および深形で厚形細部調整による剥離面が並ぶ。BH577は多面調整打面の剥片であり、主・背両面の右側縁に使用痕とみられる小さな剥離痕が並ぶ。BH316は多面調整打面の横形剥片であり、背面の先端縁左側に使用痕とみられる小さな剥離痕が並ぶ。

母岩13のBH702は二面調整打面の横形の有底剥片であり、先端縁に使用痕とみられる剥離痕がほぼ連続的に並ぶ。

母岩18のBH645は背面右側縁基部側に自然面をもつ剥離面打面の剥片であり、背面の両側縁基部側に各1個所ずつの細部調整らしい剥離痕がある。また、同左側縁基部側には使用痕らしい小さな剥離痕が並ぶ。

#### (8)叩き石(図版47)

粗粒砂岩製のBH599は単純最大長13.2cm、単純最大幅8.4cm、最大厚6.6cmで、重さは837gである。長軸の両端に打撃痕があり、両端とも著しく潜在割れが入っている。大型の板状剥片を剥離するような、母岩の粗割りに使用されたものであろう。

中粒砂を主体とする砂岩製のBH361は単純最大長9.9cm、単純最大幅7.7cm、最大厚1.8cmの平面梢円型の扁平な叩き石であり、重さは175gである。長軸の一端に打撃による欠けがある。中型の剥片剥離に用いられたものであろう。

シルト岩製のBH416は単純最大長8.8cm、単純最大幅8.5cm、最大厚1.8cmで、重さは131gで、平面隅丸三角形の扁平な叩き石である。写真上端に顕著な打撃痕があり、打撃による欠けがある。さらにこの叩き石は、3方の先端部分が擦られている。これは素材中にある薄い石英脈の状況でわかる。平坦面では選択的風化によって周囲のシルトが減り、石英脈が突出しているのに対して、先端部では石英脈が周囲のシルトとともに同じ局面を作っているからである。この叩き石を擦ることに目的があったのか、別の対象物を磨くことに目的があったのかはわからない。

#### (9)受熱礫(図版47)

サスカイト製のJBH-8は熱を被って破碎した礫である。一面には受熱前に剥がされた大きな剥離面があり、石核として使用されたものが受熱したものかと考えられる。接合した石片が分布した7A-2~4区には別の母岩とみられる受熱礫(石片)も出土しており、この付近に炉があったと考えられよう。

### 3. LC1301～1303石器群の剥片剥離技術について(予察)

隣接して発見された石器集中部LC1301～1303の石器遺物は、出土層準、母岩別資料の分布、および接合資料の分布などの状況から、同時期に形成された有機的な関連をもつ一群とみることができる。これらの資料をとおしていえることは、瀬戸内技法、あるいはこれに類似するものが多数見られることである。そこでここでは、上述した石器遺物からみたLC1301～1303石器群の剥片剥離技術について、瀬戸内技法との関連で予察してみたい。

まず、瀬戸内技法の第2工程(松藤 1974)の資料、あるいはこれに類似するとみられる資料について、以下のA～Cに分類する。

A)瀬戸内技法第2工程の要件を満たす資料、すなわち、主として素材の主要剥離面を底面として、打面部の両端が石核の底面に接するように山形に整形し、打点が左右に著しい振幅をみせず、ほぼ直線的に後退しながら、石核の幅一杯に横形の有底剥片を剥離したものとして、接合資料のJBH-2と81がある。

B)作業面の幅全体には及ばないが、石核の打面部の一部を山形に調整して、横形の有底剥片を剥離しつつも、打点の位置が横位にスライドしながら進行するもの、さらに、石核と剥片が接合するものの未検出の部分が大きく、Aとして判定しきれない接合資料のJBH-1・5・13・24・28・34・43・44・48・65・84がある。

C)接合する剥片がないため、打点の移動などの詳細な状況は不明であるものの、残された剥離面からBのような状況までは想定可能なものとして、石核JBH-75、BH2・23・25・30・103・165・197・204・701がある。

BやCは、瀬戸内技法第2工程に見られる打面部調整のように、石核の幅全体に及ぶものとは限らないが、打面を山形に調整する意図がうかがえる。JBH-1は、1回は目的的剥片の打点を横位にスライドさせているが、これを作業面の補正と考えれば、Aとして理解できる。石核BH2・25・103は先行する剥片剥離の状況は不明であるが、正面観が整った山形を呈している。

しかし、JBH-28では両翼の打面調整は行われているが、先行する剥離面の平坦面を頂部に残す石核の正面観となっている。JBH-75およびBH204では素材背面の平坦面と打面調整による剥離面とが作り出す山形の稜付近を、BH30では強く波うったリングの高まりを叩いている。JBH-84では、最初の剥片は丸みのある自然面が打撃されており、その後に打面調整が行われ、打点を左右にスライドさせている。JBH-13・46の剥片剥離の過程では、目的的剥片が山形の稜とは無関係な平坦面を叩いて剥がされている。打点の後退に関しては、

JBH-13・43、BH701では打点を横位へスライドさせており、JBH-5でもその可能性を否定できない。これらは、Aでは理解しがたい。また、ほかの個々の石核からはその状況を読みとることが困難であり、今後、さらに接合作業等を進める必要がある。

次に、瀬戸内技法第3工程との関連でみると、Aの剥片剥離技術で剥離された目的的剥片は、当然のことながら翼状剥片で、それを素材とするナイフ形石器は国府型ナイフ形石器といえよう。さらに、Bの場合も、目的的剥片そのものは翼状剥片とまったく同一の形態的特徴を有するものとなっている。JBH-48・51で生産されたナイフ形石器は、これらの横形の有底剥片を素材としたもので、翼状剥片素材のナイフ形石器とは区別できない。石核の状況は不明であるが、JBH-52のばあいも同様である。また、接合しない他のナイフ形石器でも、横形の有底剥片素材のものは、翼状剥片素材のナイフ形石器と区別することが困難である。加えて、ナイフ形石器以外の細部調整剥片や使用痕をもつ剥片でも、横形の有底剥片が多用されている。

さらに、瀬戸内技法第1工程との関連でみると、先行剥離面を打面として次の剥片剥離を行う交互剥離の典型的な姿を連想させる資料が欠如している。石核の素材となる板状剥片を剥離したとみられる資料にはJBH-42・49があるが、42は打面をスライドさせて同一打面から剥片を連続剥離しつつ打面と作業面を入れ替えながら剥離しており、典型的な交互剥離とは異なっている。49は自然面打面からの連続剥離である。第1工程について言及するには、素材の流理方向と剥離面の関係を検討する必要があるが、今後の課題としたい。

一方、瀬戸内技法との関係を明らかにしがたいものには、JBH-3・23・87、BH8・155・748がある。JBH-3は打面と作業面を入れ替えて交互に剥離を行ったとみられる資料であり、目的的剥片をどちらかの側に特定できない。JBH-23のひとつの石核は打面調整がなく、有底剥片が取られていない。また、もうひとつの石核からは、折れ面を打面として石刃状剥片が連続して剥離されている。BH748も折れ面から石刃状剥片が連続して剥離されている。BH155は素材の主要剥離面の平坦面から有底剥片が剥離された石核である。BH8は平坦な自然面打面の石核である。JBH-87は打面の準備の状況がよくわからない石核である。加えて、ナイフ形石器でもJBH-86、BH256・298は石刃状剥片を素材とし、瀬戸内技法との関連がない。なお、BH298はチャート製である。

以上を通してみると、LC1301～1303の石器群が、瀬戸内技法の技術的伝統を継承しながらも、サヌカイト原産地の国府石器群に代表される瀬戸内技法とはいさか趣を異にしているといえる。すなわち、翼状剥片の連続生産という意識が必ずしも貫徹したとはい

いがたいところがあること、打面準備やその調整が多様であることなどである。また、打面と作業面を入れ替える交互剥離や、打面と作業面を固定するものの打点を横位に移動しながら剥離を進行させるような技術が多く見られることも、瀬戸内技法を主体とした国府石器群とは異なるものといえる。ただし、そのばあいにおいても打面調整を工夫していることに注意しておく必要がある。また、ナイフ形石器に対向調整剥離が多用されていることも本石器群の特徴のひとつである。この点については、すでに松藤(1992)が指摘しているところでもある。こうした技術の多用は、八尾南遺跡第3地点の石器群(福田 1989)でも見られ、比較的新しい段階に比定されている石器群に見られることが多い。ナイフ形石器の大半は小型のものであり、チャート製のものも含まれている。しかも、石刃状剥片を素材としたナイフ形石器を伴っており、これも近畿地方のナイフ形石器文化の中では後出の石器群に多い(久保 1989・佐藤 1989)といわれている。こうした従来の研究成果を踏まえた上で、瀬戸内技法の成立から展開、消滅にいたる過程を検討していくことが必要である。並びに、原産地から離れた長原遺跡、八尾南遺跡での消費地遺跡における石器製作のあり方も重要な問題である。

不十分であるとはいっても、本石器群の検討を通じて、多数の接合資料からLC1301～1303で行われた小型のナイフ形石器製作について具体的に観察することができた。それは、剥片剥離過程において、個々の状況に応じて各種の石核調整が行われたものであった。しかし、その目的はナイフ形石器の素材に適した有底剥片の取得をめざしたものといえ、剥離された有底剥片は共通した形態的特徴をもつナイフ形石器へと加工されている。今後、瀬戸内技法とこれに類似しているとされてきた各種の有底剥片の剥離技術の実像、および、それらの関係をより具体的に明らかにすることが我々の課題である。

### 第3節 89-19次調査地の石器集中部

#### 1. 石器遺物の出土状況

##### (1) 地区割り(図76・77)

調査地を5m間隔で区画し、南東側からA・B・C…W区と呼んだ。石器遺物の目的的な調査は主としてU区を行い、断面観察用の畦をはずしてU区をV区側へ25cmずらした基線より1m単位で東南隅から西北隅へ1・2・3…5小区、1小区の北東に接する小区から西北へ6・7・8…10小区、同様にして順次番号を与え、20小区まで設定した。各小区は地区名と番号を合わせて、U-8区の例のように呼んだ。

##### (2) 石器集中部

長原13AB層とは識別しがたい12/13層漸移帯からは、U～V区で密度の高い石器遺物の集中範囲が見つかったほか、A～K区の13AB層の層準で石核と剥片が散漫な分布を示した(図8・76)。全石器遺物は1081点であった。

U区の石器集中範囲の中でも、U-8区からは高密度に石器遺物が出土し、水洗篩別による微細遺物の高密度の分布がみごとに重なったので、これを石器密集部LC1203と呼び、U区の石器集中範囲を密集部の名称で代表させて石器集中部LC1203と呼ぶ。すなわち、U-8区を中心にして、半径約2mの範囲から出土した石核7点(接合後の実数3点)、板状剥片を含む剥片1027点、および叩き石2点を石器集中部LC1203の石器群とした。土壌の洗浄篩別によって抽出した微細石器遺物はU-8区で1614点、捕集作業を行ったU区の20小区では合計3909点であった(図77)。

##### (3) 石材・母岩別の器種と分布

石器集中部LC1203にはサヌカイト・チャート・砂岩が残されていた。後2者は叩き石である。サヌカイトは単純最大幅が1cmかそれ以上のもの499点の内498点について、母岩21～26に分類した。母岩21は110点(22%)、22は58点(12%)、23は119点(24%)、24は64点(13%)、25は4点(1%)、26は144点(29%)であった。ただし、母岩25と26は酷似し、同一母岩の可能性が高い。また、残りの1点は母岩4に類似していた。全石器遺物中の剥片の比率は99%を占め、極めて剥片の多い石器集中部であるといえる。石核は母岩21が4点(実数2点)と23が4点(実数1点)であった。

母岩別資料の分布(図78)をみると、母岩21ではU-8区の南東部を中心として、その北

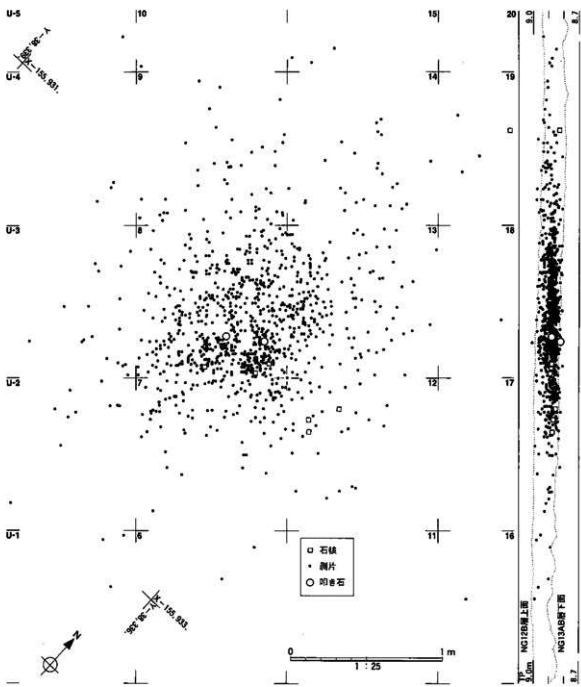


図76 石器集中部LC1203の状況

西側に拡がるようにみえる。母岩22ではU-8区を中心として、やや南北に長く拡がるようにみえる。母岩23ではU-8区の南東部を中心にして周囲に拡がるようによくみえる。母岩24ではU-8区を中心として周囲に拡がるようによくみえる。母岩25は4点ともU-8区にある。母岩26はU-8区を中心にしてその南東側に拡がるようによくみえる。しかし、小さな違いを除けば、どの母岩の遺物も、集中部全体の拡がりと同様に、U-8区に集中し、周辺へ拡散しているといえる。サヌカイトの母岩別遺物の分布の偏りはなさそうである。一方、石核は6点(実数2点)がU-8・12・13区に接近して分布し、接合しない1点が少し離れたU-19区から出土した。また、叩き石は2点ともU-8区から出土した。

#### (4) 接合資料の分布

主な接合資料の分布(表26、図79・80)をみると、母岩21では、剥片10点が接合したJBB-20は7点がU-8区にあり、2点が近接したU-9・13区に、1点が離れたV-16区にあった。また、剥片30点が接合したJBB-24は17点がU-8区にあり、8点がU-7区に、2点がU-14区に、残り3点がU-1・4・13区にあって、全体としてU-8区を中心にやや南北に長く拡がるようであった。石核2点と剥片21点が接合したJBB-37は石核2点と剥片11点がU-8区に、剥片7点がU-13区に、残りの剥片がU-2・7・12区にあり、全体としてU-8区を中心にやや南北に長く拡がるようであった。石核1点と9点の剥片が接合したJBB-62は剥片5点がU-8区にあり、残りの剥片4点がU-7・9・13・14区に、石核がU-19区にあって、U-8区を中心にやや北に偏る傾向が見られた。

母岩22では、石核1点と剥片28点が接合したJJ-1は剥片14点がU-8区にあり、7点がU-13区に、2点がU-2区に、残り5点がU-6・7・9・14・15区にあって、全体としてはU-8区を中心にやや南北に長く拡がるようであった。一方、石核BE203は前述したように89-23次調査地から出土したものであり、出土地点はU-8区からは約42m離れていた。

母岩23では、38点が接合したJBB-16は、2枚の板状剥片JBB-16a・bが接合したものであり、石核4点(接合後の実数1点)と剥片6点が接合した16aは石核3点と剥片2点がU-

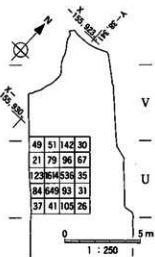


図77 LC1203の捕集遺物の個数

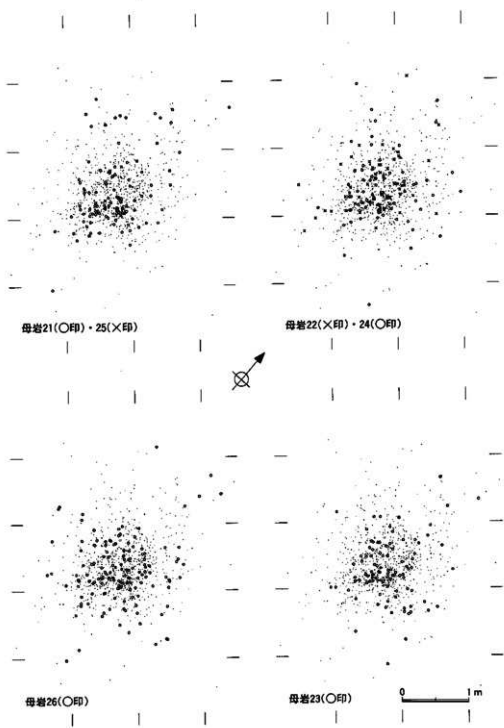


図78 LC1203母岩別資料の分布

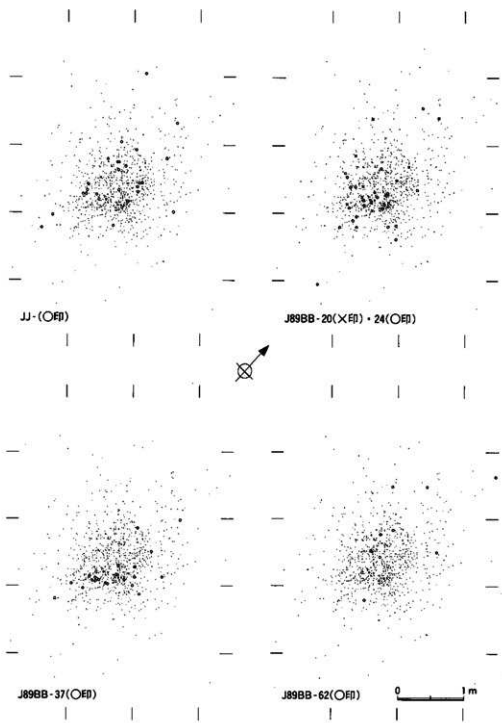


図79 LC1203接合資料の分布（その1）

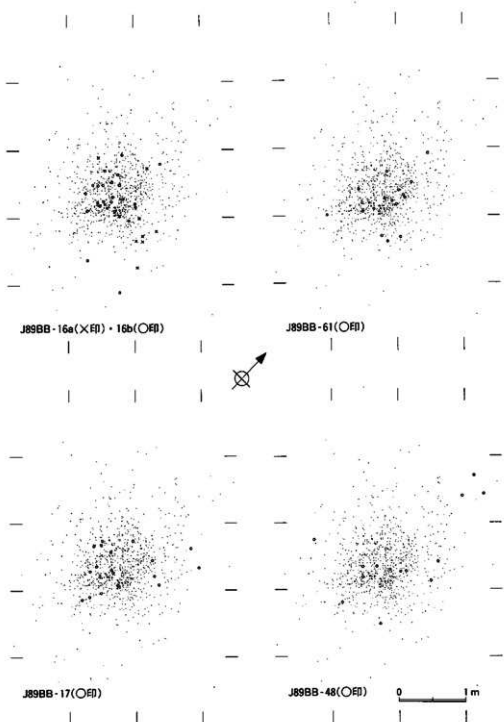


図80 LC1203接合資料の分布（その2）

12区にあり、石核1点と剥片3点がU-8区に、剥片1点がU-13区にあって、唯一U-8区に中心をもたない接合資料である。剥片28点が接合したJBB-16bは19点がU-8区にあり、各3点がU-7・13区に、残り3点がU-2・6・16区にあった。また、JBB-16全体ではU-8区が中心であった。剥片16点が接合したJBB-61は7点がU-8区にあり、5点がU-13区に、2点がU-7区に、残り2点がU-3・12区にあって、全体としてはU-8区を中心いてやや南北に長く拡がるようであった。

母岩24では、剥片18点が接合したJBB-17は11点がU-8区にあり、5点がU-13区に、2点がU-7区にあって、U-8区からやや北東に拡がるようであった。

母岩26では、剥片14点が接合したJBB-48は各4点がU-8・14区にあり、各2点がU-7・19区に、各1点がU-3・14区にあって、U-8区から14区へ南北に拡散するようであった。

以上のように、JBB-16aを除く接合資料は、基本的にU-8区を分布の中心としており、U-12区の遺物数が最多の16aも、U-8区とは1点の差しかなく、16全体として捉えれば、U-8区に多い傾向は変わらない。しかし一方で、U-8区を中心としながらも、集中部全体が偏りがないのに比べて、集中部を構成する接合資料の多くが偏りのある分布を示しているのは、ひとつの特徴といえよう。

## 2. 石器遺物の観察

ここでは図版48・49・51・52の対になる遺物写真の左側をA面、右側をB面と呼んで、接合資料を概観する。なお、図版50の見方はJBB-16の項で述べる。

### (1) 母岩21の接合資料

#### JBB-24(図版48)

自然面をA面全面と周囲に残した素材から、連続的に剥離された剥片30点が接合した資料である。単純最大長10.1cm、単純最大幅5.4cm、最大厚2.2cmである。

この資料に見られる最初の打撃は、素材の長軸に斜行した方向からB面左下角に行われ、B面の半分以上に及ぶ3つに折れた縦に長い大きな剥片が取られている。次にB面上縁右の角に、長軸方向に複数の打撃が加えられ、3枚以上の縦に長い剥片が剥ぎ取られている。続いてB面右(A面左)側面上部から横形剥片が2枚以上剥ぎ取られた後、直前に剥ぎ取られた縦に長い剥離面との間を整形するように、A面左上部の2枚の剥片が取られている。次にA面左下角に打撃されて分厚い剥片が剥がされ、続いて下縁から小さな横形剥片と縦

に長い剥片が剥がされている。打撃は再びA面右側縁にもどり、3枚の剥片が剥ぎ取られている。この後、打撃はB面左(A面右)側縁に移り、側縁上方から中央へ4枚以上の横形剥片が連続して剥がされている。つづいて側縁下方から中央へ2枚以上の剥片が連続して剥がされている。

この資料のA面の接合状況は、失われた石核の片面が長軸方向に棱をもち、両端の縁に長い剥離面と稜の両側の幅広の剥離面で構成されることをうかがわせる。

#### JBB-20(図版48)

自然面を両側縁と上縁にもつ大きな剥片の主要剥離面の基端部付近から、連続的に剥離された剥片10点が接合した資料である。単純最大長5.7cm、単純最大幅6.1cm、最大厚3.1cmである。

この資料に見られるもっとも古い剥離面は、B面右下半部にある大きな剥離面かと思われ、先端が少しヒンジした剥片が右下方からの打撃によって剥がされている。また、B面左にも剥片の先端に当る剥離面があり、左下方から剥片が取られている。これらの後、B面左上角にある剥離面がつくられ、これに統いて同位置からB面左上部が剥離されているが、素材剥片の打点からの潜在割れに沿ってヒンジし、剥離は深くまで及んでいない。次に打面をB面右側縁に移し、側縁上方から下方に向けて連続的に大小の剥片を4枚以上剥離し、A面左の横形剥片が剥がされている。この後、上縁に打撃が加えられ、2枚の剥片が剥がされている。

この資料のA面の接合状況は、失われた石核の片面が幅広の剥離面で構成されていることをうかがわせる。なお、この接合資料と同一母岩であるJBB-24の下半部とは、形態および剥離過程が類似していることから、接合こそしていないが、本来は背面に自然面をもつ同一の板状剥片であった可能性がある。

#### JBB-37(図版48)

B面左側縁下にある古い剥離面と残りの四周に自然面をもつ板状剥片から、2点に分割した石核と21点の剥片とが接合した資料である。単純最大長10.8cm、単純最大幅8.1cm、最大厚2.4cmである。素材の板状剥片は主・背面とも同じ側縁から打撃されており、連続した横形の板状剥片剥離がうかがえるが、主要剥離面(B面)はツイン・バルブをもち、このことがこの資料の剥離作業に致命的な事故を引き起している。

素材の板状剥片への打撃順序は正確にはわからないが、A面右側縁中央(素材の背面先端)が比較的早い段階で剥離され、連続して下縁まで剥離されている。この後、A面上端から

はじまり、右側縁に沿って上方から下方へ行われたほぼ連続的な2回の剥離作業があり、6枚以上の剥片がとられている。このとき、割れきらなかった小さな潜在割れが出来ている。A面左側縁にも剥離面が並んでいて、同様な作業が行われている。ところが、この過程の最後の打撃では、打撃角が定まらなかったのか、ツイン・バルブの古い潜在割れに沿ってB面側に割れが進み、素材の打点を取込む大きな剥片が取れてしまう事故が起っている。そのため、石核はB面右側縁から中央が極端に薄くなってしまった。これと同時にA面側に加えられたのかもしれない。残された石核は単純最大長7.4cmにまで小さくなつたが、A面左側縁上方から再度連続的な剥離が行われ、4枚以上の小さな剥片が取られている。この後、B面左側縁の素材の主要剥離面先端の高まりを3回の打撃で除去し、続いて同じ位置のA面側を交互剥離の要領でB面左側縁下の古い剥離面の端から剥離しようとしている。この際、最初の打撃は打面が粉碎しただけだったので、次に少し奥を打撃したところ、剥離はもうひとつの側面まで達して石核を2分するような大きな剥片が剥がれてしまい、剥離作業は中止されている。

#### JBB-62(図版51)

B面が自然面でA面がポジティブな古い剥離面で構成された板状の剥片から剥離された剥片9点と残された石核が接合した資料である。単純最大長10.8cm、単純最大長6.2cm、最大幅2.6cmである。B面の右側下半部にあるステップを起した複数の古い剥離面がこの資料の剥離作業を困難にしたとみられる。

この資料に見られる最初の打撃は、素材剥片の主要剥離面に沿って上端から行われ、A面の半分以上に達する大きな剥離面が作られている。A面下端から左側縁にかけてと右側縁に打撃が加えられ、11枚以上の剥片が取られている。その際、事前にA面側から準備のための剥離が行われている。B面側の整形はその後行われ、B面上半部～左側縁から7枚以上の剥片が取られているが、B面右側縁で著しいステップを起し、剥離作業は中止されている。

#### (2)母岩22の接合資料

##### JJ-1(図版49)

B面に自然面を残す石核から剥片28点が剥がされた資料である。単純最大長13.8cm、単純最大厚8.3cm、最大幅3.0cmである。A面には上半部右にややポジティブな大きい面の一

部があり、左側縁中央少し上にもポジティブな面の一部が残っている。また、A面右下にも曲率の大きな剥離面があり、これらの面がもとの素材の主要剥離面であって、A面の右中央付近が肥厚していることから、素材はA面右側縁から打撃された横形の板状剥片であった可能性がある。B面左側縁下にはA面右下の曲率の大きな剥離面を打面にした小さな剥離面がある。

この資料に残る次に古い剥離の痕は、A面下部に残るB面下部の下縁から上方に向けて行われたものと、A面ほぼ中央に残るB面左下角付近から行われたものであり、比較的大きな剥片が取られている。次にはA面右上角付近から素材の中央に向って打撃が加えられ、2枚以上の剥片が取られている。この後、A面左側縁中央から下方に向って連続して打撃が加えられ、4枚以上の剥片が取られている。また、A面下縁から右側縁中央に向って2回の連続剥離が行われ、8枚以上の剥片が取られている。また、A面右側縁上部でも6枚以上の剥片が取られている。A面の剥離がひとまず終った後、B面の剥離に入っている。B面でも下縁付近を除く三周から断続的な剥離が行われ、16枚以上の剥片が剥がされ、最終の剥離はB面左上の潜在割れを取込んだ大きな剥離である。

この資料の接合状況は、剥離した剥片に目的があるのではなく、残された石核を目的として行われた両面調整石器の剥離過程の様相を呈していると考えられる。なお、この資料の剥片は6組の個別の接合資料として扱っていたものであるが、上述したように、U-8区から約42m隔たった89-23次調査地から出土した石核(両面調整石器)BE203と接合したものである。

### (3) 母岩23の接合資料

#### JBB-16(図版50)

分割した石核4点と剥片6点が接合した板状剥片JBB-16aと、剥片28点が接合した素材JBB-16bとが接合した資料である。単純最大長12.7cm、単純最大幅9.6cm、最大厚4.0cmであって、分割後のJBB-16aは、同様に11.6cm、8.0cm、3.7cm、JBB-16bは12.6cm、7.1cm、1.5cmである。ここでは図版50の小口側を上にみて、16aをAa・Ab面に、16bをBa・Bb面に呼び分けることにする。したがって、Aa面とBb面とがJBB-16の外面である。

JBB-16に見られる最初の打撃は、Aa面右側縁で行われ、2回目の打撃で右下半部に大きな幅広の剥離面ができている。次にはそのすぐ上方を同様に打撃しているが、打面が粉碎し、潜在割れが深くまで入ってしまったようである。そこで打面を反転し、JBB-16aが剥がされている。

JBB-16aはBa面の左側縁にある自然面を打面として、16bのAb面から剥がされた横形の板状剥片である。主要剥離面の先端(Ba面の左側縁)には先の潜在割れが現われ、不規則な末端となっている。16aの最初の打撃は素材剥片の打面のすぐ横で行われ、反対の側縁にとどく大きな剥片が取られている。つづいて、素材剥片の打面とほぼ同じ位置から、連続して4枚の剥片が取られている。一方、Aa面の右側縁中央付近には複数の小さな剥離面がつくられている。この時の打撃の影響か、その後の偶発的な事故により、Aa面中央から折れが折り、深い潜在割れに沿ってBb面にまで達して石核は2個に分割してしまった。Bb面下半部には右側縁から剥がれた2枚の剥片があるが、打点がなく、フィッシャーが収束しないことから、この折れに伴って割れたものと推定し、石核の部分に含めた。

JBB-16bはほぼ全周に自然面を残している。最初の打撃はネガティブなAb面の右側縁で行われたと推定され、複数の剥片を剥がしたあと、打点を上縁に移して縦に長い剥片が2枚取られている。その後、打面を下端に移し、Ba面の下端から大きな剥片を2枚以上取っているが、最後の剥片は長軸の3分の2にまで達した分厚い剥片である。その結果、上半部が分厚く残ってしまった。そのためか、打点を再び上半部にもどし、Ab面左側縁上部で2枚の剥片を剥がし、右側縁上部では4枚以上の剥片を剥がした後、上端から縦に長い大きな剥片を剥がしている。Bb面にその主要剥離面が見えている。引き続いて、Bb面右側縁上部で3枚以上の小さな横形剥片を、右側縁では4枚以上の横形剥片と2枚以上の縦に長い剥片を剥がしている。

JBB-16bの接合状況は、失われた石核の片面が長軸方向に棱をもち、一端からの縦に長い剥離面と稜の両側の幅広の剥離面で構成されていることをうかがわせる。この姿は上述した母岩21のJBB-24の姿とよく似ている。一方、JBB-16aは早くに剥離作業を中止しているので、製作意図を推定しがたいが、JBB-16bの初期の剥離段階と類似しているとみると大きな矛盾はなさそうである。

#### JBB-61(図版51)

B面中央と上縁にネガティブな大きな剥離面と左側縁にポジティブな面とネガティブな面および小さな自然面とをもつ素材から、連続的に剥離された剥片16点が接合した資料である。単純最大長9.0cm、単純最大幅7.8cm、最大厚1.3cmである。

この資料に見られる最初の打撃はB面左側縁の素材の自然面で行われ、B面左下(A面右下)の大きな剥片が剥がされている。同じ側縁のすぐ上で同様の剥片が剥がされた後、打面をB面右側縁に移し、縦に長い剥片が連続的に4枚以上剥がれている。剥片はいずれも複

数に折れているが、かなり長いものであり、最大のものは7.7cmである。

(4) 母岩24の接合資料

JBB-17(図版51)

B面左に自然面をもつ素材から連続的に剥離された剥片18点が接合した資料である。単純最大長10.6cm、単純最大幅9.0cm、最大厚2.6cmである。

この資料に見られる初期の打撃はB面下端で行われ、4面以上の剥離面が形成されている。次の打撃はB面上端で行われ、上端右付近・上端左外方からの打撃によってB面に2面の大きな剥離面が作られ、上端中央にも小さな剥離面が残された。この後、打面はB面左(A面右)側縁に移り、右側縁方向への打撃によって、縦に長い剥片が取られている。その後、打面は下端・上端にもどり、それぞれ4枚以上の剥片が取られている。最後の剥片は上端に打撃されて取られたA面中央の平面三角形の大きな剥片である。

この資料の最後の剥片1枚を除く接合状況は、失われた石核の片面が長軸方向に稜をもち、稜の両側の幅広の剥離面と一端にある剥離面とで構成されていたことをうかがわせ、最後の剥片剥離で、稜が偏ってしまったものとみられる。

(5) 母岩26の接合資料

JBB-48(図版52)

B面右側縁と上縁に自然面をもつ素材から連続的に剥離された剥片14点が接合した資料である。単純最大長8.0cm、単純最大幅6.8cm、最大厚1.7cmである。

この資料に見られる最初の打撃はB面右側縁に加えられ、5枚以上の大小の縦に長い剥片が連続的に剥離されている。次に打面は左側縁に移り、B面右中央に小さな剥離面を作り、続いて下端外方から、比較的大きな幅広の剥片を取っている。この後、打面は再びB面右側縁にもどり、縦に長い剥片が連続的に6枚以上剥がされている。この資料に見られる最後の打撃はB面上縁で行われ、2枚以上のやや大きな剥片が取られている。

この資料のB面上縁から剥離された剥片を除く接合状況は、失われた石核の片面が長軸に稜をもち、稜の片側に幅広の剥離面をもっていたことをうかがわせ、最後の剥離で、稜を偏らせたものとみられる。

(6) 叩き石(図版52)

チャート製のBB1126は単純最大長10.6cm、単純最大幅7.9cm、最大厚6.4cmで、重さは591gである。長軸の両端に打撃痕があり、一端には打撃による大きな欠けがある。砂岩製のBB531は単純最大長13.6cm、単純最大幅9.3cm、最大厚4.7cmで、重さは810gである。長

軸の下端に打撃痕らしい潰れがある。これらの叩き石はその大きさと重さから、大型の板状剥片を剥離するような、母岩の粗削りに使用されたものと考えられる。

### 3. 接合資料からみた目的物の検討

石核と剥片が接合したJJ-1とJBB-37・62では、共通して、素材の広く大きな剥離面から剥離が開始され、剥片剥離がある程度終ったところで、もうひとつの面の剥離が行われている。JJ-1・JBB-62のもうひとつの面は自然面であり、背面が自然面であるJBB-16bでも素材の主要剥離面から剥離が始まっている。片面に自然面をもつ板状剥片では、自然面の何がしかの丸みを利用して石核調整を行おうとする際には、平坦な剥離面から剥離するのが自然な選択であるといえる。また、JBB-37は素材の板状剥片の背面から剥離が行われているが、打面となった側面の自然面と背面とが、剥片を剥がしやすいやや鋭角な角度をもっていたからであろう。

片面の剥離過程について見ると、ほとんどの資料が素材の長軸の一端側に素材中央に向う最初の打撃が加えられている。JBB-16bと17の最初の打撃は長軸の側方から行われているが、16bでは次の段階で長軸方向の剥離が行われており、ともに長軸のもうひとつの端の剥離順序は不明である。したがって、比較的早い段階で長軸方向の剥離が行われたと考えられる。

剥片の剥離順序は一定しないが、1個所の剥離を先行させたようではなく、対向する位置を意識しながら、全体として、石核の形状を整えつつ剥離しているようである。

長軸に沿う打撃は縱に長い剥片を剥がしており、連続的に剥離された剥片は石刃の形態をもっている。一方、側方からの打撃によって剥がされた剥片は、横形剥片か長くない剥片がほとんどであり、その結果、長軸に沿う稜が石核の中央付近に作られている。

以上のことから、これらの接合資料は、JJ-1にみられるように、剥がされた剥片に目的があったのではなく、剥片は石核の調整剥片であると考えられ、長軸中央に稜をもち、両端の縦に長い剥離面と稜の両側の幅広の剥離面とで構成される両面調整石器が意識されていたと考えられる。

さて、出土層準からみて、LC1203の石器群は後期旧石器時代後半か縄文時代初頭の所産とみられるが、こうした両面調整石器を母型とする石器には尖頭器や有茎尖頭器がある。ただし、長原遺跡では有茎尖頭器が多数見つかってはいるが(田島 1993)、尖頭器は見つかっていない。上述の接合資料の中でもっとも剥離が進んだとみられるJBB-24の失われた

石核は、比較的細身である。

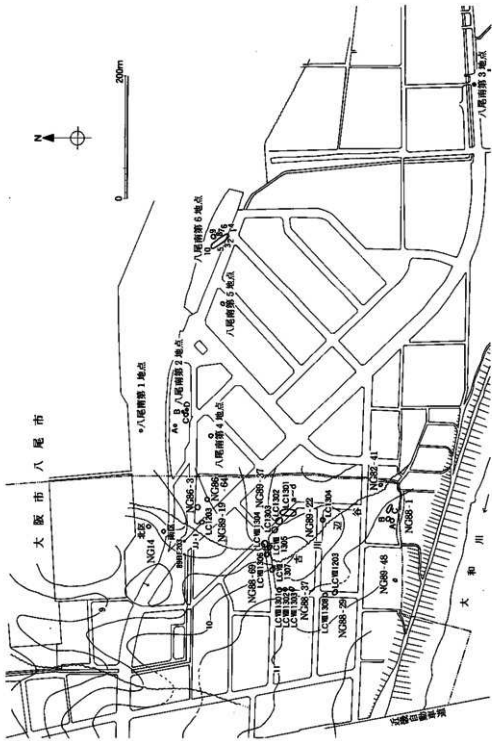
ところで、後述する89-23次調査地で見つかった有茎尖頭器BE201は、LC1203の剥片と接合したJJ-1の石核BE203とは約8m隔たって見つかっている。ここで興味深いのは、この有茎尖頭器の母岩はJBB-24の母岩21と酷似しており、両者は同一母岩であったと考えられることである。この有茎尖頭器をJBB-24に重ね合わせると、有茎尖頭器の形状とJBB-24の両面調整石器の姿とがよく調和する。微細な剥片による押圧剥離等の検討を今後の課題に残してはいるが、LC1203の接合資料が、有茎尖頭器の製作に係わる資料であった可能性を指摘しておきたい。

#### 4. 石器集中部LC1203の性格

石器集中部LC1203は完成された石器こそ見つからなかったものの、叩き石と石核があり、多数の微細遺物を伴っていて、発掘当初から、きわめて遺存状態のよい石器製作址と考えられてきた。確かに、JBB-16aの分布のように、幾分偏った分布を示し、製作址であったと想像させる接合資料もある。しかし、上述したように、母岩別・接合資料別・微細遺物のどの分布も、全体としてはU-8区を中心としている。

ところで、多くの接合資料がU-8区を中心にながらも、偏りのある分布を示していることは既に述べたとおりである。この分布と、剥片が圧倒的多数を占める石器群の組成、石核が破損したことであること、破損していない石核は他所から見つかっていることを説明するひとつの解釈としては、偏りのある分布が製作者の座位を反映しているとみるなら、この石器集中部は製作址であったと考えができる。未検出の製品や他所から見つかった石核は持ち出されたとみればよからう。これは一般的な解釈である。しかし、初期の段階は別としても、数100~1000点ものサヌカイトの鋭利な石片が積み重なった上で、当時の人びとは、胡座をかいて、あるいは立て膝をついて、石割りを行つただろうか。もうひとつの解釈として、石割りでた石片を最寄りからU-8区をめがけて投棄したと考えてみよう。分布が拡散しているものは少し遠くから、偏っているものは近くから、なめし革にたまたま微細遺物とともにである。すなわち、石器集中部LC1203はある段階から石片の廃棄場所として利用されたと考えるのである。

これらの作業仮説の当否は、接合資料の剥離順序と分布の関係の検討等、今後の研究を待たねばならないが、もしも後者の作業仮説が的を射ているならば、石器製作址はLC1203の周辺にあったことになる。ただし、古川辺谷の左岸にあって石核BE203が出土した89-



23次調査地では、石器遺物の集中個所はなかったので、U-8区に近い古川辺谷右岸の未調査地域の調査にその発見が期待されることになる(図81)。また、後期旧石器時代の後半か縄文時代の初期の人びとは、不要なものを特定の場所に廃棄する習慣を、既に身につけていたことにもなる。

## 第4節 89-22次調査地の石器集中部

### 1. 石器遺物の出土状況

#### (1) 地区割り(図82)

調査地を東西に1m間隔で区画し、西から1・2・3…137区と呼んだ。石器遺物の目的的な調査に当っては、各区をさらに1m単位で北から南にA・B・C…Eに区切って小区を設定し、各小区は地区とアルファベットを組合せて、130E区の例のように呼んだ。

#### (2) 石器集中部(図82)

長原12/13層漸移帯～13A層の層準には、125～132区南部の1箇所の石器密集個所を中心に、比較的まとまりのある石器集中範囲があり、91点の石器遺物が出土した。この石器密集個所と捕集遺物の密な分布がほぼ重なったので、これを石器密集個所LC1304と呼び、125～132区南部の石器集中範囲を密集部の名称で代表させてこれを石器集中部LC1304と呼ぶ。すなわち、130E区を中心に東西8m、南北2mの範囲から出土した石核1点・剥片90点の石器遺物を石器集中部LC1304の石器群とした。また、洗浄抽出による微細捕集遺物は130E区で244点、石器集中部全体では934点であった。

### 2. 石器遺物の観察

#### (1) 石器集中部LC1304内

##### 接合資料JBD-5(図版53)

この資料は見かけ上の石核2点と剥片5点が接合しているが、自然面で構成された外面からの打撃の痕は観察されず、内部のいくつかの風化した凹みか

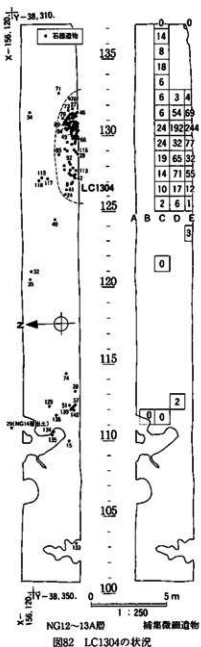


図82 LC1304の状況

らフィッシャーが抜がることから、なんらかの原因で同時割れを起したものと思われる。石核1点がLC1304の外から出土している。単純最大長12.7cm、単純最大幅9.3cm、最大厚6.0cmである。

(2) 石器集中部LC1304外

ナイフ形石器BD74(表25、図73、図版44)は114D区の長原13A層から出土した二側縁調整のナイフ形石器である。石刃状剥片を素材とする。

削器BD32(図版53)は横形の有底剥片を素材とした削器であり、写真上端の小さな折れを除くほぼ全縁に細部調整が施され、刃部が形成されている。素材の背面先端縁に連続する深形厚形細部調整は搔器の刃部を連想させる。写真下端から素材の打面側には主・背両面に浅形薄形～厚形の細部調整が施されている。120B区の長原13B層から出土したと記録されている。

## 第5節 有茎尖頭器・石鎌

### 1. 有茎尖頭器

大阪市内出土の有茎尖頭器については田島富慈美(1993)が集成し、剥離技術の検討を行っている。本項では1989年度の長吉瓜破地区土地区画整理事業闇で出土した1点の形状・加工の記載を田島(1993)から抜粋し、一部加筆した上で引用することにする。

BE201は田島(1993)が89-23次調査地の長原12層基底?から出土した資料7として記載したサスカイト製の有茎尖頭器である。本報告の知見では細分できない12/13層漸移帶~13層に当り、大きな矛盾はない。最大長7.35cm、最大幅2.25cm、最大厚0.78cmで、重さは10.18gである(図83、図版57)。

形状 体部は細長く、側辺は体部下半では直線的で、上半では外湾ぎみにすぼまっている。茎部は体部に比べて短く、末端は丸い。逆刺は下方へは突出しない。先端と体部側辺の一部は新しく欠けている。

加工 B面(実測図の右図)体部上半中央には古い剥離面が残されているが、これが素材の面かは不明である。先端付近ではA面(実測図の左図)左側は幅広、右側は細かい剥離が行われている。B面ではこの逆である。体部の加工はA面では左斜め下方・右斜め上方への穂状剥離が顕著で、下半では右側からの剥離が左側に深く入んでいる。このため桶状剥離以前の剥離面は残されていない。B面では左側の右斜め上方への剥離が体部下半で規則的に並び、もっとも茎部に近い剥離は中央の稜線より右側に及ぶ。茎部と体部との境は両面とも左右からの比較的大きな剥離で作られ、逆刺もこの剥離で作られる。その後茎部末端を形作る一連の剥離が行われている。逆刺を明瞭に下方に突出させるための剥離は認められない。

先端の側辺は、両側から交互にかなり細かく剥離されている。体部では両面ともに、左側辺の剥離は裏面の右側辺加工後、ていねいに行われている。茎部はB面の末端にのみ細かい剥離が見られる。両面ともに逆刺の右側辺には、体部加工のための剥離面が残っており、末端は意識して加工されてはいない。体部から逆刺にかけては左側辺のみに細かな加工が行われており、体部と逆刺の側辺の加工は一連であったと考えられる。

### 2. 石鎌

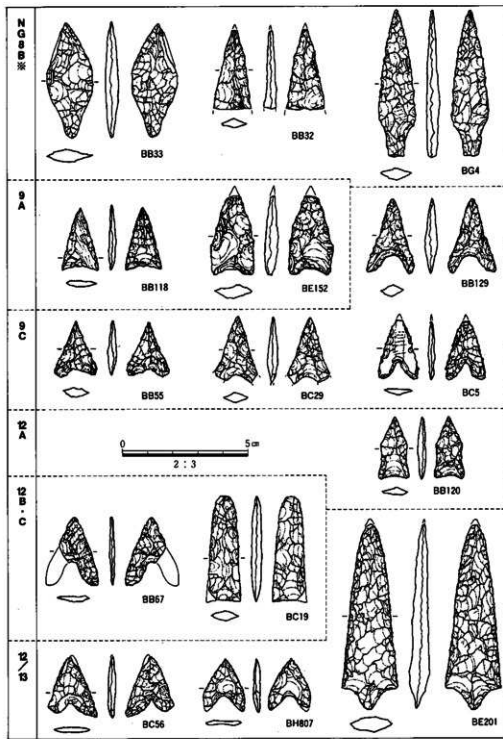


図83 石器・有茎尖頭器実測図

\* BG4は長原4BⅢ層出土の遺物資料であるが、BB32の参考のために掲載した。

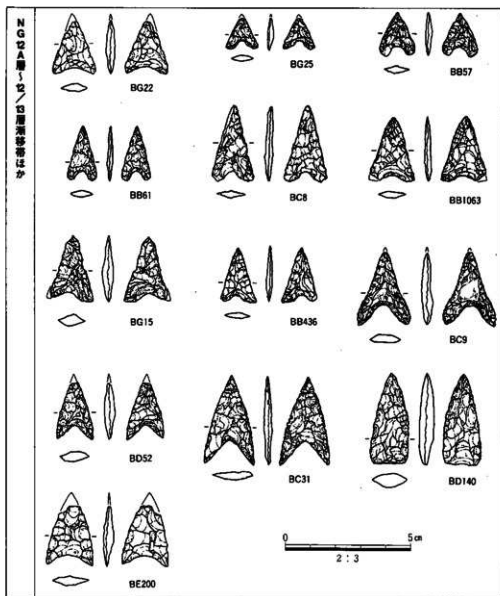


図84 石器実測図

長原遺跡東南地区では、縄文時代草創期から弥生時代にいたるまでの地層が良好に遺存しており、出土土器の年代観から、各時代・各時期の地層の細分が可能である。この点を生かし、厳密な出土層準の判定のもと、各層に包含される石器をはじめとする石器遺物の採集を行ってきた。こうした調査の一つの成果として、高井・櫻井(1993)は各層ごとに見られる特徴的な石器形態とその変遷過程を概述した。それを受けた菅葉太郎(1995; 以下、

昔分類と呼ぶ)は、1988年度出土資料を具体的に示して、製作技法の分析を含めた縦年的検討を行った。今回の報告では、これらの成果に依拠しながら、当年度の出土資料について述べる。石鎚各部位の名称および形態分類の基準は、昔分類に基本的にならうこととする。なお、以下に報告する石鎚の石材は、すべてサヌカイトである。

#### (1) 長原8B層出土の石鎚(図83、図版56)

BB33はG-1類である。この形態のものは長原9A層から出土することが多い。BB32は基部を欠き、全体の形態は不明である。しかし、切先角が30°と鋭く、かつ大型品と推定されるため、参考として掲載したBG4と同様なH類であろう。BG4は長原4Biii層内出土の遺物資料である。

#### (2) 長原9A層出土の石鎚(図83、図版56)

BB118はE-2類、BE152はC-2類である。前者は長原9A~9C層に顕著な形態である。後者は長原12A~12BC層にも多く見られる。9A層から出土するものには押圧剥離単位が大きくなる傾向がうかがえる。

#### (3) 長原9C層出土の石鎚(図83、図版56)

BB55・BC29・BC5はいずれもB-2類で、長原9A層堆積期以降には、すなわち弥生時代前期には受け継がれない形態である。そのうちのBC5は先行剥離面を広範囲に残しつつ、薄く作られている。また、切先には使用時の欠損痕と見られる剥離面がある。BB129は長原9Ciii層から出土したもので、D-1類に当る。この形態のものは長原12A~12/13層漸移帶から多数出土しており、大小2形式が存在する。今回のものは大型品に属し、製作技法的にも長原12層から出土するものと変わりない。そのため二次的な移動を考えうるかもしれない。しかし、昔分類にも長原9C層出土の石鎚で、D-1類に該当するものがあり(註1)、9C層の段階までD-1類が存続することも考えられる。

#### (4) 長原12A層出土の石鎚(図83、図版56)

BB120はF類で、平面形態が五角形を呈するものである。昔分類では、F類は長原9C層に特有のものとし、12層内出土のF類については上部層からの混入の可能性を指摘した。しかし、今回報告のものは9C層下に層厚50cm以上の水成層を介在させており、混入品とはしがたい。縄文時代中期の五角形鎚として本例は注視されよう(註2)。

#### (5) 長原12B・C層出土の石鎚(図83、図版56)

BB67はA-2類の大型品である。側縁に細かな押圧剥離が施され、大きさの割に薄く作られている。BC19は丸く調整された切先と直線的で長い作用部をもつ平基式石鎚である。

長原12Biii～iv層から出土した。このような形の切先の成因については、使用時の欠損を再調整によって修復した痕との見方もあるが、昔分類がB-2類に分類した88AB98についても、周囲の剥離面の状況から意図的に製作されている可能性が高く、ある特定の用途に応じたものであると推測される。よって、切先を丸く調整しているものをZ類と呼称し、新たに分類しておきたい。

#### (6)長原12／13層漸移帯出土の石鎚(図83、図版56)

この層準からは有茎尖頭器も出土し、縄文時代草創期から前期に形成された層準と考えられている。石鎚については、BC56がA-2類、BH807がC-1類に分類される。どちらも比較的薄く製作されている。C-1類は12／13層漸移帯に顕著な形態である。

#### (7)長原12A層～12／13層漸移帯ほか出土の石鎚(図84、図版57)

ここに述べるものは、長原12A層～12／13層漸移帯の細分が困難な地点で出土したもの、および河成の長原10・11層から出土したものである。10・11層出土品は、本来属していた12層内の詳細な層準の不明なもの、として扱うことができよう。

BG22はA-1類で、基部の抉り込みの浅いものである。BG25・BB57はA-2類で、いずれも小型である。BB61・BC8・BB1063・BG15・BB436はB-2類である。大きさに、ややばらつきが見られる。また、逆刺の形態を見ると、一つの個体の左右が対称形でないものがある。BG15・BB436がそれに当り、こうした形態が意図的に作られたものかどうかは注意される。BG15は切先部分が細く尖るように加工されてもいる。BD52・BC31はC-1類で、長原12／13層漸移帯に多く見られる。BC31の作用部には細かな鋸歯状剥離がある。BD140・BE200はC-2類で、長原12A～12B・C層からの出土例が多い。前者は平基式、後者は基部の抉りの浅い凹基式である。BE200の切先は使用時に欠損したようである。BC9はD-1類の大型品である。側縁に細かな押圧剥離が施されているが、両面に先行剥離面が大きく残っている。

註)

- (1)昔分類の88AE289はD-2類に分類されているが、凹基部の抉りが深く、逆刺が長く仕上げられており、D-1類に分類すべきかと思われる。
- (2)長原12B層から出土した土器の編年觀から、長原12層が縄文時代中期に堆積したと推定されているが、長原9C層出土土器が縄文時代後期中頃以降のものであるため、長原12A層の堆積期は後期初頭までを含む可能性がある。

## 第6節 その他のおもな石器遺物

### 1. 長原14層出土の石器遺物

89-22④調査地で1点、19次調査地で7点の剥片が出土している(図版53)。BD29は自然面を打面とし、潜在割れのために不規則な剥がれ方をしている。BB439は二面調整打面の縦に長い剥片であり、先端部に自然面を残している。BB1406は自然面を打面とする縦に長い剥片であり、背面にも主要剥離面とよく似た方向から剥片が剥がされている。背面右側縁は自然面である。

### 2. 長原12層～13層出土の石器遺物

#### (1) 削器・搔器(図版53・54)

BG23は二面調整打面の横に長そうな剥片の主要剥離面先端部に、深形厚形の細部調整を施した搔器である。刃部の両端が折れており、刃部の拡がりによっては削器とすべきかもしれない。BC52はやや縦に長く、背面には主要剥離面とよく似た方向からの2面の剥離面をもつ剥片を素材とする削器であり、背面右側縁から先端部と左側縁から基端部に連続的な浅形薄形細部調整が施され、刃部が形成されている。BE199は線上打面の横形剥片を素材とする搔器であり、素材の主要剥離面先端から左側縁に深形厚形の細部調整が施され、刃部が形成されている。形態的には削器とすべきかもしれない。

#### (2) 石核(図版54)

BG19は大型の横形板状剥片を素材とする石核であり、主として素材の打面側および両側縁から背面側の剥片剥離が最初に行われ、この後、主要剥離面側の剥離が行われている。素材の背面側では著しいステップを起している。上述したLC1203の接合資料に見られた石核における剥片剥離のようすとよく似ている。

#### (3) 細部調整剥片・使用痕をもつ剥片(図版54)

BG9は自然面を打面とする石刃状剥片であり、主要剥離面右側縁に使用痕とみられる剥離が並ぶ。BG12は縦に長い剥片であり、主要剥離面の先端部から左側縁の主・背両面に使用痕とみられる断続的な剥離が並ぶ。BG18は自然面を打面とする縦に長い剥片であり、背面先端部から左側縁に使用痕とみられる剥離が並ぶ。BG12は縦に長い剥片であり、主要剥離面の先端部から左側縁の主・背両面に使用痕とみられる断続的な剥離が並ぶ。

### 3. 長原9A層出土の石器遺物

#### (1) 石斧(図版55)

砂岩製のBE57は乳棒状かと思われる磨製石斧の基部である。シルト岩製のBE185は柱状片刃石斧の刃部であり、直刃の幅は3.0cmであり、刃縁角は82°である。ていねいに磨かれている。

#### (2) 砥石・擦り石(図版55)

砂岩製の砥石BE158は写真上の面の上半部と写真下の面が使用されている。また、上面には2条の浅いU字状の溝をもつ。砂岩製の擦り石BE167は写真下の面が使用されている。また、上縁には打撃痕がある。重さは1532gあり、ドングリなどの粉碎に用いられたのであろう。



























## 第V章 調査の結果 後編

### 第1節 花粉分析

#### 1. 分析の目的と試料について

今回は長原遺跡東南地区の後期旧石器時代から弥生時代中期前にいたる遺跡周辺の古植生変遷を明らかにするために、NG88-19次調査地西区において採取したブロック試料の中から、長原8C～15層を対象に地層の層厚に応じて1～12cm間隔で分けた32試料を用いて花粉分析を行った。試料No 1～31は連続試料であり、No 32は非連続試料である(図85)。試料採取位置と層準の詳細は第Ⅲ章第1節の図7を参照されたい。また、試料はすべて財団法人大阪市文化財協会が採取した。

#### 2. 分析方法および分析結果

分析方法は渡辺(1995)に従った。分析結果を図86および表27に示す。

32試料の花粉分析を行った結果、ほとんどの試料から花粉化石が検出された。しかし、試料No 9・11～13・16～32では花粉化石の含有量がきわめて少なく、統計処理上充分な量の花粉化石が検出されなかった。このような結果になったのは、地層の酸化に伴い花粉化石が風化・消滅した、堆積過程において花粉化石が含有されなかつた、などの原因が考えられる。

またイネ科については、粒径の大きな個体に栽培種のイネ科が多く含まれる(中村 1974)ことから、ここでは便宜上40ミクロン以上、40ミクロン未満に分けて検出頻度を示した。

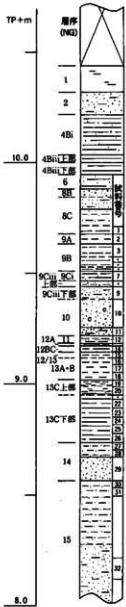


図85 試料採取柱状図

### 3. 考察

#### 1) 花粉分帯

花粉分析結果をもとに花粉分帯を行った。以下では、時間軸に沿って下位から上位(過去から現在)に向って、地域花粉帯の記載を行う。

##### (1) II帯(試料No15・14・10・8～2)

コウヤマキ属が22%～70%と優占し、ツガ属、マキ属、アカガシ亜属が数%～30数%の出現率を示す。また草本花粉では、ヨモギ属が数%～20数%の出現率を示すほか、イネ科(40ミクロン未満)、イネ科(40ミクロン以上)、ウナギツカミ節ーサナエタデ節、キク亜科がそれぞれ数%の出現率を示す。おもな木本花粉の増減より、a～cの各花粉亜帯を設定した。

IIc亜帯(試料No15～8) 試料No15～8の試料では花粉化石の検出量がきわめて低くなるため、統計学上、今回の結果(出現率)をそのままの数字で解釈することには問題が残る。しかし、傾向として試料No8で見られるようにコウヤマキ属、ツガ属がb亜帯に比べ高い出現率を示し、アカガシ亜属、マキ属は低い出現率を示す。

IIb亜帯(試料No7～4) コウヤマキ属が30数%程度、ツガ属が数%～20%程度とa亜帯に比べ低い出現率を示す。これに対しアカガシ亜属は20%～30%程度、マキ属は10%程度とa亜帯に比べやや高い出現率を示す。

IIa亜帯(試料No3・2) コウヤマキ属が40%程度、ツガ属が20%～30%程度の出現率を、アカガシ亜属、マキ属は数%～10数%の出現率を示す。

##### (2) I帯(試料No1)

ツガ属が36%と優占し、コウヤマキ属が23%、マキ属が14%、アカガシ亜属が9%の出現率を示す。また、モミ属、トウヒ属もわずかであるが検出されている。また草本花粉では、イネ科(40ミクロン未満)、イネ科(40ミクロン以上)、ウナギツカミ節ーサナエタデ節、キク亜科、ヨモギ属がそれぞれ数%の出現率を示す。

#### 2) 他地域との比較—縄文時代晩期～弥生時代前期の気候について—

大阪地域の完新統の花粉層序は1970年代の後半に、MAEDA(1976)、安田(1978)、古谷(1979)によりまとめられた。このほか那須・坂本(1980)や、従来の結果をまとめた安田(1990)がある。

今回の分析結果はツガ属、コウヤマキ属が分析試料全体で卓越する点で、上記の従来得

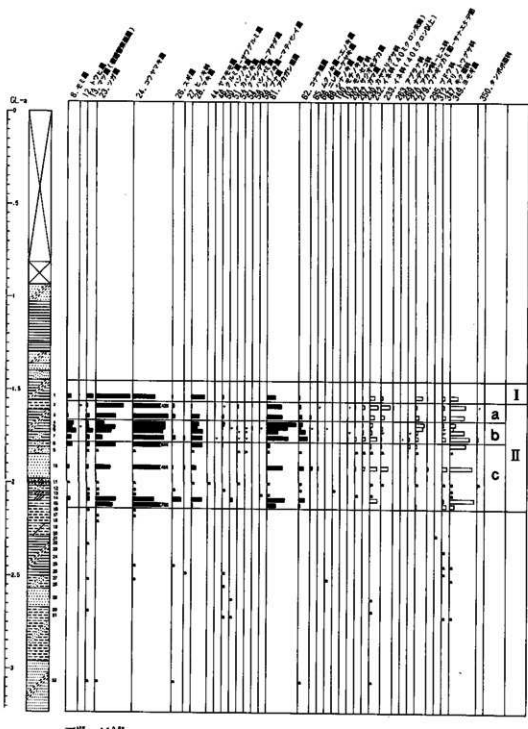


図86 長原遺跡89-19次調査地の花粉ダイアグラム

表27 検出花粉化石数量表

試験用花粉群	No.1		No.2		No.3		No.4		No.5		No.6		No.7		No.8		No.9		No.10		No.11		No.12		No.13		No.14				
	花粉種類		花粉量(%)		花粉種類		花粉量(%)		花粉種類		花粉量(%)		花粉種類		花粉量(%)		花粉種類		花粉量(%)		花粉種類		花粉量(%)		花粉種類		花粉量(%)				
	花粉種類	花粉量(%)	花粉種類	花粉量(%)	花粉種類	花粉量(%)	花粉種類	花粉量(%)	花粉種類	花粉量(%)	花粉種類	花粉量(%)	花粉種類	花粉量(%)	花粉種類	花粉量(%)	花粉種類	花粉量(%)	花粉種類	花粉量(%)	花粉種類	花粉量(%)	花粉種類	花粉量(%)	花粉種類	花粉量(%)	花粉種類	花粉量(%)			
Aster	キク属	5 (4)	3 (2)	> 1 (1)	14 (9)	9 (6)	14 (11)	22 (20)	12 (12)	7 (7)	6 (6)	2 (2)	1 (1)	6 (6)	0 (0)	0 (0)	0 (0)	0 (0)	0 (0)	0 (0)	0 (0)	0 (0)	0 (0)	0 (0)	0 (0)	0 (0)	0 (0)	0 (0)	0 (0)		
Pines	トウヒ属	1 (1)	1 (1)	0 (0)	0 (0)	0 (0)	0 (0)	0 (0)	0 (0)	0 (0)	0 (0)	0 (0)	0 (0)	0 (0)	0 (0)	0 (0)	0 (0)	0 (0)	0 (0)	0 (0)	0 (0)	0 (0)	0 (0)	0 (0)	0 (0)	0 (0)	0 (0)	0 (0)			
Diplopyxis	二葉樹科(植物学的花粉)	9 (3)	3 (1)	6 (3)	4 (2)	7 (3)	16 (16)	6 (6)	8 (3)	4 (2)	1 (1)	0 (0)	0 (0)	1 (1)	1 (1)	0 (0)	0 (0)	0 (0)	0 (0)	1 (1)	2 (1)	2 (2)	0 (0)	0 (0)	0 (0)	0 (0)	0 (0)	0 (0)			
Tsuga	ツガ属	4 (3)	0 (0)	2 (2)	1 (1)	2 (2)	20 (19)	27 (27)	14 (15)	25 (25)	15 (15)	9 (9)	12 (12)	0 (0)	2 (2)	1 (1)	1 (1)	1 (1)	1 (1)	1 (1)	1 (1)	1 (1)	1 (1)	1 (1)	1 (1)	1 (1)	1 (1)	1 (1)	1 (1)		
Schizophragma	シラカバ科	3 (0)	0 (0)	73 (93)	69 (89)	64 (86)	72 (86)	62 (83)	65 (84)	34 (44)	34 (40)	34 (40)	37 (47)	4 (4)	7 (8)	14 (17)	0 (0)	0 (0)	0 (0)	0 (0)	0 (0)	0 (0)	0 (0)	0 (0)	0 (0)	0 (0)	0 (0)	0 (0)	0 (0)	0 (0)	0 (0)
Cyprinocarya	エゾマツ属	1 (1)	3 (2)	4 (2)	0 (0)	0 (0)	2 (1)	9 (3)	0 (0)	0 (0)	0 (0)	1 (1)	0 (0)	0 (0)	0 (0)	0 (0)	0 (0)	0 (0)	0 (0)	0 (0)	0 (0)	0 (0)	0 (0)	0 (0)	0 (0)	0 (0)	0 (0)	0 (0)			
Cypresses	ヒノキ科	0 (0)	0 (0)	0 (0)	0 (0)	0 (0)	0 (0)	0 (0)	0 (0)	3 (3)	0 (0)	0 (0)	0 (0)	0 (0)	0 (0)	0 (0)	0 (0)	0 (0)	0 (0)	0 (0)	0 (0)	0 (0)	0 (0)	0 (0)	0 (0)	0 (0)	0 (0)	0 (0)			
Podocarpus	マツ科	16 (16)	2 (1)	17 (17)	9 (9)	26 (26)	27 (28)	29 (29)	30 (30)	16 (16)	4 (4)	3 (3)	4 (4)	3 (3)	4 (4)	3 (3)	0 (0)	0 (0)	0 (0)	0 (0)	0 (0)	0 (0)	0 (0)	0 (0)	0 (0)	0 (0)	0 (0)	0 (0)	0 (0)	0 (0)	
Athyrium	ヤマモミジ属	0 (0)	0 (0)	0 (0)	0 (0)	0 (0)	0 (0)	0 (0)	0 (0)	0 (0)	0 (0)	0 (0)	0 (0)	0 (0)	0 (0)	0 (0)	0 (0)	0 (0)	0 (0)	0 (0)	0 (0)	0 (0)	0 (0)	0 (0)	0 (0)	0 (0)	0 (0)	0 (0)			
Angios-Pterocarya	アカマツ属-サザンカ属	2 (2)	0 (0)	1 (1)	3 (3)	2 (2)	1 (1)	6 (6)	2 (2)	1 (1)	1 (1)	0 (0)	0 (0)	0 (0)	0 (0)	0 (0)	0 (0)	0 (0)	0 (0)	0 (0)	0 (0)	0 (0)	0 (0)	0 (0)	0 (0)	0 (0)	0 (0)	0 (0)			
Alnus	ハムノイモ属	2 (2)	1 (1)	0 (0)	3 (3)	2 (2)	1 (1)	6 (6)	2 (2)	1 (1)	1 (1)	0 (0)	0 (0)	0 (0)	0 (0)	0 (0)	0 (0)	0 (0)	0 (0)	0 (0)	0 (0)	0 (0)	0 (0)	0 (0)	0 (0)	0 (0)	0 (0)	0 (0)			
Betula	ホバノイモ属	0 (0)	0 (0)	0 (0)	0 (0)	0 (0)	0 (0)	0 (0)	0 (0)	0 (0)	0 (0)	0 (0)	0 (0)	0 (0)	0 (0)	0 (0)	0 (0)	0 (0)	0 (0)	0 (0)	0 (0)	0 (0)	0 (0)	0 (0)	0 (0)	0 (0)	0 (0)	0 (0)			
Carpinus	ミズナギドリ属	0 (0)	0 (0)	0 (0)	0 (0)	0 (0)	0 (0)	0 (0)	0 (0)	0 (0)	0 (0)	0 (0)	0 (0)	0 (0)	0 (0)	0 (0)	0 (0)	0 (0)	0 (0)	0 (0)	0 (0)	0 (0)	0 (0)	0 (0)	0 (0)	0 (0)	0 (0)	0 (0)			
Corylus	ハリバチ属	0 (0)	0 (0)	0 (0)	0 (0)	0 (0)	0 (0)	0 (0)	0 (0)	0 (0)	0 (0)	0 (0)	0 (0)	0 (0)	0 (0)	0 (0)	0 (0)	0 (0)	0 (0)	0 (0)	0 (0)	0 (0)	0 (0)	0 (0)	0 (0)	0 (0)	0 (0)	0 (0)			
Castanea	セイヨウカエデ属	0 (0)	0 (0)	0 (0)	0 (0)	0 (0)	0 (0)	0 (0)	0 (0)	0 (0)	0 (0)	0 (0)	0 (0)	0 (0)	0 (0)	0 (0)	0 (0)	0 (0)	0 (0)	0 (0)	0 (0)	0 (0)	0 (0)	0 (0)	0 (0)	0 (0)	0 (0)	0 (0)			
Fagus	ツバキ属	0 (0)	0 (0)	0 (0)	0 (0)	0 (0)	0 (0)	0 (0)	0 (0)	0 (0)	0 (0)	0 (0)	0 (0)	0 (0)	0 (0)	0 (0)	0 (0)	0 (0)	0 (0)	0 (0)	0 (0)	0 (0)	0 (0)	0 (0)	0 (0)	0 (0)	0 (0)	0 (0)			
Cyclobalanopsis	アザダギク属	12 (12)	3 (3)	21 (21)	22 (22)	25 (25)	26 (26)	27 (27)	28 (28)	27 (27)	16 (16)	4 (4)	2 (2)	25 (25)	13 (13)	7 (7)	4 (4)	2 (2)	3 (3)	2 (2)	2 (2)	3 (3)	2 (2)	2 (2)	2 (2)	2 (2)	2 (2)	2 (2)			
Osmunda	コウヤマキ属	0 (0)	0 (0)	0 (0)	0 (0)	0 (0)	0 (0)	0 (0)	0 (0)	0 (0)	0 (0)	0 (0)	0 (0)	0 (0)	0 (0)	0 (0)	0 (0)	0 (0)	0 (0)	0 (0)	0 (0)	0 (0)	0 (0)	0 (0)	0 (0)	0 (0)	0 (0)	0 (0)			
Aphelinace-Celtis	ムクシキナギ-シノキ属	3 (3)	0 (0)	7 (7)	8 (8)	6 (6)	10 (10)	9 (9)	8 (8)	9 (9)	8 (8)	9 (9)	8 (8)	9 (9)	8 (8)	9 (9)	8 (8)	9 (9)	8 (8)	9 (9)	8 (8)	9 (9)	8 (8)	9 (9)	8 (8)	9 (9)	8 (8)	9 (9)	8 (8)		
Ulmus-Zelkova	ニンジン-ヤマモミジ属	0 (0)	0 (0)	1 (1)	0 (0)	0 (0)	0 (0)	0 (0)	0 (0)	0 (0)	0 (0)	0 (0)	0 (0)	0 (0)	0 (0)	0 (0)	0 (0)	0 (0)	0 (0)	0 (0)	0 (0)	0 (0)	0 (0)	0 (0)	0 (0)	0 (0)	0 (0)	0 (0)	0 (0)		
Zelkova	シラカバ属	0 (0)	0 (0)	0 (0)	0 (0)	0 (0)	0 (0)	0 (0)	0 (0)	0 (0)	0 (0)	0 (0)	0 (0)	0 (0)	0 (0)	0 (0)	0 (0)	0 (0)	0 (0)	0 (0)	0 (0)	0 (0)	0 (0)	0 (0)	0 (0)	0 (0)	0 (0)	0 (0)	0 (0)		
Zizyphus	ゼンキョウ属	0 (0)	0 (0)	0 (0)	0 (0)	0 (0)	0 (0)	0 (0)	0 (0)	0 (0)	0 (0)	0 (0)	0 (0)	0 (0)	0 (0)	0 (0)	0 (0)	0 (0)	0 (0)	0 (0)	0 (0)	0 (0)	0 (0)	0 (0)	0 (0)	0 (0)	0 (0)	0 (0)	0 (0)		
Cyperace	オモリソウ属	0 (0)	0 (0)	3 (3)	2 (2)	0 (0)	2 (2)	3 (3)	2 (2)	3 (3)	2 (2)	1 (1)	2 (2)	3 (3)	2 (2)	1 (1)	2 (2)	3 (3)	2 (2)	1 (1)	2 (2)	3 (3)	2 (2)	1 (1)	2 (2)	3 (3)	2 (2)	1 (1)	2 (2)		
Gramineae (< 40)	イネ科(40)ミクラン属	7 (4)	0 (0)	16 (16)	16 (16)	0 (0)	22 (22)	2 (2)	2 (2)	5 (5)	3 (3)	2 (2)	1 (1)	3 (3)	0 (0)	0 (0)	1 (1)	0 (0)	0 (0)	1 (1)	0 (0)	0 (0)	1 (1)	0 (0)	0 (0)	1 (1)	0 (0)	0 (0)	0 (0)	0 (0)	
Gramineae (> 40)	イネ科(40)ミクラン以上	7 (4)	0 (0)	16 (16)	16 (16)	0 (0)	22 (22)	2 (2)	2 (2)	5 (5)	3 (3)	2 (2)	1 (1)	3 (3)	0 (0)	0 (0)	1 (1)	0 (0)	0 (0)	1 (1)	0 (0)	0 (0)	1 (1)	0 (0)	0 (0)	1 (1)	0 (0)	0 (0)	0 (0)	0 (0)	
Carduoaceae	キク科	4 (2)	5 (2)	7 (3)	5 (3)	1 (1)	1 (1)	9 (9)	9 (9)	8 (8)	8 (8)	9 (9)	9 (9)	8 (8)	8 (8)	9 (9)	9 (9)	4 (4)	3 (3)	2 (2)	0 (0)	0 (0)	0 (0)	0 (0)	0 (0)	0 (0)	0 (0)	0 (0)	0 (0)	0 (0)	
Arenaria	アザミ属	11 (11)	0 (0)	11 (11)	10 (10)	12 (12)	9 (9)	12 (12)	22 (22)	20 (20)	14 (14)	4 (4)	17 (17)	16 (16)	14 (14)	15 (15)	16 (16)	14 (14)	15 (15)	16 (16)	14 (14)	15 (15)	16 (16)	14 (14)	15 (15)	16 (16)	14 (14)	15 (15)	16 (16)		
Cisticolidae	ツノバゲ科	0 (0)	1 (1)	0 (0)	0 (0)	0 (0)	0 (0)	0 (0)	0 (0)	0 (0)	0 (0)	0 (0)	0 (0)	0 (0)	0 (0)	0 (0)	0 (0)	0 (0)	0 (0)	0 (0)	0 (0)	0 (0)	0 (0)	0 (0)	0 (0)	0 (0)	0 (0)	0 (0)	0 (0)	0 (0)	
Alliace	セイヨウカエデ属	0 (0)	1 (1)	0 (0)	0 (0)	0 (0)	0 (0)	0 (0)	0 (0)	0 (0)	0 (0)	0 (0)	0 (0)	0 (0)	0 (0)	0 (0)	0 (0)	0 (0)	0 (0)	0 (0)	0 (0)	0 (0)	0 (0)	0 (0)	0 (0)	0 (0)	0 (0)	0 (0)	0 (0)	0 (0)	
Type	ツバキ属	0 (0)	2 (2)	0 (0)	0 (0)	0 (0)	0 (0)	0 (0)	0 (0)	0 (0)	0 (0)	0 (0)	0 (0)	0 (0)	0 (0)	0 (0)	0 (0)	0 (0)	0 (0)	0 (0)	0 (0)	0 (0)	0 (0)	0 (0)	0 (0)	0 (0)	0 (0)	0 (0)	0 (0)	0 (0)	
Ceratophyllace	アブロハ科	0 (0)	0 (0)	0 (0)	0 (0)	0 (0)	0 (0)	0 (0)	0 (0)	0 (0)	0 (0)	0 (0)	0 (0)	0 (0)	0 (0)	0 (0)	0 (0)	0 (0)	0 (0)	0 (0)	0 (0)	0 (0)	0 (0)	0 (0)	0 (0)	0 (0)	0 (0)	0 (0)	0 (0)	0 (0)	
Chrysopollaceae	アザキ属	0 (0)	0 (0)	0 (0)	0 (0)	0 (0)	0 (0)	0 (0)	0 (0)	0 (0)	0 (0)	0 (0)	0 (0)	0 (0)	0 (0)	0 (0)	0 (0)	0 (0)	0 (0)	0 (0)	0 (0)	0 (0)	0 (0)	0 (0)	0 (0)	0 (0)	0 (0)	0 (0)	0 (0)	0 (0)	
Echinochloace-Paniculace	ツバキ科(40)ナガハコ属	10 (10)	4 (2)	8 (8)	9 (9)	26 (26)	27 (27)	6 (6)	10 (10)	8 (8)	2 (2)	1 (1)	1 (1)	2 (2)	1 (1)	0 (0)	0 (0)	1 (1)	1 (1)	0 (0)	0 (0)	0 (0)	0 (0)	0 (0)	0 (0)	0 (0)	0 (0)	0 (0)	0 (0)	0 (0)	
Vitaceae	ブドウ科	1 (1)	0 (0)	0 (0)	0 (0)	0 (0)	0 (0)	0 (0)	0 (0)	0 (0)	0 (0)	0 (0)	0 (0)	0 (0)	0 (0)	0 (0)	0 (0)	0 (0)	0 (0)	0 (0)	0 (0)	0 (0)	0 (0)	0 (0)	0 (0)	0 (0)	0 (0)	0 (0)	0 (0)	0 (0)	
Malvaceae	アシノトウガ科	0 (0)	0 (0)	0 (0)	0 (0)	0 (0)	0 (0)	0 (0)	0 (0)	0 (0)	0 (0)	0 (0)	0 (0)	0 (0)	0 (0)	0 (0)	0 (0)	0 (0)	0 (0)	0 (0)	0 (0)	0 (0)	0 (0)	0 (0)	0 (0)	0 (0)	0 (0)	0 (0)	0 (0)	0 (0)	

られている花粉分析結果と大きく異なる。これは、今回の分析試料の花粉化石含有量が少なく、かつ花粉化石の保存状態が悪かったことに起因すると考えられる。一般にこのようないくつかの試料では、花粉が傷みにくく、かつ同定のための特徴が失われにくい種類が卓越する傾向にある。今回の分析結果はまさにこの傾向を示したものである。II带b 亜帯からI带への変化はマキ属などの有翼型花粉の増加とみなすことも可能であり、堆積作用による特定種類の濃縮の結果と考えることも可能である。

このような中で、II带b 亜帯からII带a 亜帯の間で認められる、アカガシ亜属の減少、ツガ属、コウヤマキ属、スギ属の増加は、唯一、遺跡周辺の植生変化を反映した花粉組成変化と考えができる。またII带b 亜帯からa 亜帯の時期は第II章第2節で述べられたように縄文時代晩期～弥生時代中期初頭に相当する。以上の要因から、もっとも特徴的現われたII带a 亜帯の花粉組成と前述の従来得られた花粉組成を比較する。



の時期には前の時期に比べ雨量が増加したと推定できる。

### 3) 植生変遷

今回の調査地の長原遺跡南部では詳細な地層観察に基づく層序がたてられている。分析の結果十分な花粉化石が検出された層準は、長原8C層から9C層にかけての区間であり、考古年代では縄文時代後期から弥生時代中期にかけての期間であった。I～II帯の花粉帯を考古年代に照らし合わせると、I帯が弥生時代中期前半、IIa亜帯が弥生時代前期～中期初頭、IIb亜帯が縄文時代後～晚期、IIc亜帯が縄文時代草創～後期に対応する。以上の考古年代に基づき、長原遺跡南部地域における植生変遷を考察する。

#### (1) 縄文時代草創～後期(IIc亜帯；長原12/13層漸移帯～9Ciii層)

遺跡周辺の水辺にはサジオモダカ属、ガマ科、カヤツリグサ科、イネ科の草本が繁り、微高地にはタデ科、キク科の草本が繁っていたと考えられる。花粉化石で高率を示すツガ属、コウヤマキ属は、おそらく堆積作用や堆積後の作用により選別を受けたものであると考えられ、生駒山地の山腹に中間温帶林の要素として生育していたと考えられる。また、出現率はやや低いが、マキ属、アカガシ亜属を要素とする照葉樹林が丘陵～山麓部には分布していたと考えられる。大型植物化石の産出より、マキ属はイヌガヤ、アカガシ亜属はアラカシを含むと考えられる。

#### (2) 縄文時代後～晚期(IIb亜帯；長原9Ci層～9B層下半部)

遺跡周辺の草本植生は前時期とほとんど変りがなかったと考えられる。しかし、マキ属、アカガシ亜属の照葉樹林要素が前時期より若干増加していることより、丘陵～山麓部にかけての森林植生では、照葉樹林が若干拡大した程度の変化が考えられる。

#### (3) 弥生時代前期～中期初頭(IIa亜帯；長原9B層上半部～9A層)

遺跡周辺の草本植生に大きな変化は考えられない。9A層の上面では近隣地域で9A層が起耕された9A'層の水田跡が検出されているが、9A層(試料No.2)の分析結果ではイネ科(40ミクロン以上)の花粉は低率であり、試料採取地点が水田であった可能性は低い。しかし、イネ科(40ミクロン以上)の出現率がIIb亜帯に比べ若干高くなっていることは、周辺地域での稲作を反映したものであろう。ツガ属、コウヤマキ属などの中間温帶林要素の前時期からの増加と、アカガシ亜属やマキ属などの照葉樹林要素の減少は、前述のように多雨化の影響であると考えられ、照葉樹林の縮小と、中間温帶林の拡大が見られたと考えられる。

#### (4) 弥生時代中期前半(I帯；長原8C層下部)

前述のように、堆積作用によりⅡa亜帯～Ⅰ帯への花粉組成の変化が起った可能性もある。しかしコウヤマキ属の減少などは、弥生時代以降コウヤマキが木棺や柱として広く使われている(島地・伊東 1988)ことから、伐採に由来する可能性もある。また、遺跡周辺の草本植生に大きな変化は考えられない。

#### 4.まとめ

長原遺跡において行った今回の分析から以下のことが明らかになった。

- 1) 遺跡内での花粉化石群集はⅠ帯、Ⅱ帯a～c亜帯の2花粉帯・3花粉亜帯に分れる。
- 2) およそ縄文時代後期から弥生時代中期にかけての遺跡周辺での断続的な時期の植生と調査地の堆積環境が推定された。
- 3) 縄文時代弥生時代前期～中期初頭のⅡa亜帯では中間温帯林要素の増加が認められ、那須・坂本(1980)の追証となった。原因として、多雨化の可能性が考えられる。
- 4) 弥生時代中期前半のコウヤマキ属の減少は、有用材としてのコウヤマキの伐採が原因である可能性がある。

(渡辺正巳)

#### 編集者註)

分析標準の年代観は、前年度報告に基づき、編集者の責任において最新のものに書き改めた。

## 第2節 動物遺体

動物遺体は長原東南地区の4調査地から出土した。資料はいずれも調査中に発掘したもので、飛鳥～江戸時代の7件12点である(表28)。資料の保存処理・同定・分析は、前年度の報告(久保和士 1995)と同じ方法で行った。動物遺体の種類はウマ *Equus caballus* Linnaeus の骨と歯のみであった。

資料の一覧は表28に示すとおりである。産状は作土層中から散発的に出土したものが多いが、資料番号(以下Noと記す)7～10の上顎臼歯は同一個体である可能性が高く、もともと上顎骨に植立していたのではないかと推測される。

出土部位は歯が大半で、これらはすべて顎骨から遊離していた。歯の大きさは3点の資料で計測可能であった。No7では、咬合面におけるエナメル質の近遠心長L 27.2mm、頬舌幅W 25.4mm、歯冠高H (69)mm、以下同様に、No 8はL 24.0mm、W (21)mm、H (68)mm、No10はW (21)mm、H (68)mmである。なお、括弧を付したものは推定値である。

これらの歯冠高と咬耗状態から年齢を推定すると、いずれも3～4才くらいと考えられ、左右の同一部位の計測値もほぼ同じであるので、前述したように同一個体と考えた。大きさはこれまで長原遺跡で出土しているものと大差なく、いわゆる中型馬と考えられる。

古代から近世の作土層からウマ遺体が出土することはこれまでにも長原遺跡で認められ、作土に含まれる過程と意味を考える必要がある。しかし、当年度調査では断片的な資料多かったので、今後の検討課題としたい。

表28 動物遺体一覧表

発掘次元	層位	遺構	時期 (C: 古紀)	大分類	小分類	部位	左右	部分	備考	資料 番号
89-19	NO4B	平安後期～鎌倉	哺乳類	下顎骨	ウマ	下顎骨	不明	下顎体	破片	1
				哺乳類	ウマ	下顎遊離歯	左	臼歯	破片	2
	NG6	飛鳥～奈良	哺乳類	ウマ	下顎遊離歯	左	臼歯	破片		3
89-23	NG4	平安～鎌倉	哺乳類	ウマ	上顎遊離歯	左	M <sup>3</sup>		破片	4
89-37②	NG4B	鎌倉	哺乳類	ウマ	上顎遊離歯	左	P <sup>1</sup> orP <sup>2</sup>		歯根形成	5
89-72	NG2	SD207群 近世	哺乳類	ウマ	上顎遊離歯	右	P <sup>1</sup>		歯根未形成	6
				ウマ	上顎遊離歯	左	P <sup>1</sup>		すべて歯根未形成	7
				ウマ	上顎遊離歯	左	M <sup>2</sup>		推定年齢3～4才	8
				ウマ	上顎遊離歯	右	M <sup>2</sup>			9
	NG4B	翠波群	平安後期～鎌倉	哺乳類	ウマ	上顎遊離歯	右	M <sup>2</sup>		10
				哺乳類	ウマ	上顎遊離歯	左	P <sup>2</sup>	歯根未形成	11
				哺乳類	ウマ	下顎遊離歯	左	M <sub>1</sub>	歯根未形成	12

## 第VI章 1989年度の調査のまとめ

財団法人大阪市文化財協会は、1989年度の長吉瓜破地区土地区画整理事業に伴って、長原遺跡で12次・13件、総面積4,700m<sup>2</sup>の発掘調査を実施した(第I章第2節)。本書で取上げたおもな報告内容を以下にまとめておく。

### 1. 後期旧石器時代

最終氷期の最寒冷期直前、長原東南地区は土壤化こそすれ、碎屑物がほとんど堆積しない海抜110m前後の台地の緩い傾斜面にあった。降灰した火山灰は台地に定着せず、風雨にさらされて流出し、土壤にまみれた火山ガラスだけが降灰を物語っていた。しかし22次調査地では、長原13Bii層の層準で浅い凹みにたまたま火山灰層がこの地域ではじめて観察された。AT火山灰と対比され、平安神宮火山灰層と呼ばれるこの火山灰層の堆積年代は約2.5万年前と推定されており、長原遺跡で後期旧石器時代の石器遺物に確かな年代を与える鍵層が確認された意義は大きい(第II章第3節)。

この火山灰層の上位にある長原12/13層漸移帶～13層の層準で、石器遺物の目的的調査を実施したところ、石器遺物の集中部を4個所発掘した。37次調査地のLC1301～1303、22次調査地のLC1304である(第IV章第2・4節)。これらは古川辺谷と呼ぶ埋没谷の右岸に分布しており、これまでこの地域で発掘されてきた古川辺谷旧石器遺跡群とでも呼ぶべき石器集中地域の中でも、最大のものであった。

LC1301～1303の石器群は、ナイフ形石器と石核との接合をはじめとする多数の接合資料とその分布から、小型のナイフ形石器を主として製作した石器製作址と考えられる。接合資料と石核の多くは、瀬戸内技法の第2工程の姿を見せており、これらが瀬戸内技法の流れをくむ技術伝統に立脚していると考えられる。しかし一方で、交互剥離や縦に長い剥片剥離も相当程度が含まれており、国府石器群の瀬戸内技法とは異なる要素も見られる(第IV章第2節)。技術・編年的な位置づけはともかくとしても、この石器群からは、後にナイフ形石器の刃部を作り出す石核の平坦な底面に徹底してこだわり、一方で打面の形式にはこだわらず、山形の打面準備が整っていれば剥片を剥離する、といった大胆かつ合理的な

石割りの姿が想像される。しかも、目的的剥片の打面を準備する調整剥片であっても、使えるものは道具にしてしまう貪欲さも感じられる。蓄積された技術伝統と当時の現代的必要性とのなせる技であったのかもしれない。

当年度はじめて、長原14層から剥片が出土した(第III章第1・4節、第IV章第6節)。平安神宮火山灰層の降灰以前の後期旧石器時代前半の遺物である。ところで、長原12~15層には、スランビング構造が見られる(第III章第1・3節)。前年度報告の10・11層堆積初期に起った地震の揺れによるものかもしれない。

## 2. 縄文時代草創期~中期

長原東南地区の長原12/13層漸移帯では、もうひとつの石器集中部LC1203を19次調査地で発掘した。1000点を越える超密度に密集した石器群は、圧倒的多数の剥片と極少数の石核と叩き石からなり、多数の接合資料の検討から、両面調整石器が目的とされたものであろうと推測した。接合資料のひとつは23次調査地出土の石核と接合したものであり、石核の近くから出土した有茎尖頭器とLC1203石器群との係わりが注目される(第IV章第3節)。

後氷期の温暖な縄文海進期を経て、海退が始まろうとしていたころ、長原遺跡に長原12層が堆積した。当年度の調査では長原12B層の堆積年代を示す新たな遺物が加わった。22次調査地を横断して北流した古川辺川の古い堆積層である12Bi層から出土した北白川C式土器と、12Bii~iii層から出土した船元II式土器である(第III章第4節)。ところで、12B層にはBi層をはじめとして随所に平安神宮火山灰層に由来する偽疊が二次堆積している(第II章第2節、第III章第4節)。多雨によって土砂が頻繁に流出したのかもしれない。なお、縄文海進期以降に堆積した最初の粗粒物質の卓越層準が長原12C層であることから、沖積層上部層の基底砂層を10・11層してきた従来の対比を、再検討する必要ができた。

一方、西南地区の43次調査地では、中世の攪乱を受けた石器集中個所が見つかっている(第III章第10節)。多数の剥片とともに出土した石器の形態から、この遺構の名残りは縄文時代の産物かと思われたが、今後の検討を待ちたい。当年度もまた多数の石器が層位ごとに整理され、形態変遷を把握できる資料となった(第IV章第5節)。

## 3. 縄文時代後期~弥生時代中期

花粉分析によれば、縄文時代後期、河内湾が河内潟の時代に移り、長原9C層が堆積したころ、長原遺跡の東方にある生駒山地の山腹には、中間温帯林のツガ属やコウヤマキ属が

生育し、周辺の丘陵や山麓部には縄文海進期に拡大した照葉樹林が分布していたと考えられる。長原遺跡周辺は疊林が優勢な環境であったと思われ、水辺や微高地に特有な草本が前時代から引き続いている。長原遺跡の草本植生はその後も長く安定していたようである(第V章第1節)。ところで、長原9C層の層準には倒木の痕が多数見られる(第III章第1・3・4節)。当時の気候や局地的な風水害が原因だろうか、あるいは人為によるものだろうか。

縄文時代の晚期には、照葉樹林が若干拡大したようだが、弥生時代にはいると、照葉樹林が縮小し、中間温帯林が相対的に拡大したと考えられる。気候の寒冷化が原因かと議論もされたが、実態は多雨による植生環境の変化であるらしい(第V章第1節)。当時、主として細粒物質からなる長原9B層や9A層が堆積している(第II章第2節)。

長原9A層の層準では、弥生時代前期に作られたと考えられる長原式土器を用いた土器棺墓が80次調査地で見つかった(第III章第5節)。北に隣接する大規模な墓域の縁辺に当るものである。墓域は微高地につくられている。また、23次調査地には、西川辺川の右岸の微高地に弥生土器や石斧、安山岩製の石器遺物などの集中個所が見つかった(第III章第2節、第IV章第6節)。周辺に居住域があったものと思われる。また、西川辺川から取水し、墓域の微高地を横切って掘られた川辺3号用水も80次調査地で再掘された(第III章第5節)。

長原9A'層の上面では、22次調査地で遺跡最古の水田北端域を発掘した(第III章第4節)。82-41次調査地で最初に見つかった弥生時代前～中期初頭の灌漑水田に連続するものである。

19次調査地の長原8Cii層上面で検出した人間の足跡は、足印内堆積物の検討から、8Ci層堆積初期に踏込まれたものと推定した(第III章第1節)。肉眼的にはラミナ面として見える多数の堆積面に、さまざまな人間活動の痕跡が隠されていることに留意する必要があろう。

弥生時代中期後半には、前年度に報告した方形周溝墓をはじめとして、河内平野における弥生人の活動が拡大する時期である。この時期に形成された長原8B層の層準で、37次調査地では南側の調査地から連続する溝が見つかっている(第III章第3節)。このように人間活動が活発になる時期と一致して、コウヤマキ属の花粉が減少している。木棺や建築部材などの有用材として、1属1種のコウヤマキが選択的に伐採されたという推論(第V章第1節)は、的を射ているといえる。

#### 4. 弥生時代後期～古墳時代

長原遺跡を特徴づけるひとつの時期である弥生時代後期の遺構は、当年度の調査地では見つからなかった。この時期、河川の氾濫による長原8A層の堆積が終って7層の主たる堆

表29 各調査地の遺構とその検出面一覧

時代	地名区分	浜原東南地区				
		89-22	89-37	89-19	89-23	89-80
現代	NG1	▼井戸底SD401群				
近世	NG2	▼島田地SD13-213 井戸底SD401群	▼島田地SD304-206	▼浦SD204-302 井戸底SD301群		
室町	NG3			▼新井浜地TSR301-302		▼小瀬野(浜原?)
鎌倉	NG4 A	一井戸底 SD 16-403				
	B	▼井戸底 SD401群、ピット SP404群				
	C				▼井戸底 SD401-402群、柱穴群 浦 SD405、底 SD407群 土塁 SK406	
平安						水田耕作SP404 ピット SP403群
奈良	NG5					
飛鳥	NG6 A i			▼浦 SD604-602 踏み込み跡・高まり		
	ii					
	B					
古墳	NG7 A-B i	▼ピット SP 16-722 SD 16-714-715	▼浦 SD706-708	▼浦 SD701、踏み SK702	1柱穴 SP603群、井戸 SE703 土器埋納ピット SP704 ピット SP705	▼ピット、複地 SX700
	ii					
	iii					
弥生後期	NG8 A					
	B	～浦 SD 811、不定形な踏み跡 浦 SD805、底地 SX804	～浦 SD801、踏み SX802群			
	C i		一人前の足跡	一人前の足跡		
	ii	～西川辺川 NR907、SD913-914 木田町野 NR915-918、笠山群 NR912	～自然沈没	～西川辺川 NR901 住A-SX902群	～浦 SD908 ～浦 SD909 ～浦 SD910群、遺物群 SX911	～浦 SD921 SD923 土器埋納 33322
弥生前期	NG9 A					
	B					
	C i	～浦 SD909群	▼複地 SX909 立木の根の痕	▼立木の根の痕		
	ii					
	iii			▼踏み SX905-906群		
縄文後期	NG10-11	～古川辺川 NR1201a-92a、笠山群 NR1204-07		～古川辺川 NR1201a-1202a		
縄文中期	NG12 A	～古川辺川 NR1201a-92a、笠山群 NR1204-07 足跡状の窓み群				
	B					
	C					
縄文前期～縄文後期	NG12/13	～古川辺川の窓み NR1201a-1202a				
後期田山型 後半	NG13 A i	△石器集中群 LC1304	△石器集中群 LC1301(a-b-c-d) LC1302-1303		石器集中	
	ii					
	B i	△(宇摩津富水山灰岩)				
	ii					
後期田山型 前半	NG14	△空洞片 ～蛇状のある侵食地形	△スタンピング跡造	～蛇状のある地盤の上面 △石器散在		
中期田山型	NG15			～蛇状のある侵食地形		

積域は東の八尾南遺跡側に移り、当地域の沖積平野は安定した(第II章第2節、第III章第1節)。それまでほとんど人間活動の気配がなかった遺跡中央を南北に延びる台地にも、7層の漸次的な形成とともに、周辺地域から台地の微高地へ人間活動がしだいに拡大してきている。7層形成期後半に当る古墳時代には、小規模古墳群である長原古墳群の築造が開始されている。さて間もない当時の平野に位置する23次調査地では、土器埋納ピットや井戸があり、住居域が近くにあったと思われる(第III章第2節)。また、長原古墳群築造後の

貝原東南地区		貝原中央地区		貝原西地区		時代
89-72	89-26	89-33	89-36	89-43	89-67	
						現代
	▼砂土探査地 SK101 等 1. 平地地 SD208 土壌 SK214・215 ▼谷底 SE209-213		▼砂土 一木田町野・島崎 SR413-418		▼砂地 SD216・217, 土 SD218・219 1 ピット SP223, 岩 SD220-222 一マサダ SD423 等	近世
▼溝 SD207 等 (奥戸)						古町
▼砂土 一溝 SD408 - 412 土壌 SK409 等 - 410 ピット等, 岩灰 SPn11						鎌倉
						平安
一溝 SD608 - 609, 木田町野 SR609						奈良
一木田町野の堀跡 SR606 ▼西込み跡, 土壌 SK607 等						飛鳥
■ SD711						古墳
						弥生後期
						弥生中期
						弥生前期
						縄文地層
						縄文後期
						縄文中期
						縄文後期～晩期
						後期田石器
						後期田石器
						中期田石器
			(以下未調査)	(以下未発見)	(以下未発見)	(以下未発見)
一上面突出遺構	<input type="checkbox"/> 抹水成層					
△地盤内突出遺構	<input type="checkbox"/> 膨上成層					
▼下面突出遺構	<input type="checkbox"/> 作土層					
△底面突出遺構	<input type="checkbox"/> 深食・無堆積					

水田開発に係わる溝も見つかった(第Ⅲ章第1・3節)。そのひとつ、19次調査地では溝底にウシかと思われる偶蹄類の足跡が密に踏込まれていた(第Ⅲ章第1節)。

一方、西地区の馬池谷斜面や西南地区の馬池谷左岸の台地上では、20・43次調査地でこの時期の溝や土壌、ピットが見つかった(第Ⅲ章第9・10節)。当時、この地域には既に居住空間が拡がっていたものと考えられている。

## 5. 飛鳥～奈良時代

古墳時代の終りごろに東除川水系から取水して長原の台地を灌漑した水田開発は、この時期には遺跡の広範囲に及んでいた。この時期の水田は人間の治水と自然の氾濫との交互作用に特徴づけられる。当年度の調査でも80次・33次・20次で長原6B・6A層の氾濫性の砂層を挟在して重なり合う水田が検出された(第Ⅲ章第5・6・9節)。台地西側を限る馬池谷も、周辺水田から供給された土砂によって急激に埋積しつつあった。

一方、馬池谷西側の瓜破台地東部には、掘立柱建物・井戸・土壙・溝などの居住域に係わる遺構が多数の土器を伴って見つかった(第Ⅲ章第10・11節)。そのひとつ、67次調査地の掘立柱建物群は、瓜破遺跡の大規模建物群と同時期の所産であり、その関連が注目される(第Ⅲ章第11節)。

## 6. 中世～近世・近代

奈良時代の最後に起った長原5層を堆積させた氾濫によって、当地域の水田は大きな打撃を受けたが、平安時代の前半には条里地割が整い、広大な穀物生産地帯として蘇った。長原4層の層準では条里地割に沿う水田畦畔や犁溝、島畠が見つかった(第Ⅲ章第2・4・5・6・10節)。また、平安～鎌倉時代の居住域は分散的であったことが知られている。23次調査地でも建物こそ復元できなかったが、多数の柱穴群は住居の存在を予測させる(第Ⅲ章第2節)。また、当年度の調査でも作土中からウマ遺体が数例出土した(第V章第2節)。

中世後半の戦乱の世には、各地の集落がそうであったように、長原の居住域も集村化し、現在の集落の位置に移っている。その後も長く田畠の並ぶる長原遺跡であったが、当年度の多数の調査地の長原2・3層の層準でも、従来の調査結果を検証する島畠や溝、井戸、犁溝などを検出した(第Ⅲ章第1・3～6・9～11節)。また、26次調査地では2層の下面で条里区画に沿う5基の井戸や1.5層が埋める粘土探掘坑を発掘した(第Ⅲ章第7節)。

前年度に本報告に託した課題、すなわち、正確な層序区分を基礎にして、古地理・古環境を推定し、遺構や遺物から考えられた人間の営みをこれに重ね合わせて行う総合的な遺跡復元は、再び次年度以降の報告に委ねることになった。

## 引用・参考文献

### 凡 例

- ・大阪市文化財協会（1995）「石器遺物の観察」：『長原・瓜破遺跡発掘調査報告』Ⅷ、267-324p.
- ・山中一郎（1995）「用語解説」：『旧石器人のアトリエ—羽曳野市翠島園遺跡の石器接合資料』、92-95p.  
羽曳野市遺跡調査会。

### 第 I 章

- ・大阪市文化財協会（1982a）『長原遺跡発掘調査報告』（改訂版）、224ps.
- ・大阪市文化財協会（1982b）『長原遺跡発掘調査報告』Ⅱ、322ps.
- ・大阪市文化財協会（1983）『長原遺跡発掘調査報告』Ⅲ、248ps.
- ・大阪市文化財協会（1989）『長原・瓜破遺跡発掘調査報告』Ⅰ、132ps.
- ・大阪市文化財協会（1990）『長原・瓜破遺跡発掘調査報告』Ⅱ、318ps.
- ・大阪市文化財協会（1992a）『長原・瓜破遺跡発掘調査報告』Ⅲ、204ps.
- ・大阪市文化財協会（1992b）『長原・瓜破遺跡発掘調査報告』Ⅳ、166ps.
- ・大阪市文化財協会（1993a）『長原・瓜破遺跡発掘調査報告』Ⅴ、302ps.
- ・大阪市文化財協会（1993b）『長原・瓜破遺跡発掘調査報告』Ⅵ、295ps.
- ・大阪市文化財協会（1994）『長原・瓜破遺跡発掘調査報告』Ⅶ、132ps.
- ・大阪市文化財協会（1995）『長原・瓜破遺跡発掘調査報告』Ⅸ、422ps.
- ・大阪文化財センター（1974）『中央環状線内埋蔵文化財試掘調査報告』Ⅶ
- ・大阪文化財センター（1978）『長原』、258ps.
- ・大阪文化財センター（1985）『長原』（その2）、54ps.
- ・大阪文化財センター（1986a）『城山』（その1）、211ps.
- ・大阪文化財センター（1986b）『城山』（その2）、234ps.
- ・大阪文化財センター（1986c）『城山』（その3）、139ps.

### 第 II 章

- ・新井房夫・大場忠道・北里洋・根部純男・町田洋（1981）「後期第四紀における日本海の古環境—テフロクロノロジー、有孔虫群集解析、酸素同位体法による—」：『第四紀研究』20、209-230p. 日本第四紀学会。
- ・市原実（1960）「大阪、明石地域の第四紀層に関する諸問題」：『地球科学』49、15-25p. 地学团体研究会。

- ・大阪市文化財協会（1982）「長原遺跡南部の層序」：『長原遺跡発掘調査報告』Ⅱ、13-20p.
- ・大阪市文化財協会（1995）「長原遺跡の地層」：『長原・瓜破遺跡発掘調査報告』Ⅷ、17-44p.
- ・梶山彦太郎・市原実（1972）「大阪平野の発達史— $^{14}\text{C}$ 年代データからみたー」：『地質学論集』7、101-112p. 日本地質学会.
- ・建設省国土地理院（1965）「河内低地とその周辺」：『土地条件調査報告書（大阪平野）』3、69-76p.
- ・小山正忠・竹原秀雄（1967）『新版標準土色帖』、14ps. 日本色研事業・富士平工業.
- ・竹村恵二・榎原徹（1987）「遺跡土壤中の火山灰層準の認定—兵庫県篠山板井遺跡を例としてー」：『第四紀研究』26、69-78p. 日本第四紀学会.
- ・竹村恵二・榎原徹（1988）「土壤中火山ガラス抽出分析による遺跡の地層対比および編年—温度変化型屈折率測定装置を使用してー」：『考古学と自然科学』20、35-50p. 日本文化財科学会.
- ・榎原徹（1995）「八尾南遺跡第17次調査の火山灰分析」：『八尾南遺跡』財団法人八尾市文化財調査研究会報告47、169-186p. 八尾市文化財調査研究会.
- ・榎原徹（1997）「NG89-22④次調査地の土壤中火山灰抽出分析」：『長原・瓜破遺跡発掘調査報告』Ⅸ、19-22p. 大阪市文化財協会.
- ・趙哲済（1988）「大和郡山市美濃庄町平和小学校地下の火山灰層対比」：『美濃庄遺跡（四反田地区）発掘調査概要報告書』、24-27p. 大和郡山市教育委員会.
- ・趙哲済（1994）「大阪平野の旧石器遺跡－特に古大阪平野における遺跡の立地についてー」：『瀬戸内技法とその時代』、243-252p. 中・四国旧石器文化談話会.
- ・趙哲済・京嶋覚・高井健司（1992）「長原遺跡の地層」・「長原遺跡の地層をめぐる諸問題」：『長原・瓜破遺跡発掘調査報告』Ⅲ、15-32・177-186p. 大阪市文化財協会.
- ・那須孝佛・樽野博幸（1981）「河内平野の生いたち」：『河内平野の生いたち』、4-26p. 大阪市立自然史博物館.
- ・町田洋・新井房夫（1976）「広域に分布する火山灰—姶良Tn火山灰の発見とその意義ー」：『科学』46、339-347p.
- ・町田洋・新井房夫（1978）「南九州鬼界カルデラから噴出した広域テフラーアカホヤ火山灰」：『第四紀研究』17、143-163p. 日本第四紀学会.
- ・町田洋・新井房夫（1979）「大山倉吉火山灰—分布の広域性と第四紀編年上の意義」：『地質学雑誌』88、313-330p. 日本地質学会.
- ・町田洋・新井房夫（1992）「火山灰アトラス—日本列島とその周辺」、276ps. 東京大学出版会.
- ・町田洋・新井房夫・小田静夫・達藤邦彦・杉原重雄（1984）「テフラーと日本考古学—考古学研究と関係するテフラーのカタログー」：『古代文化財の自然科学的研究』、869-928p. 同朋舎.
- ・町田環男・村上雅博・斎藤幸治（1983）「南関東の火山灰層準の変質鉱物“イディングサイト”について」：『第四紀研究』22、69-76p. 日本第四紀学会.
- ・松本英二・前田保夫・竹村恵二・西田史朗（1987）「姶良Tn火山灰（AT）の $^{14}\text{C}$ 年代」：『第四紀研究』26、79-83p. 日本第四紀学会.

- ・森勇一・伊藤隆彦・宮田英嗣 (1990) 「愛知県町田・松河戸遺跡から発見された縄文時代後・晩期の境界付近に位置する火山灰層について」:『第四紀研究』29、17-23p. 日本第四紀学会.
- ・横山卓雄 (1973) 「琵琶湖周辺の第四系と琵琶湖ボーリングサンプルの観察結果についておよび火山灰分析結果」:『陸水学雑誌』34、111-118p.
- ・横山卓雄 (1986) 「琵琶湖深層試錐中の火山ガラスの屈折率測定値からみた現琵琶湖堆積物の火山灰層序」:『地質学雑誌』92、653-661p. 日本地質学会.
- ・横山卓雄・楠木幹治 (1969) 「巖層としての火山灰層、特に大阪層群の火山灰について」:『同志社大学理工研報告』9、58-93p.
- ・横山卓雄・櫻原謙・山下透 (1986) 「温度変化型屈折率測定装置による火山ガラスの屈折率測定」:『第四紀研究』25、21-30p. 日本第四紀学会.
- ・吉川周作 (1976) 「大阪層群の火山灰層について」:『地質学雑誌』82、497-515p. 日本地質学会.
- ・吉川周作・井内美郎 (1991) 「琵琶湖高島沖ボーリングコアの火山灰層序」:『地球科学』45、81-100p. 地学団体研究会.
- ・吉川周作・井内美郎 (1993) 「琵琶湖高島沖ボーリング火山灰から見た中期更新世～完新世の噴火活動史」:『地球科学』47、97-109p. 地学団体研究会.
- ・吉川周作・樽野博幸 (1992) 「大阪平野の中位段丘層と火山灰層」:『第四紀』24、61-67p. 第四紀総合研究会.
- ・吉川周作・那須孝悌・樽野博之・古谷正和 (1986) 「近畿地方中部に分布する後期更新世～完新世の火山灰層について」:『地球科学』40-1、18-38p. 地学団体研究会.
- ・YOSHIKAWA, Syusaku (1981) 「Volcanic Glass in the 200m Core Sample from Lake Biwa」:『Palaeol. Lake Biwa. Jap. Pleist.』9、35-49p.

### 第三章

- ・安孫子昭二 (1988) 「縄文土器の型式と編年」:『日本考古学を学ぶ』(1)、183-202p. 有斐閣.
- ・泉拓良・家根祥多 (1985) 「北白川追分町遺跡出土の縄文土器」:『京都大学埋蔵文化財調査報告』III、163-187p. 京都大学埋蔵文化財研究センター.
- ・大阪市文化財協会 (1982) 「長原遺跡南部の層序」:『長原遺跡発掘調査報告』II、13-20p.
- ・大阪市文化財協会 (1983) 「縄文時代晚期から弥生時代」:『長原遺跡発掘調査報告』III、35-91p.
- ・大阪市文化財協会 (1995a) 「長原東南地区の調査結果」:『長原・瓜破遺跡発掘調査報告』VII、49-144p.
- ・大阪市文化財協会 (1995b) 「まとめ」:『長原・瓜破遺跡発掘調査報告』VII、414-415p.
- ・小林達雄・泉布良輔 (1983) 「縄文土器編年表」:『世界陶磁全集』1、313-314p. 小学館.
- ・佐原真 (1968) 「近畿地方」:『弥生土器集成』本編2、66-68p. 東京堂出版.
- ・鈴木秀典 (1982) 「瓦器輪の編年」:『長原遺跡発掘調査報告』II、278-282p. 大阪市文化財協会.
- ・田辺昭三 (1981) 「須恵器大成」、185ps. 角川書店.
- ・趙哲清 (1983) 「調査地の層序と遺構検出面」:『長原遺跡発掘調査報告』III、24-31p. 大阪市文化財協会.

- ・趙哲濟・大阪市石器研究会(1994)「長原遺跡における旧石器調査の現状—特に層序と古地理についてー」:『大阪市文化財論集』、73-84p. 大阪市文化財協会.
- ・野尻湖発掘調査団(1992)「上部更新統の野尻湖層で発見されたナウマンゾウの足跡化石」:『地球科学』46、385-404p. 地学団体研究会.

#### 第 IV 章

- ・赤沢威・小田静夫・山中一郎(1980)『日本の旧石器』、244ps. 立風書房.
- ・一瀬和夫編(1990)『南河内における遺跡の調査Ⅰ』大阪府文化財調査報告書第38輯、本文欄110ps. 図版欄115ps. 大阪府教育委員会.
- ・大阪市文化財協会(1995)「石器遺物の観察」:『長原・瓜破遺跡発掘調査報告』Ⅶ、267-324p.
- ・鎌木義昌(1965)「刀器文化」:『日本の考古学Ⅰ-先土器時代-』131-144p. 河出書房.
- ・鎌木義昌・高橋護(1965)「瀬戸内地方の先土器時代」:『日本の考古学Ⅰ-先土器時代-』、284-302p. 河出書房.
- ・久保弘幸(1989)「大阪湾沿岸地域における小型ナイフ形石器とその編年について」:『旧石器考古学』38、83-92p. 旧石器文化談話会.
- ・久保弘幸(1994)「瀬戸内技法を伴う石器群の変遷」:『瀬戸内技法とその時代』、111-123p. 中・四国旧石器文化談話会.
- ・桑原武志・久保弘幸(1987)「枚方市藤阪宮山遺跡出土の石器群」:『旧石器考古学』35、53-68p. 旧石器文化談話会.
- ・佐藤良二(1989)「近畿地方におけるナイフ形石器群の変遷」:『旧石器考古学』38、121-132p. 旧石器文化談話会.
- ・菅榮太郎(1995)「石器資料の型式および製作技法の編年的検討」:『長原・瓜破遺跡発掘調査報告』Ⅸ、367-388p. 大阪市文化財協会.
- ・高井健司・櫻井久之(1993)「層位発掘に基づく石器形態の変遷的研究」:『長原・瓜破遺跡発掘調査報告』V、261-268p. 大阪市文化財協会.
- ・田島富恵美(1993)「有舌尖頭器における剥離面の検討—大阪市内の出土例からー」:『旧石器考古学』47、185-193p. 旧石器文化談話会.
- ・趙哲濟・大阪市石器研究会(1994)「長原遺跡における旧石器調査の現状—特に層序と古地理についてー」:『大阪市文化財論集』、73-84p. 大阪市文化財協会.
- ・羽曳野市遺跡調査会・京都大学文学部考古学研究室編(1995)『旧石器人のアトリエ—羽曳野市翠鳥園遺跡の石器接合資料ー』、96ps. 羽曳野市遺跡調査会.
- ・原田昌則・長屋幸二・三原慎吾・松藤和人(1989)「八尾南遺跡第2地点の旧石器」:『旧石器考古学』38、19-57p. 旧石器文化談話会.
- ・平口哲夫(1987)「横剥ぎ技法の諸類型(その一)」:『太平叢書』6、1-12p. 大塚書店.
- ・福田英人編(1989)「八尾南遺跡—旧石器出土第3地点ー」大阪府文化財調査報告書第36輯、62ps. 大

阪府教育委員会.

- ・間壁貢子 (1968) 「香川県板出市櫛石島採集の石器」:『倉敷考古館研究集報』4、35-44p. 倉敷考古館.
- ・松藤和人 (1974) 「瀬戸内技法の再検討」:『ふたがみ-二上山北麓石器時代遺跡群分布調査報告-』、138-163p. 学生社.
- ・松藤和人 (1979) 「ふたたび“瀬戸内技法”について」:『二上山・桜ヶ丘遺跡-第1地点の発掘調査報告-』、203-252p. 奈良県立橿原考古学研究所.
- ・松藤和人 (1980) 「近畿西部・瀬戸内地方におけるナイフ形石器文化の諸様相」:『旧石器考古学』21、213-259p. 旧石器文化談話会.
- ・松藤和人 (1981) 「西日本における舟底形石器の縦年別予察-近畿・瀬戸内地方の出土例を中心に-」:『旧石器考古学』22、1-26p. 旧石器文化談話会.
- ・松藤和人 (1985) 「瀬戸内技法・国府石器群研究の現状と課題」:『旧石器考古学』30、119-134p. 旧石器文化談話会.
- ・松藤和人 (1989) 「小型ナイフは組み合わせ石器か? -特集号総括にかえて-」:『旧石器考古学』38、153-156p. 旧石器文化談話会.
- ・松藤和人 (1991) 「大阪府のあけぼの」:『大阪府史』別巻、59-113p. 大阪府.
- ・松藤和人 (1992) 「大阪平野における旧石器縦年研究に寄せて」:『旧石器考古学』44、11-23p. 旧石器文化談話会.
- ・山田隆一編 (1993) 「八尾南遺跡II-旧石器出土第6地点-」、100ps. 大阪府教育委員会
- ・山中一郎 (1994) 「型式分類と属性分析」・「属性分析結果の解釈」:『石器研究のダイナミズム-ボルド型式学の革新のために-』、48-79・80-114p. 大阪文化研究会.
- ・山中一郎 (1995) 「用語解説」:『旧石器人のアトリエ-羽曳野市翠島園遺跡の石器接合資料』、92-95p. 羽曳野市遺跡調査会.

## 第 V 章

- ・久保和士 (1995) 「動物遺体の調査結果」:『長原・瓜破遺跡発掘調査報告』Ⅳ、233-241p. 大阪市文化財協会.
- ・島地謙・伊東孝夫 (1988) 「日本の遺跡出土木製品総観」、296ps. 雄山閣.
- ・塚田松雄 (1981) 「過去一万二千年間-日本の植生変遷史Ⅱ」:『新しい花粉帯』日本生態学会誌31、201-215p. 日本生態学会.
- ・中村純 (1974) 「イネ科花粉について、とくにイネ (*oryzopsis*)を中心として」:『第四紀研究』13、187-197p. 日本第四紀学会.
- ・那須孝介・板本清子 (1980) 「花粉分析」:『龜井・城山、夜麗川南部流域下水道事業長吉ポンプ場築造工事開通記念文化財発掘調査報告書-本文編-』、423-431p. 大阪文化財センター.
- ・古谷正和 (1979) 「大阪周辺地域におけるウルム氷期以降の森林植生変遷」:『第四紀研究』18、121-141p. 日本第四紀学会.

- ・安田喜憲（1978）「大阪府河内平野における過去一万三千年間の植生変遷と古地理」：『第四紀研究』16、211-229p. 日本第四紀学会。
- ・安田喜憲（1990）『気候と文明の盛衰』、358ps. 明倉書店。
- ・渡辺正巳（1995）「花粉分析法」：『考古資料分析法』考古学ライブラリー-65、84-85p. ニューサイエンス社。
- ・MAEDA, Yasuo (1976) 「The sea level changes of Osaka Bay from 12,000 BP to 6,000 BP」：『Journal of Geoscience, Osaka City Univ.』 20, 43-58p.

## あとがき

前書（シリーズⅦ）に引き続き、本書も石器遺物の特集といった様を呈している。発掘から7年、長原遺跡が平野の地下に埋もれた旧石器時代の遺跡として注目されてからは17年が経過し、ようやくその本質に迫れる遺構と遺物を公にできることになった。多くの接合資料は旧石器時代に生きた人びとの石割りの思想を、これまで以上に語ってくれるものと思われる。

しかしながら、準備に相当な時間を費やしてきたとはいえ、経済動向の荒波に身を委ねなければならないのは何処とも同じであり、財団法人の当協会も例外ではなく、本書は執筆から編集までを5ヶ月で熟さなくてはならなかった。そのため、特に重要なと思われた石器遺物のみを掲載せざるを得ず、歯がゆい思いをしている。これも実力の内かと半ば詰め、半ば反省している。

このような事情ではあったが、本書の編集方針は前書と同様に、変化する様々なものの見方に対して基礎となる資料を提供すべく、現場で認識された事実を正確に記載するようこころがけたことにある。したがって、第Ⅲ章の遺構や遺物の出土層準の記載には、長原遺跡で蓄積された第Ⅱ章の標準層序を柱にして、発掘現場ごとに構成した。また、総合化には未だ及ばないが、第VI章で本書の全容を簡潔にまとめておいた。なお、本書を貫く層位学的・堆積学的視点については、前書の地層解説に目を通してくださいことをお薦めする。

本書の刊行を待望された読者、とくに石器の研究者は少なくないと思われる。不十分な内容という謗りは免れないものの、一応の使命が果たせたことに、ひとまず安堵させていただきたい。そして、近い将来、機会をつくって稿を補っていきたいと考えている。そのためにこそ、大方の忌憚のないご批判を乞うしたいである。

1997年3月 永島暉臣 慎

# 索引

A	あ
Aso-4(火山灰) .....	始良Tn火山灰 ..... 21-23
AT(火山灰) .....	アカガシ亜属 ..... 198, 200, 202
B	
B5-3(U)火山灰層 .....	浅香火山灰層 ..... 23
BB7火山灰層 .....	足跡 ..... 25, 32, 49, 59, 63, 65, 207, 209
BB51火山灰層 .....	飛鳥II期 ..... 37, 75, 104
BB55火山灰層 .....	畦 ..... 59, 63, 69, 78, 79, 86, 87, 159
BT6火山灰層 .....	阿蘇4火山灰 ..... 23
BT7火山灰層 .....	吾彦火山灰層 ..... 18, 23
BT9火山灰層 .....	アラカシ ..... 202
BT10火山灰層 .....	安山岩 ..... 42, 114, 120, 207
BT22火山灰層 .....	暗色帶 ..... 14, 15, 27, 47
BT25火山灰層 .....	アンダーブリント ..... 34
	暗文 ..... 37, 46, 91
C	
<sup>14</sup> C年代測定 .....	板状剥片 ..... 110, 112, 113,
C-II期 .....	120, 123-125, 127, 132-134, 136, 137,
C-III期 .....	139, 140, 142-144, 146, 149, 151, 153-
C-IV期 .....	155, 157, 159, 161, 166-169, 171, 182
K	
K-Ah(火山灰) .....	一側縁調整 ..... 124, 146, 149
K-Tz(火山灰) .....	井戸 ..... 8, 38, 82, 83, 92, 95, 208, 210
	イヌガヤ ..... 202
	イネ科 ..... 197, 198, 202
M	
Ma12海成粘土層 .....	う
Ma13海成粘土層 .....	上町累層 ..... 13, 15
MT15型式 .....	ウシ ..... 32, 209
T	
TK10型式 .....	白玉 ..... 95
TK23型式 .....	ウナギフカミ節-サナエタ節 ..... 198
TK47型式 .....	武潤 ..... 68, 76
TK209型式 .....	馬池谷 ..... 11, 13, 86, 209, 210
TK217型式 .....	馬供儀 ..... 4
	瓜破台地 ..... 13, 92, 97, 210
	お
	大阪湾沿岸地域 ..... 201

か	
河岸段丘	13
瓦器	36-38, 46, 78, 82, 90, 93, 97
角錐状石器	150
加工面	32, 59
火山ガラス	19, 22, 205
火山灰層序	23
火山灰分析	7, 8, 15, 23
火葬墓	9
花粉分析	7, 22, 197, 198, 200, 206
花粉分带	198
斐	37, 43, 45, 46, 68, 79, 87, 90, 93, 101, 103
龜井遺跡	201
河内湾	206
河内台地	13
河内平野	13, 201, 207
河内津	206
川辺3号用水	74, 207
瓦	82, 83, 92, 93
官衙	3
乾痕	27, 105
完新統	14, 15, 23, 198
き	
鬼界アカホヤ火山灰	21-23
鬼界葛原火山灰	23
キク亜科・キク科	198, 202
北白川C式土器	67, 206
北花田火山灰層	18, 23
鬼虎川火山灰層	21, 23
機内第I様式	42, 43, 45
機内第IV様式	37
機能面	32
基部調整	149
基本層序	1, 6, 14
(剥離面の)肌理	109
旧石器時代	1, 4, 6-9, 25, 35, 36, 38, 45, 47, 52, 54, 65, 66, 96, 105, 106, 171, 174, 197, 205, 206
か	
偽縛	27, 31, 33-35, 39, 59, 81, 206
喜連東遺跡	18
く	
偶贈類	32, 209
クサビ関連資料	105
窪地	14, 15, 47, 63, 71, 85, 95, 96
黒ボク土	15
け	
畦畔	27, 59, 78-80, 85, 86, 210
決壊流路	25, 35, 45, 63
こ	
交互剥離	124, 132, 139, 157, 158, 167, 205
更新統	15, 23, 68, 76, 81, 92
行跡	32-34
後水期	206
コウヤマキ属	198, 200, 202, 203, 206, 207
小型丸底壺	39
古川辺川	6, 7, 15, 25, 35, 47, 54, 63, 68, 206
古川辺谷	25, 38, 174, 205
古環境	210
黒色土器	68, 74, 93
国府石器群	157, 158, 205
古式土器	46
古植生変遷	197
古地理	11, 210
古土壤	15
古長瀬川	13
古長原川	68, 74-76, 81
古平野川	13
さ	
最高潮位期	206
最終間永期	13
最終水期	13, 205
細部調整剥片	105, 112-114, 154, 157, 182
阪手火山灰層	15, 23

砂岩	42, 43, 114, 155, 159, 170, 183	せ	
削器	45, 52, 105, 112, 114, 127, 136, 176, 182	青磁	93
サヌカイト・サヌキトイド	42, 43, 63, 65, 66, 73, 96, 109, 114, 146, 155, 157, 159, 161, 172, 177, 180	石核	35, 45, 52, 53, 65, 96, 105, 107, 108, 110, 112-114, 117, -120, 123-125, 127, 132, -134, 136, 137, 139, 140, 142-144, 146, 151, 153-157, 159, 161, 165-172, 174-176, 182, 205, 206
し			
磁器	92	石核(の)調整	133, 142, 151, 153, 158, 171
支持痕	34	石刀・石刀状剥片	149, 157, 158, 171, 176, 182
自然流路	8, 25, 35, 36, 42, 43, 49, 63	石錐	105
七ノ坪古墳	3	石鐵	3, 4, 42, 63, 96, 105-177, 179-181, 206
鳥島	47, 54, 86, 210	石斧	105, 183, 207
重鉛物	19	石器集中部	7, 8, 12, 35, 52, 65, 105, 107, 109, 110, 112, 113, 115, 116, 118, 146, 150, 156, 159, 161, 165, 172, 175, 176, 205, 206
集落	3, 9, 10, 11, 43, 210	石器製作址	1, 36, 66, 172, 174, 205, 206
受熱礫	105, 110, 113, 115, 120, 155	石器密集部	4, 7, 9, 53, 107, 110, 112, 159, 175
小溝群	38, 68	接合資料	35, 52, 107, 109, 117-120, 124, 127, 132, 134, 137, 140, 142, 144, 146, 149, 150, 151, 153-156, 158, 161, 165-168, 170, 171, 172, 174, 175, 182, 205, 206
使用痕(をもつ剥片)	105, 110, 112, 113, 115, 125, 146, 150, 154, 155, 157, 182	瀬戸内技法	9, 52, 142, 149, 153, 156-158, 205
庄内式	46	そ	
縄文海進	13, 206, 207	搔器	105, 176, 182
城山遺跡	1	草本花粉	198
照葉樹林	202, 207	草本植生	202, 203, 207
条里	210	足印	32-34
シルト岩	114, 155, 183	足印口	32, 33
森林植生	202	足印底	33, 34
す			
水田	2, 7, 9-11, 25, 27, 30, 32, 47, 49, 59, 63, 69, 78-80, 85-87, 202, 207, 209, 210	足印内堆積物	33, 34, 207
須恵器	3, 32, 37, 42, 45, 59, 74, 82, 87, 91, 93-95, 97, 101, 103, 104	足印壁	33, 34
癒痕	49	た	
スギ属	200	第1工程(瀬戸内技法)	157
梨渕	27, 38, 54, 76, 78, 97, 210	第2工程(瀬戸内技法)	142, 153, 156, 205
ステップ・フラクチャー	140, 150, 167, 182	第3工程(瀬戸内技法)	157
スランピング構造	47, 206	苔石	105
擦り石	105, 183		

対向調整剥離	150, 158	土器棺墓	9, 73, 207
大山ホーキ火山灰	21	土器群	93, 94, 97
多雨	202, 203, 207	土器埋納遺構・ピット	3, 38, 208
叩き石	35, 105, 107, 110, 113-115, 155, 159, 161, 170-172, 206	土壤	11, 68, 78, 80, 81, 83, 84, 87, 93, 101, 103, 209, 210
立木の根の痕	52, 63, 65	土壤中火山灰抽出分析	19
縦に長い剥片	133, 143, 155, 165, 166, 169-171, 182, 205	突帯	35, 43, 45, 67, 71, 73, 75
打面調整	120, 123-125, 127, 132-134, 136, 137, 139, 140, 142-145, 151, 153, 154, 156-158	な	
多面調整打面	155	ナイフ形石器	52, 65, 105, 107, 110, 112-115, 118, 120, 123, 124, 144, 146, 149, 150, 157, 158, 176, 205
ち		長原古墳群	1-4, 208, 208
チャート	39, 67, 114, 146, 157-159, 170	長原式土器	8, 35, 42, 43, 45, 52, 71, 73, 75, 207
中位段丘構成層	13, 15, 18, 23	難波累層	13-15
中間温帯林	202, 203, 207	に	
柱穴	38, 78, 87, 101, 210	西川辺川	8, 43, 59, 74, 207
沖積層	13-15, 18, 23, 25, 68, 76, 78, 81, 85, 86, 92, 97, 206	西除川	13
沖積平野・沖積面	13, 14, 208	二側線調整	123, 149, 150, 176
長頸壺	101	二面調整打面	154, 155, 182
つ		ね	
ツガ属	198, 200, 202, 206	粘土探掘(坑)	8, 81, 83, 210
翼状剥片	107, 157	粘土粧	43, 67, 73
壺	43, 45, 46, 75, 84, 91	は	
坪境溝	82	剥片	8, 12, 35, 36, 42, 43, 45, 53, 63, 65, 66, 73, 96, 105-110, 112-115, 117-120, 123-125, 127, 132-134, 136, 137, 139, 140, 142-144, 146, 149-151, 153-157, 159, 161, 165-172, 175, 182, 205, 206
て		剥離面打面	154, 155
低位段丘(面)	11, 13, 15	土師器	2, 37, 38, 39, 46, 68, 74, 78, 79, 82, 83, 90, 93, 95, 97, 99, 101, 104
低位段丘構成層	13, 15, 23	柱痕跡	38, 101
底面角	107, 125, 127	ひ	
テフラ	19, 22	東川辺川	25, 35
と			
砥石	42, 43, 105, 183		
同時割れ	109, 127, 134, 142, 154, 176		
倒木の痕	35, 52, 63, 207		

東除川	13, 14, 85, 210	松河戸火山灰層	23
微細石器遺物・微細捕集遺物	22, 53, 66, 107, 110, 112, 113, 159, 172, 175	み	
縦状剥離	177	溝	9-11, 27, 30-32, 35, 36, 43, 45, 47, 49, 52, 54, 59, 63, 68, 73, 74, 76, 78, 80, 82-84, 92-94, 97, 183, 207, 209, 210
ピット	11, 38, 39, 42, 54, 68, 70, 73, 78, 81, 87, 92, 93, 95, 97, 209	水口	59, 63, 78
微逐晶	109, 123, 143	南口古墳	4
標準層序	2, 7, 14, 15, 18, 25, 27, 38, 47, 54, 76, 85, 86, 97, 106	め	
ピンジ・フラクチャー	120, 127, 144, 166	瑪瑙	114
ふ		も	
深鉢	67, 71, 73, 75	木製工具	3
武人埴輪	3	木製品	73
船元Ⅱ式	67, 206	目的的剥片	124, 125, 127, 132-134, 136, 140, 144, 146, 151, 153, 156, 157, 206
踏込み跡	27, 30, 43, 79	木棺	203, 207
プラント・オーバル	19	や	
古市湿原	201	八尾南遺跡	19, 25, 158, 208
布留式	46	八尾南遺跡第3地点	158
粉碎打面	154	山形の打面	123, 139, 140, 205
へ		山形の棲	123-
平安時代Ⅱ期	90		125, 127, 132, 133, 143, 144, 156
平安時代Ⅲ期	46	大和川	8, 13
平安時代Ⅳ期	37, 46, 68, 74, 90	弥生土器	8, 37, 42, 43, 45, 59, 207
平安神宮火山灰層	7, 15, 21, 23, 54, 106, 205, 206	ゆ	
ヘラ描沈線文	43	有茎尖頭器	45, 105, 171, 177, 181, 206
ヘラ記号	99, 103, 104	有漂砾石	105
ほ		有底剥片	107, 120, 123-125, 127, 132, 137, 139, 140, 143-146, 149, 157, 158
方形周溝墓	2, 4, 207	よ	
紡錘車	3	横穴式石室	3
ボーリング資料	18	横大路火山灰層	15, 21, 23
帆立貝形	4	横洞剥片	107, 123-125, 127, 132, 133, 136, 139, 140, 142-144, 146, 149, 150, 153-157, 165, 166, 169, 171, 176, 182
握立柱建物	9-11, 87, 97, 101, 210		
ま			
マキ属	198, 200, 202		
磨製石斧	43, 183		

ヨモギ属 ..... 198 両面調整石器 ..... 105, 168, 171, 172, 206

ら

ラミナ面 ..... 207 冷温帯 ..... 201

暖器 ..... 105

り

陸上成層 ..... 15

れ

流理構造 ..... 109, 127

和同開跡 ..... 37

後上調整剥離 ..... 150

わ

**Archaeological Reports  
of  
Nagahara and Uriwari Sites in Osaka, Japan**

**Volume IX**

A Report of Excavations  
made in response to  
the Nagayoshi-Uriwari re-zoning project,  
in 1989

March 1997

Osaka City Cultural Properties Association

## **Notes**

The following symbols are used to represent archaeological features and others in this text.

- SA :** Palisade or fence
- SB :** Building
- SD :** Ditch
- SE :** Well
- SK :** Pit
- SP :** Pothole or pit
- SR :** Baulk
- NR :** Natural stream
- LC :** Lithic concentration
- SX :** Other features

## CONTENTS

### Foreword

### Explanatory notes

<b>Chapter I</b>	<b>Progress and outline of research .....</b>	<b>1</b>
S 1.	Former research at the Nagahara site .....	1
S 2.	Excavations made in response to the re-zoning project during 1989 .....	5
1.	South-eastern sector of the Nagahara site .....	5
2.	Central sector of the Nagahara site .....	9
3.	West sector of the Nagahara site .....	10
4.	South-western sector of the Nagahara site .....	11
5.	Research of lithic artefacts .....	11
<b>Chapter II</b>	<b>Stratigraphy at the Nagahara site .....</b>	<b>13</b>
S 1.	Outline of geography and geology .....	13
S 2.	Stratigraphical standard of the Nagahara site .....	14
1.	Holocene .....	14
2.	Upper Pleistocene and the lower part of the Holocene .....	15
S 3.	Volcanic ash layers and layers of dense volcanic ash inclusion .....	19
1.	Determination method of the non-tephra layer in the soil from NG89-22-4 .....	19
2.	Dating of the volcanic ash layers and lithological properties of the volcanic ash .....	23
<b>Chapter III</b>	<b>Results of research (the former part) .....</b>	<b>25</b>
S 1.	NG89-19 .....	25
1.	Stratigraphy .....	25
2.	Features and associated finds .....	27
3.	Finds from archaeological deposits .....	36
S 2.	NG89-23 .....	38
1.	Stratigraphy .....	38
2.	Features and associated finds .....	38
3.	Finds from archaeological deposits .....	45
S 3.	NG89-37 .....	47
1.	Stratigraphy .....	47
2.	Features and associated finds .....	47
S 4.	NG89-22 .....	54
1.	Stratigraphy .....	54
2.	Features and associated finds .....	54

3. Finds from archaeological deposits .....	66
<b>S 5. NG89-80 .....</b>	<b>68</b>
1. Stratigraphy .....	68
2. Features and associated finds .....	68
3. Finds from archaeological deposits .....	74
<b>S 6. NG89-72 .....</b>	<b>76</b>
1. Stratigraphy .....	76
2. Features and associated finds .....	76
<b>S 7. NG89-26 .....</b>	<b>81</b>
1. Stratigraphy .....	81
2. Features and associated finds .....	81
<b>S 8. NG89-33 .....</b>	<b>85</b>
1. Stratigraphy .....	85
2. Features and associated finds .....	85
<b>S 9. NG89-20 .....</b>	<b>86</b>
1. Stratigraphy .....	86
2. Features and associated finds .....	86
3. Finds from archaeological deposits .....	90
<b>S 10. NG89-43 .....</b>	<b>92</b>
1. Stratigraphy .....	92
2. Features and associated finds .....	92
<b>S 11. NG89-67 .....</b>	<b>97</b>
1. Stratigraphy .....	97
2. Features and associated finds .....	97
3. Finds from archaeological deposits .....	104
 <b>Chapter IV Results of research (the middle part) .....</b>	 <b>105</b>
<b>S 1. Outline of research of lithic artefacts .....</b>	<b>105</b>
1. Horizon of finds and contents .....	105
2. Nomenclature for description .....	107
3. Lithological classification of raw materials .....	109
<b>S 2. Lithic clusters at NG89-37 .....</b>	<b>110</b>
1. Excavation condition of lithic artefacts .....	110
2. Investigation of lithic artefacts .....	120
3. Prospect on the flaking technique of LC1301-03 .....	156
<b>S 3. Lithic cluster at NG89-19 .....</b>	<b>159</b>
1. Excavation condition of lithic artefacts .....	159
2. Investigation of lithic artefacts .....	165
3. Identifying final product from analysis of refitted materials .....	171
4. Character of LC1203 .....	172
<b>S 4. Lithic cluster at NG89-22 .....</b>	<b>175</b>

1. Excavation condition of lithic artefacts .....	175
2. Investigation of lithic artefacts .....	175
S 5. Tanged point and arrowheads .....	177
1. Tanged point .....	177
2. Arrowheads .....	177
S 6. Other principal lithic artefacts .....	182
1. Lithic artefacts from Bed 14 .....	182
2. Lithic artefacts from Beds 12-13 .....	182
3. Lithic artefacts from Bed 9A .....	183
 Chapter V Results of research (the latter part) .....	197
S 1. Pollen analysis .....	197
1. Purpose and sampling .....	197
2. Analytical methods and results .....	197
3. Considerations .....	198
1) Pollen assemblage zone .....	198
2) Comparison with other areas ; climate from the final Jomon to the early Yayoi .....	198
3) Vegetation change .....	202
4) Conclusions .....	203
S 2. Faunal remains .....	204
 Chapter VI Conclusion of research in 1989 .....	205
1. Late Palaeolithic Period .....	205
2. Incipient to Middle Jomon Periods .....	206
3. Late Jomon to Middle Yayoi Periods .....	206
4. Late Yayoi to Kofun Periods .....	207
5. Asuka to Nara Periods .....	210
6. Medieval to Modern Periods .....	210
 References .....	211
Postscript	
Index	
 English Summary	
Reference Card	

## ENGLISH SUMMARY

### Introduction

The Nagayoshi-Uriwari area, in which the Nagahara and adjoining Uriwari sites are situated, is in the south-eastern part of Osaka City, Japan (Fig 1). This area being one of the few remaining locations within Osaka City in which farmland can still be found. Since 1981, the Nagayoshi-Uriwari re-zoning project, which encompasses the sites, has been underway to accommodate the district's rapid residential growth that followed improvements to main road and subway access to the City (Fig 2).

Though emergency research prior to the re-zoning project has been conducted since 1981, many other excavations at these sites have been carried out, almost continuously, over the last twenty years, prior to public or private development in the area. In particular, at the Nagahara site, three hundred and sixty-seven excavations have been carried out so far, and the total excavated area amounts to 160,597 m<sup>2</sup>, covering 4.5% of the whole site. This large accumulation of fieldwork has clarified that Nagahara and Uriwari are both large, complex sites, following a terrace slope down to a plain, in which discoveries belonging to between the Late Palaeolithic and the Early Modern Period, have yielded wide ranging information about settlements and cemeteries in each period.

The depositional sediments are divided into 16 archeological beds at the site and surrounding areas. Each bed is subdivided into several layers. The upper 12 beds belong to the Holocene, and correspond to the Upper and Middle Alluvium deposits, referred to as the Upper and Middle Namba Formation in the central Osaka plain. Bed 13A belongs to the Late Pleistocene, and corresponds to the Lower Alluvium, referred to as the Lower Namba Formation. The lower beds also belong to the Late Pleistocene, and correspond to the Lower Terrace Formation, referred to as the Temma Formation, and are distributed under the central Osaka plain (Table 4).

In the 1989 fiscal year (beginning April 1st), the Osaka City Cultural Properties Association conducted 13 excavations (4,700 square metres in total) in response to the re-zoning project and this report summarizes the results of these excavations (Figs 3-4).

### Late Palaeolithic

At the time just prior to the last glacial maximum, the south-eastern sector of the Nagahara site was located on the gentle slope of a terrace some 110 metres in height. The natural land surface at this time was converted to soil by weathering, and had not yet built up additional deposits. Volcanic glass is found mixed with the soil and indicates an extensive ash fall, thought most of the tephra has been eroded by wind and rain action. In research area 22, however, a layer of volcanic ash (Bed 13Bii),

deposited in a shallow depression, was unearthed. This is the earliest encounter of volcanic ash in this area. The layer is referred to as Heianjingū volcanic ash layer and is correlated to AT volcanic ash. The ash is presumed to have fallen some 25,000 years ago and is significant to the Nagahara site as a key bed of the Late Palaeolithic (Fig. 6, Table 7).

Four lithic clusters were found between the 12/13 transitional zone and Bed 13, in a layer that lies above the volcanic ash layer. They were found at research areas 37 and 22 and are designated LC1301-3, and LC1304 (Figs 57-59, 82, Table 23, Plates 9-11, 13). These clusters were distributed on the right bank of the buried valley, Old Kawanabe gully, and are the biggest lithic clusters ever found in this area.

The lithic clusters LC1301-3 are believed to be the refuse of a stone manufacturing site. Judging from lithic distribution and the results of numerous flake and core refittings, the site was used to produce small lithic tools; backed flakes (so-called knife-shaped tools) in particular. A considerable number of the refittings and the cores may indicate a following of the Setouchi technique (side-blow flaking) as they demonstrate features of this technique's second process. However, some of the examples were produced by the alternating-flaking and the blade-like flaking, both significantly different from the Setouchi technique. More investigation is needed, but these lithic remains can provide an important topic in the technological and chronological study of small backed flake production (Figs 60-76, 81, Plates 35-47).

This year, some of the earliest flakes found in the Kinki district, were uncovered in Bed 14, and belong to the early Late Palaeolithic Period, before the fall of the Heianjingū volcanic ash layer (Fig. 28, Plate 53). Additionally, a slumping of sediments can be observed between Beds 12 - 15, possibly indicating an earthquake during the deposition Beds 10 - 11 (Fig. 18). This was more fully reported in the previous volume.

#### Incipient to Middle Jomon Periods

Another lithic cluster (LC1203) was excavated from Beds 12 and 13, at research area 19 (Figs 76-80). A dense lithic cluster of more than 1000 pieces, it consists mostly of flakes, with a few cores and hammer stones. Judging from the examination of many flake and core refittings, it is presumed that they made bifacial retouched stone-tools at this site. One of the refittings consists of flakes from LC1203 and a core found at research area 23. As the core was found associated with tanged points, LC1203 may also have been the site of tanged point production (Fig. 81, Plates 48-52).

Bed 12 was deposited during the regression after the post-glacial Jomon transgression. Excavation this year added new evidence to identify the date of deposition of Bed 12B. These are Kita-shirakawa C pottery from Bed 12Bi (deposited by the Old Kawanabe stream, which ran northward across research area 22), and Funamoto type II pottery from Bed 12Bii-iii (Fig. 29, Plate 32). Bed 12B, Bed 12Bii in particular, features many secondarily deposited unconsolidated pebbles, originating

Table. 4 Stratigraphy at Nagahara Site 1995, Osaka, Japan

Stratigraphic Succession	Facies	Thickness & Natural Phenomena (cm)	Main Archaeological Features and Human Remains		Dating	Period
			Archeological Features	Natural Phenomena		
Bed 0	Banking	-				Present
Bed 1	Arable soil	15-25	↓			
Bed 2	grayish brown silty sand	6-24	↓ Small Ditches, Spade track		China, Porcelain (400)	Modern Edo
Bed 3	light yellowish brown-gray clayey silt with granite	12-20	↓ dark band ↓	↓ Small Ditches, Plowed field, Spade track	Gashū ware, China Ga-ware(V-V)	Mitennachi
Bed 4 A	medium sand with granite	8-15		↑ Paddy field	Gi-ware(III - V)	
	brownish gray sandy silt	av.20		↓ Small Ditches, Spade track	Gi-ware(II - III)	
Bed 4 B	dark grayish brown sand with granite	av.5				Kamakura
i	medium sand with granite	av.15		↑ Paddy field		
ii	gray sandy silt & gravel	av.20		↓ Small Ditches Smoked Haji, Gi-ware(I - II)	(800)	
Bed 4 C	yellowish brown sandy silt	av.20		↑ Building		Heian
	10-45cm gray sand & gravel, silty fine sand layer intercalating	av.20		↓ Paddy field	(Heian I - II)	
Bed 5 A	fine-very fine sand	10-40	← Hoe track	↓ Hoe track	Haji-ware, Sue-ware(Haji-kyo V - VI)	(1200)
Bed 5 B	dark bluish gray clayey silt	2-8	← Paddy field	↓ Haji-ware, Sue-ware(Haji-kyo III)	Nan	
Bed 6 A	dark greenish gray medium fine sand	≤20	Mad nail	↓ Haji-ware, Sue-ware(Haji-kyo III)	(1300)	
i	dark olive gray clay, silt & very f. sand sh.	av.10	≤5	← Human and Anthropoid Footprints		
ii	brownish black silty clay with sand	≤15	Mad nail	↓ Paddy field		Asuka
Bed 6 B	brownish black sandy clay	≤5	← sun cracks	↓ Haji-ware, Sue-ware(Asuka III)	(1400)	
i	brown very c. sand & granite	av.10	← Paddy field	↓ Haji-ware, Sue-ware(Asuka I)		Late Kofun
Bed 7 A	gray clay with sand	av.15	↓ Building with pillars embedded directly in the ground	↓ Building with pillars embedded directly in the ground		Middle Kofun
ii	brownish black silty clay with sand	≤25	← Nagahara stone-lined tomb cluster	↓ Nagahara stone-lined tomb cluster	(1600)	Early Kofun
Bed 7 B	brownish black sandy clay	≤20	↔ Paddy field(Yayoianshi Site)	↓ Square-shaped second burial, Building	(1700)	
i	brown very c. sand - clayey silt	≤5	↔ Square-shaped second burial, Building	↓ Square-shaped second burial, Building		Late Yayoi
iii	dark brown clayey silt	av.10	↔ Sun cracks	↓ Stone arrow head	(2000)	Middle Yayoi
Bed 8 A	bluish gray sand & gravel	≤40	↔ Sun cracks	↓ Stone arrow head	Stone arrow head	
Bed 8 B	dark brown silty medium sand	av.10	↔ Paddy field, Dutch	↓ Stone arrow head		
Bed 8 C	dull yellowish brown v. c.-m. sand	av.25	↔ Human track	↓ Stone arrow head		
ii	yellowish brown silty clay	≤15	↔ Paddy field, Dutch	↓ Stone arrow head		
Bed 9 A'	gray silty clay	av.10	Yayoi pottery I, Jomon pottery(Nagashima-type)			
Bed 9 A	brownish black sand & silty clay	3-15				Early Yayoi

Bed 9 B		i	grayish olive sand & gravel	≤90	Clay figurine Stone red Ceramic coffin	Yayoi pottery I, Bow, Pestle Jomon pottery (Nagahara type), Axe, Bow Strategic pit PA dwelling	(2300)	Final Jomon
ii		dark grayish yellow silty clay	10-40	-	-	-	-	-
iii		grayish olive silty clay	3-14	-	-	-	-	-
iv		dark grayish olive silty clay	8-50	Quartz glass Ceratitoid garnet	-	-	-	-
v		grayish olive silty clay & sand	10-15	-	-	-	-	-
vi		grayish olive silty clay	2-8	-	-	-	-	-
vii		brownish black silty clay	2-10	-	-	-	-	-
viii		gray silty clay - sand & gravel	7-25	-	-	-	-	-
ix up		olive black silty clay with sand	aw. 5	↔ volcanic ash horizon "BB7 Ash Layer" ?	-	-	-	-
ix. bw.		dark gray silt - clayey sand	≥80	↔ earthquake	-	-	-	-
Bed 10		sand & gravel, very fine sand & silt	-	-	-	-	-	-
Bed 11		greenish gray silty clay	≤16	↔ sun cracks	-	-	-	-
Bed 12 A		brownish black clay silt with gravel	≤15	-	-	-	-	-
Bed 12 B		dark gray fine sandy silt	av.20	↔ earthquake ? (derived ash)	-	-	-	-
i		gray yellow silty silt	av.10	-	-	-	-	-
ii		gray silty clay	av.10	-	-	-	-	-
iii		yellowish gray sand & gravel	av.10	-	-	-	-	-
iv		yellowish gray sand & gravel 5-20cm	≤45	↔ sun cracks ↔ Stone tool factory	↔ sun cracks ↔ Stone tool factory	Stone arrow head	(4900 ± 1000) (Oak-14941)	Middle Jomon
Bed 12 C		dark gray fine silt & volcanic grassy silt (black weathered soil)	≤5	↔ volcanic ash horizon "Tokyo Volcanic Ash Layer"	Micro blade, Tanged point, Flake	-	Initial Jomon	-
12/13		pale yellow silt	≤5	-	-	-	-	-
transited zone		grayish yellow fine silt	av. 7	↔ volcanic ash horizon "Sakae Volcanic Ash Layer" ? Stone tool factory	Scrapper, Knife blade, Flake, Core	(15000)	-	-
Bed 13 A		-	-	-	? Flake, Core	-	-	-
i		-	-	-	-	-	-	-
Bed 13 B		yellowish brown silty clay	≤5	↔ sun cracks	-	-	-	-
ii		yellowish gray silty volcanic ash	≤5	↔ volcanic ash horizon "Hesaki Igusa Volcanic Ash Layer"	-	-	-	-
Bed 13 C		dark & grayish brown silty clay	av.12	↔ sun cracks	-	-	-	-
Bed 14		greenish gray silty sand - clay	20-80	-	-	-	-	Late Palaeolithic
i		gray sand & gravel - sandy silt	-	-	-	-	-	-
ii		bluish gray clay - sand & gravel	150	Picea Nicola var. schielensis footprint fossils of Naumann's elephants	-	-	-	-
Bed 15		sand & gravel	450	-	-	-	-	Rake
i		sand & silt alternation with gravel	≤150	-	-	-	-	-
Bed 16 A		dark brown peaty clay	≤20	penitified forest, footprint fossils of Naumann's elephants & giant deer	-	-	-	-
Bed 16 B		gray efflorescent sandy clay with granite	≤20	volcanic ash horizon "Asaka Volcanic Ash Layer"	-	-	↔ 87000	-
ii		gray coarse sand & gravel	≤40	volcanic ash horizon "Kirishima Volcanic Ash Layer"	-	-	↔ 91000	-
iii		sand & gravel - sandy silt	40-70	↔ footprint fossils of elephants like pigs	-	-	-	Middle Palaeolithic
iii. sandstone bed		dark green coarse sandy clay	-	-	-	-	-	-

Wd : Wood Ch : Carbon Sh : Shell Pt : Peat Sl : Soil ← : Features excavated under low-plane ↓ : Features excavated on top-plane △ : Features excavated in bed

from Heianjingu volcanic ash layer (Fig. 26, Plate 15). This may be the result of erosion caused by frequent rainfall. Previously it was believed that Beds 10 and 11 were the first to be deposited after the peak of the Jomon transgression. This year's excavations revealed evidence that possibly Bed 12C was also laid down at this time. As such, the previous correlation of Beds 10 and 11 as the basal layers of the Upper Namba Formation may need to be reassessed.

At research area 43, in the south-western sector of the site, another lithic cluster, which had been partially leveled in medieval times, was found (Plate 26). Accompanied by many flakes and several arrow heads, these remains were possibly made in the Jomon Period but the exact age must await further investigation. This year, arrowheads were excavated from several Beds and after being sorted by stratum have provided us with examples for the study of form change (Figs 83-84, Plates 56-57).

#### Late Jomon to Mid Yayoi Periods

According to pollen analysis, during the late Jomon Period, Kawachi Gulf slowly transformed into a lagoon. While Bed 9C was being deposited, intermediate temperate forests, consisting of hemlock (*Tsuga*) and umbrella pine (*Sciadopitys*), were growing around the foothills of Mt. Ikoma, to the east of the Nagahara site. It is thought that laurel forests were distributed around the neighboring hills and at the foot of the mountain, and that they expanded at the time of the transgression. In and around the Nagahara site, sparse forest land was dominant and characteristic grasses and trees grew successively from the former period near the shore and gentle hills. Vegetation at the Nagahara site was presumably stable over long periods of time (Fig. 86). The remains of many fallen trees were found in Bed 9C (Figs 7-8, 20-25). Though the cause (local disaster, climate change, actions of man) is unknown, this is of great interest.

Evidence suggests that during the final Jomon Period, laurel forests may have expanded slightly, but during the Yayoi Period it diminished again as the intermediate temperate forest expanded. Although it has been elsewhere discussed that this was caused by a cold snap, evidence was uncovered that suggests that it may have been due to a change in vegetation environment by incessant rainfall (Fig. 86); Beds 9B and 9A, deposited at this time, are constituted of fine material (Table 4).

An early Yayoi Period jar-burial, featuring the use of Nagahara type pottery (a Jomon pottery style), was discovered in Bed 9A at research area 80 (Fig. 33, Plate 18). The burial was located at the edge of a large cemetery that stretched northward from the burial, down the gentle slope of a small hill. At research area 23, a concentration of artefacts (Yayoi pottery, stone axe, stone implements and others) was discovered on the side of a small hill on the right shore of the West Kawanabe stream (Fig. 15, Plates 6, 55). On the basis of this evidence, there is believed to have been a residential area within this district. Kawanabe canal 3 was later dug across the cemetery to supply water from the West Kawanabe stream and was excavated at research area 80.

On Bed 9A' (cultivated sub-layer of 9A), at research area 22, more of the oldest paddy field at Nagahara was excavated (Figs 22-26, Plate 15). It was first examined in 1982, and is an early Yayoi to early Middle Yayoi irrigated paddy field. This year's investigation was undertaken at the northern edge of the field.

Investigation suggests that a set of human footprints found on the lamina plain Bed 8Cii were created at the time when Bed 8Ci was being initially deposited (Figs 10-11, Plate 3). It is necessary to pay attention to the fact that time of occurrence of various human activities may be obscured on the many deposited surfaces that otherwise look natural.

During the late Middle Yayoi Period, the Yayoi people's activities extended onto the Kawachi Plain, exemplified by the square ditched mounds reported in the previous volume. In Bed 8B, which was formed during this period, a ditch was found at research area 37 (Figs 20-21, Plate 12). The pollen of umbrella pine (*Sciadopitys*) decreases at this time, in proportion to the increase of human activity and it has been proposed that Japanese endemic umbrella pine (*Sciadopitys verticillata*) had been selectively cut down for use in constructing wooden coffins or as architectural material (Fig. 86).

#### **Late Yayoi to Kofun Periods**

Features of the late Yayoi, one of the characteristic periods of the Nagahara site, were not found during this year's excavations. The deposition of Bed 8A by river flooding ceased during this period, and the main deposition area of Bed 7 moved to the Yaominami site, to the east of the Nagahara site. After this shift, the alluvial plain above Bed 8A was settled (Table 4, Figs 7-8). Human activity gradually expanded to the small hill on the terrace top, as Bed 7 gradually formed. The terrace stretched north-south along the centre of the site. During the Kofun Period, at the late formation period of Bed 7, Nagahara Tomb Cluster began to form.

The occurrence of buried pottery pits and wells found at research area 23, which is located at the newly formed plain, suggests that a residential area was located in this neighborhood (Fig. 14). Ditches, associated with paddy field development after the construction of the Nagahara Tomb Cluster, were also found (Figs 7-8, 20-21). On the bottom of one ditch at the research area 19, hoof prints of even toe animals, possibly cows, were densely pressed (Fig. 9, Plate 5).

Ditches and pits of this period were discovered as the slope of Umaikey valley in the west sector and the left side of Umaikey valley in the south-western sector at research areas 20 and 43 (Figs 45, 47-48). From this it is thought that the residential district had already expanded into this area during the Kofun Period.

#### **Asuka to Nara Periods**

During the final stage of the Kofun Period, paddy fields developed, expanding over the site. This was accompanied by an enlargement of the irrigation system, which supplied water from the Higashiyoke River to the Nagahara terrace. Paddy fields of

that time are typified by the use of both controlled and natural flooding. At research areas 18, 20 and 33, paddy fields, intervened with Bed 6B and 6A (sand beds originating in flood) were found (Figs 30, 44, 48, Plates 16, 23-25). The Umaikeya valley, defining the western limit of the terrace, began to rapidly silt up with sand and mud from the surrounding paddy fields.

*Hottatebashira*<sup>1</sup> style buildings, wells, pits, ditches and other features, accompanied by numerous pottery, were discovered in the eastern part of Uriwari terrace, to the west of Umaikeya valley (Figs 48, 54-56, Plates 28-29). Amongst them a *hottatebashira* cluster, contemporaneous with the large building clusters of Uriwari site, was found at research area 67. The possible correlation between them should be given attention.

### Medieval to Modern Period

In the final years of the Nara Period, the paddy fields in the Nagahara area were damaged by flooding, corresponding to Bed 5. The fields were reestablished during the early part of the Heian Period as massive farms, laid out using the *Jori*<sup>2</sup> land division system. On Bed 4, paddy field baulks, the remnants of furrows, and *shimabata*<sup>3</sup> were excavated (Figs 13, 22-25, 30, 34, 36, 48, Plates 18-19, 24-26). Although it is known that the residential area from the Heian to Kamakura Period was dispersed over this area, individual buildings can not be reconstructed. The numerous post holes at research area 23, however, attest to the existence of these buildings (Plate 8). The remains of several horses were uncovered from previously cultivated soil (Table 28).

In the late Medieval Period, the settlements and residential areas of Nagahara concentrated at the location of present town. Ditches, *shimabata*, wells and furrows discovered at the majority of the research areas in Beds 2 and 3, supported the previous research results as to the distribution of farming area. At research area 26, below Bed 2, five wells associated with the *Jori* system were excavated, and pits for clay extraction were found between modern cultivated soil and Bed 2 (Figs 38-40, Plates 21-22).

### Footnotes :

1. *Hottatebashira* is a style of architecture where the building are formed around posts embedded directly into the ground.
2. The *Jori* land division system was developed between AD 645 - 700 and codified the organization of land.
3. *Shimabata* are mounds of earth found within paddy fields. They constructed using sand and silt deposited over the paddy field by flood action, and were used to grow other crops, often cotton plants. They are typical to the Nagahara site.

### Further Reading

Aikens, C. M. and T. Higuchi

- 1982 Prehistory of Japan. Academic Press, New York.
- Pearson, R. J., G. L. Barnes, and K. L. Hutterer, Editors  
1986 Windows on the Japanese Past; Studies in Archaeology and Prehistory.  
Center for Japanese Studies, the University of Michigan, Ann Arbor.
- Tsuboi, K., Editor  
1987 Recent Archaeological Discoveries in Japan. UNESCO, Paris and Centre  
for East Asian Culture Studies, Tokyo.  
1992 Archaeological studies of Japan. *Acta Asiatica* 63. The Institute of  
Eastern Culture.
- Tsude, H.  
1988 Land exploitation and stratification of society: a case study in ancient  
Japan, *Studies in Japanese Language and Culture*, Joint Research Report  
No. 4, 107-130p. Faculty of Letters, Osaka University, Japan.  
1990 Chiefly lineages in Kofun-period Japan: political relations between centre  
and region. *Antiquity* 64, 923-931p.
- The Osaka City Cultural Properties Association  
1989-1995 Archaeological Reports of Nagahara and Uriwari sites Vols. I-VIII,  
Osaka. (With English summaries except for Vols I-III).
- The Osaka City Cultural Properties Association  
1978-1992 Archaeological Reports of Nagahara sites Vols. I-VIII, Osaka. (In  
Japanese).

報告書抄録

ふりがな	ながはら・うりわりいせきはくつちょうさほうこく 9					
書名	長原・瓜破遺跡発掘調査報告Ⅸ					
副書名	1989年度大阪市長吉瓜破地区土地整理事業施行に伴う発掘調査報告書					
巻次						
シリーズ名						
シリーズ番号						
編著者名	趙哲済・田中清美・久保和士・櫻井久之・清水和明・絹川一徳・松本百合子・小田木畜慈美・島居信子・伊藤幸司・岡村勝行・Robert Condon・水島輝臣憲					
編集機関	財団法人 大阪市文化財協会					
所在地	〒540 大阪府大阪市中央区法円坂1-1-35 TEL. 06-943-6833					
発行年月日	西暦 1997年3月31日					
ふりがな 所収遺跡名	ふりがな 所在地	コード 市町村 遺跡番号	北緯 東經	調査期間	調査面積	調査原因
長原遺跡	大阪市平野区 長吉長原	27126	34° 13' 36° 34' 00° 40'	19次 890613~900308 20次 890614~890905 22次①~③ 890617~891229 22次④ 891030~900203 23次 890620~891027 26次 890626~890804 33次 890729~890801 37次 890817~900319 43次 890911~891130 65次 891130~891211 67次 891201~900208 72次 891212~900203 80次 900226~900331	960m <sup>2</sup> 432m <sup>2</sup> 652m <sup>2</sup> 279m <sup>2</sup> 353m <sup>2</sup> 156m <sup>2</sup> 21m <sup>2</sup> 680m <sup>2</sup> 220m <sup>2</sup> 200m <sup>2</sup> 560m <sup>2</sup> 142m <sup>2</sup> 45m <sup>2</sup>	土地区画整理事業（長吉瓜破地区）施行に伴う調査
所収遺跡名	種別	主な時代	主な遺構	主な遺物	特記事項	
長原遺跡	墓 集落 田畠 その他	旧石器時代 縄文草創期 縄文草創~弥生前~中初 古墳時代 飛鳥・奈良 平安・鎌倉 江戸	石器集中部4 石器集中部1 土器棺墓 水田・用水路 溝・井戸・ピット 掘立柱建物群 畦畔・水路 柱穴・畦畔・用水路 井戸・島畠・坪境溝	ナイフ形石器・石核 両面調整石器 有茎尖頭器・石鑿 長原式土器 木製品 須恵器・土師器 須恵器・土師器 土師器・須恵器 土師器・黑色土器・瓦器 漆器	瀬戸内技法の衰退期 層位に基づく石器編年 広い基壇の縁辺 当地における初期水田 地城開発の拠点 条里の完成時期	

# 原 色 図 版



NG89-37次調査地 石器集中部LC1301~03の接合資料



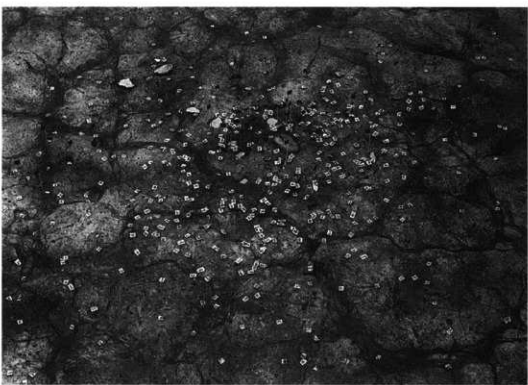
NG89-19次調査地 石器集中部LC1203の接合資料

# 図 版

図版一 長原東南地区 89-19 次調査地 繩文時代草創期？の遺構ほか



東区近景（東南から）



西区 石器集中部LC1203（調査途中）

図版二 長原東南地区 89-19 次調査地 繩文時代草創期？の遺構



石器集中部LC1203（調査最終段階）



同上



西区 長原8Cii層上面の人間の足跡



同上 行跡2の足印断面



西区 東川辺川 NR901 (北西から)



東区 中世水田作土層から出土した和同開珎

図版五 長原東南地区 89-19次調査地 古墳時代末ごろの遺構



西区 溝SD701（北西から）



SD701の機能面に見られる偶蹄類の足印

図版六 長原東南地区  
89-23次調査地

弥生時代前期の遺構



調査地全景（北西から）



遺物群SX911（東から）

図版七 長原東南地区89-23次調査地 古墳時代の遺構



土器埋納ピットSP704



ピットSP705

図版八 長原東南地区  
89-23次調査地 古墳・中世の遺構



古墳時代の井戸SE703断面



中世の柱穴群（北西から）

図版九 長原東南地区 89-37次調査地 後期旧石器時代の遺構（1）



③区 石器集中部LC1301～03遠景（南東から）



③区 石器集中部LC1301（北西から）

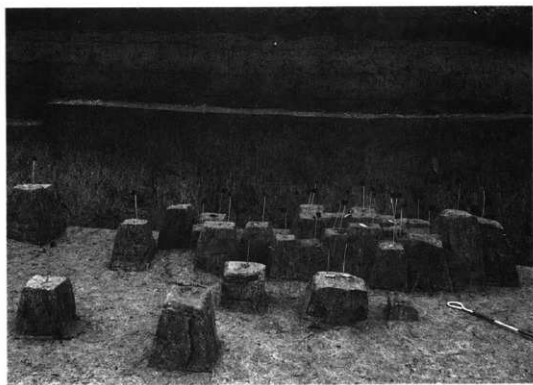
(2)



③区 石器密集部LC1301a



③区 石器集中部LC1302（北西から）



③区 石器集中部LC1303（北東から）

図版一二 長原東南地区89-37次調査地  
弥生時代前・中期の遺構



②区 自然流路NR912(南から)



②区 溝SD803・溝SX804(北から)

図版一三 長原東南地区89-22次調査地 後期旧石器時代の遺構



④区 石器集中部LC1301(東から)



④区 石器遺物の分布状況



②区全景（自然流路は手前から NR1201・05・01a：西から）



②区 人間の足跡状の産み群はか



③区 縄文時代中期の古川辺川NR1201b（南壁断面）

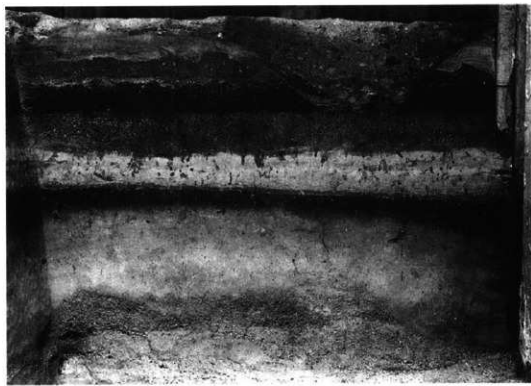


④区 弥生時代前～中期初頭の水田（西から）

図版一六 長原東南地区  
89-80次調査地 地層断面ほか



西区近景（西から）

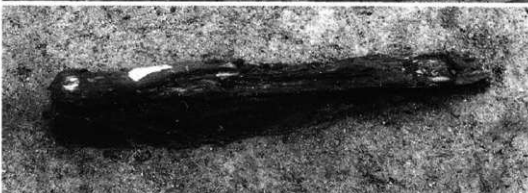


西区 地層断面（北壁）

図版一七 長原東南地区89-80次調査地 弥生時代前期の遺構



西区 溝SD923



SD923出土の木製品（上：溝埋土長原9A層上面、下：溝下底面104）

図版一八 長原東南地区89-80次調査地 弥生時代前期・中世の遺構



中央区 土器棺墓SX922



中央区 中世の溝SD407群



飛鳥時代の土壙SK607群  
(西から)



中世の聚落群、溝・土壙など(西から)



長原6A層上面の水田（西から）



水田上面に残された土器63

図版二一 長原東南地区89-26次調査地 弥生時代中期・中世末～近代の遺構



弥生時代中期の溝SD805（南から）



中世末～近代の遺構群全景（東から）

図版二二 長原東南地区 89-26 次調査地 近世の遺構



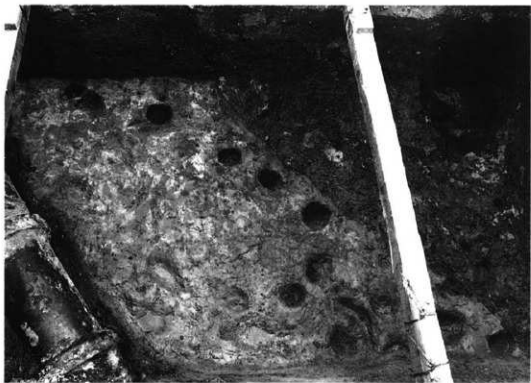
井戸SE209



井戸SE212



東区 長原6B層上面の水田（南から）



西区 長原6A層上面の水田（西から）

図版二四 長原西地区 89-20 次調査地 中世の遺構ほか



全景（西の瓜破靈園を望む）



東部 長原4B1層上面の水田（西から）